

T.C. YILDIZ TEKNİK ÜNİVERSİTESİ  
FEN BİLİMLERİ ENSTİTÜSÜ

Güç Elektroniği Elemanlarından  
Yararlanarak Asenkron Motor...

YÜKSEK LİSANS TEZİ

Eşref Kasap

T. C.  
YILDIZ ÜNİVERSİTESİ  
FEN BİLİMLERİ ENSTİTÜSÜ

TEZİN ADI

**GÜÇ ELEKTRONİĞİ ELEMANLARINDAN  
YARARLANARAK ASEKRON MOTOR  
DEVİR SAYISI AYARININ İNCELENMESİ**

YÜKSEK LİSANS TEZİ  
ELK. MÜH. EŞREF KASAP

İSTANBUL — 1984

YILDIZ ÜNİVERSİTESİ  
GENEL KİTAPLIĞI

Kot : ..... R 152  
Alındığı Yer : ..... Fen Bil. Ens. 15  
  
Tarih : ..... 23. 3. 1937  
Fatura : .....  
Fiyatı : ..... 1500 TL.  
Ayniyat No : ..... 1/1  
Kayıt No : ..... 44751  
UDC : ..... 621.3  
Ek : ..... 378.242



YILDIZ ÜNİVERSİTESİ  
D.B. No 42585

YILDIZ ÜNİVERSİTESİ  
FEN BİLİMLERİ ENSTİTÜSÜ

Comp.

TEZİN ADI

GÜC ELEKTRONİĞİ ELEMANLARINDAN

YARARLANARAK ASENKRON MOTOR

DEVİR SAYISI AYARININ İNCELENMESİ

YÜKSEK LİSANS TEZİ

ELK. MÜH. EŞREF KASAP

İSTANBUL 1984

## TEŞEKKÜR

Bu tez, günümüzün en ilginç konularından biri olan "Asenkron motor devir sayısı ayarı" ile ilgili bir inceleme yazı dizisini kapsamaktadır.

Bu konuyu irdelememe yardımcı olan saygıdeğer hocam Prof.Dr. Atif URAL'a şükranlarımı sunarım.

Ayrıca bu konuya ilgili bilgilerini esirgemeyen güç elektronigi kursusu araştırma görevlilerinin tümüne ve müs-fetteleri titizlikle dactilo eden yeğenim Hilmi DENİZ'e teşekkür ederim.

Elk.Müh.  
Eşref KASAP

## İÇ İNDEKİLER

Sayfa No

Teşekkür

Özet

İçindekiler

GİRİŞ.....

I

### BÖLÜM I

DEVİR SAYISI DEĞİŞİMİNDE DİKKAT EDİLECEK HUSUS-  
LAR VE ÇEŞİTLİ DEVİR SAYISI YÖNTEMLERİ.....

3

V I-I.	Devir sayısının önemi.....	3
V I-2.	Asenkron makinanın D.C makinalarıyla karşılaştırılması.....	3
N I-3.	Asenkron makinanın devir sayısı ayar yöntemleri.....	5

### BÖLÜM II

ASENKRON MOTORUN EŞDEĞER DEVRESİ VE MOMENT BA-  
ĞINTILARIÐINDAKI İFADELERİN İNCELENMESİ.....

8

II-1.	Asenkron motorun sabit frekans şebeke- sindeki esaslari.....	8
II-2.	Asenkron makinanın eşdeğer devresi....	9
II-2.1.	Döndürme momentinin değişimi.....	12
II-2.2.	Asenkron makinanın şebeke gerilim ve frekansının değişimi durumunda etüt edilmesi.....	14

### BÖLÜM III

İNVERTERLERİN (EVİRİCİLERİN) İNCELENMESİ.....

16

III-I.	Ara devreli gerilim zorlamalı inverter- ler.....	16
III-I.1.	İnverter devrelerinin tipleri.....	16
III-I.2.	Yarı köprü inverterin analizi.....	18

III-I.2.1.	Yarı köprü inverterin güç devresi....	18
III-I.2.2.	Yük komütasyonlu yarı köprü inver- ler.....	22
III-I.2.3.	Voltaj komütasyonlu yarı köprü in- verterler.....	26
III-I.2.4.	Voltaj komütasyonlu devrelerde bile- şenlerin değerlendirilmesi ve devre dizaynı.....	41
III-I.3.	Tek fazlı köprü inverterler.....	46
III-I.4.	Üç fazlı inverterler.....	50
III-I.4.I.	Herhangi bir anda 3 tristör açık du- rumu.....	51
III-I.4.2.	Herhangi bir anda 2 tristör açık iken	55
III-2.	Modülasyon tekniği.....	58
III-2.I.	Basamak modülasyonu.....	58
III-2.I.1.	Darbe sayısı tek sayı olan dalgalar..	59
III-2.I.2.	Darbe sayısı çift sayı olan dalgalar.	61
III-2.I.3.	Darbe süresi eviricinin çıkış frekan- sı ile değişen dalgalar.....	66
III-2.2.	Taşıyıcı dalgalar ile modülasyon.....	69
III-2.2.I.	Üçgen ve sinüs dalgaları ile modüla- syon.....	69
III-2.3.	Güç devresinin modülasyona yaptığı etkiler.....	72
III-2.4.	Tristörlerin iletişim sürelerinin çi- kış dalgalarına göre tayini.....	73
III-2.4.I.	Bir fazlı evirici.....	74
III-2.4.2.	Üç fazlı evirici.....	75

#### BÖLÜM IV

FREKANS DÖNUŞTÜRÜCÜLER.....	78	
IV-I.	Üç fazdan tek faza frekans dönüştürü- cüler.....	82
IV-I.I.	Çıkış harmoniklerinin azaltılması (Redüksiyonu).....	84
IV-I.2.	Devre komponentlerinin oranlanması...	87

## BÖLÜM V

HARMONİK ELEME YÖNTEMLERİ .....	90
V-1. Çok puslu darbelerin harmoniklerinin minimuma düşürülmesi.....	90
V-2. Seçilmiş özel harmonik küçültme yöntemi.....	93
V-3. Transformatör bağlantıları yardımıyla harmoniklerin elenmesi.....	95

## BÖLÜM VI

İNVERTER KOMÜTASYON DEVRELERİ .....	98
VI-I. Komütasyonun tanımı.....	98
VI-I.2. Pozitif akımda komütasyon.....	99
VI-I.3. Negatif akımda komütasyon.....	I03

## BÖLÜM VII

TETİKLEME DEVRELERİNİN GERÇEKLEŞTİRİLMESİNDeki TEMEL ESASLAR .....	I09
VII-I. Kontrol devreleri.....	I09
VII-2. Kontrol devresinin üniteleri ve gö- revleri.....	I09
VII-2.1. Frekans üreticisi.....	I09
VII-2.2. Sıralama Ünitesi.....	I10
VII-2.3. Ana kontrol Ünitesi.....	III
VII-2.4. Açık çevrim motor kontrolu.....	III
VII-2.5. Kapalı çevrim motor kontrolu.....	I12
VII-2.6. Frekans kontrolu.....	I13

## BÖLÜM VIII

ASENKRON MOTORLARININ DEVİR SAYISI AYARININ KONTROLU .....	I15
VIII-I Bir fazlı asenkron motorun inverter güç devresi ile devir sayısı ayarının incelenmesi ile hesapların yapılması.	I15

VIII-I.1.	Variak.....	I18
VIII-I.2.	Besleme transformatörü.....	I18
VIII-I.3.	Redresör hesabı.....	I2I
VIII-I.4.	İnverter güç devresi.....	I2I
VIII-I.5.	Tetikleme devresinin analizi.....	I35
VIII-2.	Tam kontrollü 3 fazlı asenkron motorun devir sayısı ayarı.....	I38
SONUÇ	.....	I43
KAYNAKLAR	.....	I45
ÖZGEÇMİŞ	.....	I46

## OZET

Bu tez, maliyeti ucuz, konstrüksiyonu basit ve endüstriyelde kullanma sahası çok geniş olan asenkron makinaların, besleme gerilimi ve frekansının birlikte değiştirilmesi ile devir sayısının ayarını incelemek için yazılmıştır.

Asenkron makineler rotorlarındaki kontstrüksyon değişikliğinden dolayı iki kısma ayrılırlar. Sincap kafesli ve rotor sargılı (bilezikli) adlarıyla anılan bu motorları, stator kontstrüksyonlarında değişme yoktur. Burada yalnız sincap kafesli asenkron motorlarda hız ayar şekilleri izah edilmeye çalışılmıştır.

Genel olarak beslemenin stator'dan yapıldığı düşünülürse, gerilime ait frekansın değiştirilmesi makinanın kutup sayısının sabit olması nedeniyle devir sayısının değişmesine neden olacaktır.

Endüstride kullanılan sinusoidal gerilim frekansının sabit oluşu ve sürekli değiştirilememesi, bu yöntemin sinusoidal olmayan fakat frekansı değiştirilebilen gerilimleri üreten sistemler aracılığı ile yapılmasına yol açmıştır.

Asenkron makinanın hız ayarında kullanılan güç devresi genelde iki türlü yapılmaktadır. Güç transistörleri veya tristörlerden meydana getirilen bu devrelerin tetikleme ve koruma devreleri özellikle öneme sahip bir konudur. Tamamen geri beslemeli ve otomatik kontrolü olan bu devrelerin dizaynı oldukça karmaşık olduğundan oturu burada bu konulara değini mememiştir.

Gerilim ve frekansın değişim değerleri belli oranda ve sabit olarak kalmalıdır. Buna bağlı olarak makinanın döndürme momentinin sabit kalması sağlanacaktır.

Günümüzde büyük önem taşıyan bu konu gün geçtikçe büyük önemlilik halinde yenileşmektektir. Teknolojisi tam olarak oturmuş durumda olmadığından imalatı oldukça pahalıya mal olmaktadır. Tristörlerin özellikleri güç tristörlerine yakınılaştırılması halinde inverterlerin imalatındaki en büyük sorun olan komütasyon olayı da böyledikle ortadan kalkmış olacaktır. Komütasyon devresinin ortadan kaldırması gerek imalat, gerekse mal yetiştiğinden çok büyük kazançlar sağlayacaktır. Böyledikle devrelerin dizaynı basitleşecektir. (Zira inverter veya frekans dönüştürücülerin yapısındaki karmaşıklıklar komütasyon olayı ile dahada büyümekte olduğundan basitleşmiş devrelerin elde edilmesi teknik için çok büyük bir hizmet olacaktır.)

Tezin oluşumunda özellikler inverterlerin yapısı ve makinanın özelliklerini etüt edilmiştir. Böyledikle devir sayısı ayarının nasıl yapılabileceği hakkında okuyuculara bir iki verimlilik sunulmuştur.

## SUMMARY

This thesis is based on the principle of adjustable-frequency and supply voltage and both for obtaining speed control of an induction motor which has wide range applications in industry.

Induction motors, divided into two sections because of, the differences between their rotors construction. In this thesis, the design, the construction of speed control circuitry is generally described for squirrel-cage type of induction motors.

The variable-frequency control is the necessity of changing the motor voltage by the same percentage as the frequency change, if voltage and frequency change by same amount, then, there will be no change in no-load current or motor flux. But: the frequency of sinusoidal voltage in industry is constant and wouldn't be changed considerably. So this kind of method is obtained by the systems: which generates variable frequency of non-sinusoidal voltage waves.

The power circuit used in speed control of induction motors can observe in two sections.

These circuits are made by power transistors and thyristors. At the some time: triggering and protection arrays are important subjects. Completely, feed-back and automatic control of these circuits design are very complex and wide, so I didn't touch these subjects in this thesis.

Speed Control of an Induction motor which have great importance in industry will be go on in new ways by day after day. It's technology isn't developed yet so it's manufacture have a great price. By approaching the specialities of the thyristors to the power transistors, the great and important problem as called "comutation" will eliminate. The elimination of commutation circuit, as manufacture, as it's cost will have decrease for great prices. So the design of circuits will get more simply than nowadays.

Especially in this thesis, the structure of inverters and specialities of induction motor are observed for giving an opinion to the readers.

I have to say my thanks to my teacher Prof.Dr.Atif URAL who is the supervisor of this thesis and thanks to Sinan PRAVADALIOĞLU for his assistances.

## G İ R İ S :

Asenkron motorların devir ayarları pek çok yöntemlerle yapılmaktadır. Bu yöntemlerin arasından ekonomik ve verimi en yüksek olanı bulmak ve bu teknolojiyi geliştirmek esas amaç olmalıdır.

Bu yazı dizisi sekiz bölümden oluşmaktadır. Birinci bölüm'de Devir sayısının önemi tartışılp, devir ayar yöntemleri geniş olarak ele alınmıştır. Asenkron motorlarda devir sayısı ayarını sinüsoidal dalgalarla yapma olanağıımız yoktur. Buna en iyi çözüm inverterlerle teşkil edilen yaklaşık sinüsoidal dalgalarla veya kare dalgaların karışık yapıları ile uygulanabilir devrelerdir.

Inverterlerin yapısı günümüz teknolojisiyle gün geçtikçe ilerlemekte ve modern sistemler oluşturulmaktadır. Tamamen inverterlerin bir uygulaması olan Asenkron motor devir sayısı ayar prensipleri de böylelikle teorik ve pratik olarak genişleme imkanı bulunmaktadır.

İkinci bölümde asenkron motorun eşdeğer momend ve gerilim bağıntıları geniş olarak ele alınarak irdelenmiştir. Eşdeğer devreden elde ettiğimiz sonuçlara göre gerilim ve frekansının birlikte değiştirilmesiyle motorun döndürme momentinin sabit kaldığı denklemlerle ispatlanmıştır.

Üçüncü bölümde çok çeşitli inverterlerin genel yapıları hakkında bilgi verilmeye çalışılmıştır. Özellikle gerilim zorlamalı inverterler ve DGM yöntemi ile yapılan inverter teorisi izah edilmiştir.

Dördüncü bölümde direk AC'dan AC dönüşüm yapan Frekans dönüştürücüler ele alınmıştır. Frekans dönüştürücülerin 50 Hz'den yukarı frekanslara dönüşüm yapılamadığından ve bu frekansın  $1/3$ 'üne ancak inebildiğinden kullanım alanları oldukça dardır. Üç fazlı Frekans dönüştürücülerinde en az 36 adet tristörü gerektirmesi ekonomik açıdan'da ilgi uyandırmamaktadır. Bu yüzden motorlarda kullanma alanı oldukça azdır.

Beşinci bölümde bugünün teknolojisi ile henüz çözümü bulunamayan komütasyon olayı anlatılmaya çalışılmıştır. Her ne kadar hızlı inverterler imalatı gerçekleşmisse'de bugün komütasyon halen önemini kaybetmemiştir. Tristörlerin imalatında serbest kalma zamanı güç transistörlerine yaklaşılması halinde ancak komütasyon olayı ortadan kalkabilecektir. Fakat bugünün teknolojisi özellikle komütasyon olayını ortadan kaldırmak için yeni tip tristörlerin imalatını gerçekleştirmek için var gücüyle çalışmaktadır.

Altıncı bölümde inverterlerin tam sinüsoidal dalgası oluşturmadığından, bunların oluşturduğu harmonikler ele alınmıştır. Inverterlerde en önemlisi 3 ve 5. harmoniklerin oluşmamasını sağlamaktır. Fakat harmoniklerin mümkün mertebe yok edilmesini sağlayabilmek en iyisi olacaktır. Buda inverter çıkışındaki dalgaların karışıklığını ortaya koymaktadır. Aksi halde harmonik olayı önlenemez.

Yedinci bölümde Tellikleme devrelerinin otomatik kontrolu hakkında bilgi verilmeye çalışılmıştır.

Sekizinci bölümde ise örnek bir devre üzerinde yapılan teorik inceleme tartışılmıştır. Yapılan hesaplar okuyucuya tamamen bir fikir edinebilmeyi sağlamaktadır.

Son olarak AEG-Telefunken firmasının gerçekleştirdiği bir blok şemanın etüdü yapılmıştır.

## BOLUM I : DEVIR SAYISI DEGISIMINDE DIKKAT EDILECEK HUSUSLAR VE ÇESITLI DEVIR SAYISI YONTEMLERI

### I.1 DEVIR SAYISININ ÖNEMİ

Modern endüstride değişken devir sayısı ile çalışan pek çok iş makinası vardır. Haddeleme tezgahları, metal işieme makinaları, kaldırma makinaları, transport tesisleri, ulaşım tesisleri, kâğıt endüstrisi, kömür endüstrisi, tekstil endüstrisi daha bir çok sanayi dalında devir sayısı ayarlanabilen motorlara şiddetle ihtiyaç duymaktadır.

Devir sayısı ayarının yapılabilmesi işletmelerde iş hacmini yükseltir, yüksek verim sağlar ve mamülün kaliteyi olmasına temin eder. İş makinalarının devir sayısı ayarı mekanik olarak kademeli kasnak, dişli çark mekanizması, sürünenmelî kavrama ve diğer bazı mekanik düzenler yardımıyla yapılabilir. İş makinalarında mekanik düzenlerde devir sayısı ayarı, devir sayısı ayarının tarihi gelişiminde ilk sırada yer almıştır. Bugün mekanik devir sayısı ayarı geniş ölçüde ekonomik ve teknik üstünlüklerinden dolayı yerini elektriki devir sayısı ayar metodlarına bırakmıştır.

Bugün sabit ve değişken frekanslı evirici yapmak için yayınlanmış bir çok yabancı kaynaklar mevcuttur. Bu eviricinin güçleri megavat mertebesine kadar çıkmaktadır.

### I.2 ASEKRON MAKİMANIN D.C MAKINALARIYLA KARŞILAŞTIRILMASI

1- Daha küçük ve ucuz, komütatörün olmaması, hacim ve ağırlığı doğrudan azaltır ve ayrıca motorun daha yüksek hızlara ulaşmasını sağlayarak, verilen bir çıkış gücü için motor boyutunu dahada küçültür.

2- Yüksek hızlarda ve dinamik frenlemede artan güç komütatör motorlarının, genelde reaktans gerilimlerinin neden olduğu aşırı komütatör kivlicimleri nedeniyle, yüksek hızlarda anma gücünü sağlamaya yetenekleri sınırlıdır. Komütatör, frenleme sürecinde mevcut frenleme gücünü sınırlar. Komütatörün atılmasıju sınırlamaları ortadan kaldırır.

3- Daha az bakım, denetlenecek komütatör ve değiştirilecek fırçalar yoktur.

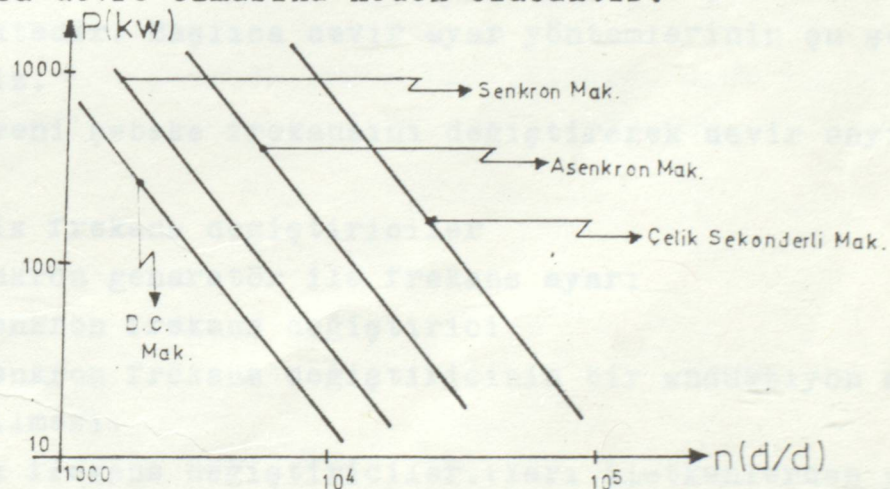
4- Kötü çevre koşullarına tolerans, çevre tarafından ve yüksek şok yükleri ile etkilienecek hareketli elektrik kontakları yoktur.

5- Düşük maliyet- Az sayıda araç kullanımı ve pahalı komütatörün bulunmaması nedeniyle yatırım masrafları, daha az bakım gerektirdiği için de fişetme masrafları azdır,

Göründüğü gibi tüm avantajlar komütatörün bulunmaması nedeniyle ortaya çıkar. Makinanın tasarımlına gerekli özen gösterilir ve bakımı ihmal edilmesse komütatör ve fırçaların sıkıntı yaratmayacağı söylenir. Bu doğru olabilir fakat, bütünüyle makina açısından, komütatörsüz daha rahat olunacağından anlaşmak gereklidir.

Komütatör, makinadaki sabit manyetik aiana bağlı ve makina hızından bağımsız olarak, gerçeklikçe armatür sargılarında akımın yönünü değiştirerek, D.C. motorunda bir frekans değiştirmeli gibi işlev görür. Asenkron motorlarda stator sargılarındaki akımın yönünün peryodik olarak değişimini gerçekleştirir. Motor, eviriciden besleniyorsa bu işi evirici görür.

Asenkron motorun hız ayarında motor yönünden hiç bir dezavantajımız yoktur. Fakat eviricide çok iyi bir komütasyon devresi oluşturamamız gerekecektir. Son derece korumalı ve kontrollü bir devre olmalıdır. Aksi takdirde en ufak bir hatanın olması eviricinin kısa devre olmasına neden olacaktır.



Şekil:1- Elektrik makinelerinin hız ve güç olarak karşılaştırılması.

Makinanın gücü;  $P = \frac{1}{\pi} \cdot V^3 \cdot G \cdot k \cdot n^2$

Bu ifadede:

$V$ : Rotorun çevre hızı

$G$ : Ortalama dağılıma faktörü

$k$ :  $\frac{I}{d}$  Nispeten çapın boyu

$n$ : Devir sayısı

Sınır gücü rotor çevre hızının  
bağlı olarak değişir.

Rotor çevre hızı ( $V$ )

D.C Mak.	110 m/s
Senkron mak.	130 m/sn.
Asenkron mak.	200 m/sn.

Motor işletmesinde kullanımını düşündürilen statik değiştiricinin yapısında tristörlerin var olması halinde aşağıdaki nususların gerçekleştirilmeleri aranır.

1. Frekans ve gerilimin geniş sınırlar içinde değişebilmesi
2. Faz sıralarının mümkün olduğunda çabuk değişebilmesi
3. Sürekli kontrol ve geçici rejime çabuk adaptasyonu
4. Bütün işletme frekanslarında yüksek güç faktörü
5. Harmonik muhteviyatının küçük olması veya genliği büyük olan harmoniklerinin frekanslarının yüksek olması ve dolayısıyla motor tarafından filtre edilmesi.

Bu özelliliklere haiz bir eviricide şu ana bölümle bulunmalıdır

- a) Frekans değiştirici ve güç devresi
- b) Frekans değiştiricisinin kontrol elemanları
- c) Otomatik kontrol elemanları

### I-3 ASENKRON MAKINANIN DEVİR SAYISI AYAR YÖNTEMLERİ

Bilinen birçok ayar yöntemlerini sırayla yazmak mümkündür.

Fakat devir ayarı birçok metoda yapılmasına karşın en önemlisi ekonomik verim sağlayan sistemi seçmektir. Aksi hâlde ayarın hiç bir önemi kalmayacaktır.

Devir sayısı, primer şebeke frekansının, kutup sayısının ve kaymanın değiştirilmesi mümkün olduğu izan edilmektedir. Bu üç değişkenin değiştirilmesi birçok çeşitli yöntemleri mevcuttur. ve bu yöntemler kendi aralarında oldukça çeşitli şekillerde gerçekleştirilmektedir. Başlıca devir ayar yöntemlerinin şu şekilde sıralayabiliriz.

a- Primer, yeni şebeke frekansını değiştirerek devir sayısını ayarı

#### 1- Dinamik frekans değiştiriciler

- a) Senkron genarator ile frekans ayarı
- b) Asenkron frekans değiştirici
- c) Asenkron frekans değiştiricinin bir endüksiyon motoru ile tahrik edilmesi.

2- Statik frekans değiştiriciler.(Yarı iletkenlerden yararlanarak)

b- Çift kutup sayısı değiştirerek devir sayısını ayarı

c- Kaymayı değiştirerek devre sayısını ayarı

1- Rotor akış devresindeki güc ayar ederek kaymanın değiştirilmesi

a) Rotor devresine ornik uirengiler bağlayarak devir sayısını ayarı

b) Rotor sileziklerine uygunan gerilimle devir sayısını ayarı

2- Statora uygulanan gerilimi değiştirmekle kaymanın değiştirilmesi ile devir sayısı ayarı

d- Birden fazla üç fazlı endüksiyon makinasının birlikte çalıştırılması ile devir sayısı ayarı.

I- Üç fazlı endüksiyon makinalının kaskad bağlanması.

2- İkinci bir döner ayanın süperpozisyonu ile devir sayısının ayarı.(Çift motor bağlaması ile devir sayısı ayarı)

e- Endüksiyon makinasının aynı zamanda stator ve roturundan beslenmesi.

f- Çift rotorlu asenkron motorlar (Mekanik kaskatılar)

1- Ara rotorlu motorlar ile devir ayarı

2- Tandem motor ile devir ayarı

Tüm bu yöntemlerin arasından sadece "Statik frekans değiştiriciler" kısmını derinleştirip incelemeye çalışalım.

Doğrultucu tekniğinin döner ayan makinalarında devir sayısı ayar yöntemleri üzerine bakışı genel olarak tablo: I-de verildiği gibidir.

Temelde bu hız ayarı iki türü yapılabilmektedir.

I- Devir sayısı ayarı şebekenin sabit frekansı altında kaymanın değişimine,

2- Devir sayısı ayarı makinanın stator beslemesinin frekans ve gerilimin birlikte değiştirilip, kaymanın mümkün mertebe sabit tutulmasına dayanmaktadır.

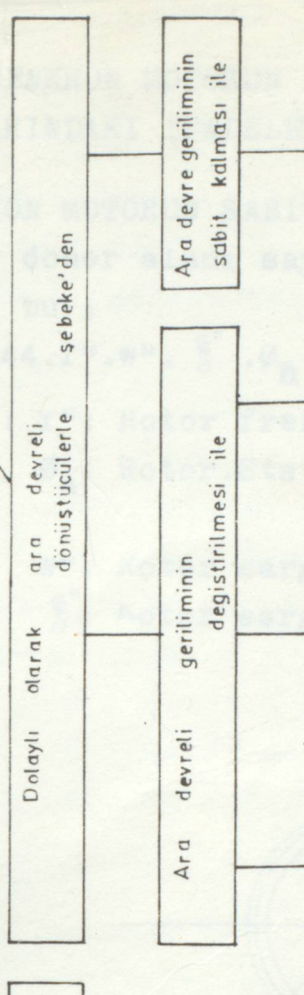
Statik frekans dönüştürülerden yararlanarak elde edilen devir sayısı ayar yöntemleri Tablo:I'de geniş olarak izah edilmektedir.

YÖNETİCİLERLE ASEKRON MAKİNALARIN HIZ KONTROL  
PRENSİPLERİ

SABİT FREKANSLI  
DÖNER ALAN

Rotor gerilimi kontrolu	Rotor direncinin değiştirilmesi	Rotor a gerilim uygulanması
----------------------------	------------------------------------	--------------------------------

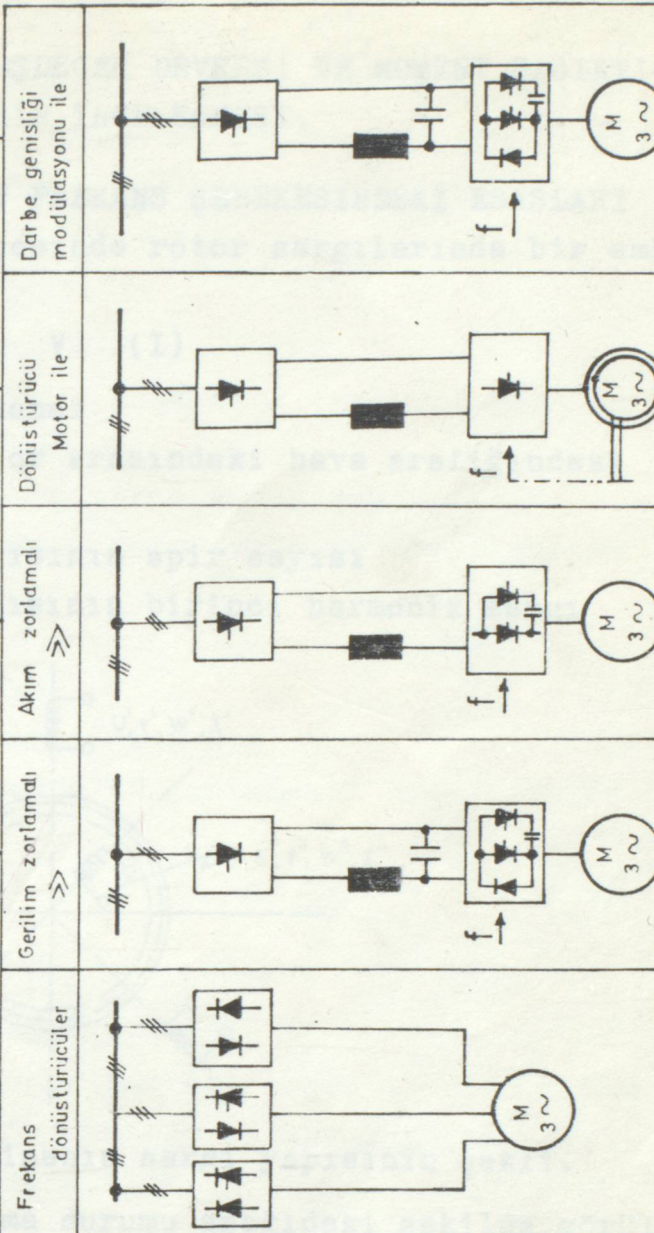
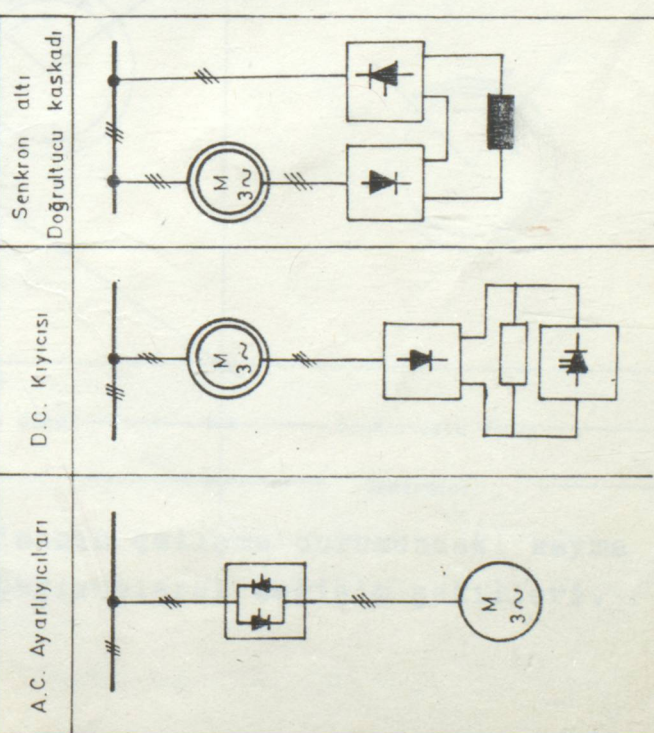
Stator gerilimi  
kontrolu



DEĞİŞKEN FREKANSLI DÖNER ALAN

A.C. Ayarlıcılıarı	D.C. Kykisi	Senkron altı Doğrultucu kaskadı

A.C. Ayarlıcılıarı



Tablo 1. Döner alan makinalarının (Asenkron Motor) doğrultucularla devir sayısı ayar yöntemleri

BÖLÜM II : ASENKRON MOTORUN EŞDEGER DEVRESİ VE MOMENT BAGINTILARINDAKI İFADELERİN İNCELENMESİ.

II-1. ASENKRON MOTORUN SABIT FREKANS ŞEBEKESİNE DEKI ESASLARI

Stator döner alanı sayesinde rotor sargılarında bir emk indukları ki bu :

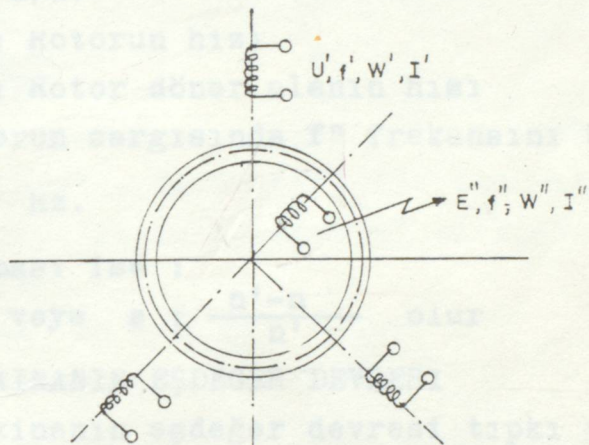
$$E'': 4,44 \cdot f'' \cdot W'' \cdot \emptyset_h \quad V \quad (I)$$

Burada:  $f''$ : Rotor frekansı alan hissi (Senkron-his)

$\emptyset_h$ : Rotor.Stator arasındaki hava aralığındaki faydalı akı.

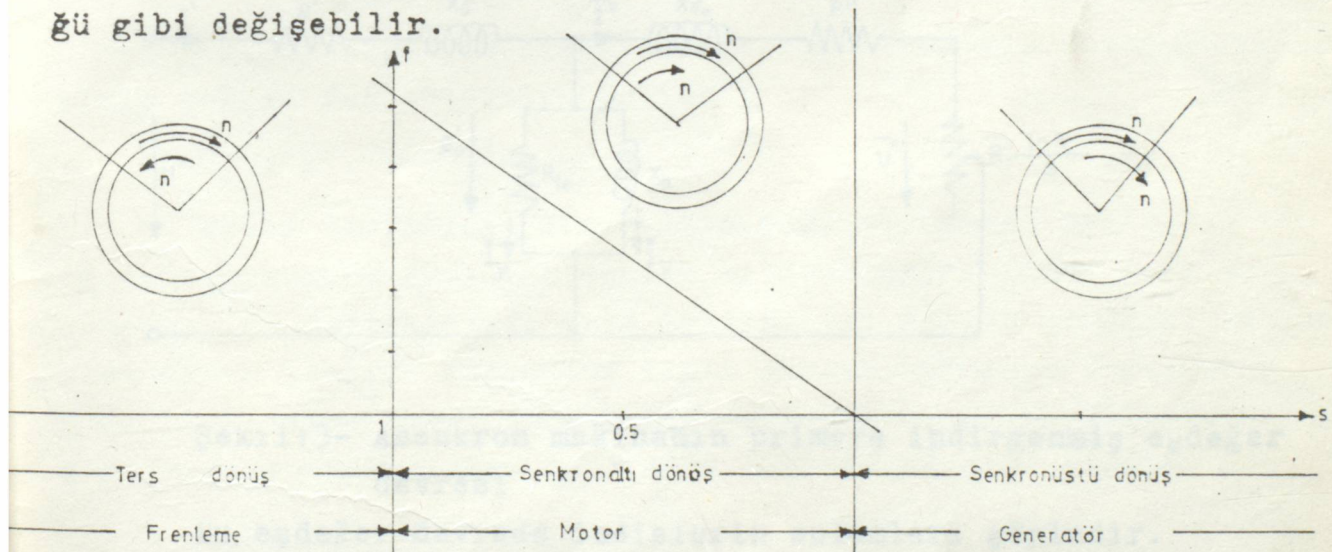
$W''$ : Rotor sargısının spir sayısı

$\emptyset$ : Rotor sargısının birinci harmonik sargı faktörü.



Şekil: I- Asenkron makinanın sargı yapısının şekili.

Asenkron motorun çalışma durumu aşağıdaki şekilde görüldüğü gibi değişimdir.



Şekil: 2- Asenkron makinanın çalışma durumundaki kayma ve frekansa bağlı olarak değişim şekilleri.

Stator döner alanı ile rotorun hızı birbirine eşit miktarında donecek olursa makinamız Senkron, rotorun az bir miktar geride hareket ediyorsa makinamız asenkron motor ismini alacaktır. Stator döner alanın devir sayısı:

$$n' = \frac{60}{p'} f' \text{ şeklindedir.} \quad (2)$$

Burada :

$n'$  : Stator döner alanı hızı (Senkron hız)

$f'$  : Şebeke frekansı

$p'$  : Stator sargısının kutup sayısı

Rotor döner alanı asenkron motorlarda  $n''$  devir sayısı ile hareket etmektedir. Ve bu hız :

$$n'' = n' - n \quad d/d. \quad (3)$$

$n$  : Rotorun hızı

$n''$  : Rotor döner alanın hızı

$n''$  hızı rotorun sargısında  $f''$  frekansını üretecektir.

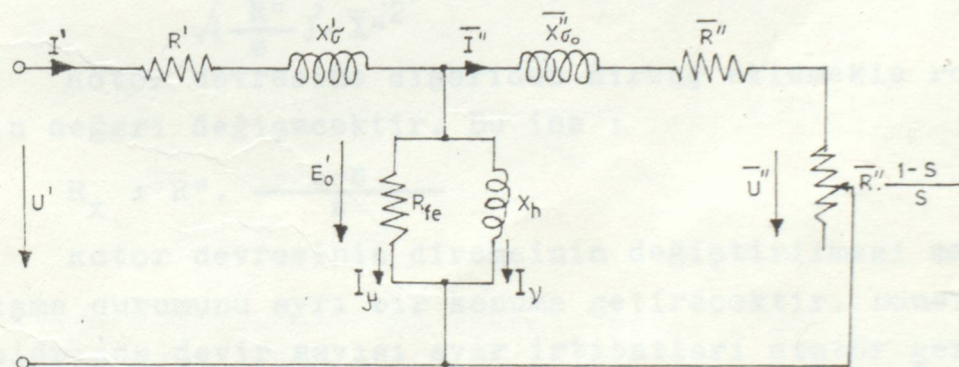
$$f'' = \frac{p'' \cdot n''}{60} \text{ Hz.} \quad (4)$$

Motorun kayması ise :

$$s = \frac{n''}{n'} \text{ veya } s = \frac{n' - n}{n'} \text{ olur} \quad (5)$$

## II-2. ASEKRON MAKINANIN EŞDEĞER DEVRESİ

Asenkron makinanın eşdeğer devresi tipki transformatör eşdeğer devresine benzemektedir. Yalnız burada kaymaya bağlı olarak değişen rotor direnci mevcuttur.



Şekil:3- Asenkron makinanın primere indirgenmiş eşdeğer devresi

Bu eşdeğer devrede indislerin anımları şöyledir.

$I'$  : Stator akımı  $R'$  : Stator sargı direnci

$U'$  : Stator gerilimi  $X'_G$  : Stator sargı reaktansı.

$X_h$  : Makinanın ana reaktansı

$R_{fe}$  : Demir kayıplarını içeren eşdeğer direnç.

Stotara indirgenmiş büyülüklükler :

$$I'': I' \cdot \frac{m'' \cdot w'' \cdot \frac{\omega''}{\omega'}}{m' \cdot w' \cdot \frac{\omega'}{\omega}} \quad \text{Rotor akımı}$$

$$\underline{E}'': E'_o : E''_o \cdot \frac{w' \cdot \frac{\omega'}{\omega}}{w'' \cdot \frac{\omega''}{\omega}} \quad \text{Rotor baştaki gerilim}$$

$$\underline{R}'': R''_o \cdot \frac{(w' \cdot \frac{\omega'}{\omega})^2}{(w'' \cdot \frac{\omega''}{\omega})^2} \quad \text{Rotor sargı direnci}$$

$$\underline{X}'': X''_o \cdot \frac{(w' \cdot \frac{\omega'}{\omega})^2}{(w'' \cdot \frac{\omega''}{\omega})^2} \quad \text{Rotor kaçak reaktans}$$

$m'$ : Stator sargı faz sayısı

$m''$ : Rotor sargı faz sayısı

Rotorda indüklenen  $E''$  emk ise, bu durumda rotor akımı:

$$I'': \frac{E''}{\sqrt{R''^2 + \underline{X}'_o^2}} \quad A'' \quad (6)$$

$E''$  ve  $\underline{X}'_o$  Değerleri rotar döner ayanın frekansına bağlı ( $f''$ ) olarak değişecektir. Fakat ( $f''$ ) ise tamamen kaymanın ( $s$ ) bir sonucu olarak eide edileceğinden  $E''$  ve  $\underline{X}'_o$  değerleri direkt kaymeye bağlı olurlar.

$$E'' = S \cdot E'_o \quad \text{ve} \quad \underline{X}'_o = S \cdot \underline{X}'_G \quad \text{olarur.}$$

Bunlar ifadede yerine konursa :

$$I'': \frac{S \cdot E'_o''}{\sqrt{R''^2 + (S \underline{X}'_G)^2}} \quad \text{Şayet taraf tarafa } S \text{ bölünurse:}$$

$$I'': \frac{E'_o''}{\sqrt{\left(\frac{R''}{S}\right)^2 + \underline{X}'_G^2}} \quad \text{bağıntısı eide edilir.} \quad (7)$$

Rotor devresine dışarıdan direnç eklemekle rotor direncinin değeri değişecektir. Bu ise :

$$R_X : \bar{R}'' \cdot \frac{1-S}{S} \quad (8)$$

Rotor devresinin direncinin değiştirilimesi makinanın çalışma durumunu ayrı bir konuma getirecektir. Döner ayan makinalarında devir sayısı ayar irtibatları statör gerilimi ve rotor direncinin çevirme momentine bağlı olarak kaymanın değişimine göre ilgilidir. Şayet bu eşdeğer devrenin kompleks bileşenlerine göre inceleneyecek olursa aşağıdaki bağıntılar eide edilir.

$$U' : I' \cdot [R' + j(X'_G + X_h)] - \bar{I}'' \cdot X_h \quad (9)$$

$$U : -\bar{I}'' \cdot [\bar{R}'' + j(\bar{X}'_G + X_h)] + I' \cdot X_h \quad (10)$$

$$I'' : I' - I_p \quad (11)$$

motorun başta çalıştığını farz edersek,  $\bar{I}'' = 0$  olur.  
Bu durumda  $\bar{U}_o''$  çıkış gerilimi:

$$\bar{U}_o'': U' \cdot \frac{jX_h}{R' + j(X'_h + X_h)} \quad (12)$$

Şayet denklem (12)'de  $\kappa'$  direnci ( $X'_h + X_h$ ) reaktansları yanında ihmal edilecek olursa :

$$\bar{U}_o'': U' \cdot \frac{1}{1 + \sigma'} \text{ şekline gelir} \quad (13)$$

Burada:  $\sigma': \frac{X'}{X_h}$  kısaltılması yapılmıştır.

Denklem 9 ve 10 ifadelerinden stator ve rotor akımları eliminasyon edilerek aşağıdaki denklemler elde edilir.

$$I': \frac{U'}{R' + j(X' + X_h)} + \bar{L}'' \cdot \frac{jX_h}{R' + j(X' + X_h)}$$

$$\bar{U}'': -\bar{I}'' \cdot [\bar{R}'' + j(\bar{X}'' + X_h)] + U'' \cdot \frac{jX_h}{R' + j(X' + X_h)} - \bar{I}'' \cdot \frac{X_h^2}{R' + j(X' + X_h)}$$

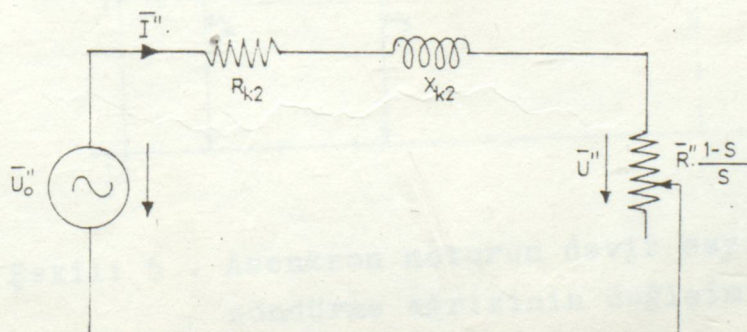
$$\bar{U}''_o: \bar{U}_o'' - \bar{I}'' \cdot [\bar{R}'' + j(\bar{X}'' + X_h)] + \frac{X_h^2}{R' + j(X' + X_h)} \\ R' - j(X' + X_h)$$

$$\bar{U}''_o: \bar{U}_o'' - \bar{I}'' \cdot [\bar{R}'' + j(\bar{X}'' + X_h)] + \frac{X_h^2 \cdot R' - j(X' + X_h)}{R'^2 + (X' + X_h)^2}$$

$$\bar{U}''_o: \bar{U}_o'' - \bar{I}'' \cdot [\bar{R}'' + \frac{R' \cdot X_h^2}{R'^2 + (X' + X_h)^2} + j \cdot (\bar{X}'' + X_h) + \frac{X_h^2 (X' + X_h)}{R'^2 + (X' + X_h)^2}]$$

$$\bar{U}''_o: \bar{U}_o'' - \bar{I}'' (R_{k2} + jX_{k2})$$

Motorun statora indirgenmiş eşdeğer gerilim denklem ifadesi elde edilmiş olur.



Şekil : 4. Asenkron makinanın sekonder eşdeğer devresi.

### II-2-1-DÖNDÜRME MOMENTİNİN DEĞİŞİMİ

Aşenkron makinanın döndürme momentinin bağıntısının nelere bağlı olarak değiştiğini etrafında incelemeye çalışalım.

Statordan rotora intikal ettirilen güç :

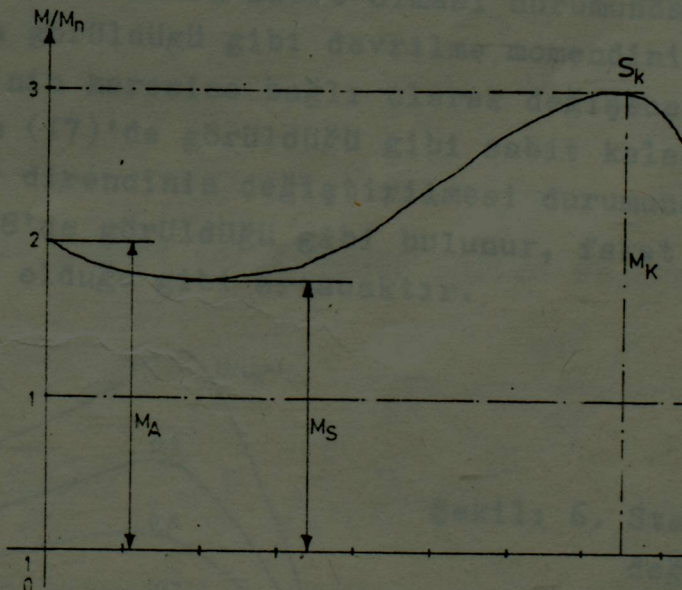
$$P_{d1} : \frac{m'' \cdot \bar{U}_o^2}{(R_{k2} + \bar{R}'') \cdot (\frac{1-s}{s})^2 + (X_{k2})^2} \cdot \frac{\bar{R}''}{s}$$

$$P_{d1} : \frac{m'' \cdot \bar{U}_o^2}{(R_{k2} + \bar{R}'' + \frac{\bar{R}''}{s})^2 - (X_{k2})^2} \cdot \frac{s}{s}$$

$R_{k2}$  ve  $\bar{R}''$  ifadelerinin ihmali yapılabılır. Q  
ması  $\frac{\bar{R}''}{s}$  ifadesinin sayısal değerini yükselticektir  
döndürme momenti :

$$M : \frac{m''}{2\pi n'} \cdot \frac{\bar{U}_o^2}{(\frac{\bar{R}''}{s})^2 + (X_{k2})^2} \cdot \frac{\bar{R}''}{s}$$

Şayet bu denklemin eğrisi çizilecek olursa a  
olacaktır.



Sekil: 5 . Aşenkron motorun devir sayısına  
döndürme eğrisinin değişimi.

$M_A$  : Kalkış momendi

$M_K$  : Devrilme momendi

$M_S$  : Kırış momendi

$M_N$  : Döndürme momendi

$S_K$  : Devriime kayması.

Yaklaşık senkron devir sayısı durumunda yani  $S=0$  ideali durumunda döndürme momendi :

$$M = \frac{M}{2 \cdot n' \cdot \pi} \cdot \frac{\bar{U}_o^2}{R''} \cdot S \text{ olur} \quad (I7)$$

Döndürme momentinin bu bölge'de lineer bir şekilde değiştiği sekilden de görülebilir.

Devrilme momendinin noktasında kaymayı tespit etmek için ( $\frac{\partial M}{\partial S} = 0$ ) momentin kaymaya göre kısmi türevi alınıp sıfıra eşitlenmelidir.

$$\frac{\partial M}{\partial S} = 0 \quad S = \frac{\bar{R}''}{X_{k2}} \text{ olur.} \quad (I8)$$

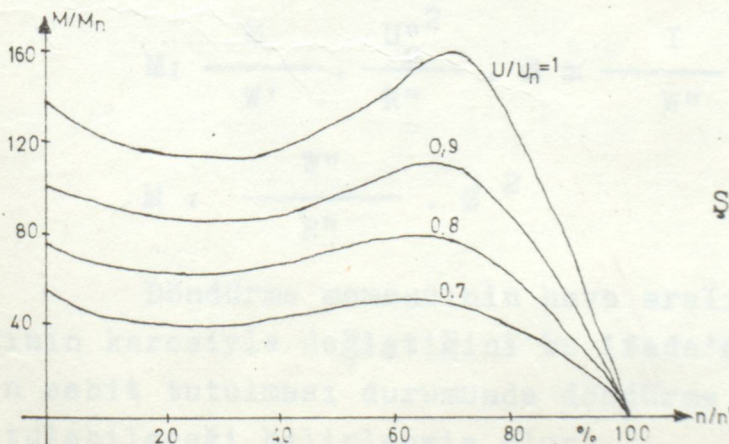
Devrilme momendi :

$$M_k = \frac{M}{2 \cdot n' \cdot \pi} \cdot \frac{I}{2} \cdot \frac{\bar{U}_o^2}{X_{k2}} = \frac{M}{4 \cdot n' \cdot \pi} \cdot \frac{\bar{U}_o^2}{X_{k2}}$$

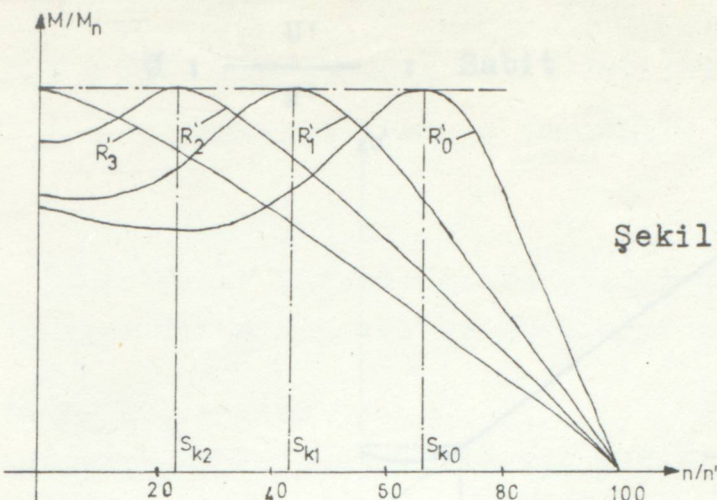
Denklem I6-I7 ve I8 temel olarak aşağıdaki özelliklerini ifade edecektir.

1°- Rotor direncinin sabit olması durumunda momend eğrisi Şekil:6'da görüldüğü gibi devrilme momendinin yüksekliği stator geriliminin karesine bağlı olarak değişecektir. Devrilme kayması denklem (I7)'de görüldüğü gibi sabit kalacaktır.

2°- Rotor direncinin değiştirilmesi durumunda devrilme momendi denklem I8'de görüldüğü gibi bulunur, fakat devrilme kayması şekil:7'de olduğu gibi artacaktır.



Şekil: 6. Stator geriliminin değişimine bağlı olarak döndürme momenti ve devir sayısı ayar eğrileri.



Şekil:7. Rotor dış direncinin değişimine bağlı olarak döndürme momenti ve devir sayısının değişim eğrileri.

## II-2-2 ASENKRON MAKİНАNIN ŞEBEKE GERİLİM VE FREKANSININ DEĞİŞİMİ DURUMUNDA ETÜT EDİLMESİ.

Bilezikli asenkron makinalarda kayma değerinin küçülmesi ile kalkış momendi ve devir sayısı rahatlıkla değiştirebilmektedir. Asenkron makina'da devir sayısı ayarı durumunda gerilimin ve frekansın birlikte değiştirilmesine gerek vardır.

Böylelikle momentin sabit kalması' da sağlanmış olacaktır.

$$M : \frac{M}{2 \cdot n' \cdot \pi} \cdot \frac{\bar{U}''^2}{R''} \cdot S = 2 \cdot n' \cdot \pi \cdot W'$$

$\bar{U}_o'' : U' : E'_o$  eşitliklerin daha evvel alınabileceği bahsedilmiştir.  $L_h$  ana selfinden geçen mıknatıslama akımı:

$$I_p : \frac{E'_o}{W' \cdot L_h} \text{ değerindedir.}$$

Makina'da oluşan akı:

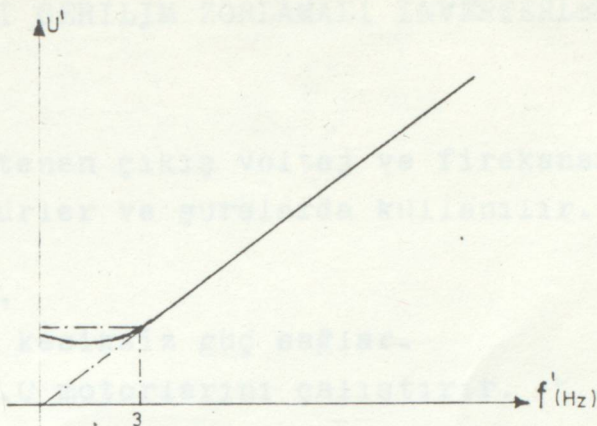
$$\emptyset : I_p \cdot L_h : \frac{E'_o}{W'} : \frac{U'}{W'} \text{ olur.}$$

Bu ifade momend denkleminde yerine konursa:

$$M : \frac{M}{W'} \cdot \frac{U_o''^2}{R''} \cdot S = \frac{I}{W''} \cdot \frac{W'^2 \cdot \emptyset^2}{R''} \cdot \frac{W''}{W'} \\ M : \frac{W''}{R''} \cdot \emptyset^2 \quad (I9)$$

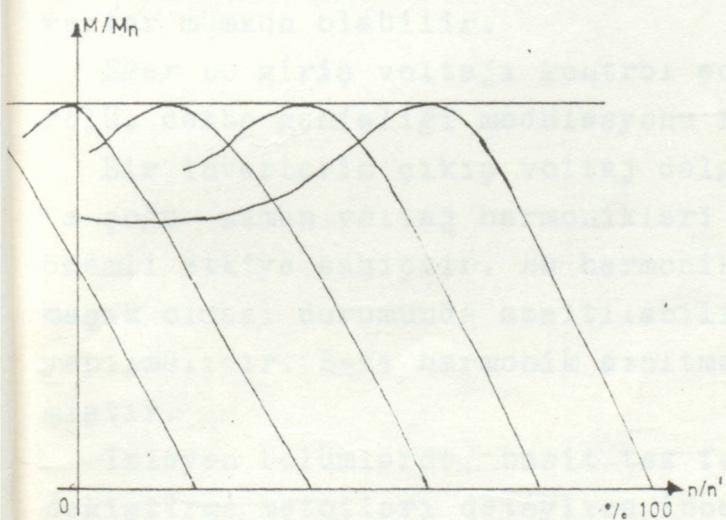
Döndürme momendinin hava aralığında oluşan manyetik akının karesiyle değiştigini bu ifade'den anlamış oluruz. Akının sabit tutulması durumunda döndürme momentinin de sabit tutulabileceği belirlenmiş olur.

$$\emptyset : \frac{U'}{W'} : \text{Sabit} \quad (20)$$

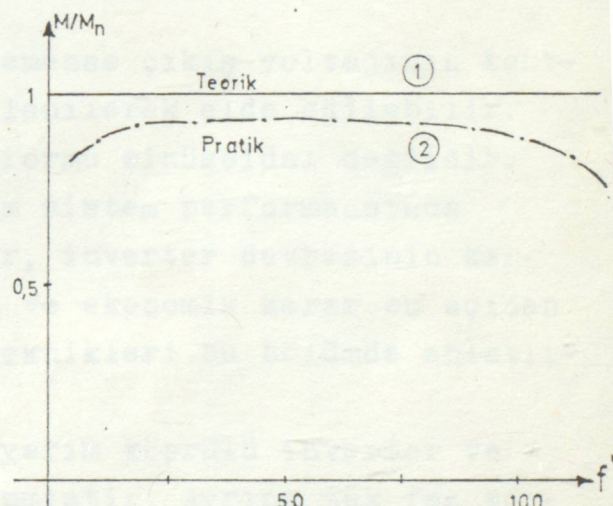


Şekil : 8- Stator gerilimi ve frekansının lineer değişim eğrisi.

Sonuç olarak momentin sabit kalması için  $U'/W'$  oranının yaklaşık olarak sabit kılınmasına gerek duyulmaktadır. Frekansın şekilde görüldüğü gibi 3 H' den küçük konumlarında orantının bozulduğu belirlenmiştir. Düşük frekansta motorun yüklenebilirliğini muhafaza edebilmek için gerilim frekansa nazaran daha küçük kademeler halinde düşürülür.



Şekil:9. Momentin frekans'a bağlı olarak değişimi.



Şekil:IO. Momentin stator gerilimi ile pratik ve teorik olarak değişimi.

## BÖLÜM : III- INVERTERLERİN (EVİRİCİLERİN) İNCELENMESİ :

### III.I- ARA DEVRELİ GERİLİM ZORLAMALI İNVERTERLER :

Inverterler istenen çıkış volaj ve frekansında DC gücünü AC gücüne dönüştürürler ve şuradarda kullanılırlar.

- 1-Yedek güç sağlar.
- 2-Komputerler için kesiksiz güç sağlar.
- 3-Değişken hızlı A.C motorlarını çalıştırır.
- 4-Uçaklara güç sağlar.
- 5-İndüksiyon ısıtma.
- 6-DC iletim hattı çıkışı.

Pek çok inverterin kullanımında, çıkış volajı ve çıkış frekansının birlikte kontrol edilebilmesi gereklidir. Kontrol edilebilir volaj gereksinimi, bağlantılı AC donatımında düzenlemeyi sağlamak gereksiniminden yada mevut frekansındaki değişim sayesince değişken hızlı AC motorlarında sabit akışı korumak gereksiniminden kaynaklanabilir. Eğer DC giriş volajı kontrol edilebilirse, DC giriş volajının AC çıkış volajına oranı sabit bir inverter mümkün olabilir.

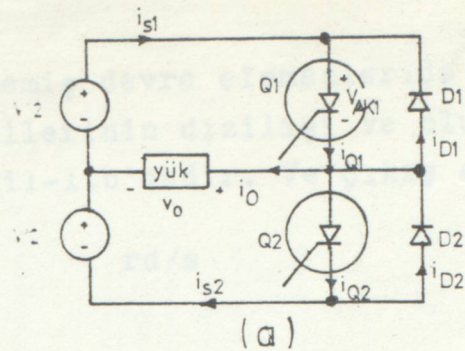
Eğer DC giriş volajı kontrol edilemezse çıkış volajının kontrolü, darbe genişliği modülasyonu kullanılarak elde edilebilir.

Bir inverterin çıkış volaj dalga formu sinüsoidal değildir. Ve çoğu zaman volaj harmonikleri tüm sistem performansında önemli etkiye sahiptir. Bu harmonikler, inverter devresinin karmaşık olması durumunda azaltılabilir. ve ekonomik karar bu açıdan yapılmamalıdır. Bazı harmonik azaltma teknikleri bu bölümde anlatılmıştır.

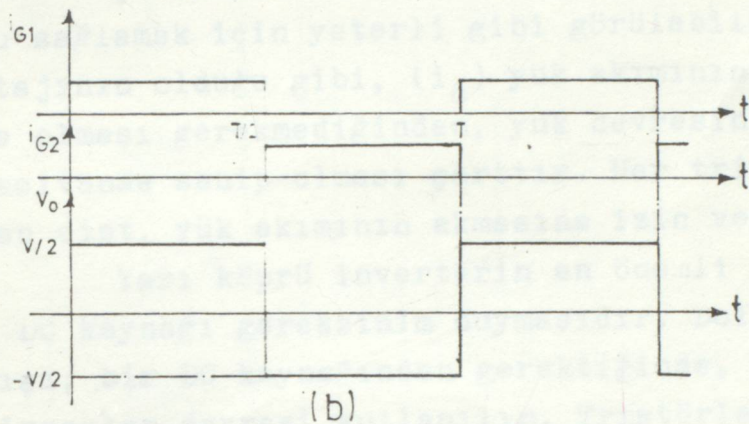
İzleyen bölümlerde, basit tek faz yarım köprülü inverter ve değiştirme metodları detaylıca incelenmiştir. Ayrıca tek faz köprü inverter ve çıkış harmoniklerini azaltan ve volajı kontrol eden yöntemler incelenmiştir.

#### III.I.I- INVERTER DEVRELERİNİN TIPLERİ :

Şekil.I. tek faz yarım köprü inverterin temel prensibi dir. Tristör simbolü bir daire içindedir. Eğer gerekirse diyag-

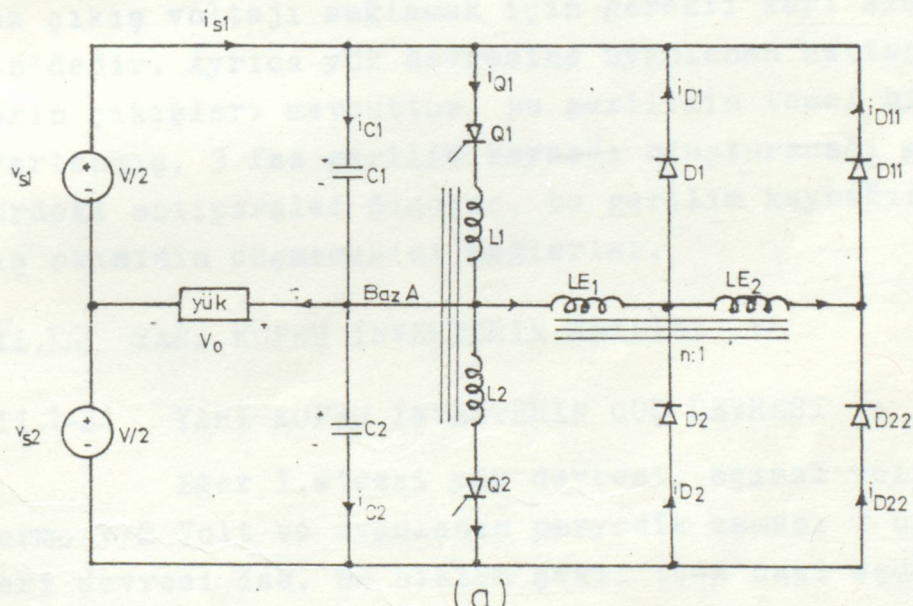


(a)



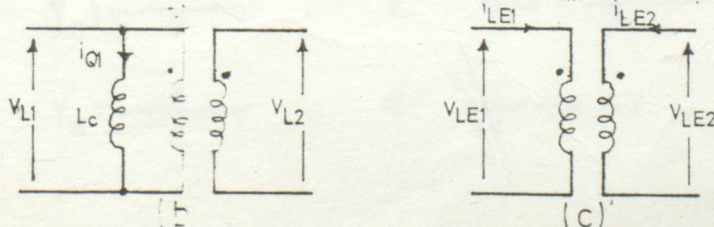
(b)

ŞEKİL : I- Tek faz yarı köprü inverter.



(a)

ŞEKİL : 5- Yarı köprü inverterin tamamlanmış devresi



ramda gösterilmemiş devre elemənlərində deyişirilebilir. tetikleme sinyallerinin dizilişi ve oluşan çıkış voltagı dalga formu şəkil-1.b'dedir. Ve çıkış açısal frekansı:

$$w = \frac{2\pi}{T} \quad \text{rd/s} \quad (I)$$

şəklindedir.

Şəkil-1'deki tek tristör buradaki voltag dalga formunu sağlamak için yeterli gibi görülebilir, oysa ( $V_o$ ) yük voltagının olduğu gibi, ( $i_o$ ) yük akımının aynı anda mutlaka ters olması gerekmediğinden, yük devresinin bazı indüktans ve kapasitansa sahip olması şarttır. Her tristördeki paralel olmayan diot, yük akımının akmasına izin verecektir.

Yarı köprü inverterin en önemli dezavantajı bunun iki DC kaynağı gereksinim duymasıdır. Dolayısıyla tek faz AC çıkışı, bir DC kaynağından gerektiğinde, şəkil-2'deki tam köprü inverter devresi kullanılır. Tristörler için gerekli kapı sinyalleri ve çıkış voltag dalga formu şəkil :2-b'dedir.

Şəkil : 3-a, 3 faz yük devresinin A,B ve C terminallarına bağlanacağı 3 faz yarı köprü inverterinin devresini gösterir. 3 faz çıkış voltagı sağlamak için gerekli kapı sinyalieri şəkil : 3-d'dedir. Ayrıca yük devresine uygulanan hattan hata gerilimlerin çıkışları mevcuttur. Bu gerilimin temel bileşenlerinin ayarlanmış, 3 faz gerilim kaynağı oluşturacağı görülebilir. Tristördeki antiparalel diodlar, bu gerilim kaynağından çekilen çıkış akımının düşmemesini sağlarlar.

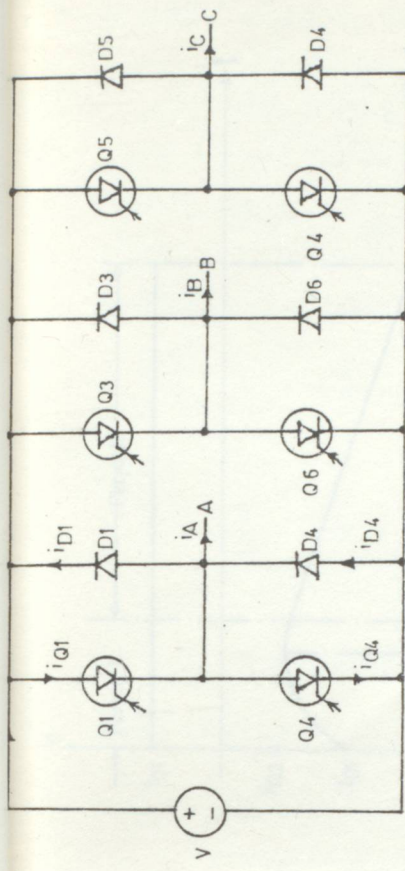
### III.1-2 YARI KÖPRU İNVERTERİN ANALİZİ :

#### III.1-2-1 YARI KÖPRU İNVERTERİN GUÇ DEVRESİ :

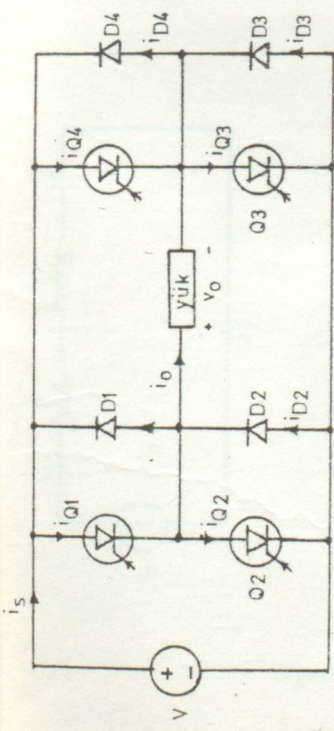
Eğer I.a'daki yük devresi, açısal voltag genişlik formu  $V/2$  Volt ve uygulanan peryodik zamanı  $T$  olan bir RLC seri devresi ise, bu sistem şəkil :4-a'daki eşdeğer devre tərafından simgelenebilir.

$$V_s = \frac{V}{2} \quad \text{v.} \quad 0 < t < \frac{T}{2} \quad \text{s}$$

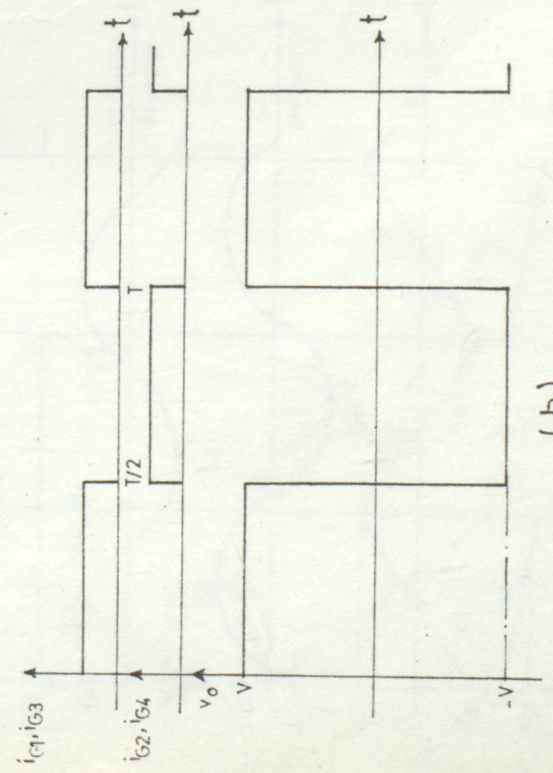
$$V_s = \frac{V}{2} \quad \text{v.} \quad \frac{T}{2} < t < T \quad \text{s} \quad (2)$$



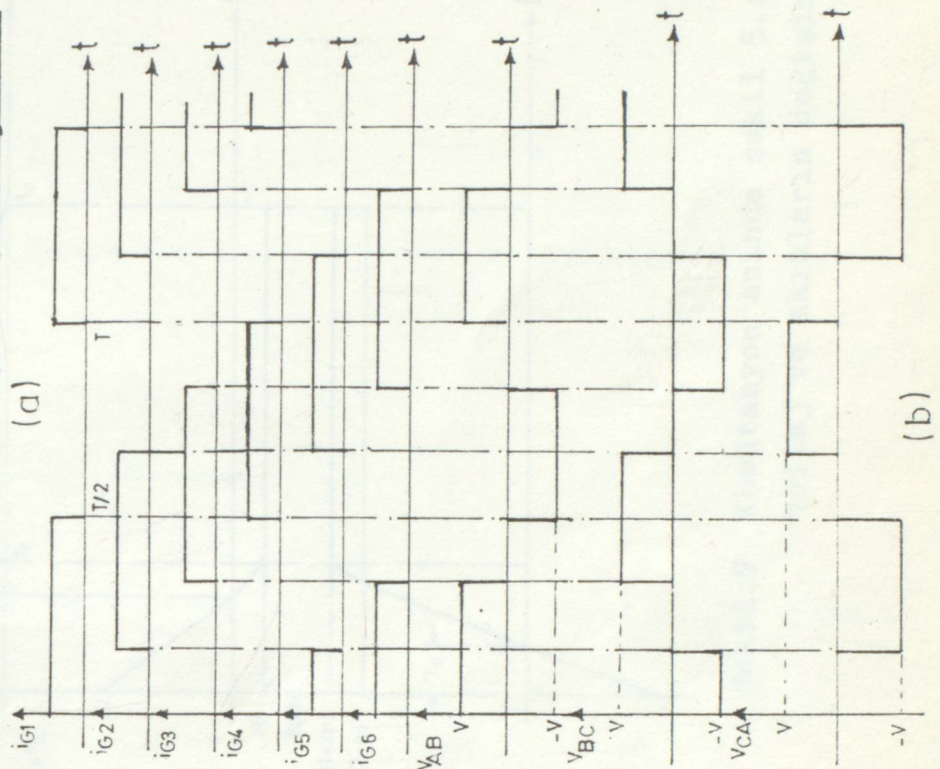
(a)



(a)



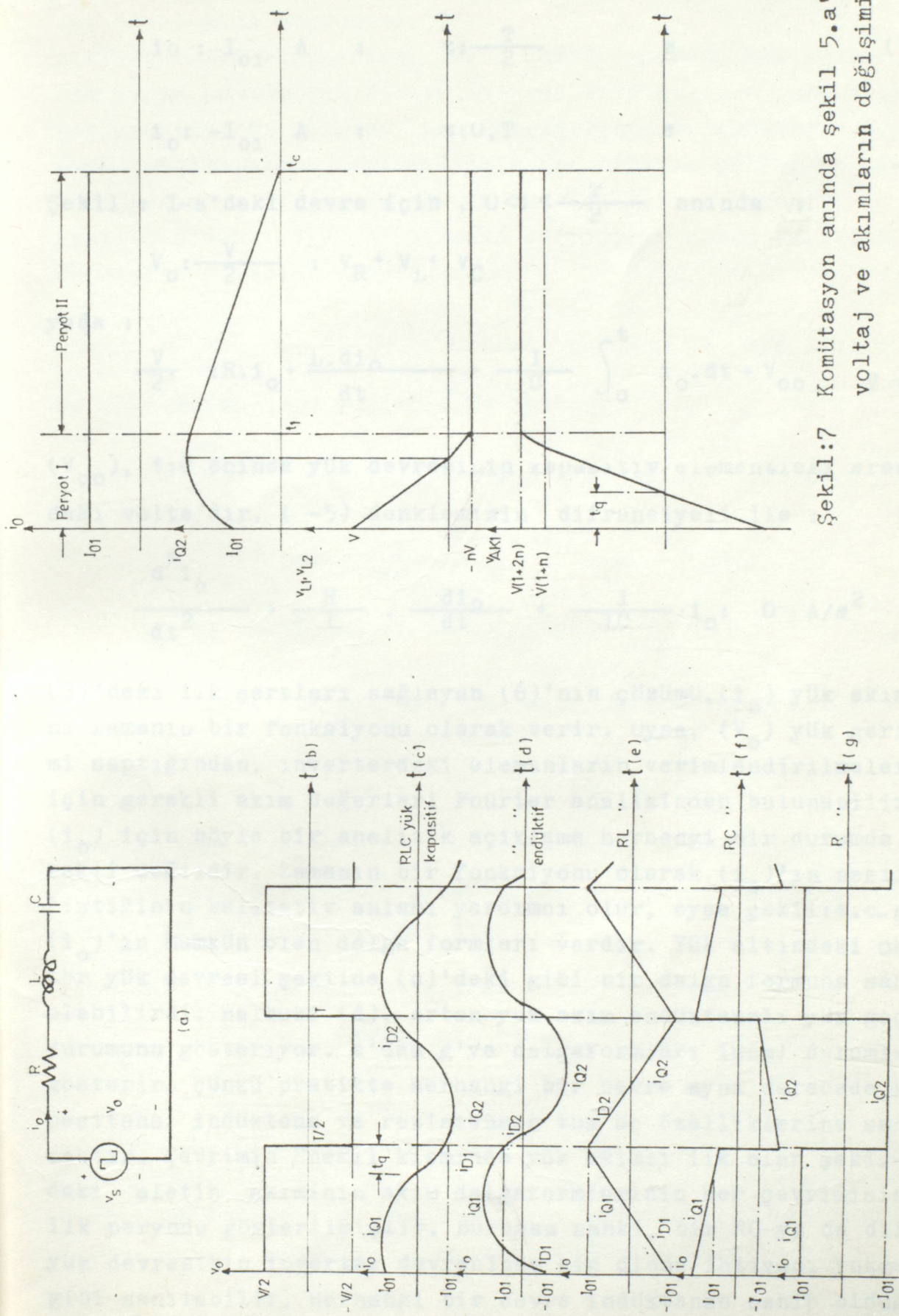
(b)



(b)

**Sekil:2Tek faz köprü inverter.**

**Sekil:3 Üç fazlı köprü inverter.**



**Şekil:7** Komütasyon anında şekeil 5.a'daki voltaj ve akımların değişimi.

Şekil:4 Şekil I.a'daki eşdeğer devrelerin eğrileri.

$(V_s)$  kaynak voltagının çeşitli çevrimleri için zaman geçtiğinde, akımın zaman değişimi peryodik hale getirilir.

$$i_o : I_{o1} \text{ A} : t : \frac{T}{2} \text{ s} \quad (3)$$

$$i_o : -I_{o1} \text{ A} : t:0, T \text{ s}$$

Şekil :  $I-a'$ 'daki devre için,  $0 < t < \frac{T}{2}$  anında :

$$V_o : \frac{V}{2} : V_R + V_L + V_C \quad (4)$$

yada :

$$\frac{V}{2} : R \cdot i_o + \frac{L \cdot di_o}{dt} + \frac{1}{C} \int_0^t i_o \cdot dt + V_{co} \quad V \quad (5)$$

$(V_{co})$ ,  $t:0$  anında yük devresinin kapasitif elementleri arasındaki voltagıdır. (-5) denkleminin difransiyeli ile :

$$\frac{d^2 i_o}{dt^2} + \frac{R}{L} \cdot \frac{di_o}{dt} + \frac{1}{LC} \cdot i_o : 0 \text{ A/s}^2 \quad (6)$$

(3)'deki ilk şartları sağlayan (6)'nın çözümü,  $(i_o)$  yük akımını zamanın bir fonksiyonu olarak verir. Oysa,  $(V_o)$  yük geriliği saptığından, inverterdeki elementlerin verimlendirilmeleri için gerekli akım değerleri Fourier analizinden bulunabilir.  $(i_o)$  için böyle bir analitik açıklama herhangi bir durumda gerekli değildir. Zamanın bir fonksiyonu olarak  $(i_o)$ 'ın nasıl değiştiğinin kalitatif aniamı yardımcı olur, oysa şekil:4.c-g'de  $(i_o)$ 'ın mümkün olan dağıa formları vardır. Yük altındaki osilatör yük devresi şekilde (c)'deki gibi bir dağıa formuna sahip olabilirdi. Malbüki (d), artan yük akım endüktanslı yük geçiş durumunu gösteriyor. e'den g'ye dalgaformları ideal durumları gösterir, çünkü pratikte herhangi bir devre aynı derecede kapasitans, induktans ve rezistansın tüm üç özelliklerine sahip olacaktır. Çevrimin önemi kısmında yük akımı ilk olan şekil-I-a' daki aletin akımının akım dalgaformlarının her çevriminin ilk peryodu gösterilmiştir. Buradan sanki, bir RC ya da direnç yük devresinin inverter devresinde hiç dioda ihtiyacı yokmuş gibi sanılabilir. Herhangi bir devre induktansa sahip olduğu

için, devre bağlantısından kaynaklanan hazır indüktans (f) ve (g) dalga formları, (d) dalga formunun sınır değerlerindeki gibi düşünülmelidir.

Şekil-4-'deki eğrilerden, yükün doğal yapısına bağlı olarak, her yarı çevrimdeki farklı anlarda tristörlerin bağlantıya başlayabileceğinin görülebilir. Gerekteğinde tristörlerin bağlantıya başlamalarını sağlamak için her birinin şekil-4-b'deki gibi yarı çevrimler sayesinde düzenli olarak gerekir.

Şekil-4-b'deki ( $V_o$ ) yük devresi voltajının zaman değişimi, Fourier serilerinden bulunur.

$$V_o : \sum_{n=1}^{\infty} \frac{2V}{n\pi} \cdot \sin(nwt) \quad V : n:1,3,5\dots \quad (7)$$

Bu serilerden ( $i_o$ ) yük akımında bulunur.

$$i_o : \sum_{n=1}^{\infty} \frac{2V}{n\cdot Z_n \pi} \cdot \sin(nwt - \phi_n) \quad A : n:1,3,5\dots \quad (8)$$

$$Z_n : \left[ R^2 + \left( nwL - \frac{1}{nwC} \right)^2 \right]^{1/2} \quad (9)$$

$$\phi_n : \tan^{-1} \frac{nwL - \frac{1}{nwC}}{R} \quad rd. \quad (10)$$

Değişim anında yük devresi, (8) denkleminden  $wt:\pi$  ile saptanabilir.

$$i_o : I_{o1} \quad A : wt:\pi \quad rd. \quad (II)$$

Eğer  $I_{o1} > 0$  ise, şiddetli değişim sağlanmalıdır. Eğer  $I_{o1} < 0$  ise, izleyen bölümlerde açıklandığı gibi, tristörlerin yük değişimine güvenmek mümkün olur.

### III-1-2-2 YÜK KOMUTASYONLU YARI KÖPRÜ INVERTERLER :

Eğer yük devresinin parametreleri uygulanan voltajın dört köşe dalga formuna tepkisi osilatör yük devresi gibi olursa, bu akımın zaman değişimi şekil-4-C'deki gibi bir dalga formu olabilir. Böyle bir durumda ( $V_o$ )'dan önce ( $i_o$ ) ters döner, böylece yük akımının her yarı çevriminin sonunda diodlarca nakledilir. Şekil-4'deki voltajın ilk yarı çevrimi sırasında ( $i_o$ ) akımı  $t:t_x$  anında negatif olursa ve :

$$t_q : \frac{T}{2} - t_x > t_{off} \quad s \quad (12)$$

toff,  $Q_1$  ve  $Q_2$  tristörleri için kapama zamanı ise, tetikleme sinyali  $Q_1$ 'den uzaklaşırken :  $t = \frac{T}{2}$  anında  $Q_2$  çevrilir,  $Q_1$  bağlantı yapamaz. Bu şartlar altında, inverter yük değişimlidir. Eğer (12) eşitsizliği uygun değilse, veya (g) yi uygulamak için şekil-4-d'deki herhangi bir şart varsa, tristörler yük bağlantılı olmalıdır.

Ornek : I- Şekil : I-a'daki RLC seri devrede,  $R=0,8$

$wL = 10$ ,  $\frac{I}{wC} = 10$ ,  $V/2:25$  V. Kapı sinyalleri şekil-1-b'dedir.

a)  $v_o, i_o, i_{Q1}, i_{Q2}, i_{D2}, i_{D1}, i_{S1}, i_{S2}$  dalgalar formlarını kabaca çiz.

İlk komponentlerden daha yüksek akım harmonikleri ihmal edilebilir.

b) Yük devresine verilen güce eşit iki kaynak tarafından verilen gücü göster.

c) Varsa devrenin yük değişimine ihtiyacını saptayınız?

ÇÖZÜM : a- Zaman değişimleri Şekil : E.I'dedir.

b- Yıkış zamanın ilk komponentinin rms değeri (8) ve (9) denkleminde:  $I_{1R} = \frac{2\pi 50}{\sqrt{2}\pi 0,8} = 28,13$  A.

Yüke verilen güç :  $P_o = R \cdot I_{1R}^2 = 0,8 \cdot 28,13^2 = 633$  w.

Her kaynaktan alınan güç :  $P_s = \frac{V}{2} \cdot I_s$ . W

Bir çevrimden geçen kaynak akımının ortalama değeri ( $I_S$ ) olduğuna göre,

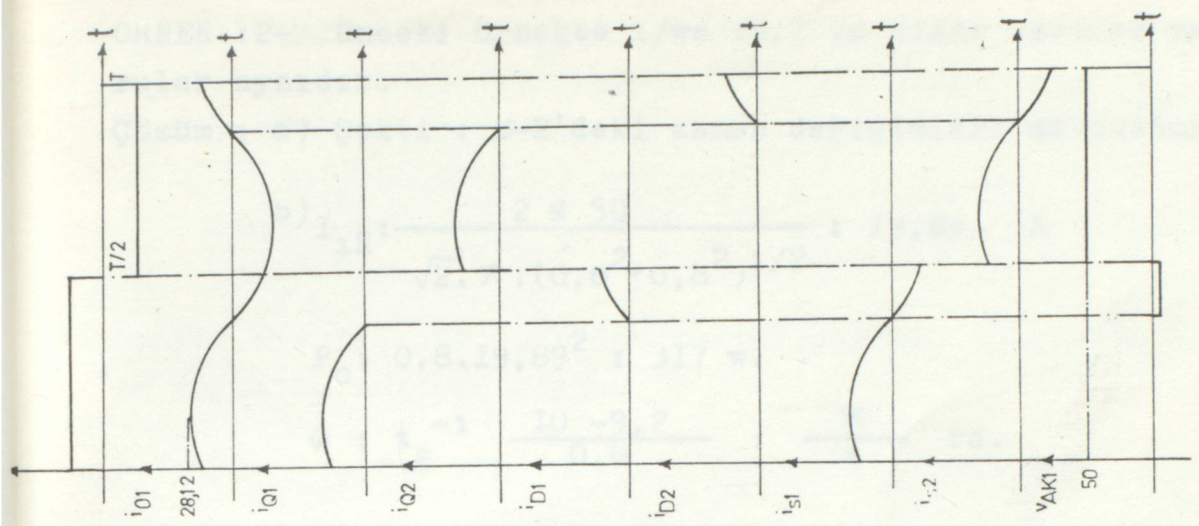
$$P_s = \frac{V}{2} \cdot \frac{\sqrt{2}}{\pi} \cdot I_{1R} = \frac{25 \cdot 2 \cdot 28 \cdot 13}{\pi} = 317 \text{ W.}$$

İki kaynak tarafından verilen güç :  $2P_s = 634 = P_o$  W olmaktadır.

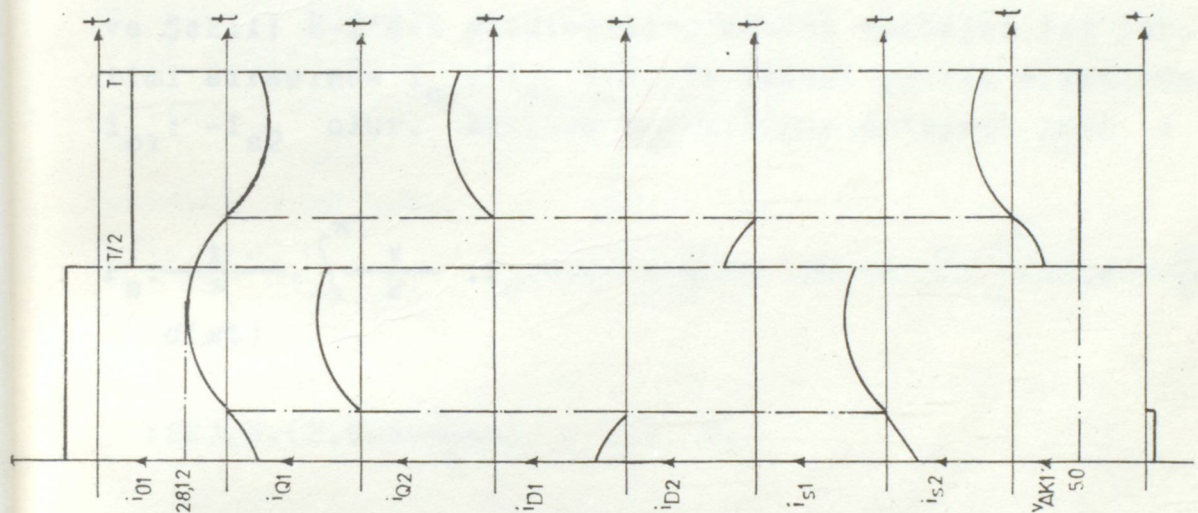
c- (12) eşitsizliğinden, şekil : E-I'deki egrilerden

$$\frac{T}{2} - t_x = 0 \text{ sn.}$$

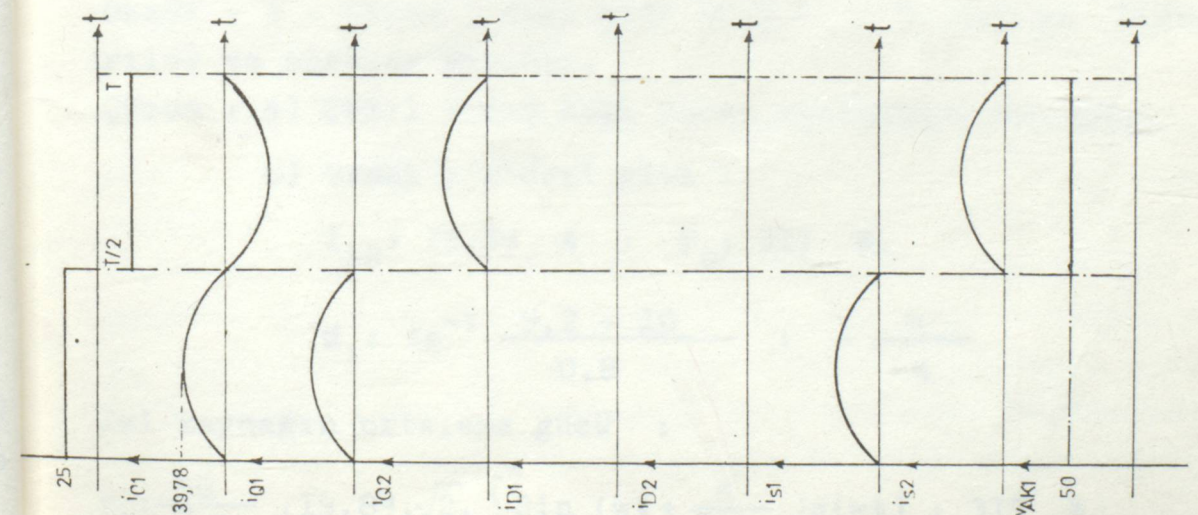
Böylece yük değişimi ve kapamak için uygun bir zaman gereklidir.



Şekil:E.3



Şekil:E.2



Şekil:E.1

ORNEK : 2- Onceki örnekte  $i_{wc} : 9,2$  ve diğer veriler ve sorular aynıdır.

Çözüm : a) Şekil : E-2'deki zaman değişimleri mevcuttur.

$$b) I_{1R} : \frac{2 \times 50}{\sqrt{2} \cdot \pi \cdot (0,8^2 + 0,8^2)^{1/2}} : 19,89 \text{ A}$$

$$P_o : 0,8 \cdot 19,89^2 : 317 \text{ w.}$$

$$\theta : t_g^{-1} \frac{10 - 9,2}{0,8} : -\frac{\pi}{4} \text{ rad.}$$

(8) denkleminden :

$$I_{o1} : 2 \cdot I_{1R} \cdot \sin\left(\omega t - \frac{\pi}{4}\right) \text{ A}$$

ve Şekil : E-2'den görülebilir, mevcut voltagın ilk yarı çevrimi sırasında  $i_{o1} : i_{s1}$  'dır. Ve ikinci çevrim sırasında,  $i_{o1} : -i_{s2}$  olur. Böylece kaynakların ortaçama gücü :

$$P_s : \frac{1}{\pi} \cdot \int_0^{\frac{\pi}{2}} \frac{V}{2} \cdot i_o \cdot d(\omega t) \approx \frac{50}{2} \cdot 19,89 \cdot \sqrt{2} \cdot \int_0^{\frac{\pi}{4}} \sin\left(\omega t - \frac{\pi}{4}\right) \cdot d(\omega t)$$

$$: 223,8 \cdot (2 \cdot \cos \frac{\pi}{4}) : 317 \text{ w.}$$

c) (12) eşitsizliğinde  $t_x > T/2$  ve  $t_q < 0$ 'dır. Yük değişimi için uygun zaman yoktur, kuvvetli değişim sağlanmalıdır.

ORNEK : 3 - Örnek-I'deki gibi  $wL : 9,2$ ,  $T : 2500 \mu s$  Diğer ve riler ve sorular aynıdır.

Çözüm : a) Şekil I E-3 deki zaman değişimleri mevduttur.

b) Ornek : 2'deki gibi :

$$I_{1R} : 19,89 \text{ A} : P_o : 317 \text{ w.}$$

$$\theta_1 : \operatorname{tg}^{-1} \frac{9,2 - 10}{0,8} : -\frac{\pi}{4}$$

İki kaynağın ortaçama gücü :

$$P_s : \frac{50}{2 \cdot \pi} \cdot 19,89 \cdot \sqrt{2} \cdot \int_0^{\frac{\pi}{4}} \sin\left(\omega t + \frac{\pi}{4}\right) d(\omega t) : 317 \text{ w}$$

$Q_2$  açılmadan önce, ( $Q_1$ ) tristöründeki akım sıfıra düşer. Eğer (II) eşitsizliği uygunsa, yük değişimi uygun olur. Açısal süre (wtq) şekil : E-3'dür.

$$tq: \frac{\pi}{4W} : \frac{\pi}{4} \cdot \frac{T}{2\pi} : \frac{T}{8} : \frac{2500}{8} : 312,5 \text{ ysn olur.}$$

(toff) bir tristör için 150 ysn'yi aşarsa, bu sistem kuvvetli değişime ihtiyaç duymaz.

### III-1-2-3 VOLTAJ KOMUTASYONLU YARI KÖPRÜ INVERTER :

Şekil: 5-a- Mc.Murray-Bedford, voltaj değişim metodunu gösterir. Bu devrede, ( $Q_2$ ) tristörünün açılması ( $Q_1$ ) tristörünü kapar. Eğer bağlantılı ve zıt ise bu gerçekleşir. Bu teknik değişim için ek tristörlere gereksinim duymadığı için avantajlıdır. Ama pahalı endüktif ve kapasitif ekiemek maliyeti arttırır.

Şekil: 5-a'da,  $D_1$  ve  $D_2$ , şekil: I-a'daki güç devresindeki diodlardır. İki bağlantının kapasiteler eşit değere sahiptir.

$$C_I : C_2 : C = F \quad (I3)$$

Böylece iki bağlantının endüktanslarında eşit değere sahip olur.

$$L_I : L_2 : L = H \quad (I4)$$

Bu iki self, doğrusallığı sağlamak için bir hava yarığı olsun aynı göbek üzerine serilir. Böylece, bunlar şekil : 5-b'deki eşdeğer devre tarafından simgelenen ve syri bir mağnetik akım gerektiren ideal bir transformatör olarak kabul edilebilirler.

$$V_{L1} : V_{L2} = V \quad (I5)$$

Iki sargı aynı mikarda çerime sahip olduğundan, magnetik self ( $Lc$ ) ideal transformatörün her sargısında bağlantılı olarak düşünülebilir. Bu sargıların her tristörde seri halde bağlantılı olduklarına dikkat edilmelidir. İki tristör benzer şekilde bağlanmayaçağ için, transformatörün yalnızca bir sargısının, herhangi bir anda akımı taşıyacağı ortaya çıkar. Ayrıca, "bir induktif devredeki akımın aniden degismeyeceği ifadesi, bu durumda, "Herhangi bir devrenin akım bağlantısının

"aniden değişmeyeceği" ifadesi ile yer değiştirilebilir. Bu demektir ki, bir transformatör göbeğinde (mmk) akısı aniden değişemez iken, diğerlerince ikinci olarak sağlanan (mmk) ile yer değiştirdiği sürece, devredeki sağlanan akım da değişemez.  $L_{E1}$  ve  $L_{E2}$  selfileri, aynı göbek üzerine sarılırlar, ama bu hava yarığına sahiptir ve sargılar ve göbek ideal olarak dikkate alınabilecek bir transformatör oluşturur. Bu transformatör şekisi : 5.c'deki eşdeğer devre tarafından simgelenebilir. Bunun dönüştürme oranı :

$$n : \frac{N_1}{N_2} < I \quad (I6)$$

Böylece her zaman :

$$\frac{V_{E1}}{V_{E2}} : n : \frac{-i_{LE2}}{i_{LE1}} \text{ olur.} \quad (I7)$$

Göbekteki net (mmk) sıfır olması gerekiğinden, bu transformatör cinsi, akım bir diğerinde düşmedikçe bir sargıda düşmeyen tipidir. Transformatörle bağlantılı  $D_{11}$  ve  $D_{12}$  diodları,  $L_1$  ve  $L_2$  selflerinde değişim anında depolanan enerji ( $V_{S1}$ ) ve ( $V_{S2}$ ) voltaj kaynaklarına geri dönen bir enerji düzeltme devresi oluşturur. Değişim transformatörün  $L_c$  indüktansı için mikrohenriler gerekebilirken, enerji düzeltme transformatörü  $L_{E1}$  ve  $L_{E2}$  selflerine milihenri gerektirir. (Geçiş anında) Değişim anındaki devre işleminin kısaca tanımı aşağıdaki açıklama ile anlaşılacaktır.

Değişim anının period  $i$ 'in başlangıcında ( $Q_2$ ) tristörü açılırken  $L_2$  selfine  $C_2$  kapasitesi boyunca voltaj uygulanır. Ve böylece  $L_1$  selfinin terminalerinde ortaya çıkar. Bu aniden açılan  $Q_1$  tristörünü değiştirir.  $L_1$  ve  $L_2$  selflerinin göbeğindeki (mmk) aniden değişemez. Böylece  $L_1$  selfindeki ilk akım,  $L_2$  selfindeki eşit bir akım sayesinde aniden yer değiştirebilir. Bu akıma  $L_2$  selfi ve  $C_2$  kapasitesi tarafından oluşturulan döner devre içinde bir osilatör bileşeni düşmesi eklenir. Osilatör akımı yüzünden  $L_{E1}$  ve  $L_{E2}$  self voltajları değişir ve  $V_{LE2}$  kombine kaynak voltajında önemli bir eşdeğer negatif değer sağlarken,  $D_2$  ve  $D_{11}$  diodları bağlantı yapar. Bu değişim aniden birinci peryodu sona erdirir.

Değişim anının 2.ci peryodu esnasında, sabit voltaj kaynaklarındaki  $D_2$  ve  $D_{II}$  diodları vasıtasyyla akımın düşmesi nedeniyle  $L_1$  self boyunca voltaj kenetlenir. Böylece,  $Q_2$  tristör ve  $L_2$  induktöründeki akım düzenli bir şekilde sıfıra düşer ve bu değişim anının 2.ci peryodunu sona erdirir. 2.peryod sırasında,  $L_2$  selfinin göbeğinde depo edilen enerji yeniden elde edilir. ve kaynağa geri gönderilir. Devrenin detaylı analizi şimdilik yeniden incelenecektir.

$Q_1$  tristörü bağıntı yaparken  $i_{Q_1} : i_o$  ve şekil : 4'deki akım dağı formundan görülebileceği gibi  $\frac{di_{Q_1}}{dt}$ , yarı çevrimin başında büyük olabilir. Oysa, kısa bir süre sonra  $Q_1$  akımın değişim oranı (verimi) başıadıktan sonra oldukça azalacaktır ve böylece  $L_c$  küçük bir self olur.

$$L_c \cdot \frac{\frac{di_{Q_1}}{dt}}{dt} : V_{L_1} \ll \frac{V}{2} \quad V \quad (18)$$

$C_1$ ,  $Q_1$  ve  $L_1$  içeren devre ağı için :

$$V_{c1} : V_{L_1} \approx 0 \quad V \quad (19)$$

Ve  $Q_1$  ve  $L_1$  içeren devre için, yük devresi ve  $V_{s1}$  kaynağı :

$$V_o : \frac{V}{2} \quad V \quad (20)$$

$C_2$ 'yi içeren devre için, yük devresi ve  $V_{s2}$  kaynağı :

$$V_{c2} : V_o + V_{s2} : V \quad V \quad (21)$$

Değişim anı,  $Q_2$  tristörü açılırken başlar. Bu an, şekil : 4'deki  $t : \frac{T}{2}$  'ye uyan  $t:0$  orjin olarak alınabilir ve şekil:

7'deki ( $V_o$ ) ikinci yarı çevrimi sırasında devrenin zaman değişimini görebiliriz.

$$V_{c1} : 0 \quad V ; \quad V_{c2} : V \quad V ; \quad t:0 \quad sn. \quad (22)$$

$Q_2$  açılmadan önce (22) eşitliğinde verilen değerlere kapasite voltajları ulaştığı için sonuç :

$$i_{c1} : i_{c2} : 0 \quad A ; \quad t:0^- \quad sn \quad (23)$$

Bu anda (II)'den elde edilen değere yük akımı ulaştığı için :

$$i_o : i_{o1} \quad A \quad ; \quad t:0^- \text{ sn} \quad (24)$$

Şekil : 5.a'daki devrenin (a) düğümü için :

$$i_o - i_{c1} + i_{c2} - i_{Q1} + i_{Q2} + i_{LE1} : 0 \quad A \quad (25)$$

$$i_{Q1} : i_o \quad \text{ve} \quad i_{Q2} : 0 \quad \text{olduğu için} \quad (23)'den:$$

$$i_{LE1} : 0 \quad A \quad t:0^- \quad s \quad (26)$$

$$i_{LE2} : 0 \quad A \quad t:0^- \quad s \quad (27)$$

Denklem : I9'dan  $C_2$ ,  $I_2$  ve  $Q_2$ 'yi içeren devre ağrı için :

$$V_{12} : V_{L1} \approx 0 \quad V \quad t:0^- \quad s \quad (28)$$

$$V_{AK2} : V_{C2} : V \quad V \quad t:0^- \quad s \quad (29)$$

Değişiklik anının başlamasından önceki şartlara Tablo : 1'deki gibi ulaşılmıştır.

Tablo : 1- t:0 anındaki devre parametrelerinin eşdeğerlerinin karşılıkları.

$$i_o : I_{o1} \quad A \quad V_{co} : \frac{V}{2} \quad V$$

$$V_{c1} : 0 \quad V \quad V_{C2} : V \quad V$$

$$i_{c1} : 0 \quad A \quad i_{C2} : 0 \quad A$$

$$V_{L1} : V_{L2} : 0 \quad V$$

$$i_{Q1} : I_{o1} \quad A \quad i_{Q2} : 0 \quad A$$

$$V_{AK1} : 0 \quad V \quad V_{AK2} : V \quad V$$

$$i_{LE1} : 0 \quad A \quad i_{LE2} : 0 \quad A$$

PERYOT I -

$t:0'$  da,  $Q_2$  açılır,  $V_{AK2}$  voltajı sıfıra düşer.  $Q_2$ ,  $C_2$  ve  $L_2$ 'yi içeren devre ağrı için :

$$V_{L2} : V_{C2} : V \quad V \quad ; \quad t:0^+ \quad \text{sn} \quad (30)$$

$Q_1$ ,  $C_1$ ,  $L_1$  içeren devre ağı için :

$$V_{AK1} : -V_{L1} : -V \quad V, \quad t: 0^+ \text{ sn} \quad (31)$$

$Q_1$  komütasyona geçer. ( $i_{Q1}$ ) anı sıfır olur,  $i_{Q2}$  değeri :

$$i_{Q2} : I_{o1} \quad A; \quad t: 0^+ \text{ sn} \quad (32)$$

$V_{L1}$  ve  $V_{L2}$  her ikiside pozitif V değeri olduğu için ve hiç bir akım  $t: 0^+$ 'da  $L_{E1}$  ve  $L_{E2}$ 'de düşmediği için, (i), hiçbir akım düşmediği,  $t: 0^+$ 'da herhangi dört diodu izler. Değişim anının 1. peryodu sırasında gözönüne alınacak devre şékil : 6.a'dadır. Bu devre için verilen şartlar Tablo : 2'dedir. Tablo : 2-t: 0<sup>+</sup> anında Şékil : 6.a'daki devrenin parametre değerleri :

$$i_o : I_{o1} \quad A \quad V_o : \frac{V}{2} \quad V$$

$$V_{c1} : 0 \quad V \quad V_{c2} : V \quad V$$

$$I_{c1} : I_{o1} \quad A \quad i_{c2} : -I_{o1} \quad A$$

$$V_{L1} : V_{L2} : V \quad V$$

$$i_{Q1} : 0 \quad A \quad i_{Q2} : I_{o1} \quad A$$

$$V_{AK1} : -V \quad V \quad V_{AK2} : 0 \quad V$$

Şékil : 6.a'daki devre ağı,  $C_1$ ,  $C_2$ ,  $V_{S2}$  ve  $V_{SI}$ 'i içeren :

$$\frac{1}{C} \cdot \int_0^t i_{c1} \cdot dt + \frac{1}{C} \cdot \int_0^t i_{c2} \cdot dt + V : V \quad V \quad (33)$$

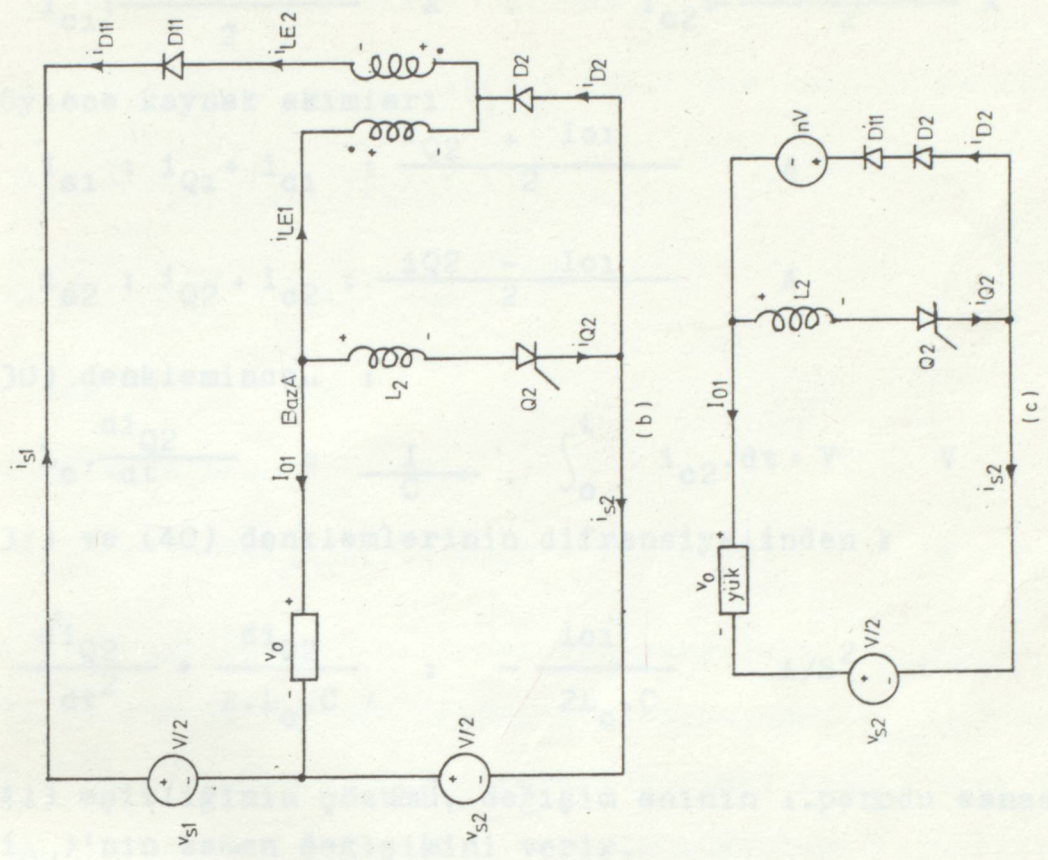
(22) eşitliğindeneki ilk şartlar sağlanmıştır. (33) denkiemineen:

$$i_{c1} : -i_{c2} \quad A \quad (34)$$

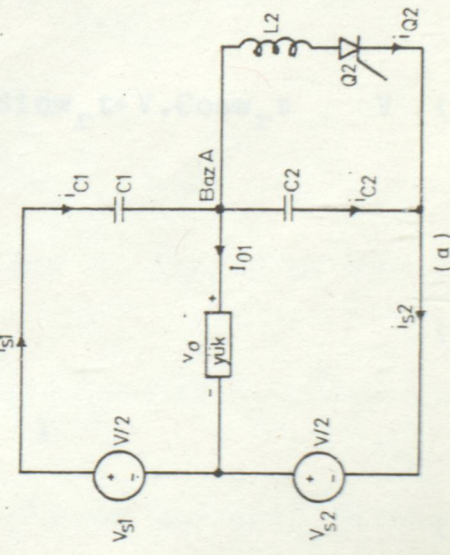
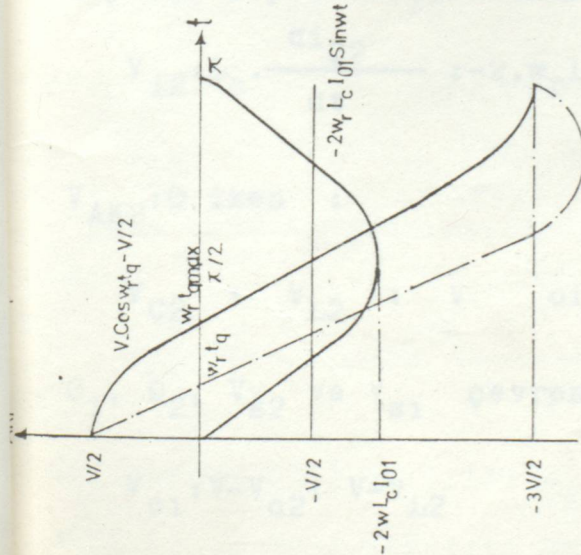
Devrenin (a) düğümü için :

$$i_o - i_{c1} + i_{c2} + i_{Q2} : 0 \quad A \quad (35)$$

$$\text{veya} : I_{o1} + i_{Q2} : i_{c1} - i_{c2} \quad A \quad (36)$$



Şekil:8 Tristörün kapanması için uygun  $t_q$  anı.



SEKİL.6- Şekil 5.a'daki Tristörlerin komütasyonu anında uygulanan esdeğeri (övveloları).

(34) ve (36) denklemlerinden :

$$i_{c1} : \frac{I_{o1} + i_{Q2}}{2} \quad A \quad . \quad i_{c2} : \frac{(I_{o1} + i_{Q2})}{2} \quad A \quad (37)$$

Böylece kaynak akımları :

$$i_{s1} : i_{Q1} + i_{c1} : \frac{i_{Q2} + I_{o1}}{2} \quad A \quad (38)$$

$$i_{s2} : i_{Q2} + i_{c2} : \frac{i_{Q2} - I_{o1}}{2} \quad A \quad (39)$$

(30) denkleminden :

$$L_c \cdot \frac{di_{Q2}}{dt} = \frac{I}{C} \cdot \int_0^t i_{c2} \cdot dt + V \quad V \quad (40)$$

(37) ve (40) denklemlerinin difransiyelinden :

$$\frac{d^2 i_{Q2}}{dt^2} + \frac{di_{Q2}}{2 \cdot L_c \cdot C} : - \frac{I_{o1}}{2 L_c \cdot C} \quad A/s^2 \quad (41)$$

(41) eşitliğinin çözümü, değişim anının 1. periyodu esnasındaki ( $i_{Q2}$ )'nin zaman değişikliğini verir.

$$i_{Q2} : 2 \cdot I_{o1} \cdot \cos w_r t + \frac{V}{w_r L_c} \cdot \sin w_r t - I_{o1} \quad A \quad (42)$$

$$w_r : \frac{I}{[2 L_c \cdot C]^{1/2}} \quad \text{rd/s} \quad (43)$$

Böylece 1. period sırasında :

$$V_{L2} : L_c \cdot \frac{di_{Q2}}{dt} : -2 \cdot w_r L_c \cdot I_{o1} \cdot \sin w_r t + V \cdot \cos w_r t \quad V \quad (44)$$

$V_{AK2} = 0$  iken :

$$V_{C2} : V_{L2} : V \quad \text{olur.} \quad (45)$$

$C_1, C_2, V_{S2}$  ve  $V_{S1}$  çevresi için :

$$V_{C1} : V - V_{C2} : V - V_{L2} \quad V \quad (46)$$

(44), (45) ve (47) eşitliklerinden :

$$V_o := -2 \cdot w_r \cdot L_c \cdot I_{o1} \cdot \sin w_r t + V \cdot \cos w_r t - \frac{V}{2} \quad (48)$$

$Q_1, L_1, L_2, Q_2, V_{s2}, V_{s1}$  içeren şekil : 5.a'daki devre için :

$$V_{AK1} + V_{L1} + V_{L2} + V_{AK2} - V = 0 \quad (49)$$

$V_{AK1} = 0$  ve  $V_{L1} = V_{L2}$  iken :

$$V_{AK1} = V - 2 \cdot V_{L2} \quad (50)$$

(44) ifadesinden  $V_{L2}$  için :

$$V_{AK1} = V + 4 \cdot w_r L_c I_{o1} \cdot \sin w_r t - 2V \cdot \cos w_r t \quad (51)$$

Enerji dengeleyen transformatorün sargıları  $|V_{LE2}| \geq V$  ( $V$ ) olmakça enerji kaynağa transfer edemez. Eğer  $V_{LE2} \geq V$  ise yani  $V_{LE1} \geq nV$  ise,  $D_1$  ve  $D_{22}$  diodları kontakt yapar. Eğer  $V_{LE2} \leq V$ , yani  $V_{LE1} \leq nV$  ise  $D_2$  ise  $D_{11}$  diodları kontakt yapacaktır. Herhangi bir çiğt aiod bağıntısı yapmaya başlayınca,  $t:t_1$  anında period I biter  $L_2$  ve  $L_{E1}$  içeren Şekil : 5.a'daki devre ağında  $V_{O2}$  sıfır olur,  $V_2$  bağıntısı yapmaya başlar.

$$V_{LE2} = -V : t:t_1 \quad (53)$$

$$V_{LE1} = V_{L2} = V_{L1} = -nV : t:t_1 \quad (54)$$

(44) eşitliğinden, (54) şunu verir .

$$V_{L2} = -2 \cdot w_r L_c I_{o1} \cdot \sin w_r t_1 + V \cdot \cos w_r t_1 = -nV \quad (55)$$

$t_1$  için denklem çözülebilir ki böylece I. Peryod bitimi bulunur.

$$t_1 = \frac{1}{w_r} \cdot \sin^{-1} \frac{nV}{[(2w_r L_c I_{o1})^2 + V^2]^{1/2}} + \tan^{-1} \frac{V}{2w_r L_c I_{o1}} \quad (56)$$

$t:t_1$  anında (54) eşitliği  $V_{L2} < 0$  olduğunu gösterir. Ve bir süre sonra ( $i_{Q2}$ ) tepe değerini geçtikten sonra peryod I sona erer.

Bu durum, başlıca devre akımlarının zaman değişiminin ve değişim anındaki voltajlarının gösterildiği şekli : 7'de mevcuttur.

$t:t_1$  anında (42) eşitliğinden :

$$i_{Q2} : 2 \cdot I_{o1} \cdot \cos w_r t_1 + \frac{V}{w_r L_c} \cdot \sin w_r t_1 - I_{o1} = I_{Q2} \quad (57)$$

Ayrıca  $t:t_1$  anında (50) ve (55) eşitliklerinden :

$$V_{AK1} : V(I + 2n) ; \quad t:t_1 \quad (58)$$

$V_{AK2} : 0$  iken :

$$V_{C2} : V_{L2} : -nV ; \quad t:t_1 \quad (59)$$

$$\text{Ve, } V_{c1} : V_{S1} + V_{S2} - V_{C2} = V.(1+n) ; \quad t:t_1 \quad (60)$$

$C_2$ , kaynak  $V_{S2}$  ve yük devresini içeren devre ağı için :

$$V_{C2} - V_{S2} - V_o : 0 ; \quad t:t_1 \quad (61)$$

(59) eşitliğinden :

$$V_o : -\frac{V}{2} \cdot (1+2n) ; \quad t:t_1 \quad (62)$$

PERYOD II : Peryod I vasıtasiyla,  $D_2$  ve  $D_{11}$  diodları bağlıtı yaparken,  $t:t_1$ 'de bunların ulaştıkları deşerde tüm akım ve voltajları kenetlenir. Bu period  $0 \leq t' \leq t'_1$  anı sonsa erer.

$$t' : t-t_1 \quad (63)$$

$$i_{c1} : i_{C2} : 0 ; \quad 0 < t' < t'_1 \quad (64)$$

Peryod II için ilk şartlar tablo : 3'dedir.

Tablo.3-  $t' : 0$  anında devrenin eşdeğer parametreleri

$$I_o : I_{o1} \quad A ; \quad V_o : -\frac{V}{2} \cdot (1+2n) \quad V$$

$$V_{c1} : V \cdot (1+n) \quad V ; \quad V_{C2} : -nV \quad V$$

$$i_{c1} : 0 \quad A ; \quad i_{C2} : 0 \quad A$$

$$V_{L1} : V_{L2} : -nV \quad V$$

$$i_{Q_1} : 0 \quad A ; \quad i_{Q_2} : I_{Q_2} \quad A$$

$$V_{AK_1} : V(1 + 2n) \quad V ; \quad V_{AK_2} : 0 \quad V$$

$$i_{LE_1} : 0 \quad A ; \quad i_{LE_2} : 0 \quad A$$

$$V_{LE_1} : -nV \quad V ; \quad V_{LE_2} : -V \quad V$$

Peryod II sırasında  $D_1$  ve  $D_{22}$  diodları, ayrıca  $Q_1$  tristörü bağlantı yapmaz. İki kapasite akımları sıfırdır. Eğer bu beş komponenti içeren kollar şekil : 5.a'daki yerlerinden değiştiriliirse ve aynı kolun akımı yeniden düzenlenirse Şekil : 6.b'deki akım elde edilir.  $D_{11}$  içeren devre ağı, iki voltaj kaynağını ve ideal transformatörün ikinci sargası  $L_{E_2}$ , şekil 6.c'deki eşdeğer devreyi veren bu transformatörün ilk yanına başvurulabilir. Bu eşdeğer devrede,  $D'_{11}$  diodu primer devreye başvurulan  $D_{11}'$  dir. ve  $nV$  kaynağı  $V_{S_1}$  ve  $V_{S_2}$  kaynağını gösterir.

Diodların olması nedeniyle, bu devredeki  $nV$  kaynağının yalnızca enerji absorbe edebileceği dikkat edilmelidir.

Şekil : 6.c'deki devrede  $D'_2$  ve  $D'_{11}$  bağlantı yaparken period II vasıtasiyla (59) denkleminde verilen değerde  $V_{L_2}$  voltajı kernetlenir. (57) eşitliğinin ilk şartlarını sağlayan ve (65) çözümü :

$$L_c \cdot \frac{di_{Q_2}}{dt} : -nV \quad (65)$$

$$i_{Q_2} : I_{Q_2} - \frac{nV}{L_c} \cdot t' \quad (66)$$

(a) düğümü için, şekil : 6.b'deki devreden :

$$i_{LE_1} + i_{Q_2} + I_{o_1} : 0 \quad (67)$$

(66) ifadesinden :

$$i_{LE_1} : \frac{nV}{L_c} \cdot t' - I_{Q_2} - I_{o_1} \quad (68)$$

$$i_{D11} : i_{LE2} : -n \cdot i_{LE1} \quad (69)$$

$$i_{D2} : i_{LE2} - i_{LE1} : -(n+1) \cdot i_{LE1} \quad (70)$$

Peryod II  $t' : t_1$  'de,  $i_{Q1} : 0$  iken durur. (66) denkleminden:

$$t'_1 : \frac{Lc}{nV} \cdot I_{Q2} \quad (71)$$

Bağlantı anının uzunluğu :

$$t_c : t_1 + t'_1 \quad (72)$$

Peryod II sırasındaki  $L_2$  selfinden  $nV$  kaynağına geri dönen enerji :

$$W : \frac{I}{2} \cdot L_c \cdot I_{Q2}^2 \quad J \quad (73)$$

Bu enerji miktarı her yarı çevrimde kaynağa geri gönderilecektir. Sonuç olarak ortalama güç :

$$P_E : \frac{2}{T} \quad W : \frac{\frac{L_c \cdot I_{Q2}^2}{2}}{T} \quad W \quad (74)$$

$I_{01}$  sabit yük akımının, period 2 sırasında düşmeye devam ettiği farz edilir, yani normal reaktif AC devresinde, yük devresi, çevrimin bu parçası esnasında enerji yeniden kaynağa döner.  $Q_1$  tristörünü kapamak için mevcut  $t_q$  zamanı şekilde: 7'deki  $V_{AK1}$  eğrisinde gösterilmiştir. (51) denkleminden :  $t : t_q$  anında,  $V_{AK1} : 0$  olduğu görülür.

$$V \cdot \cos w_r t_q - 2 \cdot w_r L_c \cdot I_{01} \cdot \sin w_r t_q - \frac{V}{2} : 0 \quad (75)$$

(75) eşitliği,  $t_q$  için çözülebilir.

$$t_{q\max} : \frac{\pi}{3w_r} : \frac{\pi}{3} \cdot \sqrt{2L_c C} \quad Sn \quad (76)$$

$$t_q : \frac{I}{w_r} \cdot (\cos^{-1} C - \tan^{-1} D) \quad S \quad (77)$$

$$C : \frac{V}{2 [V^2 + (2w_r L_c I_{01})^2]^{1/2}} \quad (78)$$

$$D : \frac{2 \cdot w_r \cdot L_c \cdot I_{01}}{V} \quad (79)$$

Ayrıca  $t_0$  değeri, şekil: - 8'deki bir diyagramdan grafiksel olarak elde edilebilir.

Peryod 2'nin sonunda, öncelikle sıfıra düşen ve  $Q_2$  tristörü için değişme anının başlangıcında negatif yönde artan ve  $I_{o1}$  değerine ulaşan ( $i_o$ )'in değişimeye başladığı fırz edilebilir.  $Q_2$  açıldıktan sonra bazı anıarda ( $i_o$ )'in sıfıra düşmesi, değişen ( $Q_1$ )'in çıkış voltagının alternatif yarı çevrimleri sayesinde her tristörün sürekli tetiklenmesi için gereğini ispat eder.

Yarı çevrimin ani değeri period 3 ve 4 bölümlerine ayrılarabilir. Şekil : 9'daki gibi, bu iki bölüm, değişim anının 1 ve 2 periodlarından çok daha büyüktür.

Bu iki period aşağıdaki gibi böülünebilir.

$$\text{Period: II} \quad I_{o1} \geq i_o > 0 \quad ; \quad t_c < t < t_2 \quad (80)$$

$$\text{Period: IV} \quad 0 > i_o \geq -I_{o1}; \quad t_2 < t < \frac{T}{2} \quad (81)$$

PERYOT III- Peryot 2 vasıtayıla,  $t:t_c^-$  iken, bu periodun sonunda Şekil : 5.a devresindeki voltaglar kenetlenir. Ve tablo:3'deki verilen değerlere hala sahiptir.

$$i_o: I_{o1} \quad \text{ve} \quad i_{Q1} : 0 \text{'dır.}$$

$$i_{Q2}: 0 \quad ; \quad t:t_c \quad (82)$$

Diod akımları, 69 ve 70 eşitliklerinden saptanabilir.

$$i_{D2}: (n+1).I_{o1} \quad A \quad ; \quad t:t_c \quad (83)$$

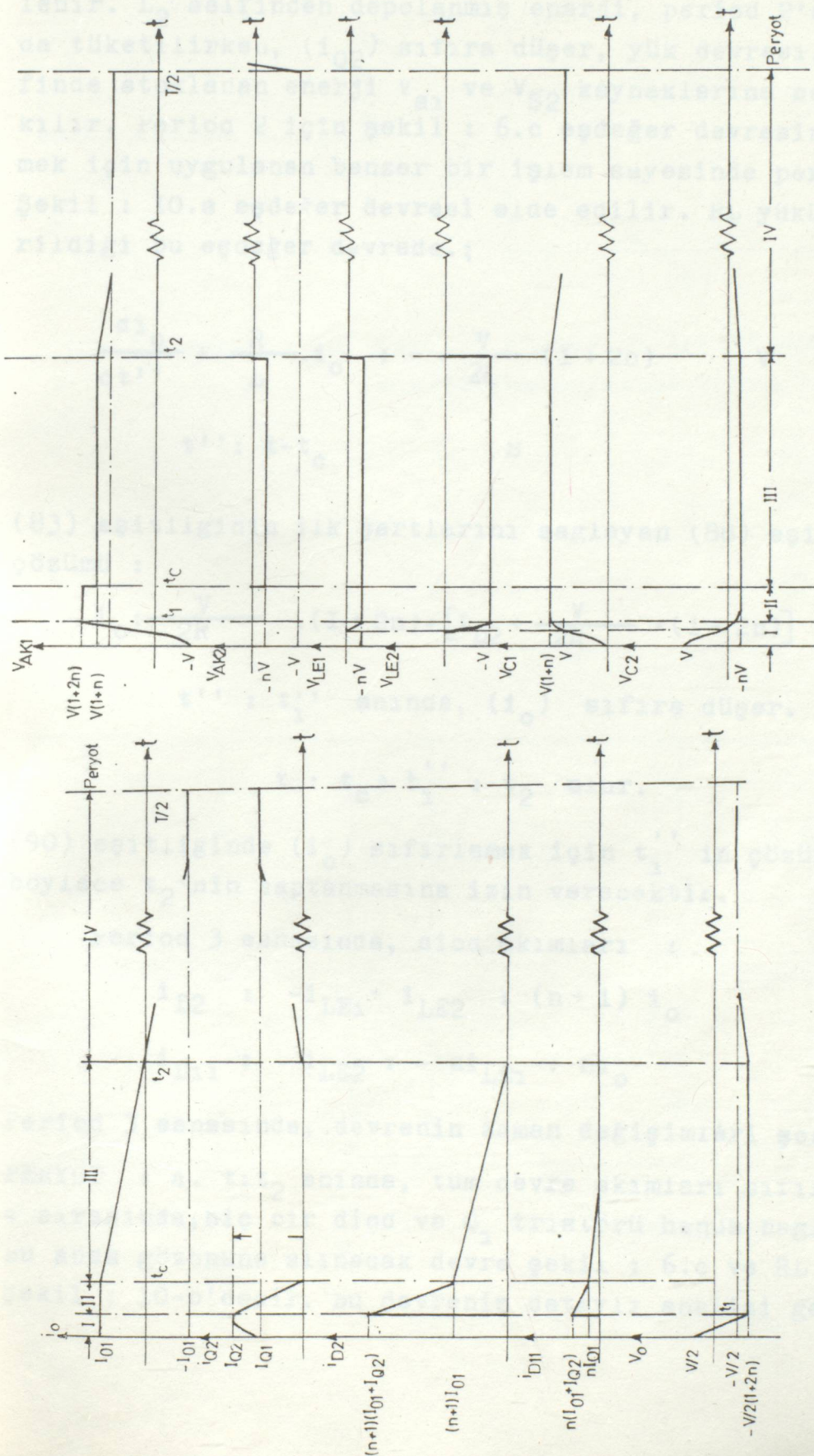
$$i_{D1}: n.I_{o1} \quad A \quad ; \quad t:t_c \quad (84)$$

$D_2$  ve  $D_{11}$ , period 3'de hala bağlantı yaptığından, period:2 değerlerinde tüm koi voltagları kenetlidir. Bununla birlikte iki tristör kolunda ;

$$V_{L1} : 0 \quad V \quad ; \quad V_{L2} : 0 \quad V \quad (85)$$

$$V_{AK2} : V_{LE1} : -nV \quad V \quad (86)$$

$Q_1$ ,  $L_1$ ,  $L_{E1}$ ,  $L_{E2}$  ve  $D_{11}$  içeren devre ağı için :



Sekil 9. Voltaj ve akımların zaman değişimi.

$$V_{AK1} : -V_{LE1} - V_{LE2} : nV + V : V(1+n) \quad V \quad (87)$$

Bu son üç eşitlikteki voltajlar, period 3 esnasında kene-  
lenir.  $L_2$  selfinden depolanmış enerji, period 2'nin sonun-  
da tüketiliirken, ( $i_{Q2}$ ) sıfıra düşer, yük devresi, kendi sel-  
finde stoklanan enerji  $V_{S1}$  ve  $V_{S2}$  kaynaklarına serbest bira-  
kılır. Period 2 için şekil : 6.c eşdeğer devresini elde et-  
mek için uygulanan benzer bir işlem sayesinde period 3 için  
Şekil : 10.a eşdeğer devresi elde edilir. RL yükünün göste-  
ridiği bu eşdeğer devrede.;

$$\frac{di_o}{dt''} + \frac{R}{L} \cdot i_o : -\frac{V}{2L} (1+2n) \quad V \quad (88)$$

$$t'': t - t_c \quad S \quad (89)$$

(83) eşitliğinin ilk şartlarını sağlayan (88) eşitliğinin  
çözümü :

$$i_o : -\frac{V}{2R} \cdot (1+2n) + \left[ I_{D2} + \frac{V}{2R} \cdot (1+2n) \right] \cdot e^{-(R/L)t''} \quad (90)$$

$t'' : t_1''$  anında, ( $i_o$ ) sıfıra düşer.

$$t : t_c + t_1'' : t_2 \text{ olur.} \quad (91)$$

(90) eşitliğinde ( $i_o$ ) sıfırlamak için  $t_1''$  in çözümüne ve  
böylece  $t_2$ 'nin saptanmasına izin verecektir.

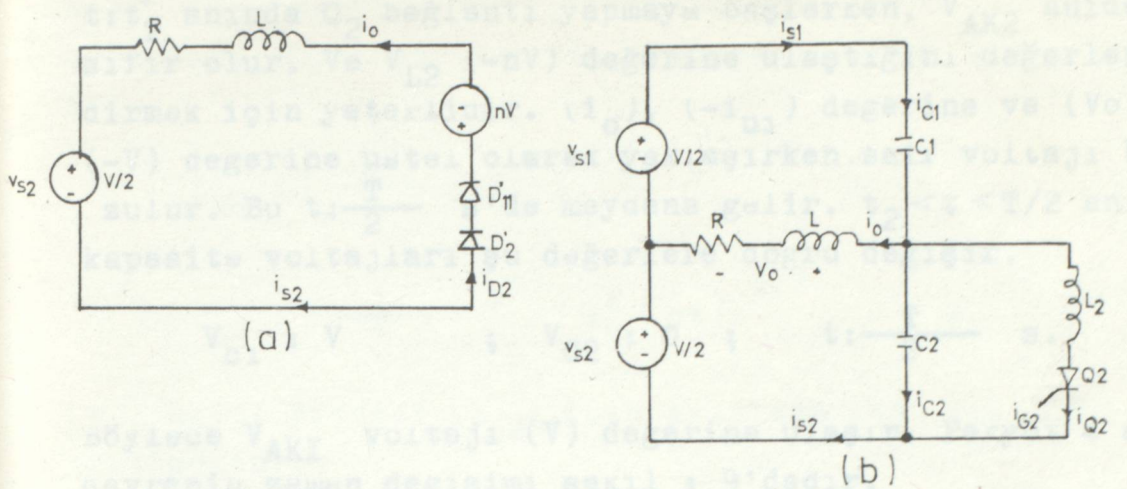
Period 3 esnasında, diod akımları :

$$i_{D2} : -i_{LE1} + i_{LE2} : (n+1) i_o \quad (92)$$

$$i_{D1} : i_{LE2} : -ni_{LE1} : ni_o \quad (93)$$

Period 3 esnasında, devrenin zaman değişimleri şekil:9'dadır.

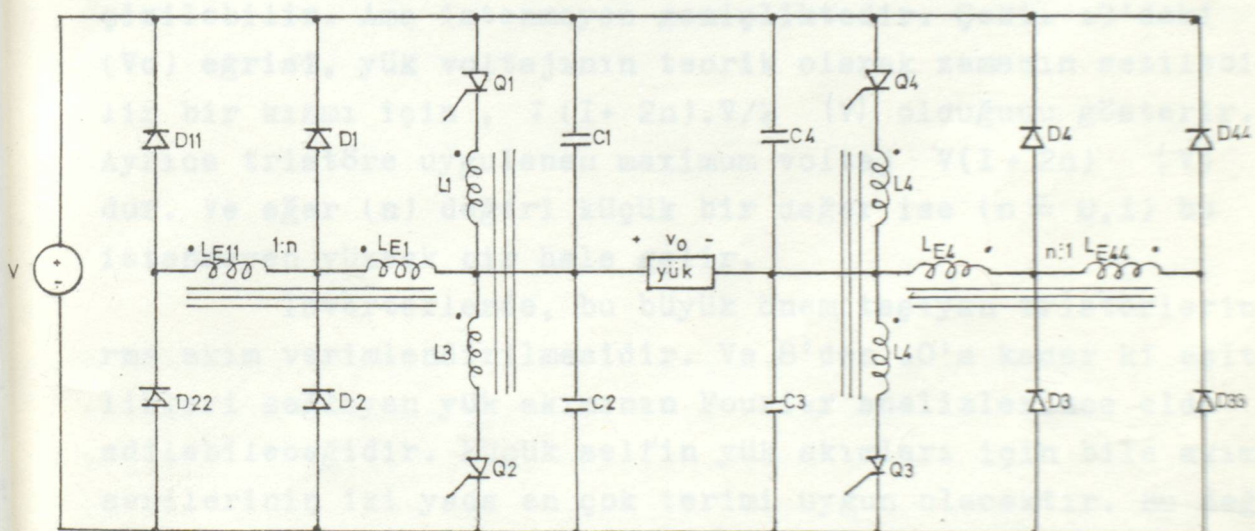
PERYOT : 4.  $t:t_2$  anında, tüm devre akımları sıfırdır. Period  
4 sırasında, hiç bir diod ve  $Q_1$  tristörü henuz baglantı yapmaz.  
Bu anda gözönune alınacak devre şekil : 6.c ve RL yük akımlı  
Şekil : 10-b'dedir. Bu devrenin detaylı analizi gereksizdir.



Şekil : I<sub>O</sub> Şekil 5.a'daki Q<sub>1</sub> tristörünün ilk komütasyon anındaki devre eşdeğeri.

Şekil 5.b'deki esdeğeri ve III.2.3. bölümdeki eşdeğereinden, şemada 5.a'daki devrenin geçiliş komponentleri değerlendirilebilir. Buyla bir operasyonda gerekli, mehendislik ve komputer bilgisinin ekonomik olarak en fazla doğrulanmayaçısı bekirelidir.

Bu komponentlerin yerini verilecekken Şekil 5.b'den direkt olarak okunurdu. Bu da devredeki farklılıkların da direkt olarak okunurdu.



Şekil : I<sub>3</sub> Tek faz köprü inverteri tamamlayıcı voltaj komütasyonu.

$t:t_2^+$  anında  $Q_2$  bağlantı yapmaya başlarken,  $V_{AK2}$  aniden sıfır olur. Ve  $V_{L2}$  ( $-nV$ ) değerine ulaşlığını değerlendirmek için yeterlidir.  $(i_0)$ ,  $(-i_{c1})$  değerine ve  $(Vo)$ ,  $(-V)$  değerine üstel olarak yakınsırken. seli voltajı bozulur. Bu  $t:\frac{T}{2}$  s'de meydana gelir.  $t_2 < t < T/2$  anında kapasite voltajları şu değerlerere doğru değişir.

$$V_{c1} : V \quad ; \quad V_{C2} : 0 \quad ; \quad t:\frac{T}{2} \text{ s.} \quad (94)$$

Böyledice  $V_{AK1}$  voltajı ( $V$ ) değerine ulaşır. Peryot 4 anında devrenin zaman değişimini şekil : 9'dadır.

### III.1.2.4 VOLTAJ KOMÜTASYONLU DEVRELERDE BİLEŞENLERİN DEĞERLENDİRİLMESİ VE DEVRE DİZAYNI :

Şekil: 9.'daki eğriden ve III.2.3. bölümündeki eşitliklerden, şekil : 5.a'daki devrenin çeşitli komponentleri değerlendirilebilir. Böyle bir operasyonda gerekli mühendislik ve komüter zamanının ekonomik olarak doğrulanıp doğrulanmayacağı belirsizdir.

Tüm komponentlerin voltaj verimlendirmesi Şekil:9' dan direkt olarak okunabilir.  $n=0,25$  değeri için bu eğriler çizilebilir. Ama istenmeyen genişliktedir. Şekil :9'daki ( $Vo$ ) eğrisi, yük voltajının teorik olarak zamanın sezikbir bir kısmı için,  $\mp(I+2n).V/2$  ( $V$ ) olduğunu gösterir. Ayrıca tristöre uygulanan maximum voltaj  $V(I+2n)$  ( $V$ ) dur. Ve eğer ( $n$ ) değeri küçük bir değer ise ( $n \approx 0,1$ ) bu istenmeyen yüksek bir hale gelir.

Inverterlerde, bu büyük önem taşıyan tristörlerin rms akım verimlendirilmesidir. Ve 8'den 10'a kadar ki eşitlikleri sağlayan yük akımının Fourier analizlerince elde edilebileceğidir. Küçük selfin yük akımları için bile akım serilerinin iki yada en çok terimi uygun olacaktır. Bu değer şu bağıntıdan tristör akım değerini saptamak için kullanılır.

$$I_{QR} : \frac{I_R}{\sqrt{2}} \quad A \quad (95)$$

Bununla birlikte eğer inverterin çıkış frekansı yüksek ise, ona tristörce taşınan bu devrede değişim akımının tetiklem-

mesi, (95) eşitliğinde verilen değeri hissediliir olarak arttırır. Böyle bir durumda, rms akım verimi şöyle alınabilir.

$$I_{QR} : \left[ \frac{I_R^2}{2} + I_{QC}^2 \right]^{1/2} \quad A \quad (96)$$

$$I_{QC} : \left[ \frac{1}{T} \cdot \int_0^{t_c} i_Q^2 \cdot dt \right]^{1/2} \quad A \quad (97)$$

(97) eşitliğindeki ( $i_{Q2}$ ) için açıklama (42) eşitliğinde verilmeiidir.

Kapamak için mevcut zaman ( $t_q$ )'nın minimum değerini verdiği için, eğer yük değişkense, ( $I_{o1}$ )'in maximum değeriinin sağlanması gerekiği şekil :8'den, tristörler için kapanma zamanı kesin olarak belirtilebilir.

$D_1$  ve  $D_2$  diodlarının değeri, tristörlerinkine gibi alınabilir.  $D_{11}$  ve  $D_{22}$  diodlarının rms akım değerleride şöyle alınabilir.

$$I_{DR} : \frac{n}{n+1} \cdot I_{QR} \quad A \quad (98)$$

Enerji düzenleyen devre transformatörlerinin sargılarıının akım değerleri  $D_{11}$  ve  $D_{22}$  diodlarından saptanabilir. Böylece (98) eşitliğinden :

$$I_{LE2} : \sqrt{2} \cdot I_{DR} : \frac{n\sqrt{2}}{n+1} \cdot I_{QR} \quad (99)$$

$$I_{LE1} : \frac{I_{LE2}}{n} : \frac{2}{n+1} \cdot I_{QR} \quad (100)$$

Komütasyon seiflerinin sargılarıının rms akım değeri tristörlerinin tamamen aynıdır. V.(1+n) miktarıyla kapasite voltajı değiştiği için, değişen kapasitedeki akım,  $0 < t < t_1$  anında oluşan tek tepe değerini içerir. Bu akıma iyi bir yaklaşım ortalama voltaj değişim oranlarından sağlanabilir.

$$I_c : \frac{C.V.(1+n)}{t_1} \quad A \quad (101)$$

rms kapasite akımı :

$$I_{CR} : I_C \cdot \sqrt{\frac{t_1}{T}} \quad A \quad (I02)$$

Komütasyon devre dizaynı yeniden küçük miktar temeline dayandırılabilir.

$$X : \frac{V}{w_r \cdot L_c \cdot I_{o1}} \quad (I03)$$

$$w_r : \frac{I}{[2 \cdot L_c \cdot C]^{1/2}} \quad rd/s \quad (I04)$$

Ve dizayn denemesi  $1.0 < X < 3.0$  olduğunu gösterir.

(75) eşitliğinden :

$$G(x) : w_r t_q : \cos^{-1} C - \tan^{-1} D \quad rd \quad (I05)$$

$$C : \frac{X}{2(X^2 + 4)^{1/2}} \quad (I06)$$

$$D : \frac{2}{X} \quad (I07)$$

$$109'daki t_q : t_{off} + \Delta t \quad (I08)$$

$\Delta t$ , konverterin yapılışında telorans ve yaklaşık dizayn için izlenecek sınırlıdır. (I05) ve (I08)'den:

$$w_r : \frac{G(x)}{t_{off} + \Delta t} \quad rd/s \quad (I09)$$

(I03) ve (I09)'dan :

$$L_c : \frac{V \cdot (t_{off} + \Delta t)}{X \cdot G(x) \cdot I_{o1}} \quad H \quad (I10)$$

$$C : \frac{I}{\omega_r^2 L_c} : \frac{X \cdot I_{o1} (t_{off} + \Delta t)}{2G(x) \cdot V} \quad F \quad (III)$$

A tipi kiyıcı devresinin Voltaj komutasyonlu devresi yaklaşık yukarıdaki hesaplara göre bulunabilir.

ORNEK : .4- Şekil: 5.a'daki devre için V:220 v. komütasyon anındaki akım  $I_{o1}:250$  A,  $L_c:50$  H,  $C:75$  f ve  $n:0, I'$ dır.

- a) Tristörlerin kapanması için uygun tq zamanı,
- b) Komütasyon anılarını
- c) Tristör akım ve voltajının tepe değerleri
- d)  $I_{o1}$  sıfır olduğunda kapama için uygun tq bu i ve a'daki değerlerle karşılaştır.

**ÇÖZÜM :** a-103 eşitliginden:

$$X := \frac{V}{w_r \cdot L_c \cdot I_{o1}} : \frac{V}{I_{o1}} \cdot \left[ \frac{2C}{L_c} \right]^{1/2} = \frac{220}{250} .$$

$$\left[ \frac{2.75}{50} \right]^{1/2} : I,524$$

105'den 107'ye kadar ki eşitliklerden :

$$tq := \frac{I}{w_r} \cdot [ \cos^{-1} C - \tan^{-1} D ]$$

$$C := \frac{X}{2(X^2 + 4)^{1/2}} : \frac{1,524}{2(I,524^2 + 4)^{1/2}} : 0,303$$

$$D := \frac{2}{X} : \frac{2}{1,524} : 1,312$$

$$tq := [2L_c C]^{1/2} \cdot [\cos^{-1} 0,303 - \tan^{-1} 1,312]$$

$$tq := [2L_c C]^{1/2} \cdot [\cos^{-1} 0,303 - \tan^{-1} 1,312]$$

$$tq := 29,7 \text{ yrsn.}$$

b)  $t_c := t_1 + t'_1$  idi.

$$t_1 := \frac{1}{w_r} \cdot [\sin^{-1} \frac{n}{[(2/X)^2 + 1]^{1/2}} + \tan^{-1} \frac{X}{2}]$$

$$t_1 := [2L_c C]^{1/2} \cdot [\sin^{-1} \frac{nx}{(X^2 + 4)^{1/2}} + \tan^{-1} \frac{X}{2}]$$

$$t_1 := [2 \cdot 50 \cdot 75]^{1/2} \cdot [\sin^{-1} \frac{0,1 \cdot 1,524}{(I,524^2 + 4)^{1/2}} + \tan^{-1} \frac{I,524}{2}]$$

$$t_1: 61,64 \text{ s.}$$

57 ve 103 ifadelerinden :

$$I_{Q2} : I_{o1} \cdot [2 \cdot \cos w_r t_1 + X \cdot \sin w_r t_1 - 1]$$

$$w_r t_1 : \frac{t_1}{[2L_c]^{1/2}} : \frac{61,64 \cdot 10^{-6}}{\sqrt{7500} \cdot 10^{-6}} : 0,7II8^\circ$$

$$I_{Q2} : 250 \cdot [2 \cdot \cos 0,7II8 + 1,524 \cdot \sin 0,7II8 - 1]$$

$$: 250 \cdot [1,514 + 0,995 - 1] : 377,4 \text{ A}$$

$$t'_1 : \frac{L_c}{nV} \cdot I_{Q2} : \frac{50 \cdot 3774}{0,1 \cdot 220} \cdot 10^{-6} : 857,7 \text{ s}$$

$$t_c : (61,64 \quad 857,7) : 919,4 \text{ s}$$

c) Tristör akımının tepe değerinde,  $V_{L2}:0$ 'dır. Eğer bu  $t:t_p$  anında olursa, 44 ve 103 eşitlerinden :

$$w_r \cdot t_p : t_g^{-1} \frac{X}{2} : 0,65II^\circ$$

42 ve 103 eşitliklerinden, maximum akım :

$$I_{Qmax} : I_{o1} \cdot [2 \cdot \cos w_r t_q + X \cdot \sin w_r t_q - 1]$$

$$I_{Qmax} : 250 \cdot [2 \cdot \cos 0,65I + 1,524 \cdot \sin 0,65I - 1]$$

$$I_{Qmax} : 378,6 \text{ A}$$

Şekil : 9'dan tristör tepe volajı :

$$V_{AK_{max}} : V \cdot (I + 2n) : 220 \cdot 1,2 : 264 \text{ V.}$$

d) 76 eşitliğinden :

$$t_q_{max} : \frac{\pi}{3} \cdot \sqrt{2 \cdot L_c C} : \frac{\pi}{3} \cdot \sqrt{7500 \cdot 10^{-6}} : 90,96 \text{ sn}$$

Yüklü inverterler için  $t_q$  en az 3 kattır.

### III-I-3, TEK FAZLI KÖPRÜ İNVERTERLER :

Şekil:2.a'da görülen güç devresindeki RL yük eşdeğer devresini şekil:I2.a'daki gibi kabul etmek mümkündür.

$$\begin{aligned} V_s &: V \quad v ; \quad 0 < t < \frac{T}{2} \quad \text{sn} \\ V_s &: V \quad v ; \quad \frac{T}{2} < t < T \quad \text{sn} \end{aligned} \quad (\text{II2})$$

Kaynak voltajının inverter çıkışında yük üzerinde bir kare dalga şeklinde değişken bir gerilim oluşturacaktır. Akımın değişimi ise Şekil : I2-b'deki gibi olacaktır.

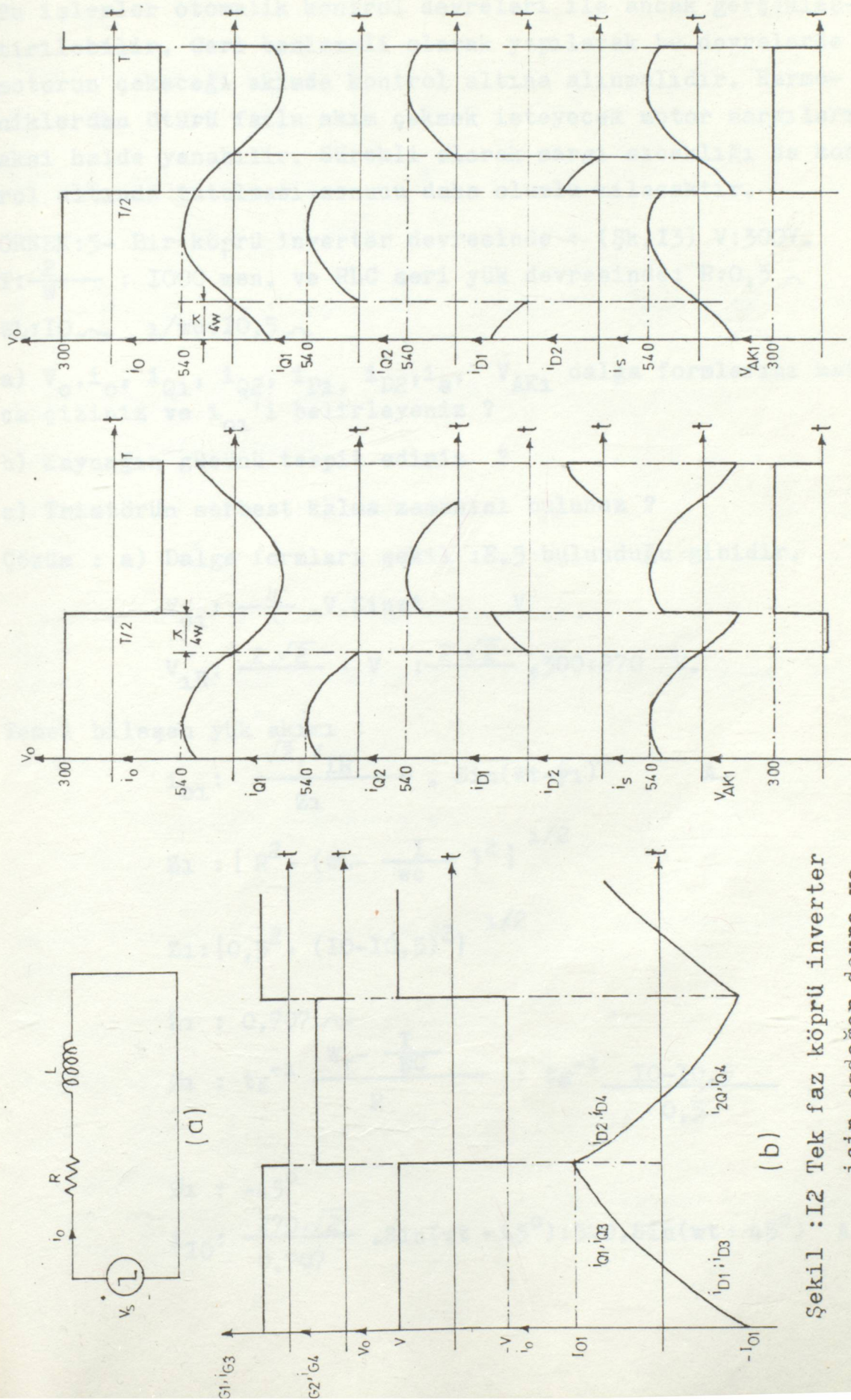
Gerek köprü devresi veya gerekse yarı köprü devre dizaynında kullanılacak ifadeler farklı değildir. Daha evvel yarı köprü devresinde kullanılacak devre dizayn ifadeleri buradaki devre içinde kullanılabilir.

Şekil : I3'de gerilim zorlamalı bir köprü inverterin açık şeffaflı görülmektedir.  $L_1:L_2:L_3:L_4$  selfleri tristörlerin anot-katot arasında söndürülmesi için zıt emk oluşturmaktadır.  $C_1:C_2:C_3:C_4$  kapasiteleri bu zıt gerilimi depolamaya yararlar.  $L_{E1}:L_{E2}:L_{E3}, L_{E4}$  ile  $L_{E11}:L_{E22}:L_{E33}:L_{E44}$  selfleri reaktif enerjinin kaynağa geri gönderilmesini sağlarlar.  $D_1, D_2, D_3, D_4$  dişotları komütasyon olayında yardımcı eleman konumundadır.

Tristörlerin söndürülmesinde geçici olarak akımı üzerlerine alarak yön değiştirmeyi sağlamaktadır.  $D_{11}, D_{22}, D_{33}, D_{44}$  diyotları ise gine reaktif enerjinin kaynağa geri dönerken, kaynaktan devre üzerine ters yönde bir akımın akmamasını önlemektedir. Çalışması tipki yarı köprü devresindeki gibidir. Tek farklı elemanlar çoğaltılp. kaynaklar bire indirilmiş olmasıdır.

Tristörlerin tetikleme zamanları değiştirildikçe frekansın değiştirilmesi sağlanmış olunur. Gerilim kaynağındaki gerilimde aynı zamanda değiştirilebilirse, gerilimi ve frekansı değişen bir sistem elde edilebilir.

Bu komplike sistemin çıkışını bir asenkron motoruna uygulayacak olursak devir sayısını böylelikle ayarlamış oluruz. Burada dikkat edilmesi gereken husus giriş geriliminin frekansa bağlı olarak değiştirilmesini sağlayabilmektir.



Sekil:E.6

Sekil : I2 Tek faz köprü inverter için eşdeğer devre ve dalga formları.

Sekil:E.5

Bu işlemler otomatik kontrol devreleri ile ancak gerçekleştirilebilir. Geri beslemeli olarak yapılacak bu devrelerde motorun çekenceği akımda kontrol altına alınmalıdır. Harmoniklerden ötürü fazla akım çekmek isteyecek motor sargıları aksi halde yanabilir. Sürekli olarak sargı sıcaklığını da kontrol altında tutulması sonucu daha olumlu kılacaktır.

ÖRNEK:5- Bir köprü inverter devresinde : (Şk.I3) V:300V.

T: $\frac{2}{W}$  : 1000 msn. ve RLC seri yük devresinde: R:0,5  $\sim$   
WL:10  $\sim$ ,  $1/wc:10,5 \sim$

- a)  $V_o, i_o, i_{Q1}, i_{Q2}, i_{D1}, i_{D2}, i_s, V_{AK1}$  dalga formlarını kaba-  
ca çiziniz ve  $i_{o1}'i$  belirleyeniz ?
- b) Kaynağın gücünü tespit ediniz ?
- c) Tristörün serbest kalma zamanını bulunuz ?

Çözüm : a) Dalga formları şekil :E.5 bulunduğu gibidir.

$$V_{o1}: \frac{4}{\pi} \cdot V \cdot \sin wt \quad V$$

$$V_{1R}: \frac{2\sqrt{2}}{\pi} \cdot V : \frac{2\sqrt{2}}{\pi} \cdot 300 : 270 \quad V.$$

Temel bileşen yük akımı :

$$i_{o1}: \frac{\sqrt{2} \cdot V_{IR}}{Z_1} \cdot \sin(wt - \phi_1) \quad A.$$

$$Z_1: [R^2 + (WL - \frac{I}{wc})^2]^{1/2}$$

$$Z_1: [0,5^2 + (10 - 10,5)^2]^{1/2}$$

$$Z_1: 0,707 \sim$$

$$\phi_1: \tan^{-1} \frac{WL - \frac{I}{wc}}{R} : \tan^{-1} \frac{10 - 10,5}{0,5}$$

$$\phi_1: -45^\circ$$

$$i_{10}: \frac{270\sqrt{2}}{0,707} \cdot \sin(wt + 45^\circ) : 540 \cdot \sin(wt + 45^\circ) \quad A$$

b)  $I_{1R} = \frac{540}{\sqrt{2}}$  A

Temel bileşenin yük devresinde harcadığı çıkış gücü :

$$P_o : R \cdot I_{1R}^2 : 0,5 \times \left( \frac{540}{\sqrt{2}} \right)^2 : 72,9 \times 10^3 \text{ W}$$

Kaynak gücü :  $P_s : V \cdot I_s$  W

$$I_s : \frac{I}{\pi} \cdot \int_0^{\pi} \sqrt{2} \cdot I_{1R} \cdot \sin(wt + \frac{\pi}{4}) \cdot d(wt)$$

$$I_s : \frac{\sqrt{2}}{\pi} \cdot I_{1R} \cdot \left( 2 \cdot \cos \frac{\pi}{4} \right) : \frac{\sqrt{2}}{\pi} \cdot \frac{540}{2} \cdot \frac{2}{\sqrt{2}} : 243,1 \text{ A}$$

$$P_s : 300 \times 243,1 : 72,93 \cdot 10^3 \text{ W}$$

$P_s : P_o$  olduğu görülür.

c) Şekil : E.5'de görüldüğü gibi :

$$w \cdot tq : \frac{\pi}{4} \text{ rd.}$$

$$tq : \frac{T}{8} : 125 \cdot 10^{-6} \text{ sn olacaktır.}$$

ÖRNEK : 6. Bir önceki örnekte yalnız  $I/WC:9,5$  olması halinde istenenleri tekrar bulunuz ?

$$\text{Çözüm : a)} Z_1 : [0,5^2 + (10-9,5)^2]^{1/2} : 0,707$$

$$\emptyset : \operatorname{tg}^{-1} \frac{0,5}{0,5} : 45^\circ$$

$$\text{ici : } 540 \cdot \sin(wt - 45^\circ) \text{ A.}$$

Dalga formları yaklaşık olarak şekil : E.6'da görüldüğü gibi biridir.

b)  $I_{1R} = \frac{540}{\sqrt{2}}$  A ve  $P_o : 72,9 \times 10^3 \text{ W}$

Kaynak akımı ise :

$$I_s : \frac{I}{\pi} \cdot \int_0^{\pi} \sqrt{2} \cdot I_{1R} \cdot \sin(wt - \frac{\pi}{4}) \cdot d(wt) : 243,1 \text{ A}$$

$$P_s : 300 \times 243,1 : 72,93 \times 10^3 : P_o \text{ W}$$

c) Şekil : E.6'da görüldüğü gibi tristörün serbest kalma zamanı  $tq$  aynı değerde bulunmaktadır.

### III-I-4- ÜÇ FAZLI İNVERTERLER :

3 Fazlı kaynak, çıkış frekans anının  $120^{\circ}$  fazında üç inverter, için tetikleme sinyallerinin değiştirilerek düzenleniği ve 3 tek faz inverter kullanarak bir direkt voltag kaynağından sağlanabilir. 3 çıkış daha sonra bir üç faz transformatorune getirilebilir. Sekonder sargılar, yük devresini sağlamak için ( $\text{Y}$ ) yada ( $\Delta$ ) şeklinde bağlantı yapılabılırken, transformatör primer sargıları diğerinden izole edilmelidir. Bileşen oranları bu bölümün başında belirtildiği gibi, saptanıp dizayn edilebildikleri için, bağlantı, voltag kontrolu ve harmonik azaltması tek fazlı inverterlerdeki bağlantınlarda belirtilen yöntemlerce elde edilebilir.

Bölüm:III-I ve şekil:3'de belirtildiği gibi, üç faz kaynağı ayrıca üç faz köprü inverterinden elde edilebilir. Tetikleme sinyallerinin mümkün iki modeli vardır.

1. Herhangi bir anda 3 tristör açıktır, bu yükün tüm şartları altında elde edilen çıkış voltagında olur.

2. Herhangi bir anda 2 tristör açıktır, bu bazı yük şartları altında saptanamayan çıkış voltag dalgalarında olur.

Hangi tetikleme sinyal modeli uygulanırsa uygulansın, sinyallerin uygulanması ve çıkış voltag dalga formlarının  $60^{\circ}$ 'de yeniden hareket etmesi gereklidir. Böylece, bir çevrimde 6 farklı operasyon peryodu olur. Şekil : 3.a'daki tristörler, A,B,C çıkış terminallerinde  $V_{AB}$ ,  $V_{BC}$ ,  $V_{CA}$  pozitif ardışık voltajları vermek için bunlara uygulanan tetikleme sinyallerinde sıra ile numaralandırılmıştır.

Herhangi bir tristör açıldığında, bir tristör ve bununla antiparalel bağlantılı diod bir kısa devre yapar. Böylece örneğin, Şekil: 3-a'daki  $Q_1$  tristörü açıldığında, çıkış terminali A, pozitif kaynak terminalin potansiyeline getirilir. Tersti durumunda,  $Q_4$  açıldığında ( $Q_1$ 'in kapanması gereği anda), A terminali, negatif kaynak terminalin potansiyeline getirilir Benzer şekilde B ve C terminallerinin potansiyelleri bulunur.

III-I-4-I- HERHANGİ BİR ANDA 3 TRİSTÖR AÇIK DURUMU :

Şekil:3-b'deki tetikleme sinyalleri modeli, eşzamanlı olarak 3 tristör açıldığında ortaya çıkar. Bu tetikleme sinyalleri için uygulanan periodlar sırasında çıkış terminallerinin potansiyelleri saptanabilir. Ve bunlardan hattan hata çıkış voltajları elde edilebilir. Sonuç dalga formları şekil:3.b'dedir. Bunlar değişen voltajlı 3 faz balsans edilmiş bir seti (takımı) gösterir. Bu voltajlara kapasitans, induktans ve rezistansın herhangi bir kombinasyonuna sahip yük devresince etki edilemez, ayar yapılabılır, yada yapılamaz, doğrusaldır yada olmayabilir. Hattan hata voltaj dalga formları radyan olarak bölümlemiş yatay bir skala üzerinde Şekil:I4-a'da yeniden gösterilmiştir. Bu diağramda ayrıca 6 period ve periodlar sırasında açılan tristörler gösterilmiştir.

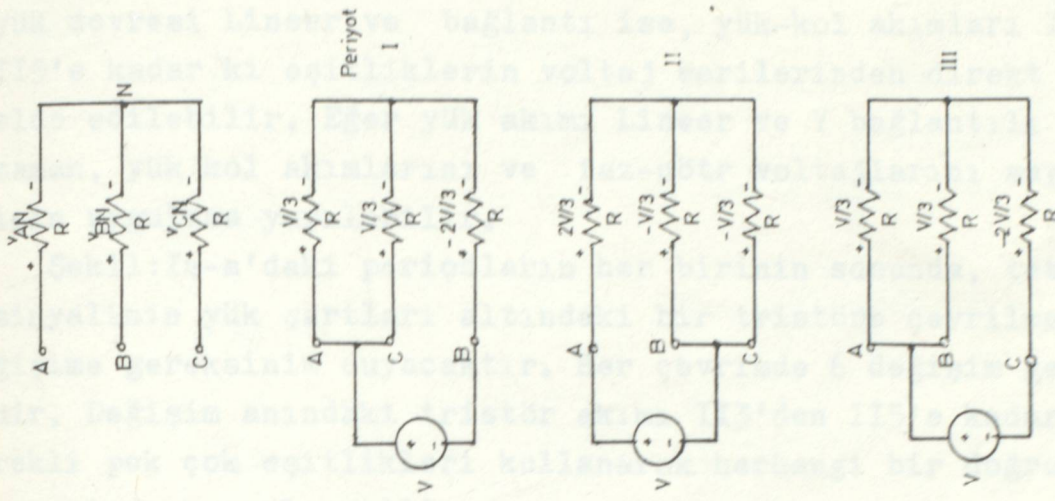
Şekil:I4-a'daki  $V_{AB}$  voltaj dalga formları fourier serilerince bulunur.

$$V_{AB}: \sum_{n=1,3,5}^{\infty} \frac{4V}{n\pi} \cdot \cos \frac{n\pi}{6} \cdot \sin(wt + \frac{\pi}{6}) \text{ V (II3)}$$

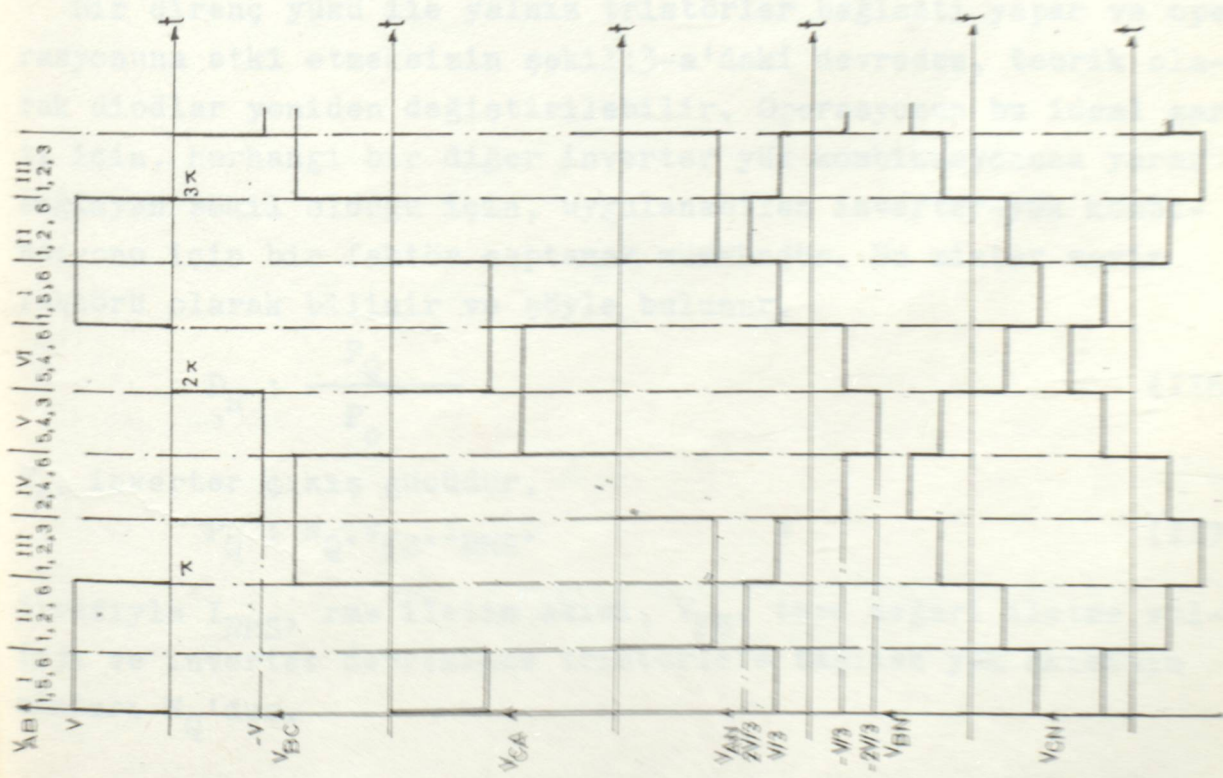
(Bu seriler bölüm V. de anlatılan bilgilerde elde edilebilir. Ama ayrıca  $-\frac{\pi}{6}$  rd. ile şekil:I4-a'daki  $V_{AB}$  için dalga formunun değiştirilmesi ile daha az bir emekle elde edilir. bu çeyrek dalga simetrisine sahip olduğu için, dalga formu  $-\pi/6$  rd. faz açısız (II3) eşitliğinin açıklamasını vererek analiz edilir. Eğer faz açısı dahil edilirse fourier serileri şekil:I4 'deki dalga formlarının orijinine işaret eder) Diğer iki hattan hata voltajlar için ifadeler:

$$V_{BC}: \sum_{n=1,3,5}^{\infty} \frac{4V}{n\pi} \cdot \cos \frac{n\pi}{6} \cdot \sin(wt - \frac{\pi}{2}) \text{ V (II4)}$$

$$V_{AC}: \sum_{n=1,3,5}^{\infty} \frac{4V}{n\pi} \cdot \cos \frac{n\pi}{6} \cdot \sin(wt - \frac{7\pi}{6}) \text{ V (II5)}$$



Şekil : 14 Yük devresinin tötikleme sinyali ve çıkış voltagı formları.



Şekil : 15 Şekil 14'deki gerillim kaynaklarının eşdeğeri.

II3'den II5'e kadarki eşitlik serilerindeki 3 ve katlarında-  
ki harmonik bileşenlerinin sıfır olduğu görülmektedir. Eğer  
yük devresi Lineer ve bağlantı ise, yük-kol akımları II3'den  
II5'e kadar ki eşitliklerin voltaj serilerinden direkt olarak  
elde edilebilir. Eğer yük akımı Lineer ve Y bağlantılı ise, o  
zaman, yük kol akımlarını ve faz-nötr voltajlarını saptamak  
için uygulama yapılabilir.

Şekil:I4-a'daki periodların her birinin sonunda, tetikleme  
sinyalinin yük şartları altındaki bir tristöre çevrilmesi de-  
ğişime gereksinim duyacaktır. Her çevrimde 6 değişim gerekli-  
dir. Değişim anındaki tristör akımı II3'den II5'e kadarki ge-  
rekli pek çok eşitlikleri kullanarak herhangi bir doğruluk de-  
recesinde hesaplanabilir.

Özel durum, düzeltilmiş ve Y bağlantılı direnç yükü sağla-  
nırken, bu inverterin performansıdır. Şekil:I5-a böyle bir yük  
devresini gösterir ve şekil:I5-b, şekil:I4'deki hattan hata  
hata voltaj çevriminin 3 ardışık periodu sırasında sistemin eş-  
değer devresini gösteriyor. Şekil:I5-b'deki devrelerin voltaj  
taksimatını uygulayarak, yük devresi için faz-nötr voltajları  
saptanabilir ve bunların dalga formları şekil:I4-b'dedir.

Bir direnç yükü ile yalnız tristörler bağlantı yapar ve ope-  
rasyonuna etki etmeksizin şekil:3-a'daki devreden, teorik ola-  
rak diodlar yeniden değiştirilebilir. Operasyonun bu ideal şar-  
tı için, herhangi bir diğer inverter yük kombinasyonuna yarar  
sağlayan şekil olduğu için, uygulanabilen inverter-yük kombi-  
nasyonu için bir faktör saptamak mümkündür. Bu miktar verim  
faktörü olarak bilinir ve şöyle bulunur.

$$D_R : \frac{P_Q}{P_0} \quad (II6)$$

$P_0$ , inverter çıkış gücüdür.

$$P_Q : N_Q \cdot V_{FB} \cdot I_{RMS} \cdot W \quad (II7)$$

Sırasıyla  $I_{RMS}$ , rms iletim akımı,  $V_{FB}$ , tepe değeri iletme vol-  
tağı ve inverter devresinde tristörlere taşınan yük akımının  
miktari  $N_Q$ 'dur.

Böylece 3 faz köprü inverter için, 3 tristör her fazın R düzelttilmiş direnç yükünü sağlamak için herhangi bir anda açılırlar.

$$P_o : \frac{3}{\pi} \cdot \int_0^{\pi} \frac{V_{AN}^2}{R} \cdot d(wt) \quad W \quad (\text{II8})$$

$$V_{AN} : \frac{V}{3} \cdot V \quad ; \quad 0 < wt < \frac{\pi}{3} \quad \text{rd.}$$

$$V_{AN} : \frac{2V}{3} \cdot V \quad ; \quad \frac{\pi}{3} < wt < \frac{2\pi}{3} \quad \text{rd.} \quad (\text{II9})$$

$$V_{AN} : \frac{V}{3} \cdot V \quad ; \quad \frac{2\pi}{3} < wt < \pi \quad \text{rd.}$$

$$P_o : \frac{2V^2}{3R} \quad W \quad (\text{I20})$$

Cıktıs gücü şöyle açıklanabilir.

$$P_o : 3 \cdot R I_R^2 \quad W \quad (\text{I21})$$

$I_R$ , her faz yük akımının rms değeridir.

$$I_R : \left( \frac{P_o}{3R} \right)^{1/2} : \frac{\sqrt{2}}{3} \cdot \frac{V}{R} \quad A \quad (\text{I22})$$

(II7) eşitliğinden,  $I_{RMS} : I_R \sqrt{2}$  ve  $V_{FB} : V$  için tristörlerin uygulayacağı tahmini güç :

$$P_Q : 6 \cdot V \cdot \frac{I}{\sqrt{2}} \cdot \frac{\sqrt{2} \cdot V}{3R} : \frac{2V^2}{R} \quad W \quad (\text{I23})$$

Verim faktörü :

$$D_R : \frac{P_Q}{P_o} : 3 \text{ olur.} \quad (\text{I24})$$

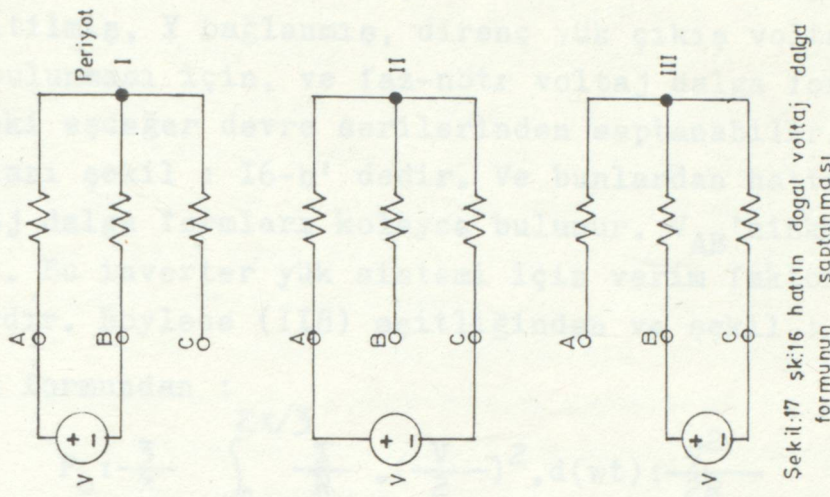
Yani, inverter 6 ana tristörün kombine edilmiş maximum güç veriminin  $1/3$  üne eşit bir gücü, yüke verebilir.

III-I-4-2- HERHANGİ BİR ANDA 2 TRİSTÖR AÇIK İKEN :

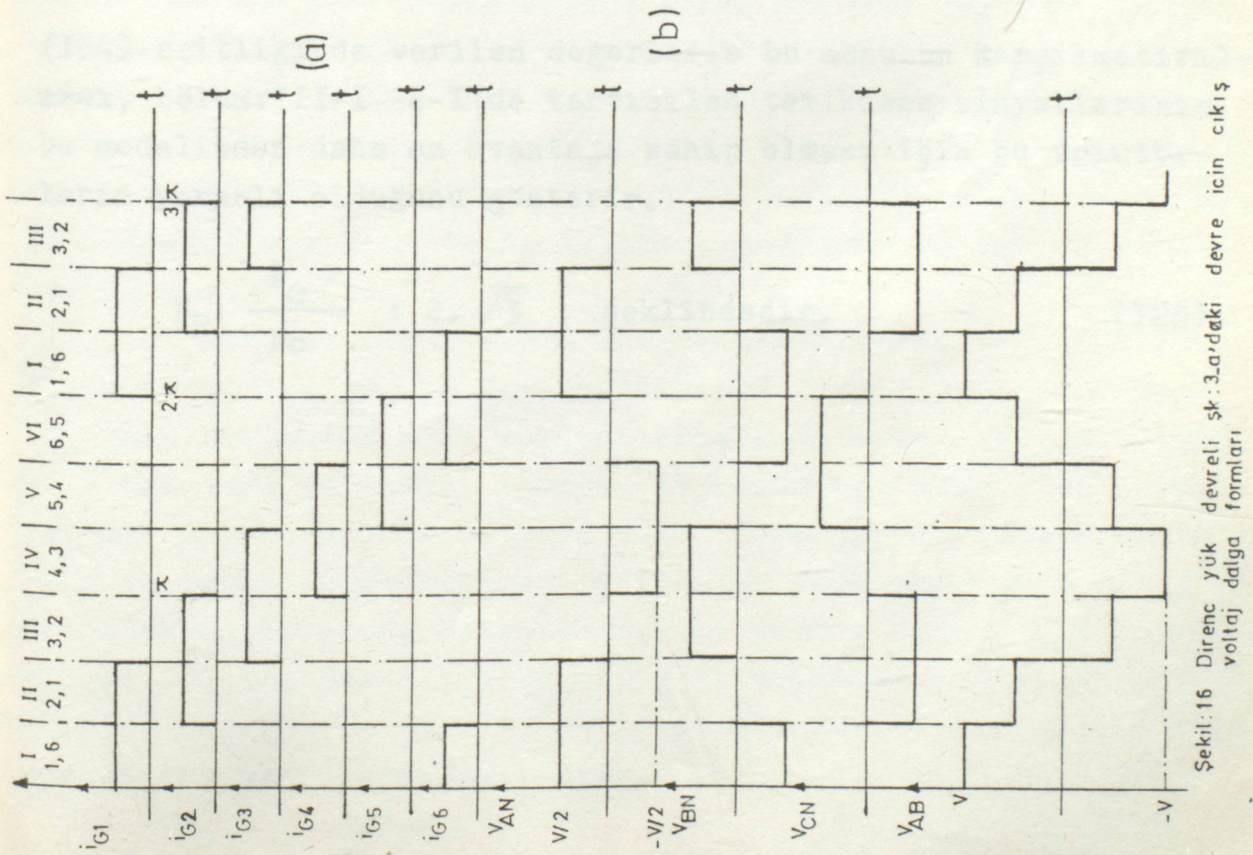
Şekil:3-b'deki tetikleme sinyal dalga formu-  
ranın kontrolu,  $t:T/2$  ya da  $wt:\tau$  'de  $i_{G_1}$ 'in kesik olduğunu  
ve eşzamanlı  $i_{G_4}$ 'ün uygulandığını gösterir. Pratikte, eğer  
 $Q_1$ 'e kapama için zaman verilmemezse,  $i_{G_4}$ 'ün uygulanması  $Q_1$  ve  
 $Q_4$  tristörleri vasıtasiyla kaynağın kısa devre yapmasına ne-  
den olacağinden dolayı, bir değişim anı için,  $i_{G_1}$ 'in yerini  
değiştirmesi ve  $i_{G_4}$ 'ün uygulanması arasında bir süre olmalı-  
dır. Gerçekte bir tetikleme sinyalinin sonu ile bir diğerinin  
başlangıcı arasında normal olarak yeterli an sağlansı-  
ble, herhangi bir nedenle bağlantılı herhangi bir başarı-  
sızlığın, iki tristör arasında zararlı bir kısa devre olu-  
turacağı şekil : 3.b'deki tetikleme sinyalleri modeli için  
bu bir dezavantajdır.

Kısa devre tehlikesi, şekil:I6.a'daki tetikleme  
sinyalleri kullanılarak oldukça azaltılabilir. Bir tristör-  
deki tetikleme sinyalinin sonu ile bununla seri olarak ba-  
ğlantılı tristördeki tetikleme sinyalinin başlangıcı arasın-  
da  $\tau/3$  rd. açısal anı kadar zaman geçtiği görülecektir. Bu  
ilk tristör için bolca kapanma zamanı sağlar. Ayrıca, sö-  
gelimi bazı fonksiyonlardan kaynaklanan  $Q_1$  tristörünün geci-  
ken bağlantısı, yük devresi arasında akımın geçmesi için ek  
bir yol yapar.  $Q_4$  açıldığında,  $wt:\tau$  anında  $Q_1$  hala bağlantı  
yapmadıkça ve şüphesiz bağlantı tam olarak gerçekleşmedikçe,  
bu yük akımının ani olarak düzeltilemesine neden olurken,  
zararlı bir kısa devre akımı oluşturmayacaktır.

Çevrimin, şekil:I6'deki 6 periodu yeniden bö-  
lünebilmesi için, tetikleme sinyallerinin bu modeli için yük  
şartları altında her çevrimde 6 güçlü bağlantı gereklidir.  
Eğer yük devresi dirençten ayrı ise, tetikleme sinyallerinin  
değiştirildiği gibi her tristör bağlantı yaptığından çıkış  
terminallerinin yalnız ikisinin potansiyelleri çevrimin her-  
hangi bir anında saptanacaktır. Böylece bu tip kontrollü in-  
verter performansının analizi bir "genel yük devresi için çok  
karmaşık hale gelir. Antiparalel bağlanmış diod ve açık bir  
tristörden ibaret bir kaynak terminaline belirli bir anda  
bağlantı olmayan yük terminali yük devresine bağlı bir po-



Şekil.16 Hattın doğal voltaj formunun saptanması



Şekil.16 Direnç yük devreli sk : 3,a'daki devre için çıkış formları

tansiyel bulacaktır. Ayrıca terminalin "bağımsız olduğu anda  $\sqrt{3}/3$  açısal anında bu potansiyel sabit olmayacağı" Düzeltilebilir, Y bağlanmış, direnç yük çıkış voltaj akımlarının bulunması için, ve faz-nötr voltaj dalga formları şekil: I7'deki eşdeğer devre serilerinden saptanabilir. Bu dalga formları şekil : I6-b' dedir. Ve bunlardan hattan hata çıkış voltaj dalga formları kolayca bulunur.  $V_{AB}$ 'ninki şekil : I6-c' dedir. Bu inverter yük sistemi için verim faktörünü bulmak kolaydır. Böylece (II8) eşitliğinden ve şekil : I6-b'deki  $V_{AN}$  dalga formundan :

$$P_o : \frac{3}{\pi} \int_0^{2\pi/3} \frac{1}{R} \cdot \left(\frac{V}{2}\right)^2 \cdot d(wt) : \frac{V^2}{2R} \quad W \quad (I25)$$

(I22) eşitliğinden :

$$I_R : \left(\frac{P_o}{3R}\right)^{1/2} : \frac{I}{\sqrt{6}} \cdot \frac{V}{R} \quad A \quad (I26)$$

(II7) eşitliğinden,  $I_{RMS} : I_R / \sqrt{2}$  ve  $V_{FB} : V$  için mevcut tristörler farz edilirse :

$$P_Q : 6 \cdot V \cdot \frac{I}{2\sqrt{3}} \cdot \frac{V}{R} : \sqrt{3} \cdot \frac{V^2}{R} \quad W \quad (I27)$$

(I24) eşitliğinde verilen değerlerle bu sonucun karşılaştırılması, bölüm:III-I -4-I'de tartışılan tetikleme sinyallerinin bu modelinden daha az avantaja sahip olması için bu tristörlerin yararlı olduğunu gösterir.

$$D_R : \frac{P_Q}{P_o} : 2 \cdot \sqrt{3} \quad \text{şeklindedir.} \quad (I28)$$

### BÖLÜM.III.2. MODULASYON TEKNIĞİ :

A.C motorlarının kontrolunda dalga genişliği modülasyonu (DGM) ile çalışan eviriciler vazgeçimiz unsur haline gelmiştir. Zira eviricinin hem geriliminin ve hem çıkış frekansının kontrolü mümkündür. Gerilim dalgalarının üretilebilmesi için değişik modülasyon yöntemleri uygulanmaktadır. Bu yöntemler evirici içindeki kontrol devrelerinin değişerek basit veya karmaşık olmasına ve dolayısıyla sistemin maliyetine de etki etmektedir. Fakat esas arzu edilen harmoniklerin gerilim dalgasından arındırılması olduğundan, bu işlemi ilaveleyer yapmadan gerçekleştirecek modülasyon yöntemleri aranmıştır. Üretilen dalganın mümkün olduğu kadar sinüs dalgasına yakın olması ve haliyle harmoniklerin genliklerinin en aza indirilmesi prensibi ana hedef olarak alınmıştır. Bu türde iki değişik türde modülasyon ortaya çıkmıştır."Basamak (Adım) Modülasyonu" ve "Taşıyıcı Dalgalar Yardımıyla Modülasyon" dur.

#### III.2.1. BASAMAK MODULASYONU :

DGM'ı ile gerilim dalgası üretmek için kullanılan en basit metoddur. Referans ve taşıyıcı dalgalarına sinüs modülasyonunda duyulan ihtiyaç burada mevcut değildir. Prensip, tristörlerin iletim zamanlarının uygun biçimde tayinidir. Buna yapıldıktan sonra her tür dalgıa üretmek mümkündür. Tristörlerin steşleme sıraları son derece önemlidir. Aynı fazlara ait olan tristörler yarı periyot boyunca iletimde kalırken, aynı faza ait iki tristörün aynı anda iletimde olması doğru gerilim kaynağının kısa devre edilmesi durumunu ortaya çıkaracağından mümkün değildir.

Basamak modülasyonu ile üretilen dalgaların sınıflandırılmasını yaparken iki değişik yol ortaya çıkmaktadır. Birinden birincisi yarı periyot süresince üretilen darbe sayısının tek veya çift sayı olması, ikincisi ise darbe genişliğinin yarı periyot içinde bulunan bütün darbeerde ve darbelerin arasında yer alan boşluk geniğinin tüm yarı periyot boyunca birbirine eşit olduğu dalgalar ile bu eşitlikleri bozan dalgalarıdır. Aslında her iki yöntem ile incelenenecek olursa sonuç aynıdır. Dalgaların yapısı değişmeyeceğinden birinci metod üzerinde açıklama yapmaya çalışalım.

### III.2.1.1.7 DARBE SAYISI TEK SAYI OLAN DALGALAR :

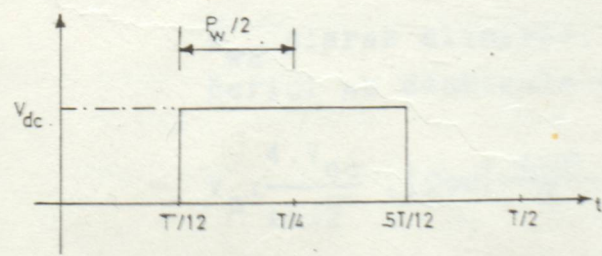
Bu dalgaların darbe sayısı 1, 3, 5, 7..... gibi tek sayılardır. Yarı periyodun ortasında bulunan derbenin genişliği diğer yan dərbelere göre fazladır. Yarı periyodun ortası olan çeyrek periyod eksenine göre simetri teşkil etmek harmoniklerin yok edilmesi açısından önemlidir.

$\pi/2$  ekseninde meydana getirilecek simetri ile dalganın yalnız sinüsü olan terimlerinin tek katsayıları harmoniklerini kapsayacağı doğaldır. Bu avantaj daığa şeklärin sinüs formuna benzemesine ilave edilecek olursa, tek sayılı darbe intiva eden dalgaların hemen başta üstünük kuracakları umulmaktadır. Bu daığa şeklärinde dərbeleri istediği gibi yarı periyod içinde dağıtmak köprüünü kısa devre olmadan çalışması yönünden pek kolay değildir. Bu mahsuri ortadan yok etmek amacıyla bu daigayı yaratmak için gereken şartları ortaya koymakta yarar vardır.

1. Orta darbenin genişliği, yarı periyod içindeki yan dərbelerin genişliklerinin toplamına eşit olmalıdır.

2. Dalgaların  $\pi/2$  ve X eksenleri için simetrikliğinin sağlanması veya hiç olmama  $\pi$  eksenine göre simetrisi olması gereklidir.

3. Faz gerilimleri arasında bulunan 120 derecelik faz farkının genişliği, yarı periyodun ilk yarısındaki ve ikinci yarısındaki dərbeler ile bunların toplamına uygun gelen orta darbenin bir kısmı ile doldurulur. Darbe sayısı 1 olan daığa'da ilk etüdümüzü yapalı. Bu dalganının bilim dalında adı kare dalga olmasına rağmen DGM'lu dalgaların en basiti ve öncüsü olması sıfırla incelemekte yarar vardır. Bunun harmonik analizi yapıldığında elde olunacak tüm harmonikleri şu denklemle elde etmek mümkündür.



Şekil:I. Bir dərbeli daığanın zaman ekseninde yarım peryodu.

$$V = \frac{8V_{dc}}{\pi \cdot n \sqrt{2}} \cdot \sin\left(\frac{n \cdot \pi \cdot f \cdot P_w}{1000}\right)$$

$V_{dc}$ : Eviriciyi besleyen Dogru gerilimin genliği.

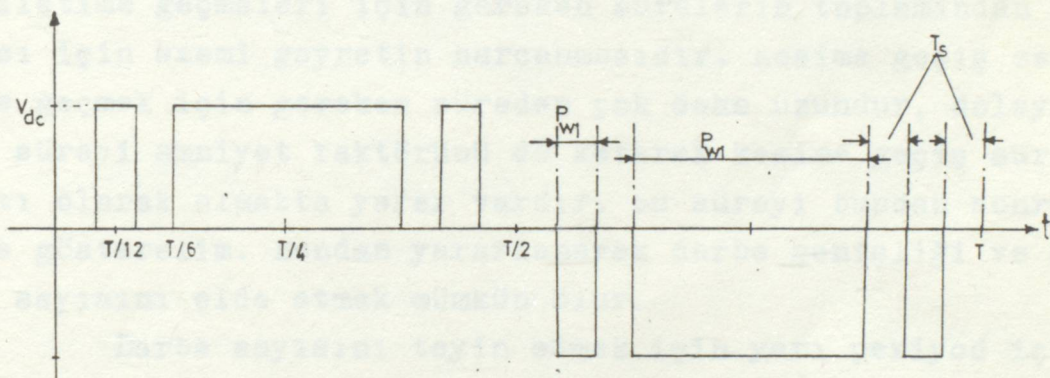
$n$  : Harmonik sayısını

$r$  : Dalganın frekansını

$P_w$  : Darbe genişliği milisaniye

$V_n$  : Harmonik gerilim genliği ifade etmektedir.

Üç darbeli dalga'da darbelerin toplam genişliğinin ortada bulunan derbenin genişliğine eşit olması şartı aranmaz, fakat  $\pi/2$  ekseni boyunca simetrik olması gereklidir. Dalganın birinci darbesi eğer orijinden başlamak mecburiyetinde ise, bir tristörün kesme geçme süresi ve diğerinin iletme geçmesi için gereken toplam zamanın yarısı kadar orijinden uzakta başlamak zorundadır. Aksi halde kısa devre köprüünün triistörlerine zarar verir. Darbe süresinin sabit kalması ve frekansının artması halinde, triistörlerin kesim ve iletim durumlarını değiştirilmesi için gereken zaman derece ekseninde büyük farklar doğuracağından, dalganın harmonik içergide değişmek zorunda kalacaktır.



Şekil.2-3 DGM Dalgasının zaman ekseninde tam peryodu.

Şekilden görüldüğü gibi darbelerin genişlikleri  $P_{w1}$  ve  $P_{w2}$  olarak alınırsa, harmonik geriliminin effektif değerini su denklemlle elde edebiliriz.

$$V_n = \frac{4 \cdot V_{dc}}{\pi n \sqrt{2}} \cdot [\cos\left(\frac{2\pi n}{T} \cdot (T/12 - P_{w1})\right) - \cos(\pi n/6)]$$

$$+ \cos\left[\frac{2 \cdot n \cdot \pi}{T} (T/4 - P_{w2})\right] - \cos(\pi n/2)]$$

Benzer olarak 5.7.....darbe ihtiva eden dalgalar incelenebilir.

Ifadeierden görüldüğü gibi darbe sayısının artış gösternesi ile harmonik gerilimlerin efektif değerlerini veren denklemlerin karmaşıklığı artmaktadır.

### III.2.I.2- DARBE SAYISI ÇIFT SAYI OLAN DALGALAR :

Yarı periyodundaki darbe sayısı çift olan dalgalarda sayısı modülesyonunun sayısını ifade eder. Yani yarı periyottaki darbe sayısı 4 ise, 4DGM'lu dalgası adını alır. Darbe genişliğinin yarı periyod boyunca tüm darbeierde eşit olması şartı aranmaz. Ancak darbelerin periyod içinde bulunmaları gereken yerler, dalganın harmonik muhteviyatının küçülmesi yönünden çok önemlidir. Bu nedenle darbelerin mümkün olduğunda sinus formuna yakın bir şekilde içereni yerleştirilmesi ve tristörlerin buna göre tetiklenmesi gereklidir. Diğer dikkat edilmesi gereken bir husus ise darbeler arasındaki sürenin tristörlerin kesime ve iletime geçmeleri için gereken sürelerin toplamından küçük olmaması için azami gayretin harcanmasıdır. Kesime geçiş zamanı iletime geçmek için gereken süreden çok daha uzundur, dolayısıyla toplam süreyi emniyet faktörünü de katarak kesime geçiş süresinin iki katı olarak almakta yarar vardır. Bu süreyi bundan sonra 2 Tsp ile gösterelim. Bundan yararlanarak darbe genişliği ve modülesyon sayısını elde etmek mümkün olur.

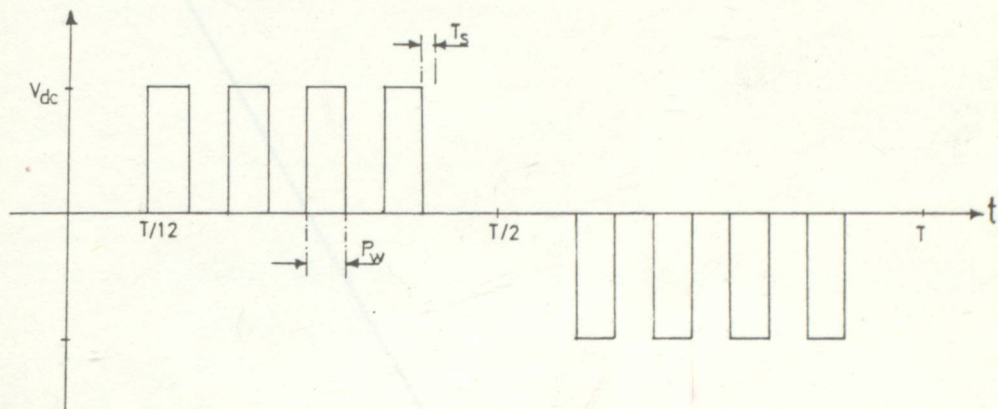
Darbe sayısını tayin etmek için yarı periyod içinde bulunan tüm darbelerin gerisliklerinin eşit olduğunu kabullenelim ve bunların 1/3 ünü işgal edeceklerini bildiğimize göre aşağıdaki gibi ifade'den istirade etmek mümkün olur. Darbe sayısı  $N_{pw}$  ile gösterilsin.

$$N_{pw} : \frac{T}{3(P_w + 2T_{sp})}$$

Bu denklemden elde edilen sayı ondaikili ise virgülden sonra gelen rakamların ihmali edilmesi ile elde olunan tam sayı yarı periyotte bulunması gereken darbe sayısını ve haliyle modülesyon sayısını gösterir. Bu sayının bir büyüğünü almak köprü tristörlerinin kısa devre olmasını neden olur. O halde seçilen tristörün  $2 T_{sp}$  zamanına göre kullanılabilen en büyük modülesyon sayısı beli bir frekans için bulunmuş olur. Eğer

Eğer evirici tristörleri bütünü frekans bandı içinde aynı dalgayı üretecekler ise modülasyon sayısının peryodun en küçük olduğu, en küçük olduğu, en yüksek frekans değerine göre tespit edilmesi şarttır.

Darbe genişliklerinin birbirine eşit olduğu bu daiganın Fourier Analizi sonucunda, harmonik gerilimlerinin effektif değerleri şöyle elde edilir.



Şekil:3. Darbe süresi tüm darbelerinde eşit olan 4 DGM dalgasının zaman ekseninde tam peryodu.

$$V_n : \frac{8 \cdot V_{dc}}{n \cdot 2 \cdot \pi} \cdot \sin(\pi n/3) \cdot \sin(\pi n/2) \cdot \sin(2\pi n f P_w / 1000) \quad (I)$$

n sayısının tam sayı olarak harmoniği ifade ettiğini ve gerekli harmonığın genliğini bulduktan sonra temel bileşene göre yüzdesini bulmak için şu denklemden yararlanılır.

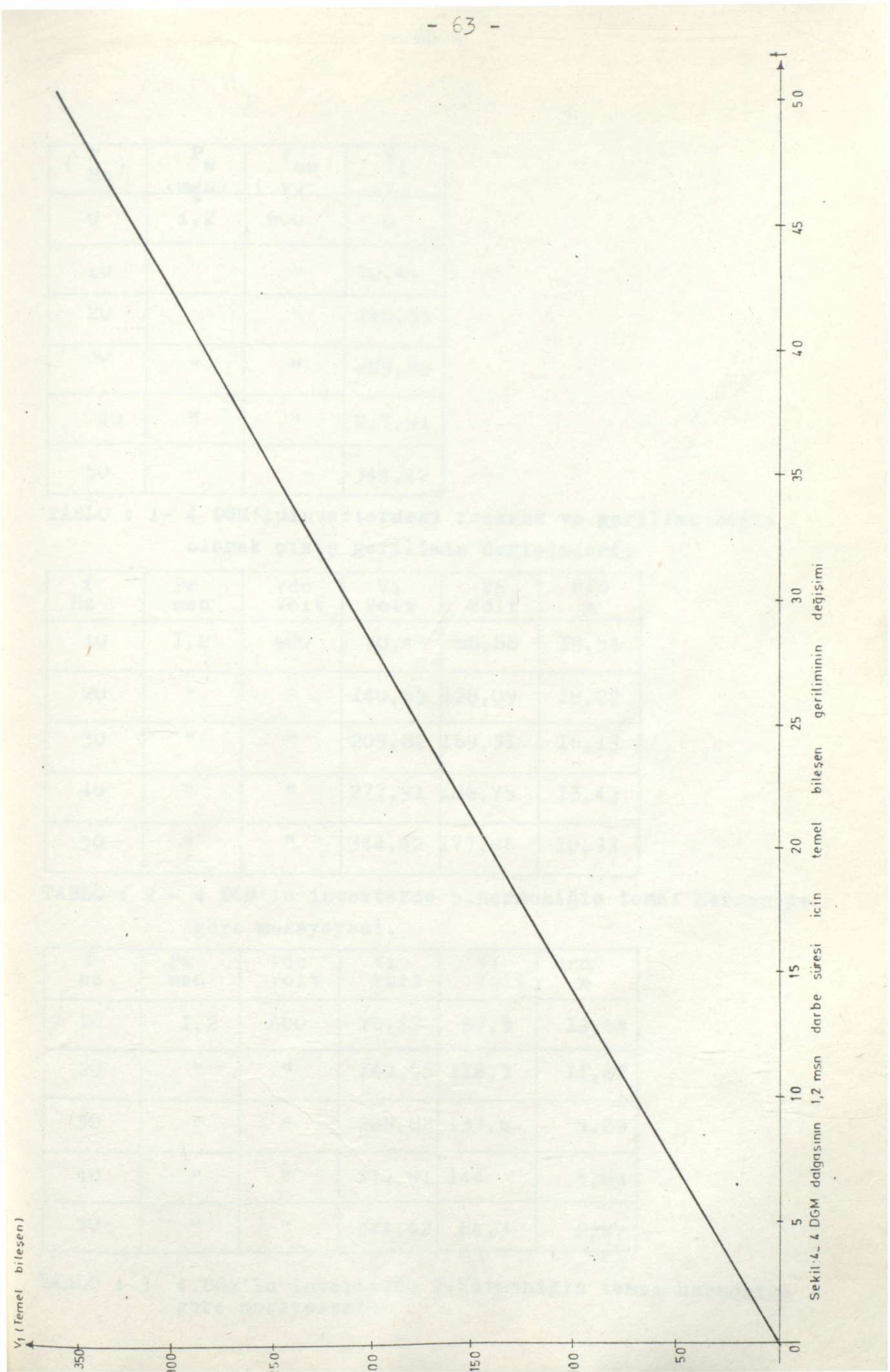
$$HP_n : \frac{100}{n} \cdot \frac{V_n}{V_1} \quad (2)$$

$V_n$  : Harmonik gerilimi

$V_1$  : Temel bileşen gerilimi

n : Harmonik mertebesini ifade etmektedir.

Fourier serisinin 2, 6, 8, 10.....darbe sayılı dalgalara uygulanması ile denklem (I)'de elde edilen harmonik gerilim genliğinin effektif değeri elde edilebilir. Darbe sayısının artması ile harmonik muhteviyatında meydana gelen değişimler, temel bileşen, beşinci ve yedinci harmonikler için 4 DGM'li dalgalarında 0-50 Hz frekans bandında Şekil:4, 5, 6'da gösterilmiştir. Dalgalarda



( f Hz )	Pw ( m <u><sub>W</sub></u> )	V <sub>ac</sub> ( v )	V <sub>I</sub> ( v )
0	1,2	600	0
10	"	"	70,47
20	"	"	140,55
30	"	"	209,82
40	"	"	277,91
50	"	"	344,42

TABLO : I- 4 DGM'lu inverterdeki frekans ve gerilime bağlı olarak çıkış gerilimin değişimleri.

f Hz	Pw msn	Vdc Volt	V <sub>I</sub> Volt	V <sub>5</sub> Volt	H <sub>Pn</sub> %
10	1,2	600	70,47	68,88	19,54
20	"	"	140,55	128,09	18,22
30	"	"	209,82	169,31	16,13
40	"	"	277,91	186,75	13,43
50	"	"	344,42	177,96	10,33

TABLO : 2 - 4 DGM'lu inverterde 5.Harmoniğin temel harmoniğe göre mukayeyesi.

f Hz	Pw msn	Vdc Volt	V <sub>I</sub> Volt	V <sub>7</sub> Volt	H <sub>Pn</sub> %
10	1,2	600	70,47	67,3	13,64
20	"	"	140,55	116,3	11,82
30	"	"	209,82	133,6	9,09
40	"	"	277,91	144	5,89
50	"	"	344,42	64,3	2,67

TABLO : 3- 4 DGM'lu inverterde 7.Harmoniğin temel harmoniğe göre mukayesesi.



Sekil:5 : 4 DGM'lu inverter'de 5. dalganın değişimi

HP



Sekil:6 : 4 DGM'lu inverter'de 7. dalganın değişimi

darbenin genişliği süre olarak sabit tutulmuştur. Darbelerin bir yarı peryotta uygun gelen sürelerinin toplamı her üç dalga için aynı alınmıştır. 2 darbeli dalga'da her bir darbe 2,4msn, 4 darbeli dalga'da 1,2 msn, 8 darbeli de ise 0,6 msn alınmıştır. Darbe genişliği olan darbe süresi bütün frekans bandında hiç değiştirilmemiştir. Beşinci harmoniğin 4 ve 8 DGM dalgalar için %30'un altında kaldığı, yedinci harmoniğin ise %25'in altına indiği, buna mukabil 2 DGM dalgasının harmoniklerinin son derece yüksek olduğu görülmektedir.

Bir yarı peryotta dalganın darbe sürelerinin birbirinden farklı yapılabilmesi ve derece ekseni üzerinde konumlarını en az harmonik verecek şekilde tespit edilebilmesi için her fazda ait tristörlerin iletimde bulundukları süre ve konumlarının bilinmesi gereklidir. En uygun olen dalga şekli Fourier analizi yöntemi ile bulunur. Bunun tespit edilebilmesi için drebelerin sürelerinin değiştirilmesi köprüün çalışmasına etki etmeyecek şekilde olmalıdır.

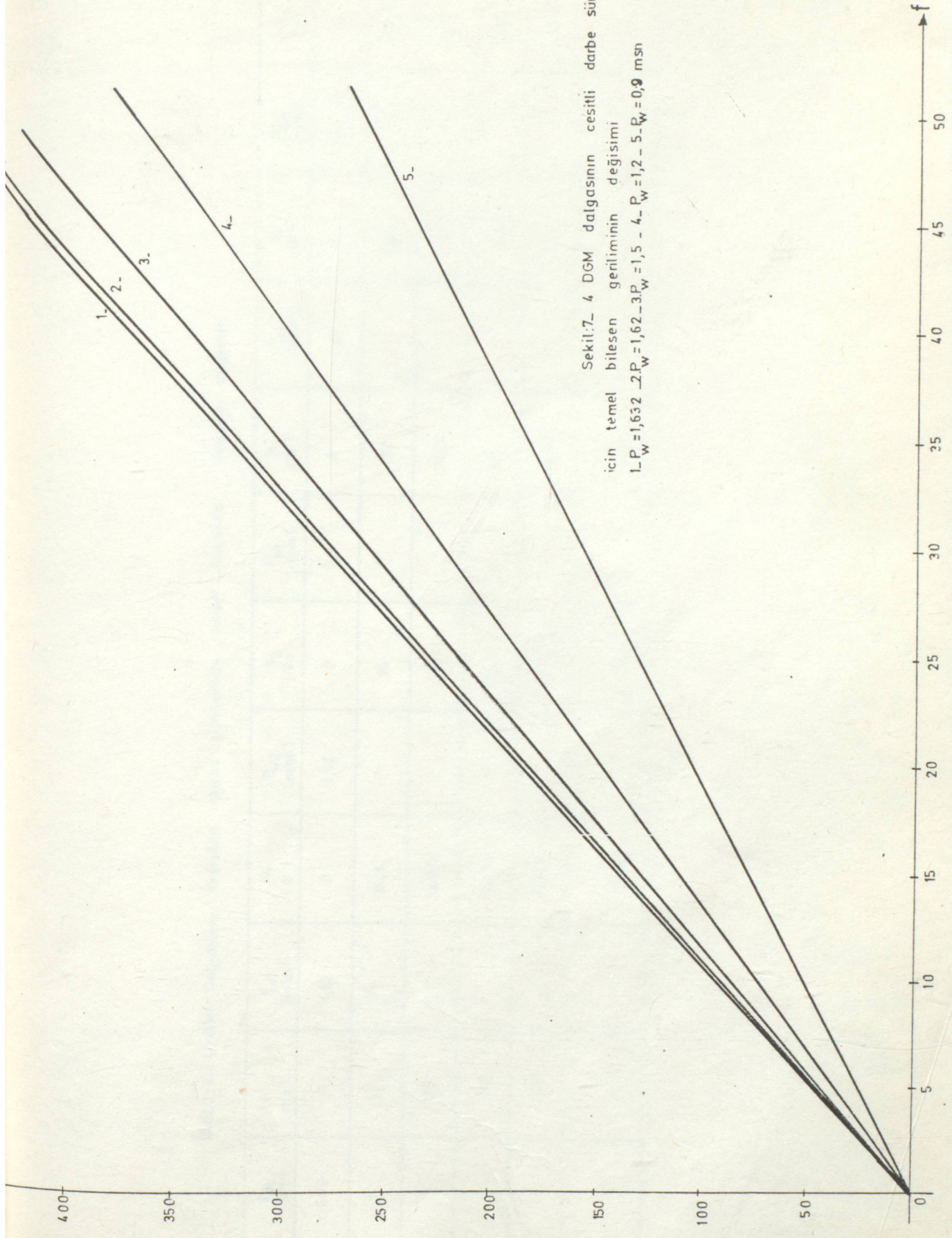
Drebelerin süreleri 0,9., 1.25, 1.5, 1.62, 1.632 msn olan beş değişik, dört darbeli dalga şeklinin Fourier analizi 0-50 H frekans bandında yapılmıştır. Şekil:7 de görülen temel bileşen gerilim değişimleri, darbe süresinin artması ile aynı modülasyon sayısı için harmonik muhteviyatının açık olarak düşüğünü göstermektedir. Ü halde buradan elde edilen sonuç darbe sayısı yüksek olan ve darbe süreleri tristörlerce müsade edilen en büyük süreye uygun gelecek şekilde kurulan dalga en iyisi olacaktır.

### III.2.1.3- DARBE SURESI EVIRİCİNİN ÇIKIŞ FREKANSI İLE DEĞİŞEN DALGALAR :

Bu dalgaların üretim şekli basamak modülasyonunda kullanılan yöntemden aynıdır. Tek değişen husus darbe süresinin devamlı değişmesidir. Bunun gerçekleştirilebilmesi için gereken iki yol mevcuttur.

I. Darbe genişliğinin frekansın değişimi ile sürekli olarak ayarlanması,

2. Darbe genişliğini çok küçük frekans bandları için sabit tutmak ve bandın bitiminde yeni bir darbe genişliğine geçmek.



TABLO: 4 DGM Dalgasının değişken darbe sürelerinde temel bileşinin değişim değerleri

$V_{dc}$ (V)	F (Hz)	$P_{w1}$ (msn)	$V_1$ (V)	$P_{w2}$ (msn)	$V_2$ (V)	$P_{w3}$ (msn)	$V_3$ (V)	$P_{w4}$ (msn)	$V_4$ (V)	$P_{w5}$ (msn)	$V_5$ (V)
600	0	1,63	0	1,62	0	1,5	0	1,25	0	0,9	0
"	10	"	95,6	"	95	"	88	"	73,4	"	52,8
"	20	"	190,31	"	190,2	"	175,3	"	146,3	"	105,5
"	30	"	282,9	"	281,2	"	261	"	218,4	"	157,9
"	40	"	372,6	"	370,5	"	344,4	"	289	"	209,8
"	50	"	458,8	"	455,9	"	424,7	"	358	"	261

Birinci ve ikinci yöntemlerde, evirici çıkışındaki frekansın geri besleme ile ana kontrol ünitesine biidirilmesi gerekir. Ana kontrol ünitesi frekans üreticisine ve ring devresine göndereceği bilgiler ile sistemin çıkışında, önceden programlanmış, temel bileşen geriliminin genliğine erişene kadar darbe süresi tetikleme devresi ve komütasyon devresi aracılığı ile ayarlanır. İkinci metoddə bahsedilen küçük frekans bandlarının genişliği, temel bileşen geriliminin band değişiminde en küçük olması durumuna göre seçilir. Band miktarının artması ile dalga sayısının artacağı göz önüne alınırsa, kontrol devresinin karmaşıklığı'da böylece büyümüş olur.

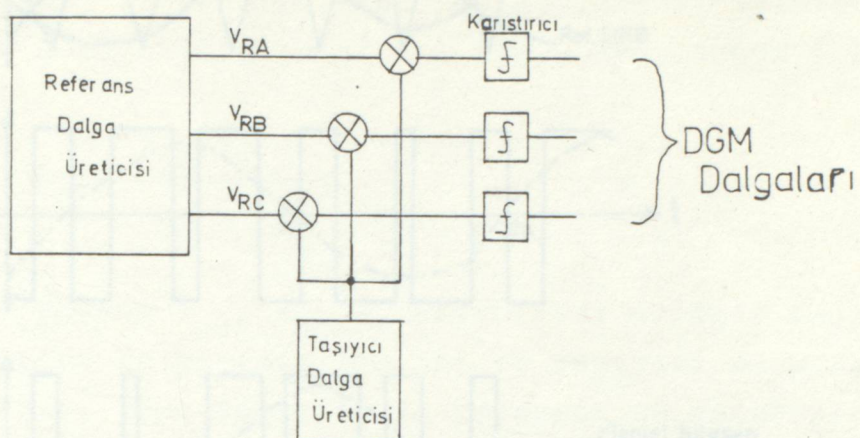
### III.2.2- TAŞIYICI DALGALAR İLE MODULASYON :

Taşıyıcı dalgalar ile yapılan modülasyon darbe genişliği modülasyonlu dalgaları üretmek için kullanılan diğer bir metoddür. Taşıyıcı dalga genellikle üçgen şeklinde ve frekansı yüksektir. Referans dalga ise frekansı değişen ve böylece eviricinin çıkış frekansını tayin eden sinüs veya kare dalgadır. Fakat pratikte kullanılan daha çok sinüs dalgasıdır. Bunun haricinde kare dalgada kullanılmaktadır, ancak üretilen dalganın darbelerinin genişlikleri birbirine eşit olmaktadır. Halbuki sinüs dalgasında darbe genişliği yarı periyodun ortasına doğru artmakta ve x eksenine göre tekrar azalmaktadır.

Referans dalga frekansının ve genliğinin birbirinden bağımsız olarak değiştirilebilmesi, evirici çıkışında üretilerek dalganın sinüs dalgasına daha yakın olmasına yardım eder. Gerilimin ayarı, eviricinin gerilim kontrolunu yapmasına yol açar.

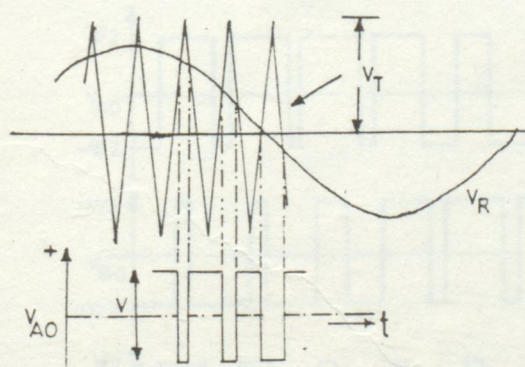
#### III.2.2.1- ÜÇGEN VE SINUS DALGALARI İLE MODULASYON :

Şekil:8'de üçgen dalga yardımı ile modülasyon yapan bir modülatörün blok diyagramı görülmektedir. Uç fazlı simetrik referans dalgaları,  $V_{RA}$ ,  $V_{RB}$ ,  $V_{RC}$  referans dalga üreticisi tarafından üretilmektedir. Bu dalgalar 120 derece faz farkına sahip sinüs dalgalarıdır.



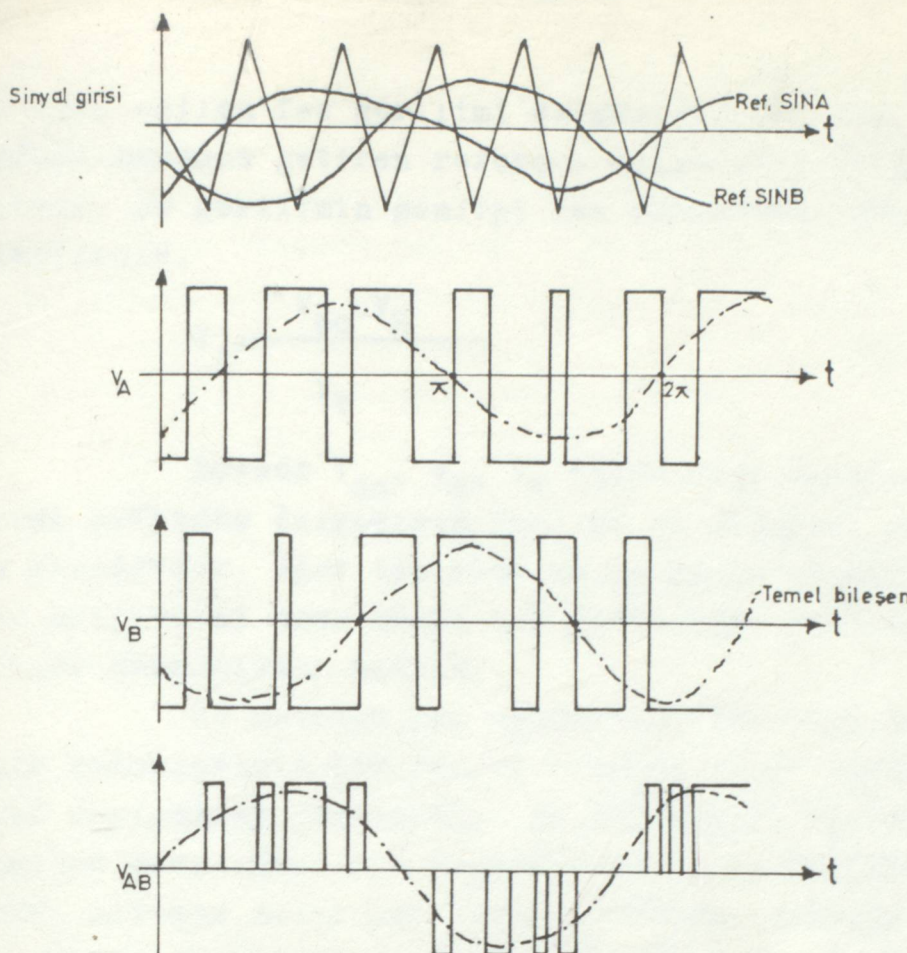
Şekil:8. Üçgen dalga kulianan modülatörün blok şeması.

Evvelce belirtildiği gibi frekansı ve geriliminin yarısı birbirinden bağımsız yapılabilen bu dalgalararda, frekans aynı zamanda evirici çıkışının frekansını tayin etmektedir. Referans dalgaları, taşıyıcı dalga üreticisinin ner faza gönderdiği değişmeyen frekans ve genlige sahip üçgen dalgalar ile her faza ait karıştırıcıda işleme girer. Şekil: 9'de gösterilen dalgaların üretimi böylece sağlanmış olur. Bu dalgalar köprüünün ayaklarında bulunan ana tristörlere ve varsa komütasyon tristörleri- ne tetikleme darbeleri gönderecek devre göndererek Şekil: 10 ve II'de gösterilen dalgaların üretimi sağlanır.

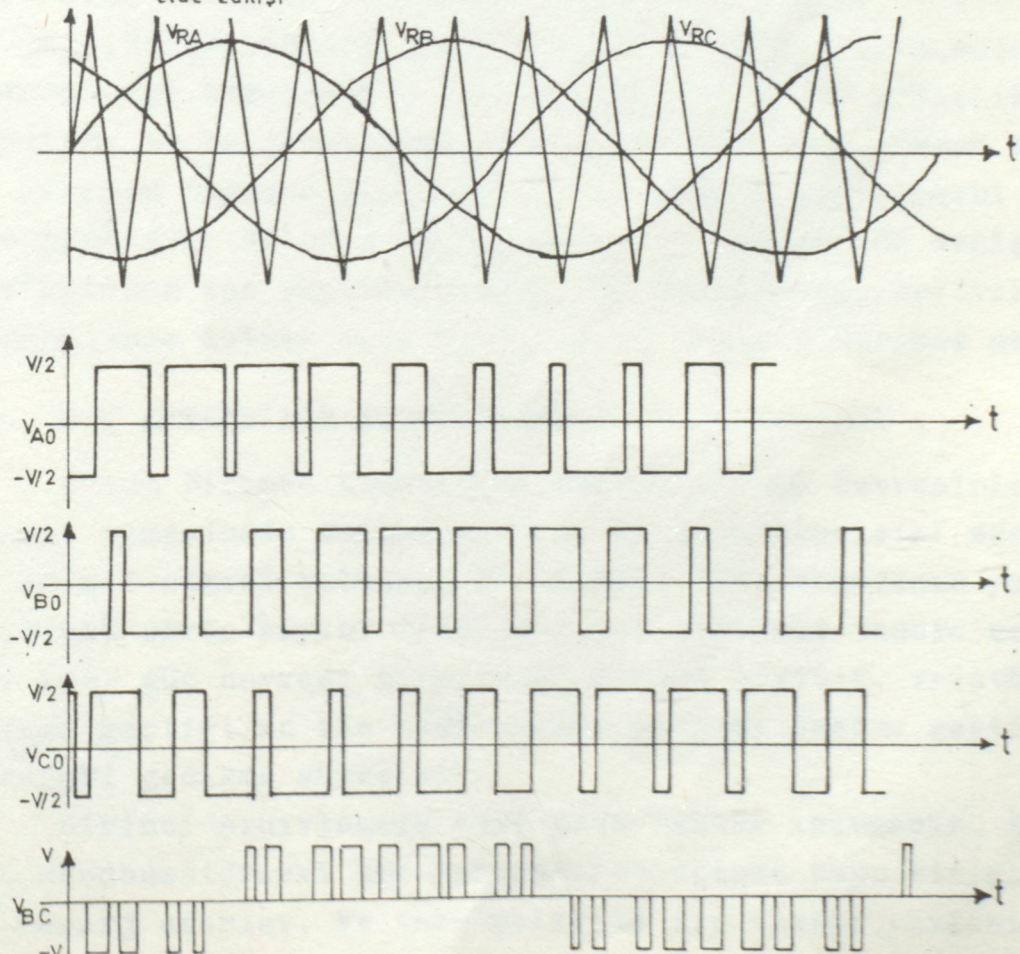


Şekil: 9. Üçgen ve sinüs dalgaları yardımıyla DGM dalgasının üretimi.

Referans dalgalarının arasında bulunan 120 derece faz farkı ve taşıyıcı dalganın ner faz için faz farkı olmadan uygulanması ile çıkış dalgası DGM şeklinde elde olunur. Bu metot



Sekil:10-Bir fazlı eviricide üçgen ve sinüs dalgalar yardımıyla DGM dalgasının elde edilişi



Sekil:11- 3 Fazlı eviricide üçgen ve sinüs dalgalar yardımıyla DGM dalgasının elde edilişi

ile eide edilen faz geriliimi dalgasının frekansı ve faz açısı kendini meydana getiren referans dalgasının büyüklüklerine eşittir. Bu geriliimin genişliği ise modülasyon oranı ile doğru orantılıdır.

$$V_1 : \frac{V_{dc} \cdot V_R}{V_T}$$

Burada  $V_{dc}$ ,  $V_R$ ,  $V_T$  sırasıyla: evirici besleme geriliimi referans dalgasının genişliği ve taşıyıcı dalganın gerilik genliğiidir. Eğer taşıyıcı ve referans dalgalarının frekansları arasındaki oran büyük ise sinüsordai referans kullanımı halinde harmonikler azalır.

Bu metodun yan mahsurlarından biri ise, darbe yerleşim konumlarının her peryot boyunca sabit olmaması ve zamanla küçük değişmeler yapmasıdır. Bu değişmeler referans ve taşıyıcı dalgalar arasındaki faz farkının sabit olmamasından kaynaklanmaktadır, değişme oranı ise taşıyıcı dalganın frekansı ile referans dalgası frekansının çeşitli katları arasındaki fark ile devamlı tekerrür edilmektedir. Darbe sayısının yüksek ve temel bileşen gerilim genliğinin küçük olduğu düşük hızlarda motorun çalışmasına etki etmektedir. Yüksek hızlarda darbe genişliklerinin arttığı ve haliyle büyük gerilim gereken durumlarda darbelerin periyod boyunca konum değişimi motorun çalışmasını rahatsız etmektedir. Motorun akımı, devir ve momenti bu değişmelerden etkilenen ana büyüklüklerdir. Bu değişimeleri belirli sınırlar dahilinde tutmak için  $f_T/f_R$  oranı dokuz civarında seçilir.

### III.2.3- GÜC DEVRESİNİN MODULASYONA YAPTIĞI ETKİLER :

Bütün bilinen komütasyon devreleri güç devresinin bir parçası olmasından dolayı modülasyon teknüğine etki edecek iki önemli etkide bulunur. Birincisi, DGM dalgasının yapısında bulunan darbe sayısı frekansın üst sınırını tanda eder. İkinci ise, güç devresi tarafından oluşan etkidir. Tristörlerin iletme geçtiği an ile komütasyona girerek kesime geçtiği an arasındaki gecikme süresidir.

Birinci sınırlamaya etki eden faktör ısınmadır. Komütasyon kondansatörleri her yarıperiyod içinde depo ettikleri yükleri deşarj ederler. Ve ters polarite ile tekrar yüklenirler.

Bu esnada joule, dielektrik ve fuka kayıpları meydana gelerek komütasyon devresinde ısı üretimine neden olurlar. Komütasyon hızlanmasıyla doğru orantılı olarak ısı enerjiside artacağı için, sistemin müsaade edilen sıcaklık derecelerinde tutulması oldukça müşkül olur. Bihassa kapalı olan sistemlerde üretilen bu ısı büyük problemler yaratır. Buna ilave olarak gücü büyük olan eviricilerin yapılmasında, akım değerleri kendiliğinden büyük değerlere varacağı için, bu akımlara dayanacak elemanlarda ısı üretimine katkıda bulunacağı gibi fiyatlarında yüksek olması sistemin daha pahalı olmasını neden olmaktadır.

Ikinci sınırlama'da emniyetli çalışmayı temin etmek için gerekecek en küçük iletim zamanının dikkate alınması gereklidir. Komütasyon devresinin tristörün iletimi esnasında zamanı gelmeden tristörü kesime geçirmemesi icap eder. Bunun gerçekleşmesi için tetikleme devresine iletimdeki tristörü en küçük iletim süresinden önce komütasyona sokup, kesime götürecek olan komütasyon devresini harekete geçirmeyecek bir kontrol devresi ilave edilir. Böylelikle tristörlerin en küçük çalışma süreleri garanti altına alınır. Üretilen dalganın iyilik derecesini artırmak için minimum iletim süresinin küçültülmesinde her zaman yarar vardır. Çünkü bu şartlarda harmonik içeriğinin daha düşük bir seviyeye inmesi mümkün olur. Komütasyon devresinin seçilmesi ve nesaplanması esnasında temel alınacak faktör, minimum iletim süresidir. Pratikte kullanılan tahrik sistemlerindeki eviricilerin yapısında bu sure çekilen guce göre değişmektedir. Örneğin : 15 HP civarında motorlar için 200  $\mu$ s veya daha küçük, fakat 500 HP kadar büyük olan motorlar için ise 460  $\mu$ s'ye kadar çıkılabilir.

### III.2.4- TRİSTÖRLERİN İLETİM SÜRELERİНИN ÇIKIŞ DALGALARINA GÖRE TAYİNİ :

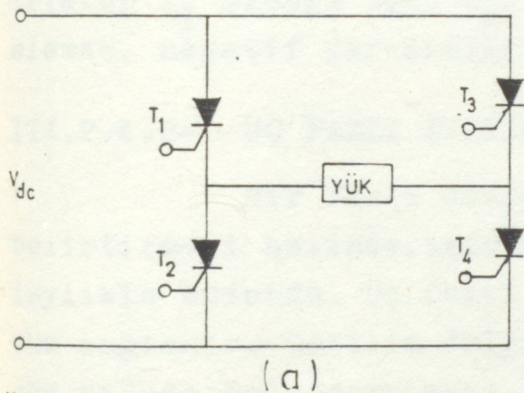
Harmonik içerikli vir gerilim dalgasının incelenmesi Fourier analizi ile yapıldığına göre ve incelenen dalganın aranılan şartlara uygun olduğu tespit edildikten sonra sorun, bu dalganın üretilmesi olarak ortaya çıkar. Tristörlerin iletim süreleri ve tetiklenme sıralarının hayatı öneme haiz olduğu bu işlemde, faz arası gerilimin dalga şeklini elde etmek için faz gerilimlerinden hareket edilmesi gereklidir.

Sekillerin basitliğini ve izahatın kısa tutulması açısından 2 DGM daiganının elde edilmesi için gereken tristörlerin tetikleme sırası ve iletim süreleri bulunacaktır. 3,4,5,6, 7,8.....darbeli daigalarda aynı metotla incelenerek çözümüri rahatça bulunabilir.

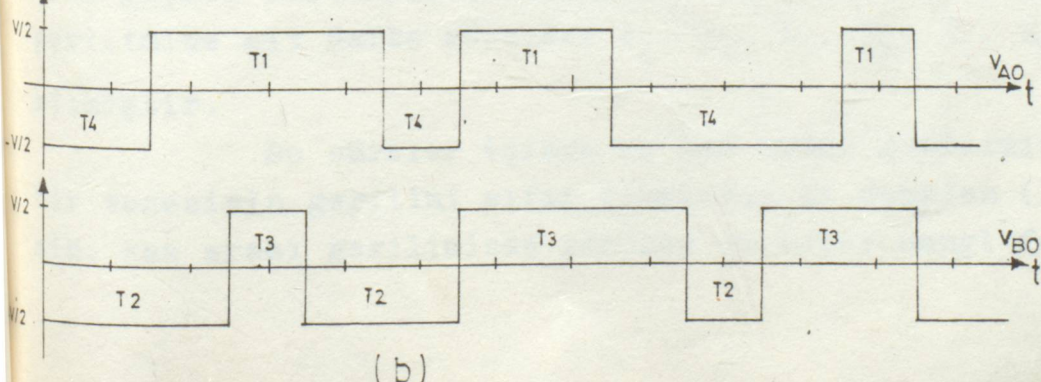
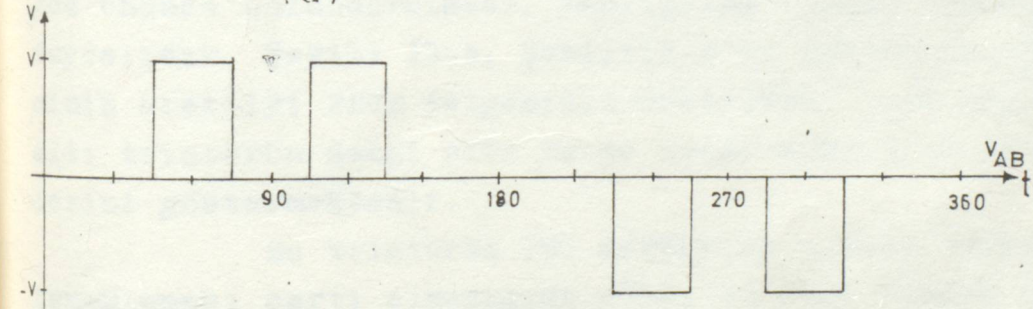
### III.2.4.I- BİR FAZLI EVİRİCİ :

Sekil: I2 b'de iki darbeli bir dalga görülmektedir. Faz arası gerilimi olarak verilen bu dalgayı meydana getirecek faz gerilimleri evirici köprüsünün her bir ayağındaki tristörlerin iletme geçip, komütasyona girmesiyle elde edilir. Sekil: I2a verilen bir fazlı evirici buna örnektir. Faz arası gerilimi ile faz gerilimleri arasında şu bağıntı vardır.

$$V_{AB} = V_{AO} - V_{BO} \quad (I)$$



(a)



Sekil: I2 . 2DGM daigasının bir fazlı eviricide üretilmesi halinde tristörlerin iletim süreleri.

$v_{AB}$  geriliminin dalga şekli verildiyse  $v_{AO}$  ve  $v_{BO}$  şöyle elde edilebilir.

I.  $v_{AB}$  geriliminin genliği pozitif ise (I) nolu denklem gereği  $v_{AO}$  kendi ekseninin pozitif,  $v_{BO}$  ise kendi ekseninin negatif yarısında yer almalıdır.

2.  $v_{AB}$ 'nin genliği ise  $v_{AO}$  kendi ekseninin negatif,  $v_{BO}$  kendi ekseninin pozitif yarılarda yer almalıdır.

3.  $v_{AB}:0$  ise  $v_{AO}$  ve  $v_{BO}$  aynı işarete sahip olacak şekilde sıfır geriliimi ekseninin uygun yarılarda yer alır.

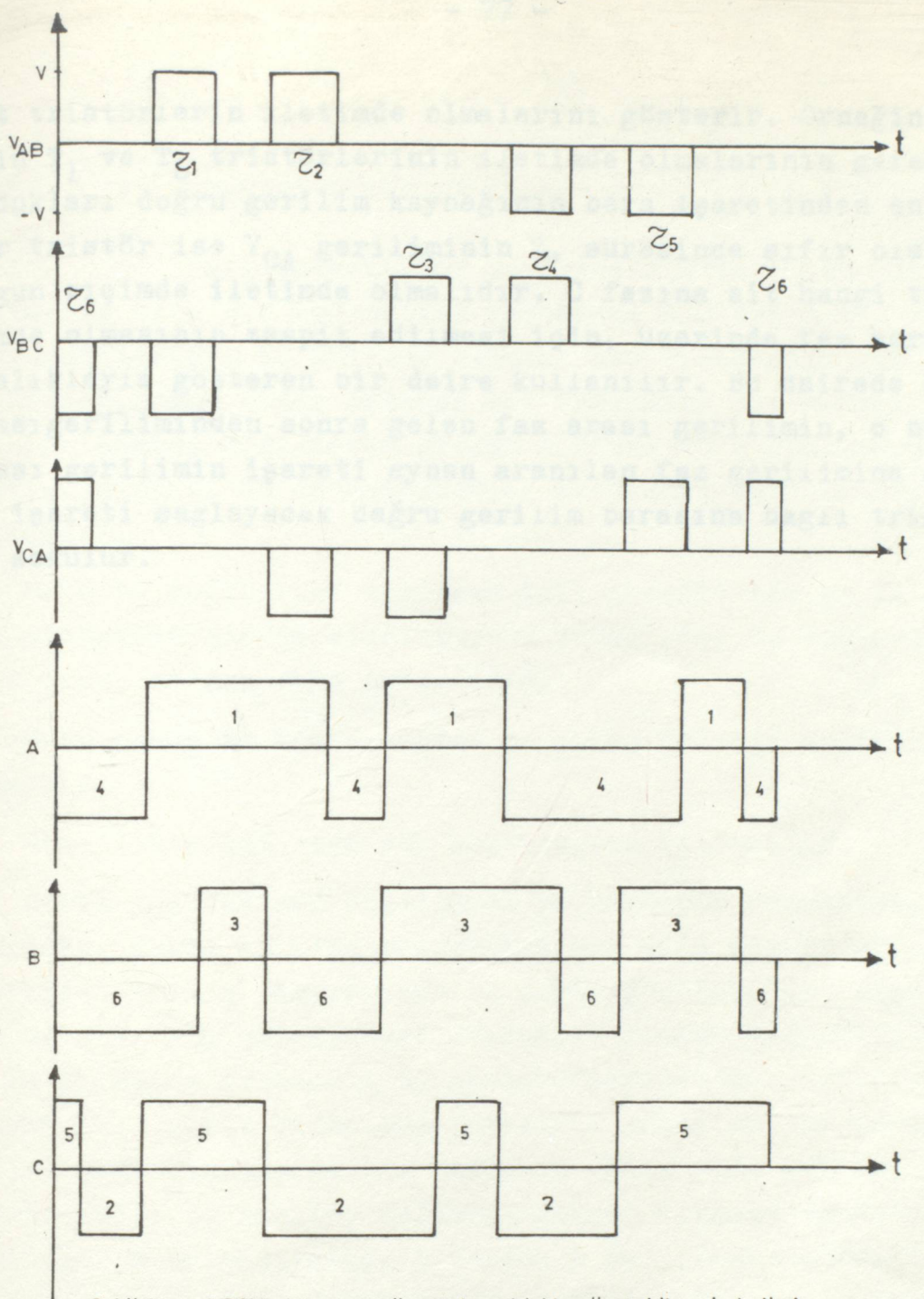
Tristörlerin her birinin iletim sürelerinin birbirine eşit olması gerektigine göre  $T_1$ ,  $T_2$ ,  $T_3$ ,  $T_4$  elemanlarının iletim süreleri, köprüün kısa devre olmayacağı şekilde yerleştirilmelerini gerektirir. Bir periyod boyunca elde edilen bu düzen diğer periyodlarda aynen tekrar edilir. A fazını pozitif gerilime bağlayan tristör  $T_1$  olduğu için  $v_{AO}$ 'nın pozitif yarısındaki iletimlerini bu eleman, negatif yarısındakileri ise  $T_2$  elemanı gerçekleştirir.

### III.2.4.2- ÜÇ FAZLI EVİRİCİ :

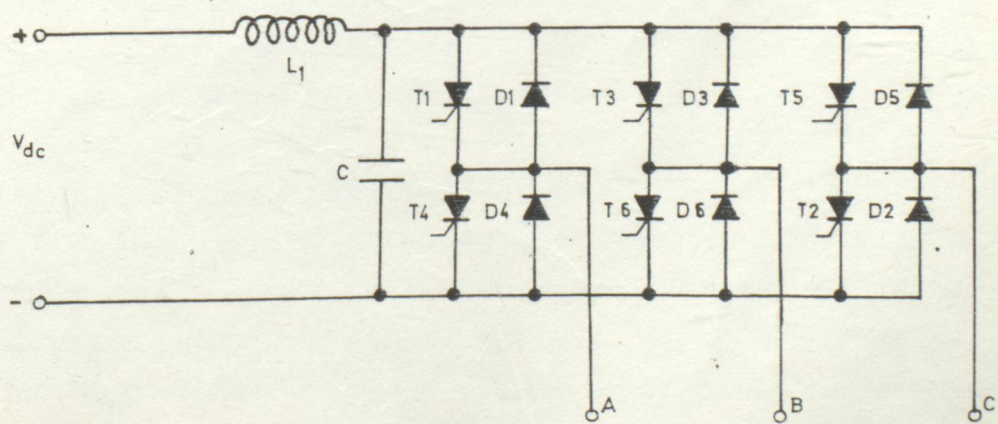
Bir fazlı devrede yük ucundaki gerilim dalgasının beiirtilmesi halinde, tristörlerin iletim süreleri ve sıraları kolaylıkla bulundu. Üç fazlı sistemde de aynı metod uygulanarak çözüm sağlanır. Gerilim dalgasına ait üç fazın şeklinin çizilerek göz önünde bulundurulması, yanlışlığa fırsat vermemeğ açısından faydalıdır. Şekil: I3-b, Şekil: I3-a'da gösterilen üç fazlı eviricinin ürettiği 2DGM dalgasının üretilmesi için köprüsünde bulunan altı tristörün hangi sıra ve ne kadar süre için iletme gireceklerini göstermektedir.

Bu tristörün I80 derecelik iletim süresini bir defa da tamamiaması şartı olmadığına göre, bu süre birden fazla defa iletme geçmekte suretiyle tamamlanabilir. Şekil: 14-b'de görülen faz gerilimine ait darbe süreleri  $Z_1$ ,  $Z_2$ ,  $Z_3$ ,  $Z_4$ ,  $Z_5$ ,  $Z_6$  ile gösterilmiştir.

Bu süreler içinde üç faz arası geriliminden yalnız bir tanesinin geriliği sıfır olmalıdır ki denklem (I) sağlanabilse. raz arası geriliminde görülen darbeler hangi faz ayaklarına



Sekil:12-a- 2 DGM dalgasının üç fazlı evricide üretebilmesi halinde  
tristörlerin iletim süreleri



Sekil:13-b- Üç fazlı evriçi

ait tristörlerin iletimde olmalarını gösterir. Orneğin,  $Z_1$ , süresi için  $T_1$  ve  $T_6$  tristörlerinin iletimde olmalarının gerektiği bağlı oldukları doğru gerilim kaynağının bara işaretinden anlaşılır. Diğer tristör ise  $V_{CA}$  geriliminin  $Z_1$ , süresince sıfır olabilmesi için uygun biçimde iletimde olmalıdır. C fazına ait hangi tristörün iletimde olmasının tespit edilmesi için, üzerinde faz harflerini eşit aralıklarla gösteren bir daire kullanılır. Bu dairede aranılan faz arası geriliminden sonra gelen faz arası gerilimin, o bölgedeki faz arası gerilimin işaretini aynen aranılan faz gerilimine aktarılarak bu işaretin saglayacak doğru gerilim barasına bağlı tristör iletimde sokulur.

BÖLÜM : IV. FREKANS DÖNÜŞTÜRÜCÜLER : AC - A.C.

Seri inverterler ve bölüm III'de bahsedilen inverterler orta DC bağlantısı sayesinde A.C'dan A.C'a dönüşüm sağlayabilirler. Bu bölümde verilen bir frekans'ta bir m-fazı AC kaynağından, diğer istenen bir frekansta bir n-fazı yük akımına enerji değiştiren direkt A.C'dan AC'a dönüştürüler tartışılmıştır. Bu dönüştürüler aşağıdaki özelliklere sahiptirler.

I. Orta DC bağlantısı sağlamak için gerekli bir ya da daha çok dönüştürülerin eleminasyonu nedeniyle, bu konverterler seri inverter'den daha verimlidir.

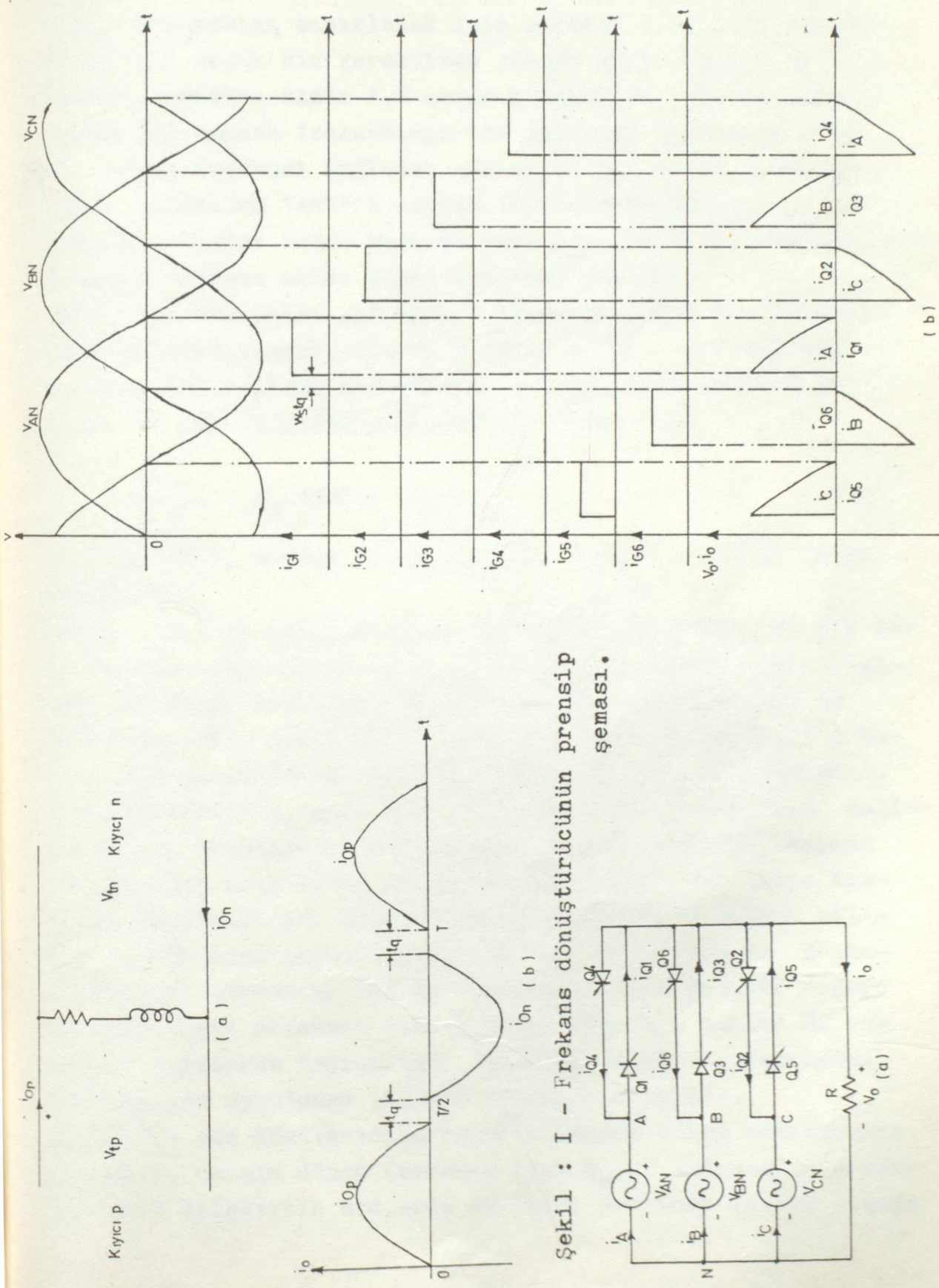
2. Çoğu zaman bu konverterler de çıkış volajı kontrolu doğaldır.

3. Genellikle hat veya yük komütasyonu kullanılır.

4. Giriş güç faktörü düzeltmesi ve harmonik redüksiyon gereklidir. Şekil :I.a'da gösterilen bir çift konverterin basitleştirilmiş diagramında bu şöyle görülebilir, eğer volaj ve akım yük şubesindeki dönüşümlü olarak değiştirilirse, ya DC'yi sabit frekanslı AC inverterleri ya'da doğrultucular olarak her çevrim sırasında fonksiyon gösteren iki kontrol edilen doğrultucularda bir değişken çıkış elde edilir. Çift konvertörler bu şekilde kullanıldığında Frekans dönüştürücülerini olarak adlandırılır. 3 fazdan 3 faza frekansdönüştürücü sağlamak için böyle 3 konvertör, bunların tek fazlı çıkışları bir 3 faz transformatörü ile birleştirilerek sağlanabilir.

Biraz düzeltilmiş dalga biçimini şekil :I-b'dedir. Hat komütasyonu kullanılır, iki doğrultucu kaynaklarının kısa devre olmamasını sağlamak için operasyonun önemli şartları altında ( $t_q$ ) sürekli sıfır-akım arası gerekli hale gelir.

Tek fazdan tek faza frekans dönüştürücülerini, bunların daha detaylı incelenmeleri durumunda daha belirli duruma gelmeleri nedeniyle geniş çapta kullanılmazlar. Bununla birlikte, temel işlem prensipleri sayesinde yararlı bir örnek oluşturulurlar ve bu prensiplere, daha kompleks sistemlerde başvuru-



**Şekil 2 : 2 - S obeket komutasyonlu frekans artırıcı devresi.**

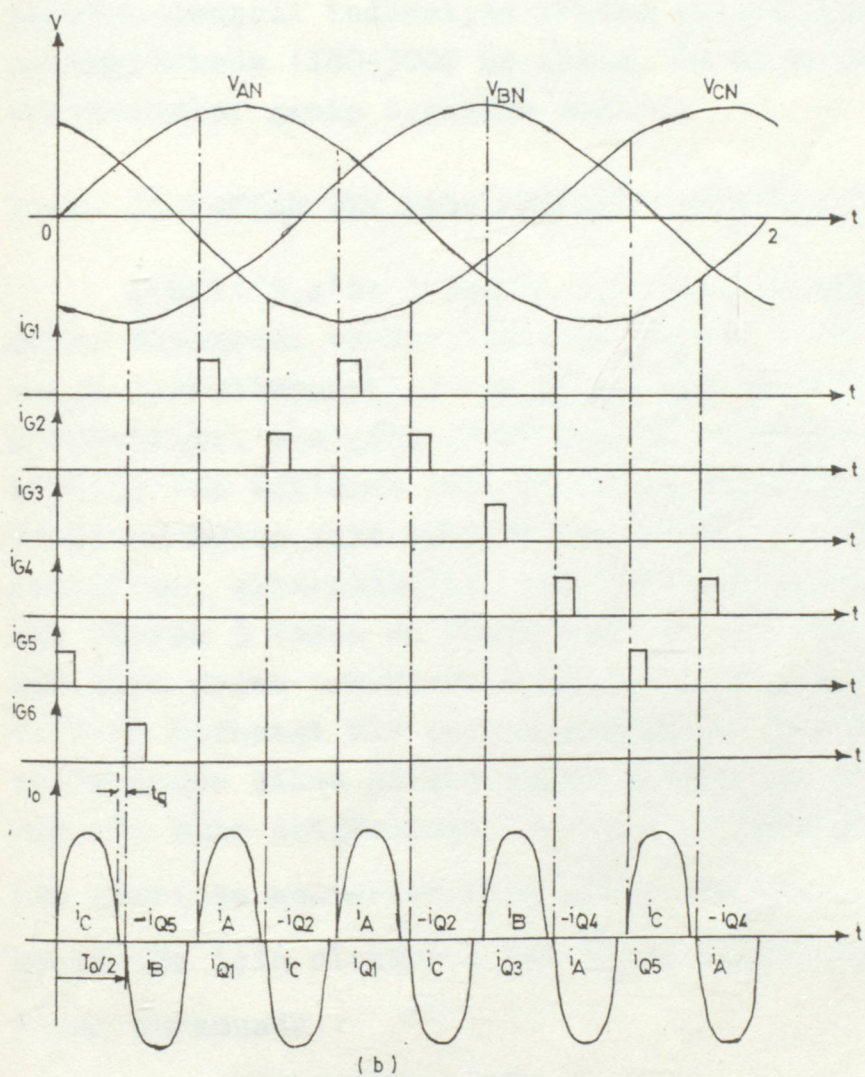
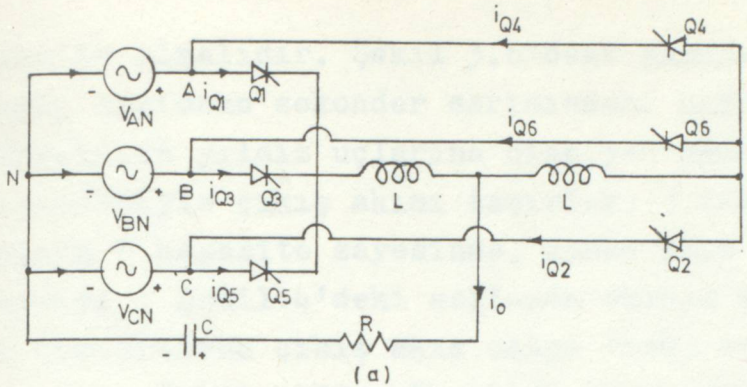
labilir. Tüm frekans dönüştürücülerin işlem özelliklerini kaynak frekansının bir bölümü olan bir değerde maximum çıkış frekansını sınırlamak için gerekli oluşudur. Bunlar özellikle düşük hız gerektiren yüksek güçlü (5.000 Hp'ye kadar) değişken hızlı A.C motor sürücülerini için uygundur. Bölüm III kaynak frekansının bir integral katsayısı olan bir çıkış frekansı sağlayan konverterleri karşılaştırmaktadır. Çoğaltma faktörü kaynak fazlarının miktarı ile ilgiliidir. Bunlar doğru bağlama kurarlar. Dirençli yük kolunda 3 katlı frekans akımı şekil:2-b'deki gibidir. Genel bir yük akımı sağlayan 3 tane tek fazlı voltaj kontrolünün kombinasyonu olarak anlaşılabılır. Ve 3 faz kaynağının hat voltajı sayesin'de uyarılabilir. Geçiktirme açısı bu yük için değiştirilebilir ve bu fark :

$$\frac{2 \cdot \pi}{3} + w_s \cdot t_q \leq \alpha \leq \pi \text{ rad.} \quad (I)$$

Burada, ( $w_s$ ), kaynak frekansı, ( $t_q$ ) Tristör serbest kalma zamanıdır.

Şekil : 2.b'de maximum çıkış olduğunda daha düşük limite indirgenmiş, geçiktirme açılı, 3 katlı akım frekansının değişim能力和 dalga şekilleri gösterilmiştir. Çıkış voltaj ve akımının dalga şekilleri, çıkış frekansının, kaynağın 3 katı olduğunu gösterir. Şekil: 2'de 3 kat seri bağlanmıştır, bununla birlikte, eğer RLC salınma serileri yük akımı sağlayırsa yük komütasyonu kullanılabilir ve konverter, kaynak frekansının nointegral katsayısı olabilecek bir çıkış frekansı sağlayabilir. Bazen frekans dönüştürücü olarak bilinen bu yük komütasyonlu çoğaltıcılar, Şekil:3.a'da gösterilmiştir, burada ki iki indüktans'tan biri pozitif diğerini negatif çıkış akımının yarı çevrimi içindir, bunlar RC yük akımlı serilerde tanınlırlar. Akımdaki selflerin pozisyonu, tristörlere uygulanan ( $dv/dt$ ) değerini sınırlar.

Şekil:3.b yük komütasyonlu çoğaltıcıların dalga şekillerini gösterir. Akımın dönen frekansı ( $t_q > t_{off}$ ) sıfır-akım arasıının akım dalgasının ard.arda sikloidi arasında mevcut olduğu



Şekil : 3 - Şarj bağlantılı frekans çoğaltıcı yük komütasyonlu frekans artırıcı devresi.

şekilde olmalıdır. Şekil 3.b'deki akımda, 3 kaynak, bir 3 fazlı trafoonun sekonder sarımındaki değerler olabilir. Bu sargıların yıldız uçlarına olan yük akım koluun bağlantısı nedeniyle çıkış akımı taşırlar. 3 faz giriş hattına bağlanmış 3 kapasite sayesinde, dönen akım kapasitesinin sağlandığı : Şekil:4'deki sağlanan akımla bundan sakınılabilir. Bu konvertörün çıkış akım dalga formu şekil 3.b'dekinin aynıdır. Şekil :4'de yük akımı gösterilmiş olan rezistansın paralel-dengeli induksiyon ısıtma yükünü sunduğu induksi ısıtmalarında (180-3000 Hz çıkış, 60 Hz kaynak'dan) bu tip konvertörler geniş uygulama sağlar.

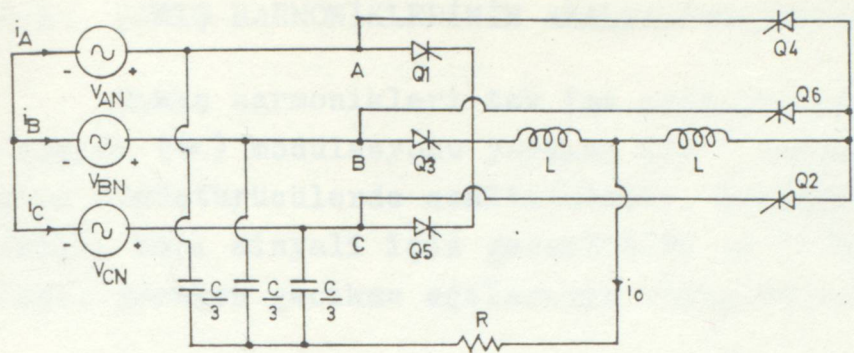
#### IV-I- ÜÇ FAZDAN TEK FAZA FREKANS DÖNÜŞTÜRÜCÜLER :

Şekil: '5.a'da 3 fazdan tek faza frekans dönüştürücü devre diyagramı vardır. Çift konverter formundaki iki kontrollu doğrultucunun, 3 faz köprü doğrultucuları oldukları görülebilir. a-a', b-b', c-c' olarak işaretlenmiş terminal çiftleri, 3 faz sağlamak için birlikte bağlanılmışlardır. Bu frekans dönüştürücüler için eşit devre, şekil : 5.b'de gösterilmiş ve istenirse, çıkarılabilir. Tek faz kaynağının aynı frekansına zıt olarak 3 fazın en büyük avantajı, 3 faz kaynağının mümkün olan artan örneklemme oranında yatar. Diğer bir deyişle, verilen herhangi bir period esnasında, kullanılan 3 faz konverterinden çıkan akımın yarınl peryotları gibi 3 zaman vardır. Bu akım dalgasındaki verilen subharmonik düzeyi için, 3 faz uyarılan konverter için çıkış frekansı, tek faz uyarılan konvertör için olandan 3 kez büyük olabileceği anlamına gelir.

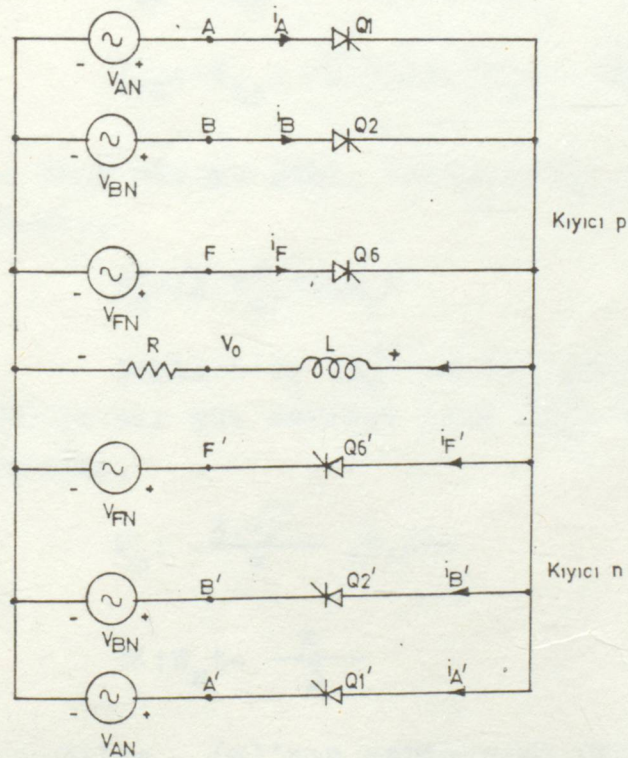
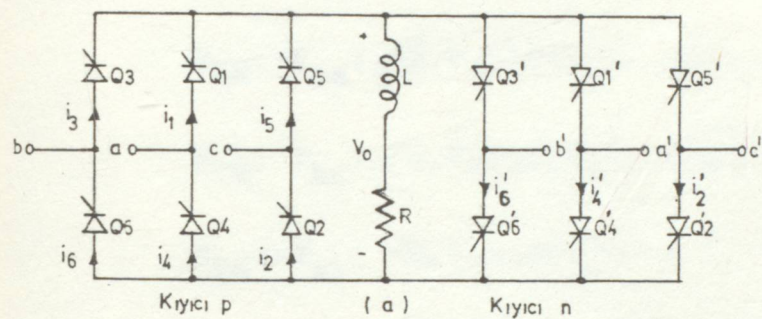
3 faz durumunda :

$$W_s \geq 3 \cdot W_0 \text{ rd/s} \quad (2)$$

Tek faz uyarılan konverter olduğu taktirde, düşük harmonik içeriaklı çıkış akım dalgasına, konverterdeki tüm tristörlerin geçikme açılarının modülasyonu vasıtasyyla ulaşılabilir.



Şekil : 4 - Yük komütasyonlu modifiye edilmiş frekans artırcı.



Şekil : 5 - Üç fazdan tek fazda frekans dönüştürücü.

#### IV-I-I- ÇIKIŞ HARMONİKLERİNİN AZALTILMASI(Redüksiyonu) :

Çıkış harmonikleri tek faz uyarılan konverterdeki-nin aynısı ( $\alpha$ ) modülasyonu yardım ile 3 fazdan tek faza frekans dönüştürücülerde azaltılabilir. Bununla birlikte, 12 farklı kapı sinyali için gerekliliği ve 3 faz kaynağının varlığı, gereken gecikme açılarının çözümünü zorlaştırır.

Şekil:5.a'daki frekans dönüştürücüye eşit devre şekil:5.b' de gösterilmiştir.

$$V_{AN}: V_{ab} : \sqrt{2} \cdot V \cdot \sin w_s t \quad V$$

$$V_{BN}: -V_{ca} : \sqrt{2} \cdot V \cdot \sin(w_s t - \frac{\pi}{3}) \quad V$$

$$V_{CN}: V_{bc} : \sqrt{2} \cdot V \cdot \sin(w_s t - \frac{2\pi}{3}) \quad V \quad (3)$$

$$V_{DN}: -V_{ab} : \sqrt{2} \cdot V \cdot \sin(w_s t - \pi) \quad V$$

$$V_{EN}: V_{ca} : \sqrt{2} \cdot V \cdot \sin(w_s t - \frac{4\pi}{3}) \quad V$$

$$V_{FN}: -V_{bc} : \sqrt{2} \cdot V \cdot \sin(w_s t - \frac{5\pi}{3}) \quad V$$

Daha önce olduğu gibi, ideal çıkış voltagı dalgası şöyle tanımlanır.

$$V_o^*: \sqrt{2} \cdot V_o^* \cdot \sin w_o t \quad V \quad (4)$$

Şekil:6'de ( $V_o^*$ )'ın bir çevrimi ve yol gösteren güç faktörlü bir yük devresi için ( $i_o^*$ ) ideal çıkış akımı gösterilmiştir.

$$V_o: \frac{3\sqrt{2}}{\pi} \cdot V \cdot \cos \quad V \quad (5)$$

ve :

$$\alpha: w_s t - \frac{\pi}{3} \quad rd \quad (6)$$

ve ( $t:0$ )'da , ( $\alpha$ )'nın saptanması gerektiği için tristöré uygulanan voltag çevrim bağıntısı yukarıdadır. ( $\alpha$ ) ölçümü

icin esas kullanım yüzünden (6) eşitliğinde açı ( $\pi/3$ ) olarak ortaya çıkar. Gecikme açısının saptanmasının dışında doğar. Şekil: 5.b'e eşit devresinin çift konverteri iki tane 6 faz yarıml dalga doğrultucusu haline getirilir.

Bir çıkış voltajına erişmek için, düşük harmonik içe-rikli bir çıkış akımı üretecektir, ( $V_{AN}$ ) voltajının ilk çevrimi sırasında bunu düzenlemek önemlidir, ( $t_1$ ) anında şe-kil : 5.b'deki ( $Q_1$ ) tristörü açılır.

$$V_{01}^*: \frac{3\sqrt{2}V}{\pi} \cdot \cos(W_s t_1 - \frac{\pi}{3}) \quad V \quad (7)$$

ve :

$$\frac{\pi}{3} < W_s t_1 < \frac{4\pi}{3} \quad rd \quad (8)$$

Şekil:6'de ( $V_{01}^*$ ) fonksiyonunun (1 nolu) eğrisi çizil-miştir.(8) eşitliğinde tanımlanan alan içindeki ( $V_o^*$ ) ile bu eğrinin keşisimi, (7) eşitliğinde uyan ( $t_1$ ) anını tanımlar. Gecikme açısı (9)'den hesaplanabilir.

$$\alpha_1: W_s t_1 - \frac{\pi}{3} \quad rd \quad (9)$$

Bu ( $i_{G1}$ ) başladığında ve ( $Q_1$ ) tristörünün açıldığı anki gecikme açısıdır. ( $V_{AN}$ ) voltajı yük devresi boyunca ortaya çıkar, ( $V_o^*$ ) çıkış voltaj dalgasının izleyen segmanı, (3)'daki birinci eşitlik sayesinde tanımlanabilir. Bu çıkış vol-taj dalgası şekil:6'de gösterilmiştir.

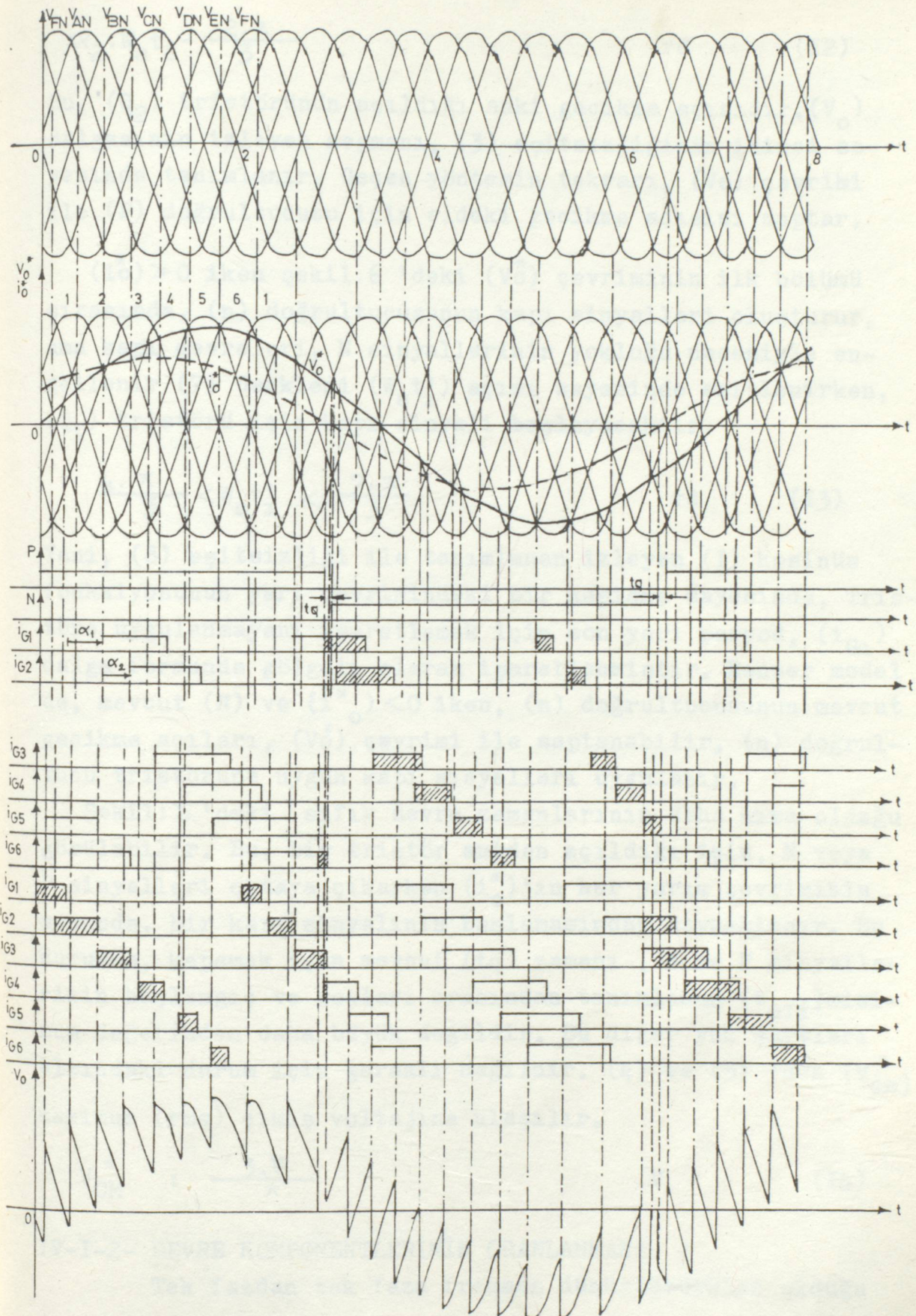
( $t_2$ ) anında ( $Q_2$ ) tristörü açılmalıdır, arzulanan çıkış voltajı,

$$V_{02}^*: \frac{3\sqrt{2}}{\pi} \cdot V \cdot \cos(W_s t_2 - \frac{2\pi}{3}) \quad V \quad (10)$$

ve :

$$\frac{2\pi}{3} < W_s t_2 < \frac{5\pi}{3} \quad rd \quad (II)$$

Şekil:6'de, ( $V_{02}^*$ ) fonksiyonun (2 nolu) eğrisi gösteril-miştir. (II) eşitsizliğinde tanımlanan alan içindeki ( $V_o^*$ ) ile bu eğrinin keşisimi, IO eşitsizliğine uyan ( $t_2$ ) anını tanımlar. Gecikme açısı (I2)'den hesaplanır.



Şekil : 6- Şk.:5-b'deki eşdeğer devrenin değişken dalga formları.

$$\alpha_2 : W_s t_2 - \frac{2\pi}{3}$$

rd (I2)

Bu, ( $Q_2$ ) tristörünün açıldığı anki gecikme açısıdır. ( $V_o$ ) dalgasının izleyen segmanı, (3) eşitsizliğinin ikinci sa-yesinde tanımlanır. Geçen yöntemin tekrarı, ( $V_o$ ) çevrimi ile (P) doğrultucusu için eldeki gecikme açısını saptar.

$(i_o^*) > 0$  iken şekil: 6 'deki ( $V_o^*$ ) çevriminin ilk bölümü sırasında, (n) doğrultucusunun kapı sinyalleri oluşturur, ama kapı devreleri, N sinyallerinin yokluğu nedeniyle en-gellenir (7) denklemi ( $W_s t_1'$ ) açısı sayesinde eşitlenirken, ( $Q_1$ ) tristörü için kapı sinyali başlayacaktır.

$$\frac{4\pi}{3} < W_s t_1' < \frac{7\pi}{3}$$

rd (I3)

Yani, (8) eşitsizliği ile tanımlanan izleyen (I) kosinüs fonksiyonunun yarı çevrimindeki bir keşişme sayesinde, Tris-töre uygulanmayan işaretlemek için son yarı peryod, ( $i_{G1}$ ) dalga formunda gölgeli olarak işaretlenmiştir. Benzer model de, mevcut (N) ve  $(i_o^*) < 0$  iken, (n) doğrultucusunun mevcut gecikme açıları, ( $V_o^*$ ) çevrimi ile saptanabilir, (n) doğrul-tucu tristörüne uygun kapı sinyalleri uygulanır.

Şekil: 6 'deki sıfır devre zamanlarının daha kısa olduğunu görülebilir. Bu, bir tristör aniden açıldığı için, N veya P sinyalleri ortaya çıkarken ( $i_o^*$ )'ın her yarı çevriminin sonunda, bir kapı sinyalinin başlamasından kaynaklanır. Bu durumda, kapamak için mevcut ( $t_q$ ) zamanı, N ve P sinyalle-rinin başlangıç ve sonları arasından tanımlanan ( $t_{off}$ )mini-mum değerinden daha büyük değildir. Bu diğer yük şartları altındaki durum için gerekli değildir. (4) ve (5) 'den ( $V_{om}^*$ ) maximum (rms) çıkış volajına ulaşılır.

$$V_{OM}^* : \frac{3V}{\pi}$$

V (I4)

#### IV-I-2- DEVRE KOMPONENTLERİNİN ORANLANMASI :

Tek fazdan tek faza frekans dönüştürüler olduğu

taktirde, sürekli operasyon için ısitma sisteminin soğutulması dışındaki tüm komponentleri oranlamak için bunu uygun hale getirmek için olduğu gibi çıkış frekanslarının çok düşük olabileceği farz edilebilir.

Oranlanmış (rms) çıkış akımı tekrar şöyle alınabilir.

$$I_R : \frac{V_{OM}^*}{Z_0} \quad A \quad (I5)$$

(rms) tristör akımı :

$$I_{QR} : \frac{I_R}{\sqrt{3}} \quad A \quad (I6)$$

Maximum anı tristör akımı :

$$I_{Qmax} : \frac{\sqrt{2} \cdot V_{OM}^*}{Z_0} \quad A \quad (I7)$$

Yarı çevrim avaraj çıkış akımı :

$$I_o : \frac{2 \cdot \sqrt{2} \cdot I_R}{\pi} \quad A \quad (I8)$$

Şekil : 5.a'daki akımın her tristörü her çevrim olurken 6 akım peryot çiftinin ikisi ile bağlantı yaparken, avaraj tristör akımı :

$$I_Q : \frac{2 \cdot \sqrt{2}}{3} \cdot I_R \quad A \quad (I9)$$

Tristöre uygulanan ters voltag ve ileri doğru tepe değeri şu olacaktır.

$$V_{AK_{max}} : \pm 2.V \quad V \quad (20)$$

Eğer konvertere olan hat akımı, 3 faz trasformatörünün sekonder akımı olarak düşünülürse :

$$I_2 : \sqrt{2} \cdot I_{QR} : \frac{\sqrt{2}}{\sqrt{3}} \cdot I_R \quad A \quad (21)$$

Böylece transformator gücü :

$$S_2 : \sqrt{3} \cdot V \cdot I_2 : \sqrt{2} \cdot V \cdot I_R : S_1 \quad VA \quad (22)$$

frekans dönüştürücünün maximum çıkış gücü şudur :

$$P_o : V_{om}^* \cdot I_R \cdot \cos \phi_0 \quad W \quad (23)$$

Böylede bu güç'te giriş güç faktörü :

$$PF : \frac{P_o}{S_1} : \frac{V_{om}^* I_R \cos \phi_0}{\sqrt{2} \cdot V \cdot I_R} \quad (24)$$

ve 47 denkleminden :

$$\frac{V_{om}^*}{V} : \frac{3}{\pi} \quad (25)$$

$$PF : 0,675 \cdot \cos \phi_0 \quad (26)$$

Bu tek faz'dan tek fazla frekans dönüştürücülerin giriş güç faktöründen daha iyidir.

## BOLUM: V - HARMONİK ELEME YÖNTEMLERİ :

### V.I. ÇOK PUSLU DARBELERİN HARMONİKLERİNİN MİNİMUMA DÜŞÜRÜLMESİ :

Darbe genişliği modülasyonu tekniğine göre yapılan invertlerin harmonikleri açısından etüdünü yapmaya çalışalım.

Bu invertlerde darbe sayısı fazlaştıkça harmonik merteberi azalmaktadır.  $n$  darbe sayısı bir inverterde harmonik dalgalanmalar yaklaşık olarak sıfıra düşmüştür. Fakat bunun pratik olarak gerçekleştirilemesi mümkün değildir. Çünkü maliyeti ve olayın karmaşıklığı bunu engellemektedir. Ekonomik ve verimli çalışan invertlerin harmonik yapısı uygun olanlar seçilip, bunların imalatı yapılmalıdır.

4 Dağı Genişliği Modülasyonu dalgasının harmonik yönünden etüdünü yapmadan evvel gerilim ifadesinin Fourier analizi yardımıyla denklemini bulmaya çalışalım.

Harmonik analizinin yapılışında kullanılan Fourier serisinin özelliklerini hatırlayacak olursak, arzu edilmeyen harmoniklerin elemine edilmeleri için başlangıçta büyük bir adım atmış oluruz. Bu şartları şöyle sıralayabiliriz.

1.  $A_0:0$  olması için, pozitif ve negatif alternansların alanları birbirine eşit olmalıdır.

2.  $\times$  ekseninde simetri gösteren fonksiyonlar çift terimli harmonikleri ihtiva etmezler.

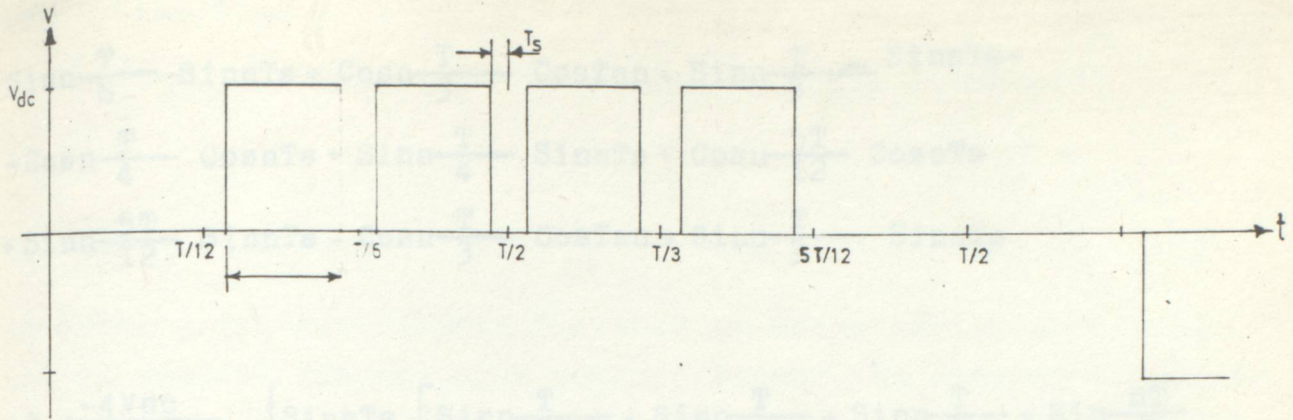
3. Orjine göre simetri mevcut ise,  $A_n:0$ , Cosinus'lü terimler ortadan kalkarlar.

4.  $f(-\theta) = -f(\theta)$  koşulunun sağlandığı fonksiyonda yalnız sinüs'lü terimler vardır.

İşte daha başlangıçta bu şartlara uymakla harmoniklerin büyük bir çoğunuğu ortadan kaldırılmak mümkündür.

$T_s$  : Tristörlerin kesime geçtikten sonra komütasyon süresine uygun olarak emniyet bekleme süresi.

$P_w$  : Darbelerin genişlik süresi.



Şekil:I- Darbe süresi tüm darbelerinde eşit olan 4DGM dalgasının zaman eksenindeki durumu.

$$a_0 = 0 \quad (\text{1. Şarttan ötürü})$$

$$a_n = 0 \quad (3. \quad " \quad " \quad )$$

$$b_n = 0 \quad (n: \text{Çift değerleri durumunda}-2.\text{şarttan ötürü})$$

$$b_n \neq 0 \quad (n: \text{Tek değerleri durumunda} -4.\text{şarttan ötürü})$$

$$b_n = \frac{2}{T/2} \cdot \int_0^{T/2} V_{dc} \cdot \sin nt dt \text{ genel ifadesinden } (b_n) \text{ bulmaya çalışalım.}$$

$$b_n = \frac{2}{T/2} \cdot V_{dc} \cdot \left[ \int_{T/12+Ts}^{T/6-Ts} \sin nt dt + \int_{T/6+Ts}^{T/4-Ts} \sin nt dt + \int_{T/4+Ts}^{T/3-Ts} \sin nt dt + \int_{T/3+Ts}^{5T/12-Ts} \sin nt dt \right]$$

$$b_n = \frac{4 \cdot V_{dc}}{T} \cdot \left[ \frac{-\cos nt}{n} \Big|_{T/12+Ts}^{T/6-Ts} + \frac{-\cos nt}{n} \Big|_{T/6+Ts}^{T/4-Ts} + \frac{-\cos nt}{n} \Big|_{T/4+Ts}^{T/3-Ts} + \frac{-\cos nt}{n} \Big|_{T/3+Ts}^{5T/12-Ts} \right]$$

$$b_n = \frac{-4V_{dc}}{Tn} \cdot \left[ \cos\left(\frac{T}{6} - Ts\right) - \cos\left(\frac{T}{12} - Ts\right) + \cos\left(\frac{T}{4} - Ts\right) - \cos\left(\frac{T}{6} - Ts\right) + \cos\left(\frac{T}{3} - Ts\right) - \cos\left(\frac{T}{4} - Ts\right) + \cos\left(\frac{5T}{12} - Ts\right) - \cos\left(\frac{T}{3} - Ts\right) \right]$$

$$b_n = \frac{-4V_{dc}}{T.n} \cdot \left[ \cos\left(\frac{T}{6}\right) \cos Ts + \sin\left(\frac{T}{6}\right) \sin Ts - \cos\left(\frac{T}{12}\right) \cos Ts - \sin\left(\frac{T}{12}\right) \sin Ts + \cos\left(\frac{T}{4}\right) \cos Ts + \sin\left(\frac{T}{4}\right) \sin Ts - \cos\left(\frac{T}{3}\right) \cos Ts - \sin\left(\frac{T}{3}\right) \sin Ts \right]$$

$$+ \text{Sinn} \frac{T}{6} \text{ SinnTs} + \text{Cosn} \frac{T}{3} \text{ CosnTs} + \text{Sinn} \frac{T}{3} = \text{SinnTs}$$

$$- \text{Cosn} \frac{T}{4} \text{ CosnTs} + \text{Sinn} \frac{T}{4} \text{ SinnTs} + \text{Cosn} \frac{5T}{12} \text{ CosnTs}$$

$$+ \text{Sinn} \frac{5T}{12} \text{ SinnTs} - \text{Cosn} \frac{T}{3} \text{ CosnTs} + \text{Sinn} \frac{T}{3} = \text{SinnTs}$$

$$b_n : \frac{-4Vdc}{T.n} \cdot \left[ \text{SinnTs} \cdot \left[ \text{Sinn} \frac{T}{6} + \text{Sinn} \frac{T}{12} + \text{Sinn} \frac{T}{6} + \text{Sin} \frac{nT}{3} \right. \right. \\ \left. \left. + \text{Sinn} \frac{T}{4} + \text{Sin} \frac{5T}{12} + \text{Sinn} \frac{T}{3} \right] \text{CosnTs} \cdot \left[ \text{Cosn} \frac{T}{6} \right. \right. \\ \left. \left. + \text{Cosn} \frac{T}{4} - \text{Cosn} \frac{T}{12} - \text{Cosn} \frac{T}{6} + \text{Cosn} \frac{T}{3} - \text{Cosn} \frac{T}{4} \right. \right. \\ \left. \left. + \text{Cosn} \frac{5T}{12} - \text{Cosn} \frac{T}{3} \right] \right]$$

$$b_n : \frac{-4Vdc}{T.n} \cdot \left[ \text{SinnTs} \left[ 2 \cdot \text{Sinn} \frac{T}{6} \quad 2 \cdot \text{Sinn} \frac{T}{4} \quad 2 \cdot \text{Sin} \frac{T}{3} \cdot n \right. \right. \\ \left. \left. \text{Sinn} \frac{5T}{12} \right] \text{CosnTs} \left[ \text{Cosn} \frac{5T}{12} - \text{Cosn} \frac{T}{12} \right] \right]$$

Ts:  $\mu$ sn mertebesinde değişen bir zamandır. Bunun açısal değeri yaklaşık sıfır kabul edilebilir. Bu yüzden :

$\text{SinnTs} : 0$  ve  $\text{CosnTs} : 1$  olarak alınabilir.

Bu durumda denklemimiz :

$$b_n : \frac{-4Vdc}{T.n} \cdot \left( \text{Cosn} \frac{5T}{12} - \text{Cosn} \frac{T}{12} \right) \text{ olur.}$$

Trigonometrik bağıntılarından yararlanacak olursak :

$$b_n : - \frac{4Vdc}{T.n} \cdot \left( -2 \cdot \text{Sinn} \frac{\frac{5T}{12} + \frac{T}{12}}{2} \cdot \text{Sinn} \frac{\frac{5T}{12} - \frac{T}{12}}{2} \right)$$

$$b_n : - \frac{8Vdc}{T.n} \cdot \text{Sinn} \frac{T}{4} \cdot \text{Sinn} \frac{T}{6}$$

$T : 2\pi$  değeri yerine konacak olursa :

$$b_n : \frac{8.Vdc}{2.n\pi} \text{ Sinn} \frac{2\pi}{4} \text{ Sinn} \frac{2\pi}{6} \text{ buradan :}$$

$$b_n : \frac{4Vdc}{\pi.n} \text{ Sinn} \frac{\pi}{2} \text{ Sinn} \frac{\pi}{3} \text{ bağıntısı bulunur. (1)}$$

Genel ifadesinden :

$$V_n = \frac{4V_{dc}}{n\pi} \cdot \sqrt{2} \cdot \text{Sinn} \left( \frac{\pi}{2} \right) \cdot \text{Sin} \left( \frac{n\pi}{3} \right) \cdot \text{Sin}(2\pi f \cdot P_w / 1000)$$

veya:

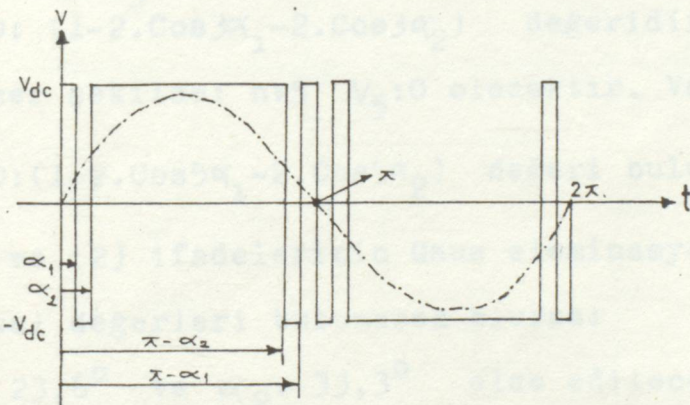
$$V_n = \frac{8V_{dc}}{\sqrt{2} \cdot n} \cdot \text{Sinn} \left( \frac{\pi}{2} \right) \cdot \text{Sin} \left( \frac{n\pi}{3} \right) \cdot \text{Sin}(2\pi f \cdot P_w / 1000) \quad V \quad (3)$$

Inverter çıkış geriliminin frekansa ve darbe genişliğine bağlı olarak denkleml ifadesi eide edilmiş olunur. Bu denkleml ifadesinde dikkat edilecek olursa çift terimli harmonikler, 3 ve katları içeren tek terimli harmonikleri kapsamadığı, görülmektedir. Darbe sayısı çoğaltılarak harmoniklerin azaltılabilcegi belirlenmiş olmaktadır.

## V.2- SEÇİLMİŞ ÖZEL HARMONİK KUÇÜLTME YÖNTEMİ :

Çok pulslu genişlik kontrolü ile peryod başına mukayese edildiğinde komütasyonlar daha az olabilir. Tek fazlı inverterde üçüncü ve beşinci harmonikler elemine edilebilir. Aynı teknik ile üç fazlı inverter içinde ilk harmonik hat voltagında mümkün mertebe düzeltilebilir.

Aşağıdaki dalga şekli şayet şeklinde tristörler tetiklenebilirse 3 ve 5. harmoniklerin bertaraf olması sağlanabilir.



Şekil:2- Seçilmiş Harmonik küçültme yöntemi.

$V_n = \sum_{n=1}^{\infty} b_n \cdot \text{Sin}nt \quad a_0 = 0, \quad a_n = 0$  olur. Fourier Serisi

açınımındaki şartlarda ötürü bu terimler alınamayacaktır.

$$b_n = \frac{2}{\pi} \cdot \left[ \int_{\pi - \alpha_2}^{\alpha_1} V_{dc} \cdot \text{Sin}nt dt - \int_{\alpha_1}^{\alpha_2} V_{dc} \cdot \text{Sin}nt dt + \int_{\alpha_2}^{\pi - \alpha_1} V_{dc} \cdot \text{Sin}nt dt - \int_{\pi - \alpha_1}^{\pi - \alpha_2} V_{dc} \cdot \text{Sin}nt dt + \int_{\pi - \alpha_2}^{\pi} V_{dc} \cdot \text{Sin}nt dt \right]$$

$$b_n = \frac{2Vdc}{\pi} \cdot \left[ \left| \frac{-Cosut}{n} \right|^{\alpha_1} - \left| \frac{-Cosnt}{n} \right|^{\alpha_2} + \left| \frac{-Cosnt}{n} \right|^{\pi-\alpha_2} \right. \\ \left. - \left| \frac{-Cosnt}{n} \right|^{\pi-\alpha_1} + \left| \frac{-Cosnt}{n} \right|^{\pi-\alpha_1} \right]$$

$$b_n = \frac{-2Vdc}{n\pi} \left[ (\cos \alpha_1 - \cos 0) - (\cos n\alpha_2 - \cos n\alpha_1) + (\cos n(\pi - \alpha_2) \right. \\ \left. - \cos n\alpha_2) - (\cos n(\pi - \alpha_1) - \cos n(\pi - \alpha_2)) + (\cos n\pi - \cos n(\pi - \alpha_1)) \right]$$

$$b_n = \frac{-2Vdc}{n\pi} \left[ \cos n\alpha_1 - 1 - \cos \alpha_2 + \cos \alpha_1 n - 2 \cos \alpha_2 + \cos n\alpha_2 - 1 - \cos \alpha_1 n \right]$$

$$b_n = \frac{-2Vdc}{n\pi} \cdot [4 \cos n\alpha_1 - 2 - 4 \cos n\alpha_2]$$

$$b_n = \frac{4Vdc}{n\pi} \cdot (1 - 2 \cos n\alpha_1 - 2 \cos n\alpha_2) \quad (4)$$

Genel ifadede yerine koyarsak :

$$V_n = \frac{4Vdc}{n\pi} \cdot (1 - 2 \cos n\alpha_1 - 2 \cos n\alpha_2) \cdot \sin n\omega t \quad (5)$$

Amaç, 3 ve 5. Harmonikleri ortadan kaldırılmaktır. Bunun için  $\alpha_1$  ve  $\alpha_2$  açısal değerlerini saptayalım.

$n=3$  iken  $V_3=0$  olacaktır. Hadeyi sıfır yapacak işlem sadece,  $V_3=0$ :  $(1-2 \cdot \cos 3\alpha_1 - 2 \cdot \cos 3\alpha_2)$  değeridir.  $(6)$

Benzer şekilde:  $n=5$   $V_5=0$  olacaktır. Ve :

$$V_5 = 0: (1-2 \cdot \cos 5\alpha_1 - 2 \cdot \cos 5\alpha_2) \text{ değeri bulunur.} \quad (7)$$

(1) ve (2) ifadelerinin Gaus eleminasyon yöntemiyle  $\alpha_1$  ve  $\alpha_2$  açısal değerleri bulunacak olursa:

$$\alpha_1: 23,6^\circ \text{ ve } \alpha_2: 33,3^\circ \text{ elde edilecektir.}$$

Gerçekten :

$$V_3 = \frac{4Vdc}{3} \cdot (1 - 2 \cos 3 \cdot 23,6 - 2 \cos 3 \cdot 33,3) \cdot \sin 3\omega t.$$

$$V_3 = \frac{4Vdc}{3} \cdot (1 - 0,6977 - 0,3432) \cdot \sin 3\omega t : 0 \text{ olur.}$$

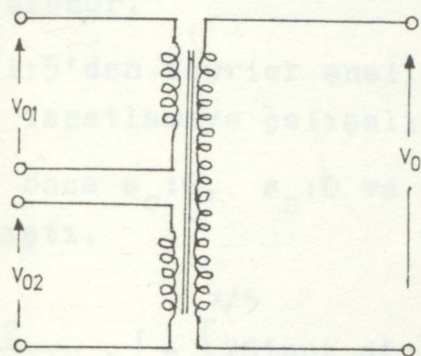
Benzer olarak :

$$V_5 = \frac{4Vdc}{5} \cdot (1 - 2 \cdot \cos 5 \cdot 23,6 + 2 \cdot \cos 5 \cdot 33,3) \cdot \sin 5\omega t$$

$$V_5 = \frac{4Vdc}{5} \cdot (1 + 0,9421 - 1,9447) \cdot \sin 5\omega t : 0 \text{ olur.}$$

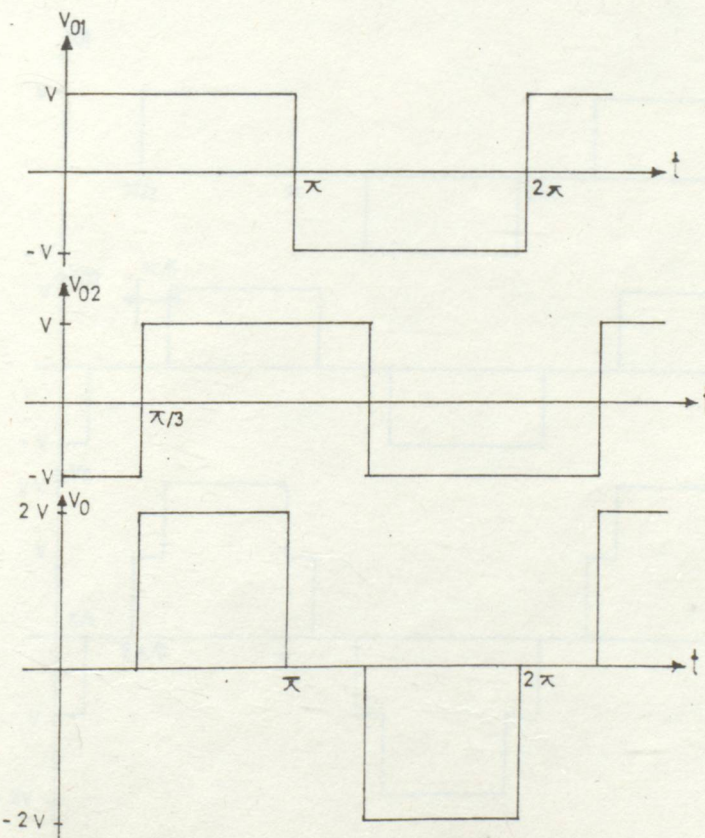
V.3- TRANSFORMATÖR BAĞLANTILARI YARDIMIYLA HARMONİKLERİN ELENMESİ :

İki inverterin çıkışları transformatör aracılıkla aşağıdaki gibi bağlanacak olursa bazı harmoniklerin yok olması sağlanabilir.



Şekil:3- İki inverter çıkışının transformatör ile karışık bağlanması.

Inverterlerin çıkış voltajları dalga şekli farklı bir şekilde olmalıdır. Bu dalgaların yapısı Şekil:4'deki gibi ise 3. harmoniğin elemine edilmesine, Şekil:5'deki gibi ise 5.harmoniğin yok olmasını sağlayacaktır.



Şekil:4- Trafo bağlantısı ile 3.harmoniğin eleminasyonu.

$$v_{o1} : a_1 \cdot \sin wt + a_3 \cdot \sin 3wt + a_5 \cdot \sin 5wt + \dots \quad V \quad (8)$$

$$v_{o2} : a_1 \cdot \sin(wt - \frac{\pi}{3}) + a_3 \cdot \sin(3wt - \frac{\pi}{3}) + a_5 \cdot \sin(5wt - \frac{\pi}{3}) + \dots \quad (9)$$

$$v_o : v_{o1} + v_{o2} : \sqrt{3} \cdot a_1 \cdot \sin(wt - \frac{\pi}{6}) + \sqrt{3} \cdot a_5 \cdot \sin(5wt + \frac{\pi}{6}) + \dots \quad V \quad (10)$$

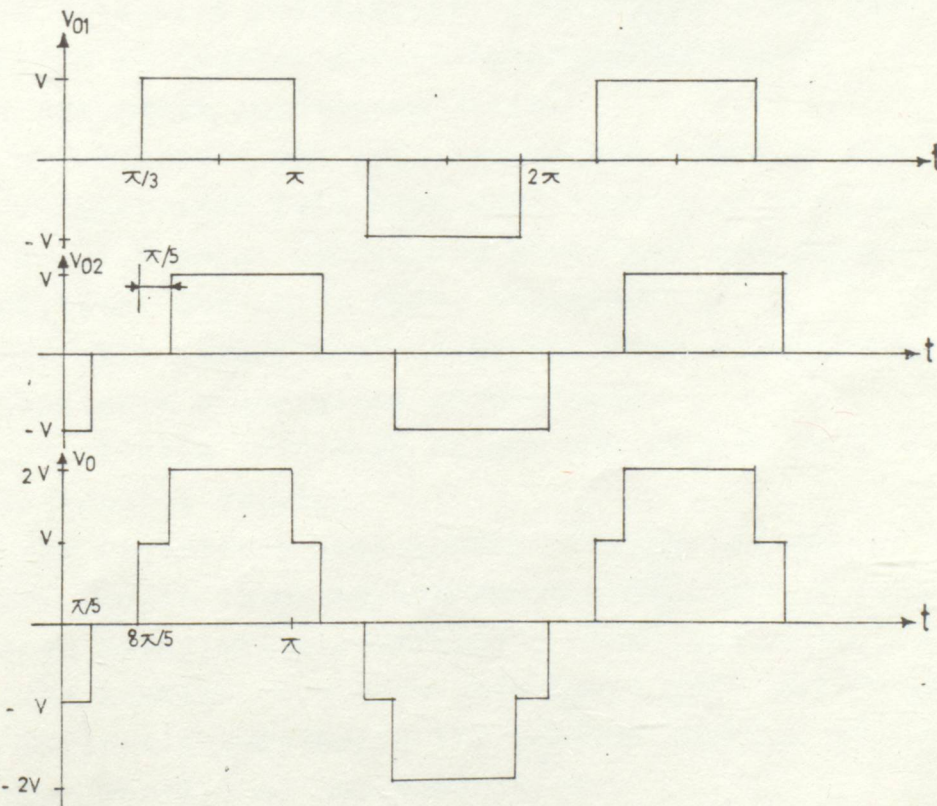
şeklinde olacaktır. Böylelikle 3. harmoniğin yok edilmesi sağlanmış olunur.

Şekil:5'den fourier analizinden yararlanarak 5.harmoniğin olmadığını ispatlamaya çalışalım.

Daha önce  $a_0 = 0$ ,  $a_n = 0$  ve  $b_n = \frac{2}{\pi} \int_0^{\pi} v \cdot \sin nt dt$  ifadeleri tanımlanmıştır.

$$b_n = \frac{2}{\pi} \cdot \left[ - \int_0^{\pi/5} v \cdot \sin nt dt + \int_{\pi/3}^{8\pi/15} v \cdot \sin nt dt + \int_{8\pi/15}^{\pi} 2v \cdot \sin nt dt \right]$$

$$b_n = \frac{2v}{\pi} \left[ \left| \frac{\cos nt}{n} \right|_0^{\pi/5} + \left| \frac{-\cos nt}{n} \right|_{\pi/3}^{8\pi/15} + \left| \frac{-2 \cdot \cos nt}{n} \right|_{8\pi/15}^{\pi} \right]$$



Şekil:5- Trafo bağlantısı ile verilen dalga şekillerinden yararlanarak 5.harmoniğin elemine edilmesi.

$$b_n : \frac{2V}{n\pi} \cdot [ (\cos n\frac{\pi}{5} - \cos 0) - (\cos \frac{n \cdot 8\pi}{15} - \cos n\frac{\pi}{3}) - 2(\cos n\pi - \cos n\frac{8\pi}{15}) ] \quad (12)$$

$n=5$  için  $b_5$  : ? ne olduğu bulmaya çalışalım.

$$b_5 : \frac{2V}{5\pi} \cdot [ (\cos 5\frac{\pi}{5} - 1) - (\cos 5\frac{8\pi}{15} - \cos 5\frac{\pi}{3}) - 2(\cos 5\pi - \cos 5\frac{8\pi}{15}) ]$$

$$b_5 : \frac{2V}{5\pi} \cdot (-1-1) - (-0,5 - 0,5) - 2(-1+0,5)$$

$b_5$  : 0 olmaktadır. Bu durumda :

$V_0 : \sum_{n=1}^{\infty} b_n$ . Sinnt ifadesinden,  $b_5 : 0$  olduğundan ( $V_0$ ) içinde 5.harmonik bulunmayacağı.

## BÖLÜM : VI- INVERTER KOMUTASYON DEVRELERİ :

### VI-I- KOMUTASYONUN TANIMI :

Kaide olarak komütasyon bir devre içindeki bir iletim yolundan akım akışını septirmek veya durdurmaktadır. Komütasyonun oluşabilīmesi için bir devrede mutlaka bir komütasyon gerilīminin bulunması gerekir. Komütasyon gerilīmī olarak alternatif akım şebekesindeki mevcut sinüsoidal gerilīmden yararlanılıyorsa bu tür komütasyona hat komütasyonu veya şebeke komütasyonu denir. Bu tür komütasyona doğal komütasyonda denir.

Komütasyon devresinde doğal bir komütasyon gerilīminin bulunmaması veya komütasyon gerilīminin komütasyon arzu edildiği anda negatif olması hallerinde yardımcı bir gerilīmden yararlanılır. Komütasyon zorlama ile gerçekleştirilir. Bu maksatla komütasyon gerilīmī çogunlukta özēi bir sönǖme kondansatörü ile temin edilir veya akımı kesilecek kolun direnci herhangi bir şekilde bir güç transistörü veya özēi bir tristörle yükseltilir. Komütasyon olayı yardımcı bir gerilim kullanarak gerçekleştirildīğinden bu tür komütasyona zorlamalı komütasyon denir.

Bir standart yük için komütasyon devrelerinin çalışmasını anlayabilmek için aşağıdaki tahminler yapılmalıdır.

I- Yük akımı komütasyon süresince değişmeyecektir. Yük endüktansı çok büyük kabul edilecektir.

2- Bir yarı iletkende kesim, akım sıfıra eriştīğinde ve ters akım akmadığında gerçekleşir.

3- İletim tristörün içinde anı olarak ve devre elemanı ile kontrol edilir.

Bir inverterin incelenmesi temelde bir geçici rejim etüdüdür. Önceki inverter konusunda yarı köprü devresinde komütasyon hesseları incelenmiştir. Şimdi tam köprü inverter devresinde komütasyon olaylarının nasıl yapıldığını görelim.

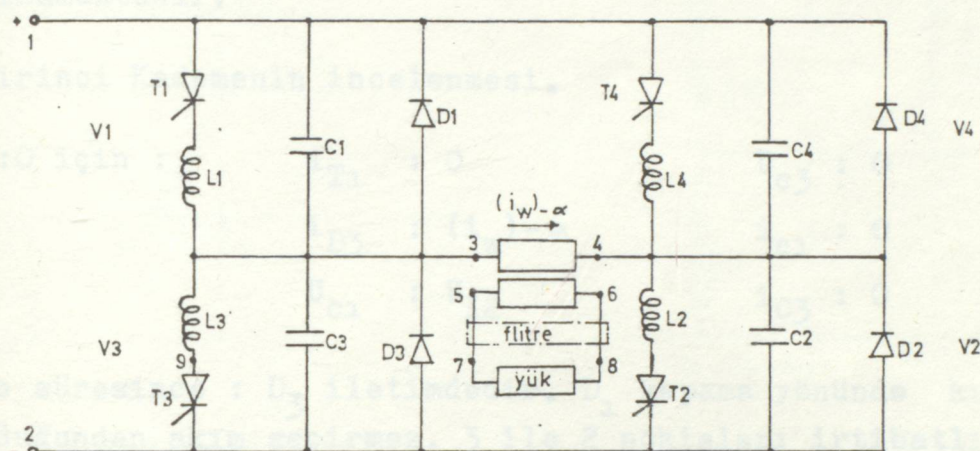
Zorlamalı komütasyon iki şekilde meydana gelmektedir.

1. Pozitif akımda komütasyon
2. Negatif akımda komütasyon.

VI-I-2- POZİTİF AKIMDA KOMÜTASYON :

İletimde olan ünitenin diyodu akım geçirmektedir.

(Tristürü kendiliğinden sönmüştür.) Diyodun bu akımını diğer ünitenin tristörü üzerine alır. Bu şekildeki komütasyona "(+)" Akımda komütasyon" adı verilir. Şekil : I'de  $V_1$ 'in iletimde geçip,  $V_3$ 'ün iletimden çıktığı bir (+) akımda komütasyonu ele alalım.



Genel olarak : Komütasyon esnasında  $i_w$ 'nin yönü iletimde geçerek ünite tristörünün geçirme yönünde ise (+) akımda, aksi halde (-) akımda komütasyon meydana gelir.

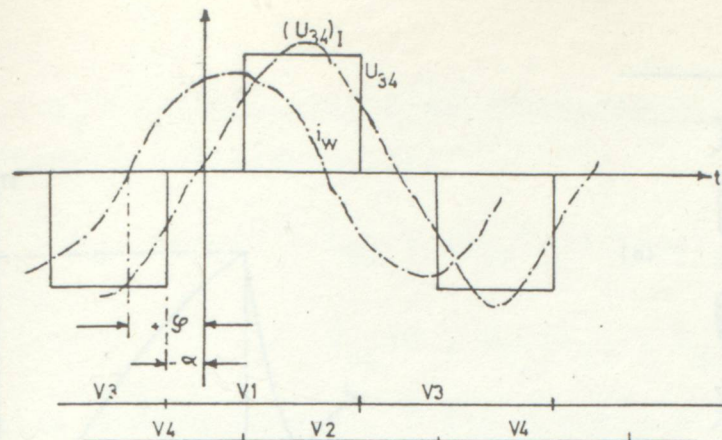
$\alpha + \gamma \geq 0$  ise :  $i_w$ 'nin yönü (+)

$\alpha + \gamma < 0$  ise :  $i_w$ 'nin yönü (-) olur.

$\alpha$ : gerilim ayarı için yapılacak açısal kaydırma değeridir.

Cıkış gerilimi tamamen  $\cos \alpha$ 'ya bağlı olarak elde edilecektir.

(-) anında, (+) yönde  $(i_w)_\alpha$  akımını  $V_3$  ünitesinin  $D_3$  diyodu geçirmekte iken  $V_1$  ünitesinin  $Q_1$  tristörü tetiklenerek komütasyon başlar. Şekil: I ve 2  $D_3$  üzerinden geçmekte olan akımı  $T_1$ 'ın üzerine olmasıyla son bulur. Şekil : 3'de, komütasyon süresince  $T_1$ 'den geçen akımın (b) ve  $T_3$  uçlarındaki ge-



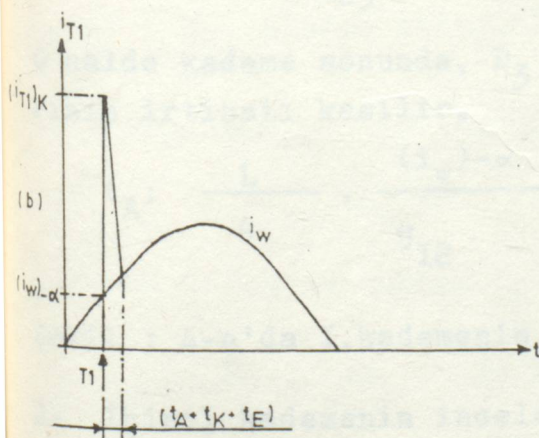
Şekil:2

riliimin (c) değişimi görülmektedir. Bu işlemler üç kademe'de tamamlanmaktadır.

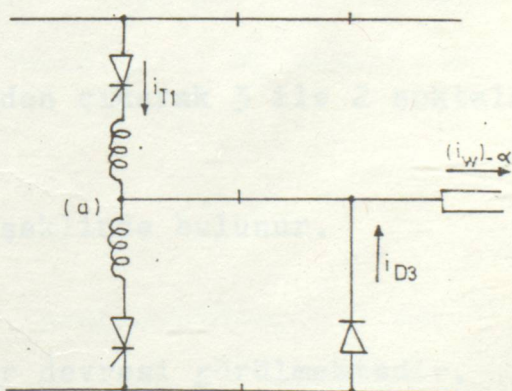
### I. Birinci Kademenin incelenmesi.

$$\begin{array}{ll} t:0 \text{ için : } & i_{T_1} : 0 \quad U_{C_3} : 0 \\ & i_{D_3} : (i_w) - \alpha \quad i_{C_1} : 0 \\ & U_{C_1} : U_{I2} \quad i_{C_3} : 0 \end{array}$$

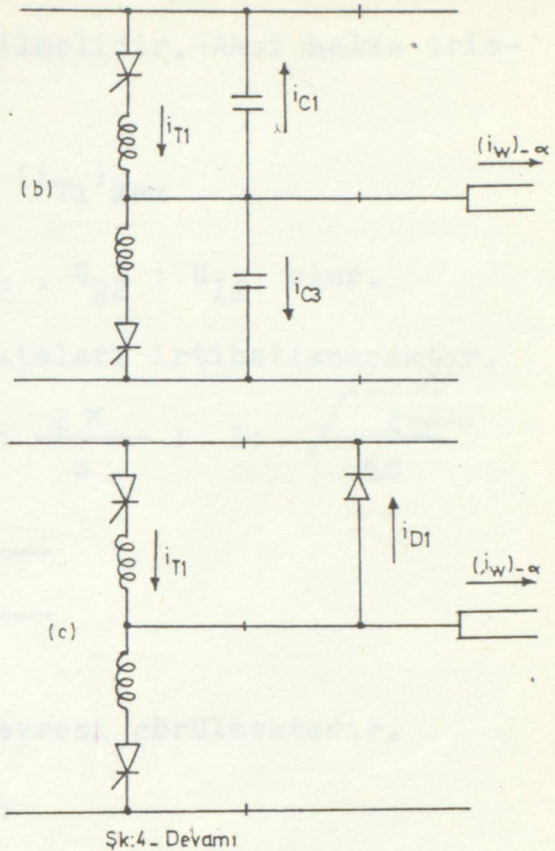
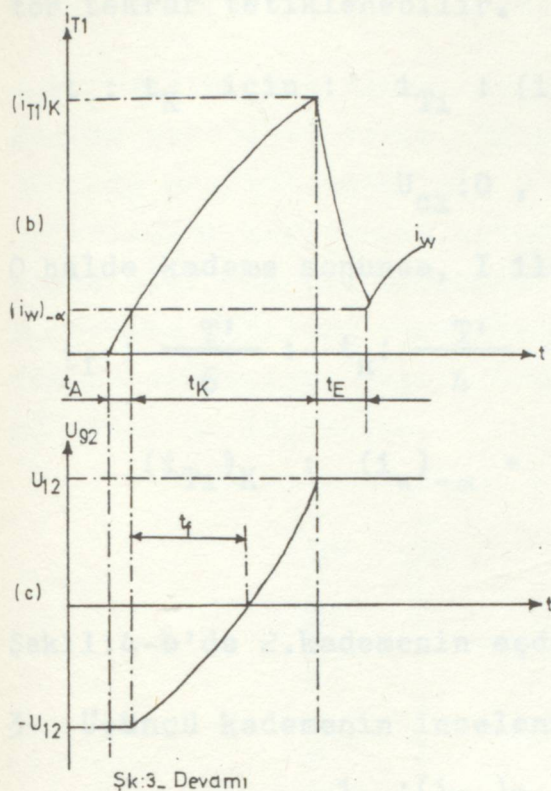
Kademe süresince :  $D_3$  iletimdedir.  $D_1$  kapama yönünde kutuplu olduğundan akım geçirmez. 3 ile 2 noktaları irtibatlıdır.  $U_{C_1} : U_{I2}$ ,  $U_{C_3} : 0$ ,  $i_{C_1} : 0$   $i_{C_3} : 0$  olarak kalır.  $L_1 - T_1$  üze-  
rine sabit  $U_{I2}$  uygulanır.



Şekil:3



Şekil:4



$t$  : 1. kademenin süresi

$t_K$  : 2. kademenin süresi

$t_E$  : 3. kademenin süresi'dir.

Magnetik kublaj sebebiyle  $U_{92} = -U_{12}$  'dir.

$t:t_A$  için :  $i_{T1} = (i_W)_-\alpha$

$$i_{D3} = 0$$

O halde kademe sonunda,  $D_3$  iletimden çıkararak 3 ile 2 noktalarının irtibatı kesilir.

$$t_A = \frac{L}{4} \cdot \frac{(i_W)_-\alpha}{U_{12}}$$

şeklinde bulunur.

Şekil : 4-a'da 1.kademenin eşdeğer devresi görülmektedir.

2- İkinci kademenin incelenmesi :

Kademe süresince  $D_1$  ve  $D_3$  akım geçirmez.  $C_1$ ,  $T_1 - L_1$  üzerinden boşalırken  $C_3$  dolar.  $U_{92}$  belli bir zaman (-) kaldıktan sonra ( $t_f$  kadar) (+) olmaya başlar.

$t_f > t_q$  olmasına özen gösterilmelidir. Aksi halde tristor tekrar tetiklenebilir.

$$t : t_K \text{ için} : i_{T_1} : (i_{T_1})_K : (i_{T_1})_{\max}$$

$$U_{C1} : 0, U_{C3} : U_{I2}, U_{g2} : U_{I2} \text{ olur.}$$

0 halde kademe sonunda, I ile 3 noktaları irtibatlanacaktır.

$$t_f : \frac{T'}{6} : t_k : \frac{T'}{4} : T' : \frac{2\pi}{w} : w : \sqrt{\frac{2}{LC}}$$

$$(i_{T_1})_K : (i_w)_{-\alpha} + \frac{\frac{U_{I2}}{Lw}}{4}$$

Şekil:4-b'de 2.kademenin eşdeğer devresi görülmektedir.

### 3- Üçüncü kademenin incelenmesi :

$$i_{T_1} : (i_{T_1})_K \quad U_{C3} : U_{I2}$$

$t:0$  için :

$$i_{D3} : 0 \quad i_{c1} : 0$$

$$U_{c1} : 0 \quad i_{C3} : 0$$

Kademe süresince :  $D_1$  iletimdedir.  $D_3$  akım geçirmez.

I.ve 3 noktaları irtibatlıdır.  $U_{c1} : 0, U_{C3} : U_{I2}, i_{c1} : 0, i_{C3} : 0$

ve  $U_{g2} : U_{I2}$  olarak kalır.  $i_{T_1}$ 'in fazlalığını  $D_1$  üzerine alır.

$$t : t_E \text{ için} \quad i_{T_1} : (i_w)_{-\alpha}$$

$$i_{D1} : 0$$

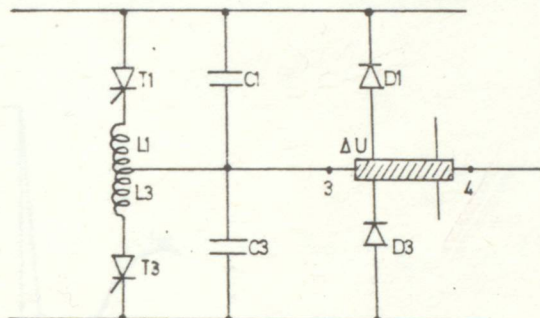
0 halde kademe sonunda,  $i_{T_1} : (i_w)_{-\alpha}$  olarak komütasyon biter.

$$t_E : \frac{L}{4R} \cdot \ln \frac{(i_{T_1})_K \cdot R + \Delta U}{(i_w)_{-\alpha} \cdot R + \Delta U}$$

R: Bobin ve bağlantı iletkenlerin direnci.

$\Delta U:T_1$  ve  $D_1$ 'deki gerilim düşümü.

$t_E$  süresinin uzun olması kesinlikle istenmez. Elemanların büyümeye sebebiyet verir. Bu yüzden mümkün mertebe kısa olmalıdır.  $t_E$  azaltılabilmek için R veya  $\Delta U$ 'yu artırmak gereklidir. R'nin artırılması kayıpların artmasına dolayısıyla verimin düşmesine neden olur. Bu pek ekonomik değildir. Bu yüzden  $\Delta U$ 'nun artırılmasına gidilir. Pratikte  $\Delta U$ 'yu artırmak için Transformatörden yararlanılır. Şekil :5'de görüldüğü gibi Transformatörden  $\Delta U$  gerilimi düşürülür.



Şekil :5

Ancak :  $U_{34} \neq 0$  iken  $U \neq 0$  olacağı göz önüne getirilmelidir. Bu durumda  $\Delta U$  yanında  $R \cdot (i_{T_1})_K \approx 0$  alınabilir. Bu taktirde

ifademiz :

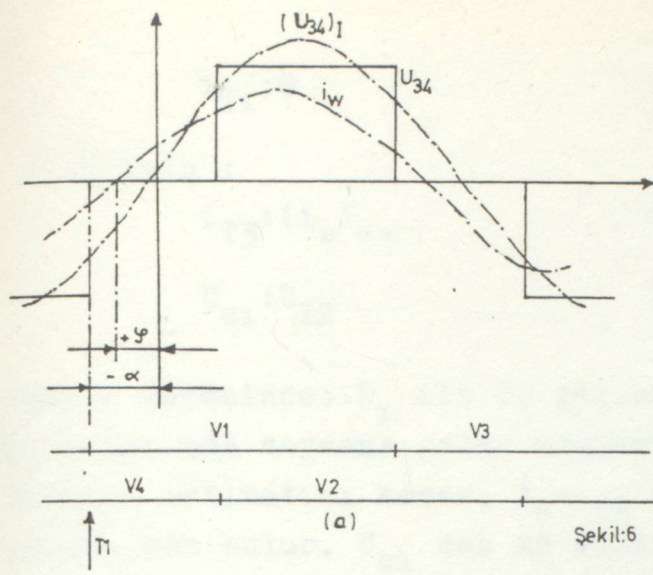
$$t_E: \frac{U_{12}}{\Delta U} \cdot \frac{T'}{2\pi} \text{ olacaktır.}$$

Şekil:4-c'de 3. kademenin eşdeğer devresi görülmektedir.

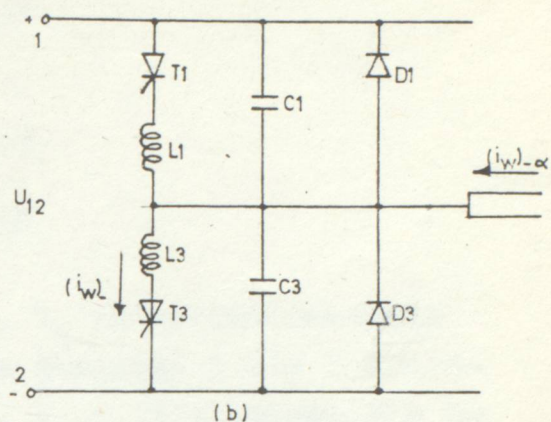
#### VI-I-3- NEGATİF AKIMDA KOMÜTASYON :

$V_1$ 'ın iletme geçip  $V_3$ 'ün iletimden çıktığı bir (-) akımda komütasyonu ele alalım.  $(-\alpha)$  anında, (-) yönde  $(i_w)_{-\alpha}$  akımını  $V_3$  ünitesinin  $T_3$  tristörü geçirmekte iken  $V_1$  ünitesinin  $T_1$  tristörü tetiklenerek komütasyon başlar. Şekil:6-T<sub>3</sub> üzerinden geçmekte olan akımı  $D_1$ 'in üzerine almasıyla son bulur. Şekil:7'de komütasyon süresince  $T_1$ 'den geçen akımın (b) ve  $T_3$  uçlarındaki gerilimin (c) değişimi görülmektedir.

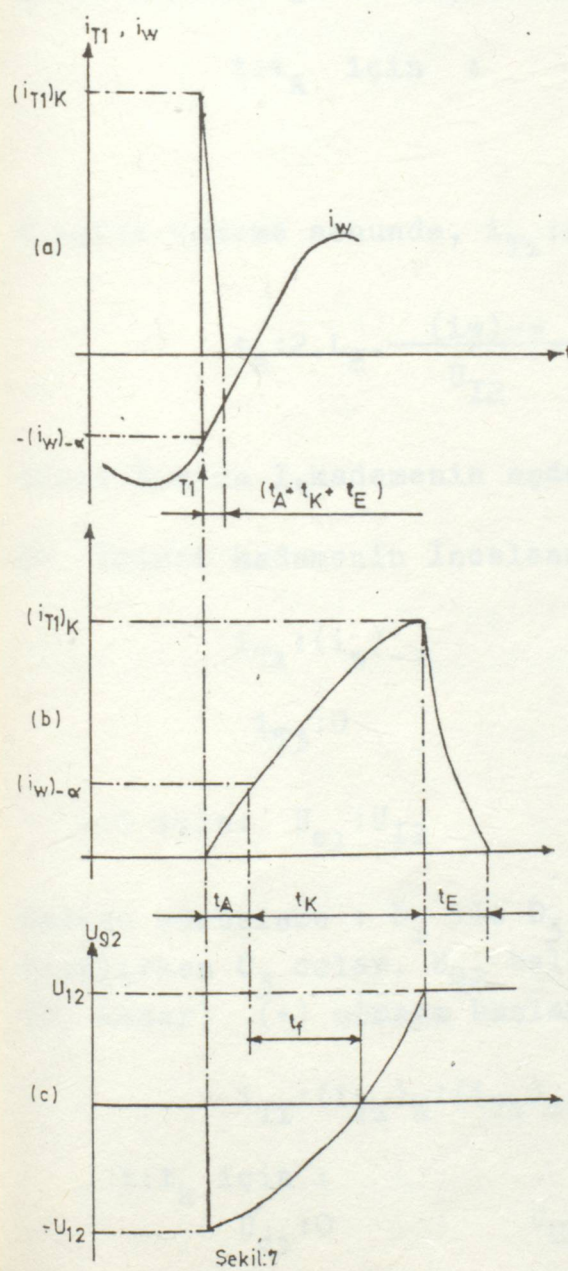
I. Birinci kademenin incelenmesi :



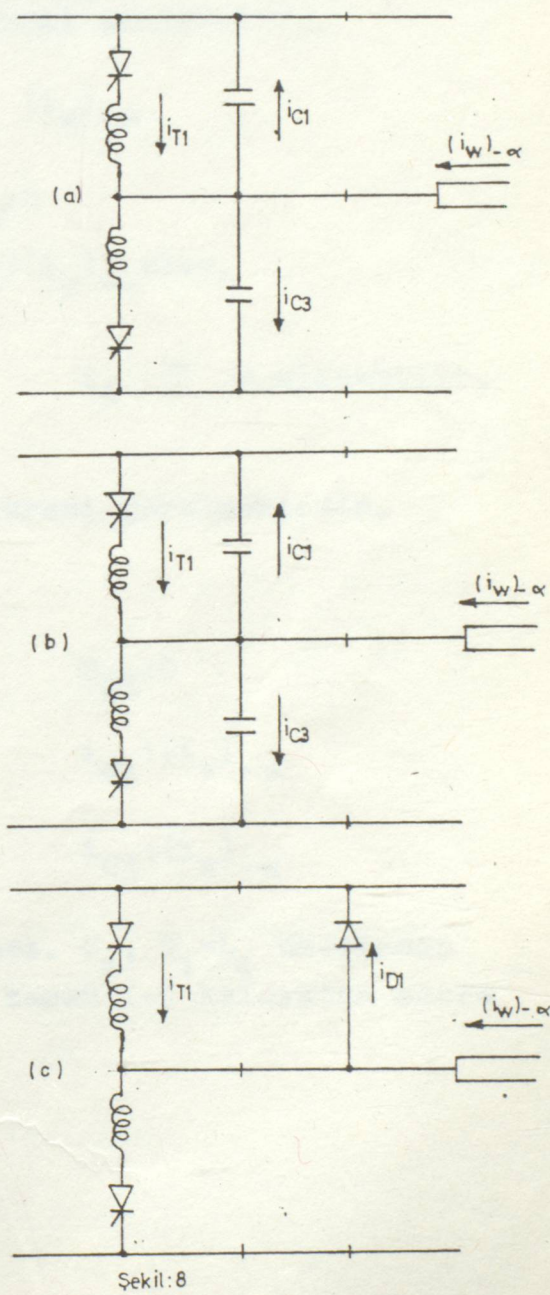
Sekil:6



(b)



Sekil:7



Sekil:8

$$i_{T_1} : 0$$

$$U_{C_3} : 0$$

$t:0$  için :

$$i_{T_3} : (i_w)_{-\alpha}$$

$$i_{C_1} : 0$$

$$U_{C_1} : U_{I2}$$

$$i_{C_3} : 0$$

Kademe süresince:  $D_1$  ile  $D_3$  geçirmez.  $T_1$ 'in tetiklenmesiyle  $T_3$  uçlarında meydana gelen endüksiyon gerilimi 3 ile 2 noktalarının irtibatını keser.  $i_n : i_{C_3}$  'dür.  $i_{C_3} : (i_w)_{-\alpha}$  olmasıyla bu kademe son bulur.  $U_{C_1}$  çok az azalır,  $U_{C_3}$  çok az artar. Bu kademe'de meydana gelen değişiklikler ihmali edilebilir.

$$t:t_A \text{ için } : \quad i_n : (i_w)_{-\alpha}$$

$$i_{T_3} : 0$$

0 halde kademe sonunda,  $i_{T_1} : i_{C_1} : i_{C_3} : (i_w)_{-\alpha}$  olur.

$$t_A : 2 \cdot L_Z \cdot \frac{(i_w)_{-\alpha}}{U_{I2}} \quad t_A \cong 0 \text{ alınabilir.}$$

Şekil:8.a'da I.kademenin eşdeğer devresi görülmektedir.

## 2- İkinci kademenin İncelenmesi.

$$i_{T_1} : (i_w)_{-\alpha}$$

$$U_{C_3} : 0$$

$$i_{T_3} : 0$$

$$i_{C_1} : (i_w)_{-\alpha}$$

$$t:0 \text{ için: } U_{C_1} : U_{I2}$$

$$i_{C_3} : (i_w)_{-\alpha}$$

Kademe süresince :  $D_1$  ile  $D_3$  geçirmez.  $C_1$ ,  $T_1 - L_1$  üzerinden boşalırken  $C_3$  dolar.  $U_{92}$  belli bir zaman (-) kaldıktan sonra ( $t_f$  kadar) (+) olmaya başlar.

$$i_{T_1} : (i_{T_1})_K : (i_{T_1})_{\max}$$

$$t:t_k \text{ için :}$$

$$U_{C_1} : 0$$

$$U_{C_3} : U_{I2}$$

$$U_{92} : U_{I2}$$

0 halde kademe sonunda, I ile 3 noktaları irtibatlanacaktır.

$$t_K : \frac{I}{w} \cdot \text{Artg} \left( - \frac{2 \frac{U_{I2}}{L \cdot w \cdot (i_w)_{-\alpha}}}{\sqrt{4}} \right)$$

$$(i_{T1})_K : (i_w)_{-\alpha} \frac{\frac{U_{I2}}{Lw}}{4} \cdot \sin(w \cdot t_k) - 2 \cdot (i_w)_{-\alpha} \cdot \cos(w \cdot t_k)$$

Şekil: 8.b'de 2.kademenin eşdeğer devresi görülmektedir.

3- Üçüncü kademenin incelenmesi :

$$i_{T1} : (i_{T1})_K$$

$t=0$  için :

$$i_{T3} : 0$$

$$U_{c1} : 0$$

$$U_{C3} : U_{I2}$$

$$i_{c1} : 0$$

$$i_{C3} : 0$$

Kademe süresince :  $D_1$  iletimdedir.  $D_3$  akım geçirmez. I ile 3 noktaları irtibatlıdır.  $U_{c1} : 0$ ,  $U_{C3} : U_{I2}$ ,  $i_{c1} : 0$ ,  $i_{C3} : 0$  ve  $U_{g2} : U_{I2}$  olarak kalır.  $i_{T1}$ 'in fazlalığını  $D_1$  üzerine alır.

$t : t_E$  için :  $i_{T1} : 0$

$$i_{D1} : (i_w)_{-\alpha}$$

0 halde kademe sonunda,  $i_{D1} : (i_w)_{-\alpha}$  olarak komütasyon biter.

$$t_E : \frac{L}{4 \cdot R} \cdot \ln \frac{(i_{T1})_K \cdot R + \Delta U}{\Delta U}$$

$R \cdot (i_{T1})_K$  ifadesi  $\Delta U$  yanında ihmal edilirse.

$$t_E : \frac{L}{4} \cdot \frac{(i_{T1})_K}{\Delta U} \quad \text{olur.}$$

Şekil: 8-C'de kademenin eşdeğer devresi görülmektedir. Pratikte  $t_f$  süresi grafik üzerinde bulunur. 2 kademe arasında  $T_3$  tristörü üzerindeki gerilim değişimi :

$U_{92} : U_d - 2U_d = -U_d$  olur. 2. kademe arasında  $t : t_f$  süresi anında  $U_{92} : 0$  olduğu şekil : 7.c'de görülmektedir. Yani :

$$U_{I2} - 2U_{I2} \cdot \cos wt_f - (iw)_{-\alpha} \cdot Lw \cdot \sin wt_f : 0$$

$$\frac{I - 2 \cdot \cos wt_f}{\sin wt_f} : Lw \cdot (iw)_{-\alpha} \cdot \frac{I}{U_{I2}} \quad \text{bağıntısı bulunur.}$$

$$f(t_f) : Lw \cdot \frac{(iw)_{-\alpha}}{U_{I2}} \quad \text{bağıntısı elde edilir.}$$

$t_f$  Trigonometrik bağıntılardan yararlanarak yaklaşık olarak bulunur.

$(iw)_{-\alpha} : 0$  iken  $t_f$  süresini bulursak, eğrinin başlangıç değerini tayin edebilir.

$$I - 2 \cdot \cos wt_f : 0$$

$$wt_f : \frac{I}{2} : \frac{\pi}{3}$$

$t_f : \frac{T'}{6}$  elde edilir. Burada ki değerde ne pozitif ne de negatif akımda komütasyon durumunda değildir.

$t_f$  süresi aslında iki yoldan elde edilir. İlk L ve C'yi belli sınırlar içerisinde tutarak, yukarıda bahsettiğimiz metotlar çerçevesinde açısal hız tayin edilir. Ve buradan elde edilecek eğriden  $t_f$  süresi belirlenebilir. İkincisi seçilen tristör tipindeki  $t_q$  süresine belli bir  $\Delta t$  süresi eklenerek  $t_f$  süresi tespit edilir. Böylece komütasyon elemanlarını (L ve C) III. bölümde bahsedildiği ifadelerden elde edilebilir.

Komütasyon devrelerinde özellikle self ve Condansatörlerden faydalananır. Fakat bağlantı konumları farklı olabilir. Bazen yalnız başlarına'da komütasyonları sağlayabilmektedir. Fakat

ikisinin devrede olması emniyet ve enerjinin akışı yönünden oldukça faydalıdır. Bazen yardımcı tristörler kullanılmaktadır. Bu gibi durumlarda devrenin daha karmaşık olduğu bilindiğinden pek kullanılması tavsiye edilmez. Ekonomik yönünden uygun olmaz

Özellikle son yıllarda çıkan, kapısından söndürülebilen gto tristörlerini bu gibi devrelerde kullanılması en uygundur. Çünkü çalışma sistemlerinde tipki güç transistörleri gibi serbest kalma zamanları çok ufak olduğundan, komütasyon olayı ortadan kalkmış olmaktadır. Bu ise gerek ekonomik, gerekse çalışma sistemi açısından oldukça büyük yararlar sağlamaktadır. Günümüzün teknolojeme bağlı olarak komütasyonsuz inverter devrelerinin imali için büyük bir hızla çalışmalar yapılmaktadır. Böylelikle motor kontrolunda kullanılacak bu inverter tristörleri oldukça faydalı getirecektir.

## BÖLÜM VII - TETIKLEME DEVRELERİNİN GERÇEKLEŞTİRİLMESİNDEKİ TEMEL ESASLAR.

### VII- I- KONTROL DEVRELERİ :

Eviricilerde tristörün kullanılması ve bu yarı iletken elemanların özellikleri icabı tetiklenerek iletme geçirilebilmesi ve zorlanmış komütasyon ile kesime götürülebilmeleri, sistemin çalışmasını temin edecek ve yapılacak fonksiyonları sıraya koyacak kontrol devrelerine ihtiyaç gösterir. Bu bölümde bir fazlı veya üç fazlı bir eviricide kullanılan kontrol ünitelerinden bahsedilecek daha sonra motor kontrolünün açık ve kapalı devre yapılması hususunda bilgi verilecektir.

### VII .2. KONTROL DEVRESİNİN ÜNİTELERİ VE GÖREVLERİ :

#### VII. 2. 1. FREKANS ÜRETİCİSİ :

Eviricinin çıkış frekansının arzuya bağlı olarak değiştirilmesi gereklidir. Frekans üreticisi evirici frekansına göre darbeierin sayısını ayar eder. Bunun ayar edilmesi için gereken işaret eviricinin çıkışından alınır, frekans üreticisinin girişine verilir. Bu işlemin gerçekleştirilmesi için iki metod vardır. Birincisi elektronik, ikincisi ise mekaniktir.

Elektronik metod'da kontrol işaretleri değişken doğru akım veya gerilim şeklinde dir. Ve frekans üreticisinin girişine tatbik edilir. Bu ünite, giren doğru akım veya gerili mi darbe haline getirir ve ünitenin çıkışından seri darbeler şeklinde alınır. Burada drebelerin sayısı üniteye giren doğru akım işaretiley doğrudur. Giriş işaretinin artan genişliği darbe sayısının artmasına yol açar.

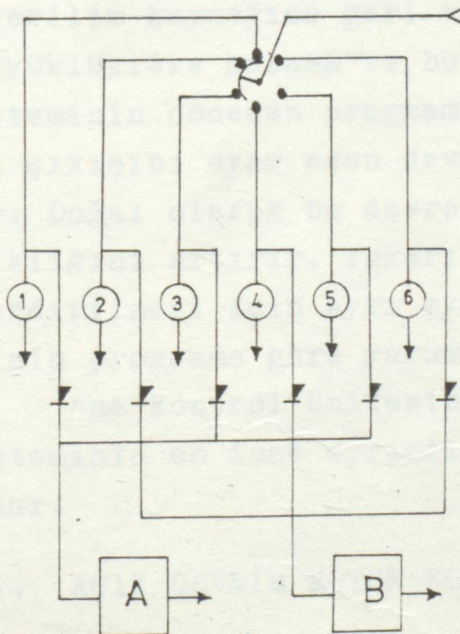
Bazı devir sayısı ayarı gerektiren sistemlerin eviricilerinde, frekans üreticisinin girişine uygulanan işaretler drebeler halinde olabilirler. Bu durumda, ünitenin görevi drebeler sıralama ünitesini çalıştıracak biçimde şekil vermektedir. Sıralama ünitesinin, tristörlerin tetikleme drebelerin sıraya konması açısından önemi büyüktür.

Ikinci metod frekansın mekanik yoldan üretimidir. Frekans üreticisinde dönen ve çevresinin üzerinde işaretler bulunan disk vardır. Bu diskin her dönüşünde işaretler bir probun önünden geçerler. Böylece prob bu işaretleri çıkış işaretine getirir. Çıkıştaki bu işaretler seri drebeler haline dönüştürerek ünitelerin çıkışından alınırlar.

## VII.2.2. SIRALAMA ÜNİTESİ :

Yukarda bahsedildiği gibi frekans üreticisi sıralama ünitesini çalıştırır. Sıralama ünitesi içindeki ring devresi, tristörlerin kapılarına gönderilmesi gereken tetikleme darbelerinin uygun zaman ve doğru sıralar halinde dağıtılmmasını temin eder. Tetikleme darbelerini gönderen devreler ise birer amplifikatördür. Bunlara tetikleme üniteleri denir.

Tetikleme ünitesine giren işaret darbe halinde doğru akımdır. Bu işaret, alternatif akımın kare dalga şeklinde dönüştürerek ünitenin içinde bulunan izole transformatörlerin primer sargasına uygulanır. Bu transformatörün izoleli bir çok sekonder çıkışları vardır. Çıkıştan alınan alternatif kare dalga tam dalga doğrultucularında doğrultutuktan sonra tristörlere gönderilir. Eğer tetikleme ünitesine gönderilen ve doğru ekim olan işaret ortadan herhangibir nedenle kalkacak olursa, çıkışta alınması beklenen alternatif akım işaretini alınamayacak ve tristörler tetiklenmeyecektir. Ünitenin çıkışında bulunan işaret yalnız doğrultılmış bir doğru akım olmayıp aynı zamanda birbirinden izole edilmişlerdir. Her tristör iletişimde olduğu süre boyunca bu işaretin devamlı alır. Şekil: I'de ring ve tetikleme devrelerinin üç fazlı, 6 tristörlü evirici için blok diyagramı görülmektedir.



Sekil: I. Ring ve tetikleme  
d<sup>e</sup>vrelerinin genel  
ba<sup>g</sup>lama metodu.

Frekans üretici ünitesi yardımıyla çalışır. Bu üniteden gelen her işaret altılı ringi bir pozisyonu getirir. Böylece ko-

mütasyonda bulunan tristörün çalışması sağlanır. Her komutas-tasyon devresi için bir tetikleme ünitesi gerekir. Böylece her bir Ünite ring devresinin uygun olan üç çıkışına irtibatlanır. Buradan anlaşıllacağı gibi ring devresinin bütün çıkışları beraber aynı üniteye bağlanmazlar. Burada diot kullanımmasının nedeni izolasyonun sağlanmasını temin etmek içindir. Faz sırasının yönünü değiştirmek için ring devresinin çalışma yönünün aksediimesi gerekir. Beslemesi eviriciden olan tüketici üzerinde herhangi bir değişme yapmaya gerek yoktur. Bu işletme şekli motorun devir yönünün değiştirilmesi gerektiği zaman eviricinin kontrol devresindende yapılabildiğini kanıtlar.

#### VII.2.3. A<sub>NA</sub> KONTROL ÜNİTESİ :

Bu ünitenin görevi, frekans üretici üniteye, eğer eviricinin beslendiği doğru gerilim kaynağı ayar edilebilen cinsten ise, bu üniteye evirici çıkışından aldığı işaretleri kendi programına göre değerlendирerek göndermektedir. Bu ünite kontrol devresinin en önemli görevini üstlenmiştir. Yapısal olarak karmaşılığı eviriciden beklenen fonksiyonlara göre değişir.

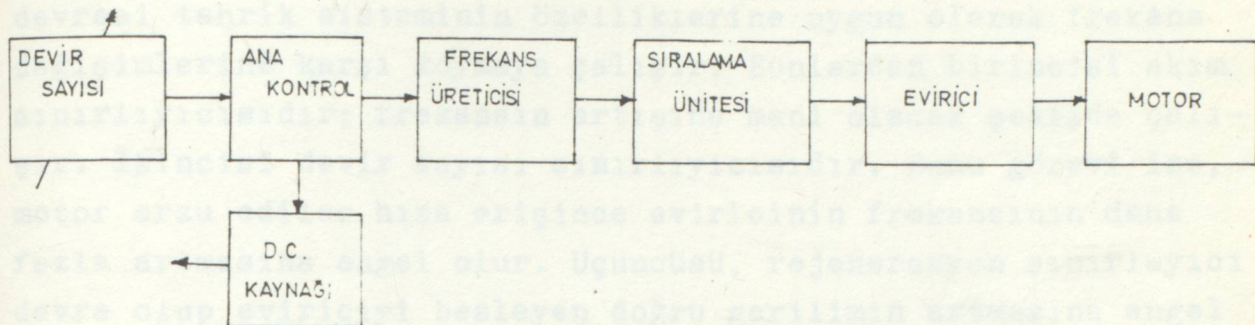
Eviricinin, bir motoru beslediğini düşünelim. Ana kontrol ünitesinde bu sistemin geliştirilmişliğine bağlı olarak şü bölgümlerin mevcut olması mümkündür. Doğru akım, doğru gerilim, doğru gerilim kaynağına geri verilen doğru akım, motorun hızı, gibi büyüklüklerde hassas ve bu değerlerden aldığı işaretleri tahrîk sisteminin önceden programlanan yapısına göre değiştirerek, evirici çıkışını ayar eden devreler ana kontrol ünitesinde bulunabilir. Doğal olarak bu devreler hem bu ünitelerin fiyatını hem karmaşılığını artırır. Yukarıda bahsedilen muhtelif işaretlerin degeriendiriimesi için ayrı ayrı devreler vardır. Bunlar tahrîk sisteminin programa göre yürümesine yardımcı olurlar.

Ana kontrol ünitesinin yapılması için kullanılan tahrîk sisteminin en ince ayrıntısına kadar her şeyinin bilinmesi icap eder.

#### VII.2.4. AÇIK ÇEVİRİM MOTOR KONTROLU :

Pompa, vantilatör veya yükün tamamıyla motor hızına bağlı olduğu yerlerde kullanılan en basit tahrîk sistemidir. Bu metot'da kullanılan evirici'de motorun hızını tayin etmek için

eviricinin çıkış frekansının ayar edilmesi el kumandasına bağlıdır. Motorun hızı eviricinin çıkış frekansından tamamıyla bağımsızdır.

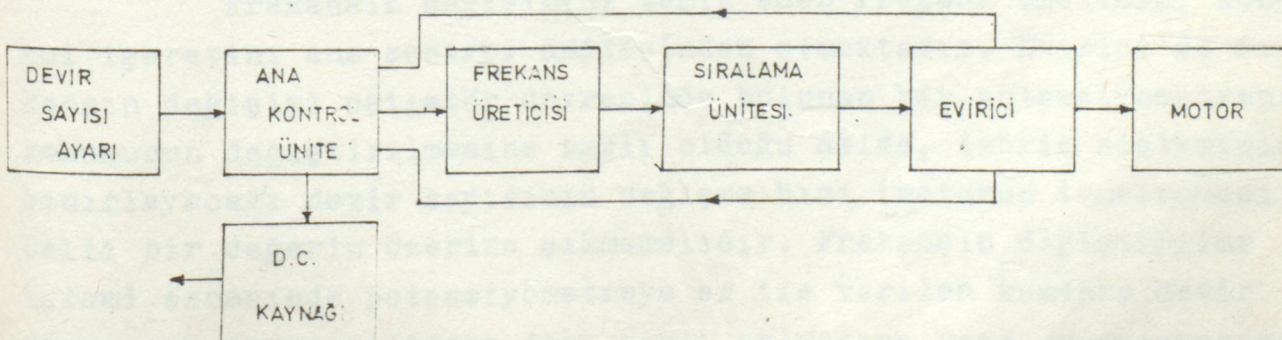


Şekil:2. Açık çevrim motor kontrolünün blok şeması.

Ana kontrol ünitesi eviricinin frekansında herhangi bir nedenle meydana gelebilecek değişimlere engel olacak yapıya sahiptir. Ayrıca motor hızına bağlı olarak gerekli işaretleri doğru gerilim kaynağına gönderir. Şekil:2. bu tip bir sistemin blok diyagramını göstermektedir. Sistemdeki temel prensip, her hızda motordan alınabilecek maximum gücün alınabilmesi ve hızlanmasının ise, ana kontrol ünitesinde tesbit edildiği gibi olmasıdır. Yukteki değişme aynen motor hızına intikal eder ve kayma frekansı değişir. Bu durumda motorun kayması devrilme kaymasına hiçbir zaman erişmez.

#### VII.2.5. KAPALI ÇEVRİM MOTOR KONTROLU :

Şekil:3'de blok diyagramı verilen bu metod açık çevrim motor kontrolundan tamamıyla farklı yapıya sahiptir. Yük tarafından motora uygulanen en ağır çalışma şartının motorda meydana getireceği ivmelenme hareketinin en düşük değerde olması şartı ortadan kaldırılır. Motorun sabit moment üretmesine ve yükün müsaadesi oranında ivmelenerek hızlanması imkan verir.



Şekil:3. Kapalı çevrim motor kontrolünün blok şeması.

Bu sistemde frekans üreticisi ünitesi bir analog-dijital çiverecedir. Çıkış darceleri giriş işaretleri ile orantılıdır. Sistemi devreye aldıktan sonra, frekans motorun başta çalışma hızına tekabül eden değere kadar yükselir. Ana kontrol devresi tahrik sisteminin özelliklerine uygun olarak frekans değişimlerine karşı koymaya çalışır. Bunlardan birincisi akım sınırlıycisidir: frekansın artışına mani olacak şekilde çalışır. İkincisi devir sayısı sınırlıycisidir. Bunu görevi ise, motor arzu edilen hızza erişince eviricinin frekansının daha fazla artmasına engel olur. Üçüncüsü, rejenerasyon sınırlayıcı devre olup eviriciyi besleyen doğru gerilimin artmasına engel olur. Motorun ağır yük şartları altındadğan devir sayısını kompanze etmek için frekansın artmasına veya el ile devir sayısının bizzat düşürülmesi halinde, frekansın azalma hızının ayarlanmasında etkin olur.

#### VII.2.6. FREKANS KONTROLU :

Devir sayısının kontrolünün gerektiği yerler olarak asenkron motorların kontroluna dayanmaktadır. Onceden de belirtildiği gibi asenkron motorun sürekli devir sayısı ayarını yapmak ve momenti sabit tutmak için frekansın değişimine intiyaç vardır. Eviricilerde frekansın değiştirilmesi işlemi, alternatif akımın yarı periyodunda görevlendirilen tristörlerin tetiklenme suretiyle iletme girme sayısını ile değişir. Evirici çıkışında üretilen gerilim dalgasının şeklinin değişmediğini varsayıacak olursak ve bir yarı periyotdaki darbe sayısını sabit tutup tristörlerin bir periyod boyunca kesim sürelerini kısaltarak frekansı değiştirebiliriz. Tristörleri tetikleyen özel devre kapılara yeterli gücü, tetiklenecek tristörlerin sırasını bilerek, uygun olarak vermelidir. Bu işlem bir frekans üreticisi tarafından yapılır. Frekans üreticisinin genel izahı daha evvel yapılmıştır.

Frekansın değişimini temin eden frekans üreticisi kontrol işaretini ana kontrol ünitesinden almaktadır. Evirici'de frekansın değişimi osilatör devresinde bulunan bir potansiyometrenin konumunun değiştirilmesine bağlı olduğu halde, tahrik sisteminin sınırlayacağı devir sayısının değişme hızı (motorun ivmeienmesi) belli bir değerin üzerine çıkmamalıdır. Frekansın değiştirilme işlemi esnasında potansiyometreye el ile verilen kumanda devir sayısının arzu edilenden daha hızlı artmasına veya yavaşlamasına

sebep olacak şekilde olabilir. Muhtelif sakıncalar doğurması mümkün olacak bu gibi durumların önüne geçmek maksadıyla, frekans üretici devresinin içine devir sayısıyla doğru orantılı olan, evirici çıkış frekansının değişim hızını sınırlayabilecek sınırlıycı devre yerleştirilir. Artık bu durumda el komandası ile evirici frekansının değiştirilebilme hızı bu sınır değerin üzerine çıkamaz.

BÖLÜM : VIII : ASENKRON MOTÖRLARININ DEVİR SAYISI AYARININ KONTROLU :

Daha evvelki bölümlerde incelediğim gerilim zorlamalı inverter devresinin hesaplarını yaptıktan sonra örnek bir tetikleme devresi ile frekansı değiştirilebilen bir devre elde etmek mümkündür. Yalnız gerilimin değişimini yapabilmek için redresör devresinin ayarlanabilir bir DC kiyicisi veya DC doğrultucusunun tristörlerle gerçekleştirilmesi gerekmektedir. Aksi halde frekansın değişimine paralel olarak gerilimin ani değişimini mümkün olamaz. Fakat bu devrenin kontrolü tamamen geri beslemeli otomatik kontrol devresinden oluşmalıdırından sistem oldukça karmaşık olacaktır. Böyle bir devreye örnek blok şema ayrıca bölümün sonunda incelenmiştir.

Bu bölümde basit bir inverter devresinin giriş gerilimini variakla, frekansı ise tetikleme devresine bağlı olarak etüt etmeye çalışacağız.

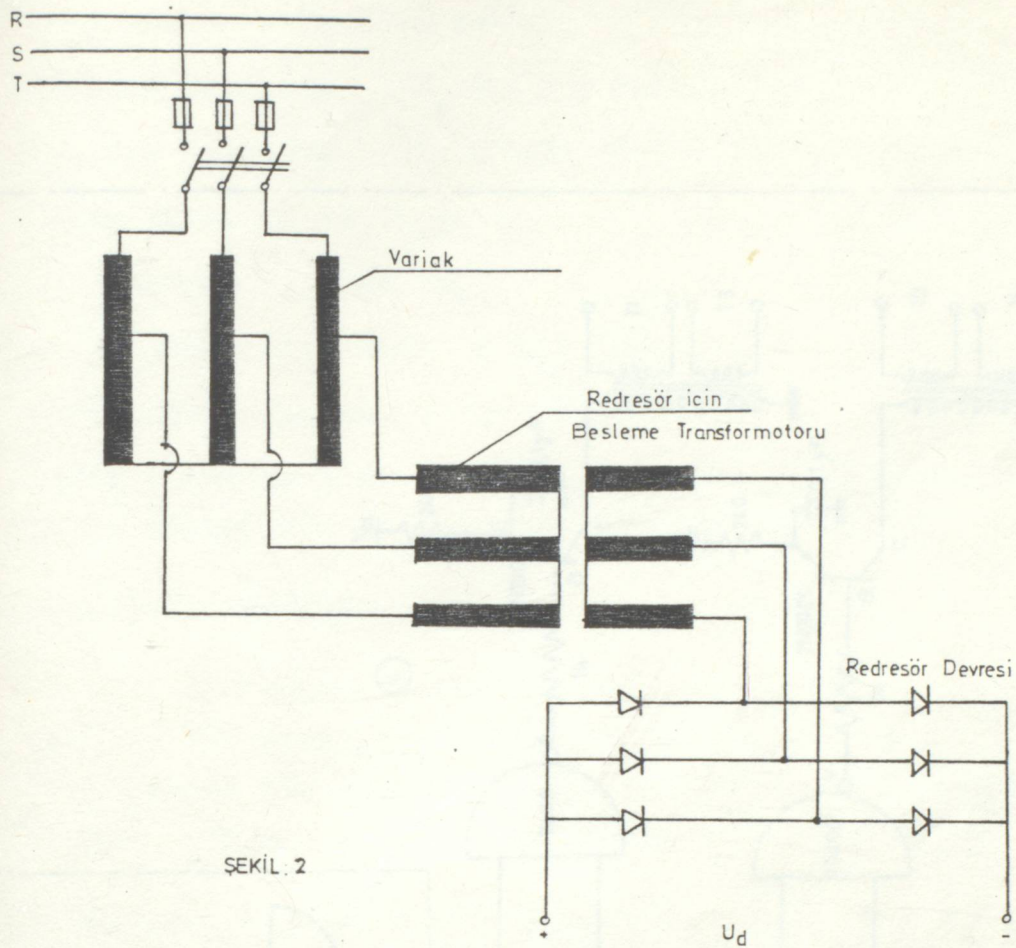
Sayıt sabit frekanslı bir inverter devre teşkil etmiş olsaydık, flitre devresini kullanmak faydalı olurdu. Frekansın sürekli değişeceğini ötürü flitre süzgeç elemanlarında değiştirilmesine gerek olacağından burada flitre devresi ele alınamayacaktır.

Özellikle ele alacağımız kısımlar bazı elemanların seçiminde dikkat edeceğimiz hususları görmek olacaktır.

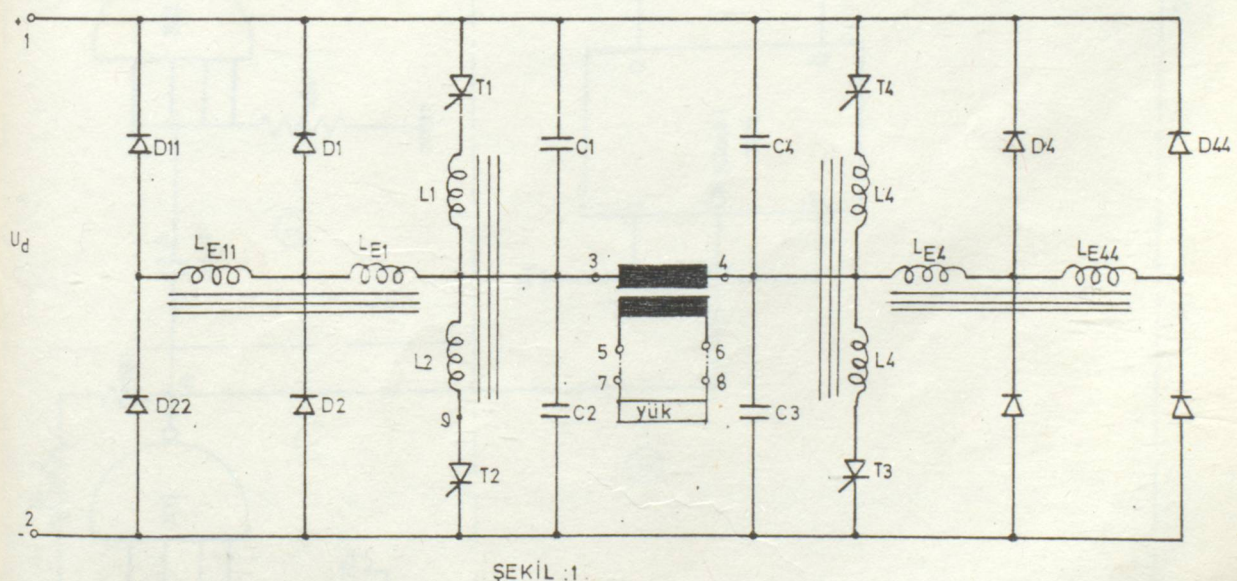
VIII-I- BİR FAZLI ASENKRON MOTORUN İNVERTER GÜC DEVRESİ İLE DEVİR SAYISI AYARININ İNCELENMESİ VE HESAPLARIN YAPILMASI :

İnceleyeceğimiz inverter güç devresi şekil :1'de görüldüğü gibi olacaktır. Inverter devresine doğru gerilimi sağlayacak devre şekil :2'de mevcuttur. Bu inverter devresinin tetikleme devresini oluşturan şema ise şekil :3'deki gibidir.

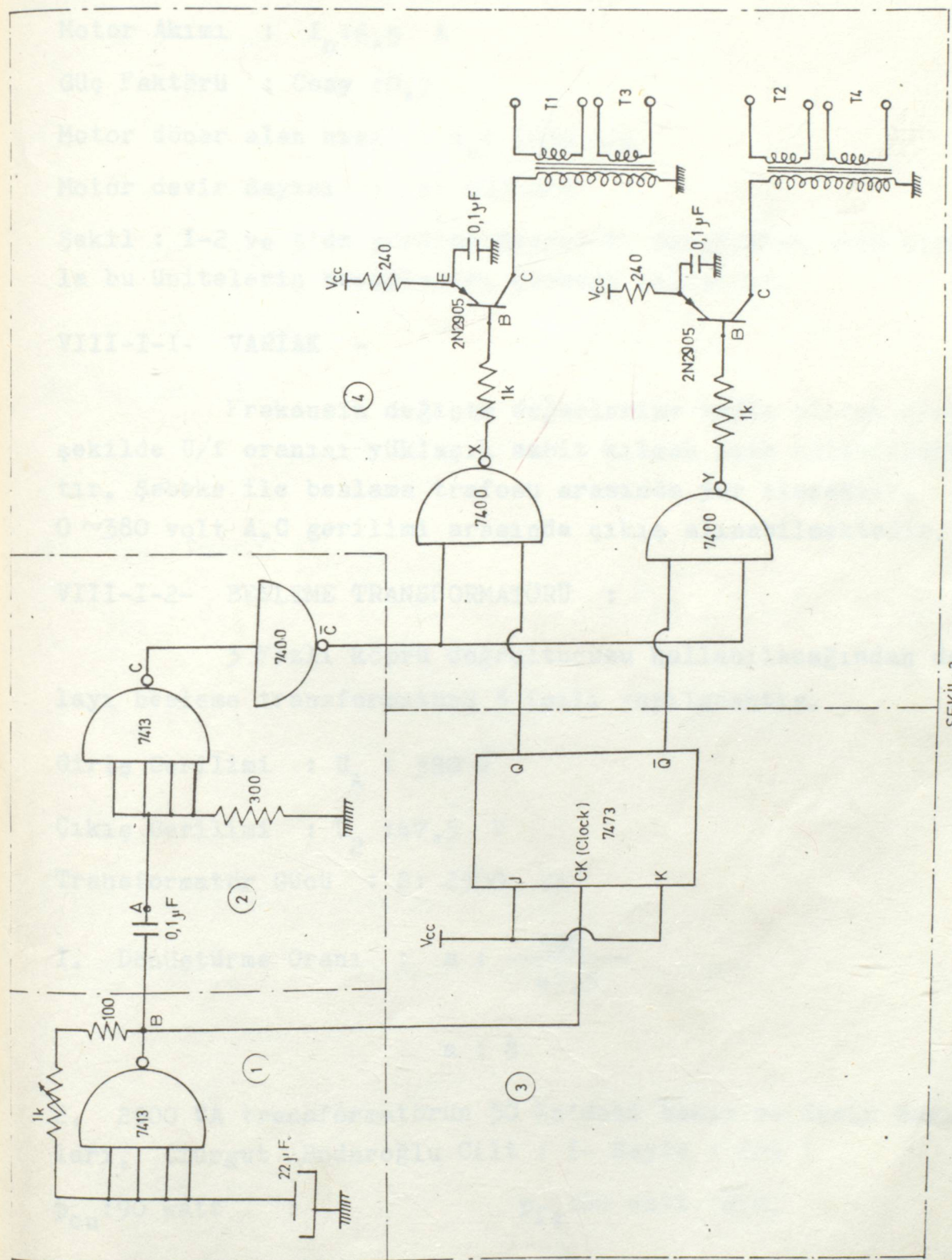
Örnek olarak tekstil sanayinde kullanılmakta olan "Konik Örgü Makinası'nda" kullanılması düşünülebilen bir fazlı asenkron motoru ele alalım. Bu motorun etiket değerleri şu şekilde dir.



ŞEKİL 2



ŞEKİL 1



ŞEKLİ: 3

Motor Gücü :  $P_n: 1000$  watt.

Besleme Gerilimi :  $U_n: 0 \sim 220$  Volt

Besleme Frekansı :  $f: 0 \sim 50$  Hz

Motor Akımı :  $I_n: 6,5$  A

Güç Faktörü :  $\cos\phi: 0,7$

Motor döner alan hızı :  $n_s: 1000$  d/d

Motor devir Sayısı :  $n: 900$  d/d

Şekil : I-2 ve 3'de görülen devreleri oluşturmak için sırayla bu ünitelerin hesaplarını çözmeye çalışalım.

#### VIII-I-1- VARİAK -

Frekansın değişim değerlerine bağlı olarak klasik şekilde  $U/f$  oranını yükseltmek sabit kilmak için kullanılacaktır. Şebeke ile beslama trafosu arasında yer olacaktır.  $0 \sim 380$  volt A.C gerilimi arasında çıkış alınabilmektedir.

#### VIII-I-2- BESLEME TRANSFORMATÖRÜ :

3 Fazlı köprü doğrultucusu kullanıldığında do-  
layı besleme transformatörü 3 fazlı yapılacaktır.

Giriş Gerilimi :  $U_1: 380$  V

Cıkış Gerilimi :  $U_2: 47,5$  V

Transformatör Gücü :  $S: 2500$  VA

I. Dönüşürme Oranı :  $a: \frac{380}{47,5}$

$$a: 8$$

2. 2500 VA transformatörün 50 Hz'deki bakır ve demir kayıpları, (Turgut Boduroğlu Cilt : I- Sayfa : 203 )

$p_{cu}: 90$  watt :  $p_{fe}: 60$  watt 'dır.

$$3. \text{ Kayıplar Oranı : } \frac{\varphi}{\psi} : \frac{P_{cu}}{P_{fe}} : \frac{90}{60} : 1,5$$

4. Kendi kendine soğuyan transformatörler'de akım yoğunluğu

$$S: 2 \text{ A/mm}^2 \quad (\text{Cetvel : } 7)$$

$$P_{cu}: 2,7 \cdot S^2 : 2,7 \cdot 2^2 : 10,8 \text{ w/kg.}$$

$$P_{fe}: p_{10} \cdot \left( \frac{B}{10,000} \right)^2 \text{ w/kg.}$$

$$B: 10000 \text{ Gaus}$$

$$p_{10}: 1,3 \text{ w/kg.} \quad \text{ve} \quad \varphi: 1,15 \text{ değerlerindedir.}$$

Bu durumda :

$$P_{fe}: 1,15 \cdot 1,3 \cdot \left( \frac{10,000}{10,000} \right)^2 : 1,495 \text{ w/kg.}$$

5. Demir Gövde Kesiti :

$$q_{fe} : C \cdot \sqrt{\frac{S}{f.s.B}} \cdot \frac{P_{cu}}{P_{fe}} \cdot 10^9 \text{ cm}^2$$

$$q_{fe} : 0,4 \cdot \sqrt{\frac{2500}{50 \cdot 2 \cdot 10,000 \cdot 1,5} \cdot \frac{10,8}{1,495} \cdot 10^9}$$

$$q_{fe}: 44,7 \text{ cm}^2$$

6. Çekirdek kesitinden geçen toplam akı :

$$\emptyset : B \cdot q_{fe} : 10,000 \cdot 44,7 : 447,000 \text{ Maxwell}$$

7- Sekonder Sargası :

$$W_2: \frac{U_2}{\sqrt{3} \cdot 4,44 \cdot \emptyset \cdot 10^{-8}} \quad \frac{47,5}{\sqrt{3} \cdot 4,44 \cdot 50 \cdot 447,000 \cdot 10^{-8}}$$

$$W_2: 28 \text{ snir.}$$

8. Sekonder akımı :

$$I_2 : \frac{2500}{3.47,5} : 30,38 \text{ A}$$

9. Sekonder iletken kesiti ve çapı :

$$S_2 : \frac{I_2}{s} : \frac{30,38}{2} : 15,19 \text{ mm}^2$$

$$d_2 : 2 * \sqrt{\frac{S_2}{\pi}} : 2 * \sqrt{\frac{15,19}{\pi}} : 4,39 \text{ mm Emaye bakır tel.}$$

10. Primer Sargısı :

$$W_1 : \frac{U_1}{\sqrt{3.4,44.f.\emptyset.I0^{-8}}}$$

$$W_1 : \frac{380}{\sqrt{3.4,44.50.447.000.I0^{-8}}} : 221 \text{ spir.}$$

II. Primer Akımı :

$$I_1 : \frac{s}{\sqrt{3.U_1}} : \frac{2500}{\sqrt{3.380}} : 3,798 \text{ A.}$$

12. Primer iletken kesiti ve çapı :

$$S_1 : \frac{I_1}{s} : \frac{3,798}{2} : 1,899 \text{ mm}^2$$

$$d_1 : 2 * \sqrt{\frac{S_1}{\pi}} : 2 * \sqrt{\frac{1,899}{\pi}} : 1,55 \text{ mm. Emaye bakır tel.}$$

13. Pencere Boyutları :

$$L_s : \text{Bacak yüksekliği} : a : \text{Pencere yüksekliği}$$

$$L_s : \frac{2.W_1 \cdot I_1}{A_s} : S : 2,5 \text{ kw için}, A_s : 100 \text{ A/cm.}$$

$$L_s : \frac{2.221.3,798}{100} : 16,7 \text{ cm.}$$

Çekirdek tipi için :  $K_{cu} : \% 12$ . (Şk. I58-Sayfa:224)

$$a : \frac{4.W_1.S_1}{100.K_{cu}.L_s} : \frac{2.221.1,899}{100.0,12.16,7} : 8,37 \text{ cm.}$$

Mantel tipi için :

$$a: \frac{2.Wi.Si.}{100.K_{cu}.L_s} : \frac{2.22I.I.899}{100.0.I2.I6,7} : 4,18 \text{ cm.}$$

VII-I-3- REDRESÖR HESABI :

Redresör köprüsünde D42 Silicium Güç diyonları kullanılmaktadır.

$U_D$ : 1,55 volt, q:3 fazlı : s:2 köprü bağlantılı

I.  $U_{di} : s \cdot \sqrt{2} \cdot \frac{q}{\pi} \cdot U_2 \sin \frac{\pi}{q}$  Volt.

$$U_{di} : 2 \cdot \sqrt{2} \cdot \frac{3}{\pi} \cdot 47,5 \cdot \sin \frac{\pi}{3}$$

$$U_{di} : III,I \text{ volt.}$$

2.  $U_d : U_{di} - 2 \cdot U_D$

$$U_d : III,I - 2 \cdot 1,55 : 108 \text{ Volt.}$$

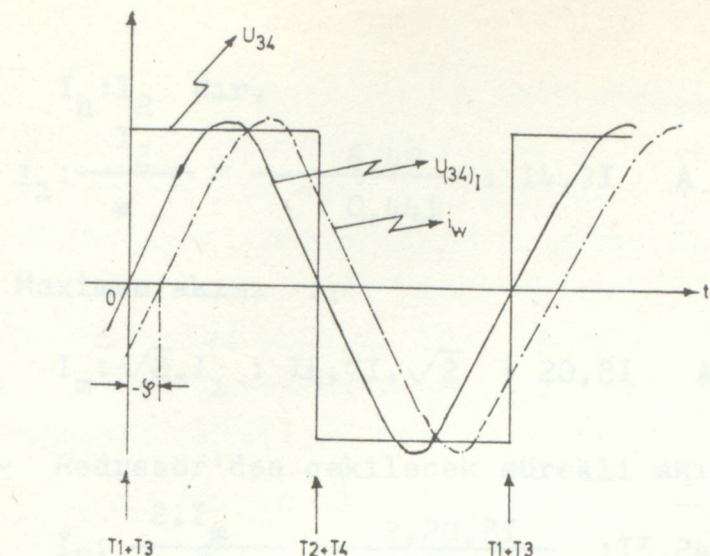
$U_d$  gerilimi inverter güç devresine uygulanacak gerilim değeri olacaktır.

VIII-I-4- İNVERTER GÜÇ DEVRESİ :

Şekil : I'de görülen devrenin komütasyon elemanlarını, komütasyon zamanlarını ve akımını, nasıl bulduğunu gördükten sonra, seçilen elemanların kontrolü yapılacaktır.

I- Komütasyon Türü :

Motorumuz endüktif bir yük olduğundan  $\varphi$  açısı daima (-) kalacaktır.  $\alpha < 0$  durumunda sistemi ele almak zorunda olduğu muzdan,  $\varphi + \alpha < 0$  bağıntısı ortaya çıkacaktır. Şekil:4'den anlaşılacağı gibi triistörlerden geçmekte olan akımı, komütasyonla diyonlar üzerine alacaktır.



Şekil : 4

O halde her zaman (-) akımda komütasyon söz konusu olacaktır. Bu durumda (-) akımda komütasyon bağıntılarından faydalana- çağız.

2- İnverter devresinde kullandığımız transformatörün dö- nüştürme oranı :

$U_{34}$  geriliminin bir kare dalga şeklinde olduğu  $U_{34}$  şékil: 4'den görülmektedir. Şayet Fourier analizinden temel bileşen hesaplanacak olursa :

$$(U_{34})_I : 0,9 \cdot U_d \text{ olduğu görülecektir.}$$

$$U_1 : (U_{34})_I : 0,9 \cdot I_{08} : 97,2 \text{ Volt.}$$

Cıkış yük gerilimi :  $U_2 : 220$  volt olmalıdır.

$$a : \frac{U_1}{U_2} : \frac{97,2}{220} : 0,44I \text{ olur.}$$

İnverter güç devresinde kullanılması gereken transfor- matör gerilim yükseltici tipinde olmalıdır.

3- Yük Akımı :

$$I_n : \frac{P_n}{U_n \cdot \cos \varphi} \cdot \frac{1000}{220 \cdot 0,7} : 6,5 \text{ A. Sürekli motor akı- midır,}$$

4- Primer'den çekilecek akım :

Yük akımı aynı zamanda trafonun sekonder sargısından geçecek akımdır. Yani :

$I_n : I_2$  dır.

$$I_1 : \frac{I_2}{a} = \frac{6,49}{0,441} : 14,71 \text{ A}$$

Maximum akımı :

$$I_m : \sqrt{2} \cdot I_1 : 14,71 \cdot \sqrt{2} : 20,81 \text{ A}$$

5- Redresör'den çekilecek sürekli akım :

$$I_E : \frac{2 \cdot I_m}{\pi} : \frac{2 \cdot 20,81}{\pi} : 13,24 \text{ A.}$$

Besleme traformatöründe sekonder sargasında çekilebilecek maximum akım :

$I_2 : 30,38 \text{ A}$  olduğundan yük akımından etkilenmez.

6- Komütasyon anındaki akım :

$$(i_w)_{+\infty} : (i_w)^{-\infty} : (i_w)_0 : i_w$$

$$i_w : I_m \cdot \text{Siny} : 20,81 \cdot \sin 45,5^\circ$$

$$i_w : 14,86 \text{ A.}$$

7- Komütasyon Elemanlarının Hesabı :

Komütasyon elemanlarının hesabı iki yoldan yapılmaktadır.

a- Direk L ve C belli ölçüler çerçevesi altında seçilebilir. Seçilen bu değerlere karşılık  $t_q$  (Tristör serbest kalma zamanı) süresi tayin edilir. Buradan tristör tipinin seçimine gidilebilir.

b- Tristörü yük akımına bağlı olarak önceden seçeriz. Burada ki  $t_{off}$  süresine yaklaşık bir  $\Delta t$  süresi eklenerek  $t_q$  süresi tespit edilir.  $t_q$  süresine bağlı olarak L ve C komütasyon elemanlarının seçimine gidilecektir. Seçeceğimiz tristörün mümkün mertebe inverter tristörü olmasında büyük yarar vardır. Inverter tristörlerinde  $t_q$  süresi oldukça küçüktür.

İkinci yönteme göre L ve C komütasyon elemanlarının değerlerini bulmaya çalışalım. Bölüm III-I'de yarım köprü inverter devresinde izah edildiği gibi L ve C değerleri tayin edilecektir. Yarım köprü inverter devresi ile Tam köprü inverter devresinde yapılacak hesaplar arasında pek büyük farklılıklar yoktur. Aynı ifadeler burada'da geçerlidir.

T35 N tristörünün özelliklerine göre,  $t_{off}: 60 \sim 120 \mu s$ n arasında değerleri mevcut olduğu görülmektedir.

$t_{off}: 60 \mu s$ n olduğunu farz edelim.

$t_q:t_{off} \quad t : 60 + 20:80 \mu s$ n alınır .

Dizayn denemesinde (X) katsayısi :

$I < X < 3$  arasında bir seçim yapılmaktadır. Bunun amacı kompüter denemesi ile en uygun değerine karşılık gelen L ve C değerini tespit etmektir.

X:2,5 olduğunu farz edelim.

$$L_c: \frac{U_d \cdot t_q}{X \cdot G(x) \cdot I_w}, C: \frac{X \cdot I_w \cdot t_q}{2 \cdot G(x) \cdot U_d}$$

$$G(x): \cos^{-1} C - t_q^{-1} D$$

$$C: \frac{X}{2\sqrt{X^2 + 4}} \quad : D: \frac{2}{X} \quad \text{bağıntıları mevcuttu.}$$

Bu durumda :

$$D: \frac{2}{2,5} : 0,8$$

$$C: \frac{2,5}{2\sqrt{2,5^2 + 4}} : 0,39$$

$$G(x): \cos^{-1} 0,39 - \tan^{-1} 0,8 : 67^\circ - 38,65^\circ : 28,35^\circ$$

$$G(x): 0,49 \text{ rd.}$$

$$L_c: \frac{108 \cdot 80 \cdot 10^{-6}}{2,5 \cdot 0,49 \cdot 14,86} : 474 \mu H$$

$$C: \frac{2,5 \cdot 14,86 \cdot 30 \cdot 10^{-6}}{2,0,49 \cdot 10^8} : 28 \mu F$$

$$L_1:L_2:L_3:L_4:L_c : 470 \mu H.$$

$$C_1:C_2:C_3:C_4:C : 30 \mu F \text{ ve}$$

$L_z: 10 \mu H$  olarak seçmek mümkündür.

$L_z$ : Kaçak endüktivite'dir.

$$W_r: \frac{I}{[2L_c \cdot C]^{1/2}} : \frac{I}{[2 \cdot 470 \cdot 10^{-6} \cdot 30 \cdot 10^{-6}]^{1/2}}$$

$$W_r: 5955 \text{ rd/sn.}$$

$$G(x) : W_r \cdot t_q : 5955 \cdot 80 \cdot 10^{-6} = 0,47 \text{ olur.}$$

Buradan şu çıkarılmalıdır. X değerini ufak artımlar halinde artıracak olursak  $L_c$  ve C değerlerinin en yakın sabit değerleri tespit edilir. Veya en uygun x değerine karşı gelen  $L_c$  ve C değerleri seçilir.

8- Komütasyon zamanlarının tayini :

a) 1. Kademe süresi :

$$t_A: 2 \cdot L_z \cdot \frac{i_w}{U_d} : 2 \cdot 10 \cdot 10^{-6} \cdot \frac{14,86}{108}$$

$$t_A: 2,75 \mu sn.$$

b) 2. kademe süresi :

$$t_K: \frac{I}{W_r} \cdot \operatorname{Arctg} \left( \frac{2 \cdot U_d}{L_c \cdot W_r \cdot i_w} \right)$$

$$t_K: \frac{I}{5955} \cdot \operatorname{Arctg} \left( \frac{2 \cdot 108}{470 \cdot 10^{-6} \cdot 5955 \cdot 14,86} \right)$$

$$t_K: 232 \mu sn.$$

Komütasyon anındaki maximum tepe akımı :

$$(i_{T_1})_K: i_w + \frac{\frac{U_d}{Lc \cdot Wr} * \sin(w_r t_K) - 2 \cdot i_w \cdot \cos(w_r t_K)}{4}$$

$$(i_{T_1})_K: 14,86 + \frac{\frac{108}{470 \cdot 10^{-6} \cdot 5955} * \sin(5955 \cdot 232 \cdot 10^{-6}) - 2 \cdot 14,86 \cdot \cos(5955 \cdot 232 \cdot 10^{-6})}{4}$$

$$(i_{T_1})_K: 160,86 \text{ A.}$$

c) 3.Kademe süresi :

$$t_E: \frac{L_c}{4R} \cdot \ln \frac{(i_{T_1})_K \cdot R + \Delta U}{\Delta U}$$

$\Delta U: 20$  volt ve  $R: 200 \text{ m}\Omega$  alınırsa :

$$t_E: \frac{470 \cdot 10^{-6}}{4 \cdot 200 \cdot 10^{-3}} \cdot \ln \frac{160,86 \cdot 200 \cdot 10^{-3} + 20}{20}$$

$$t_E: 563 \text{ sn.}$$

d) Toplam komütasyon süresi :

$$t_{TK}: t_A + t_K + t_E$$

$$t_{TK}: 2,75 + 232 + 563 : 797,75 \mu\text{sn.}$$

Tristörlerin iletişim dışında kalan zamanda diyotlardan geçen akımın maximum süresi bu olacaktır. Görüldüğü gibi bu değerde oldukça çok kısa olmaktadır.

9- İnverter güç devresindeki Transformatörün hesabı :

Yükün Gücü :  $P_n: 1000 \text{ W.}$

$$S: \frac{P_n}{\cos \varphi} : \frac{1000}{0,7} : 1428 \text{ VA.}$$

Transformatörde oluşacak kayıplar ve sistemin verimi daha yüksek olması yönünden ötürü :

S: 2000 VA almalıyız.

a) 2000 VA transformatörün 50 Hz.deki bakır ve demir kayıpları.

$$P_{cu} : 76 \text{ watt}, \quad P_{fe} : 36 \text{ volt.}$$

$$\text{b) Kayıplar oranı : } \xi : \frac{P_{cu}}{P_{fe}} = \frac{76}{36} = 2, \text{II}$$

c) Kendi kendine soğuyan transformatörlerde akım yoğunluğu

$$S: 2 \text{ A/mm}^2 \quad (\text{Cetvel:7})$$

$$P_{cu}: 2,7 \cdot S^2 : 2,7 \cdot 2^2 : 10,8 \text{ w/kg.}$$

$$P_{fe}: \pi p_{10} \cdot \left( \frac{B}{10000} \right)^2 \quad \xi: 1,15 \text{ ve } p_{10}: 1,7 \text{ w/kg.}$$

$$P_{fe}: 1,15 \cdot 1,7 \cdot \left( \frac{10.000}{10.000} \right)^2 : 1,955 \text{ w/kg.}$$

d) Demir Gövde kesiti :

$$q_{fe}: C \cdot \sqrt{\frac{S}{f \cdot S.B.} \cdot \frac{P_{cu}}{P_{fe}}} \cdot 10^9$$

$$q_{fe}: 0,85 \cdot \sqrt{\frac{2}{50 \cdot 2 \cdot 10.000 \cdot 2, \text{II}}} \cdot \frac{10,8}{1,955} \cdot 10^9$$

$$q_{fe}: 61,5 \text{ cm}^2$$

e) Çekirdek kesitinden geçen toplam akı :

$$\emptyset: q_{fe}: 10.000.61,5: 615.000 \text{ Maxwell.}$$

f) Sekonder iletken kesiti :

$$I_2: \frac{S}{U_n} : \frac{2000}{220} : 9,09 \text{ Amp.}$$

g) Sekonder iletken kesiti ve çapı :

$$S_2 : \frac{I_2}{S} : \frac{9,09}{2} : 4,54 \text{ mm}^2$$

$$d_2 : 2\sqrt{\frac{S_2}{\pi}} : 2\sqrt{\frac{4,54}{\pi}} : 2,4 \text{ mm. Emaye bakır tel.}$$

h) Sekonder spir Sayısı :

$$W_2 : \frac{U_2}{4,44 \cdot f \cdot \emptyset \cdot 10^{-8}} : \frac{220}{4,44 \cdot 50,615 \cdot 10^{-8}}$$

k) Primer akımı :

$$I_1 : \frac{S}{V_1} : \frac{2000}{108} : 18,5 \text{ A.}$$

l) Primer iletken kesiti ve çapı :

$$S_1 : \frac{I_1}{S} : \frac{18,5}{2} : 9,25 \text{ mm}^2$$

$$d_1 : 2\sqrt{\frac{S_1}{\pi}} : 2\sqrt{\frac{9,25}{\pi}} : 3,43 \text{ mm. Emaye bakır tel.}$$

m) Primer sargı sayısı :

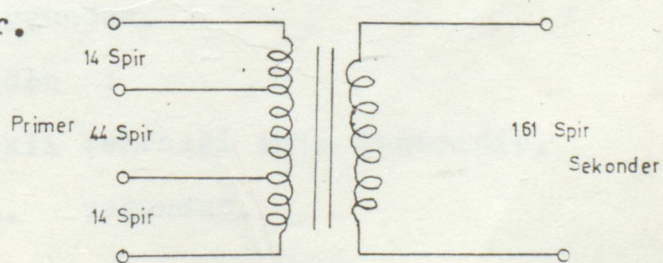
$$W_1 : \frac{U_1}{4,44 \cdot f \cdot 10^{-8} \emptyset} : \frac{97,2}{4,44 \cdot 50,615 \cdot 10^{-8}}$$

$$W_1 : 72 \text{ spir.}$$

$\Delta U : 20$  volt. gerilimini elde etmek için çıkarılması gereken ucun kaçinci spir sayısında olduğunu bulalım.

$$W'_1 : \frac{U}{4,44 \cdot f \cdot \emptyset \cdot 10^{-8}} : \frac{20}{4,44 \cdot 50,615 \cdot 10^{-8}}$$

$$W'_1 : 14 \text{ spir. olur.}$$



n) Pencere boyutları hesabı :

Bacak yüksekliği :

$$L_s : \frac{2 \cdot W_1 \cdot I_1}{A_s} : \frac{2.72.18,5}{100}$$

$$L_s : 26,64 \text{ cm.}$$

Pencere yüksekliği :

$$\text{Çekirdek tipi için : } a : \frac{4 \cdot W_1 \cdot S_1}{100 \cdot k_{cu} \cdot L_s} : \frac{4.72.9,25}{100.0,12.26,64}$$
$$a = 8,33 \text{ cm.}$$

$$\text{Mantel tipi için : } a : 4,16 \text{ cm.}$$

IO- Diyotların Kontrolu :

Diyotlar herhangi bir arıza'da dolu kalmış bir kondansatör üzerinden şebekeye bağlanarak şebeke geriliminin 2 katı bir gerilime maruz kalabilir. O halde :

Diyot gerilimi  $\geq 2 \cdot U_d$  olmalıdır.

Ayrıca üzerinden geçecek akımların yük akımlarına göre seçilmesi gerekmektedir. Bunda gerek Redresör devresinde ve gerekse inverter güç devresinde D42 Silicum diyotları kullanılmıştır.

D42'nin başlıca Özellikleri :

$U_{RRM} : 700 \text{ v.}$ ,  $I_{TAV} : 42 \text{ A}$ ,  $I_{TEV} : 65 \text{ A}$

$I_{FRM} : 1100 \text{ A}$  ve  $I_N : 20 \text{ A}$ .

a)  $U_{RRM} > 2 \cdot U_d$

$$700 > 2 \cdot 108$$

700 > 216 volt uygundur.

b) Redresör köprüsünden :

$I_E : 13,24 \text{ A}$ . sürekli çekerceği akım değeridir.

$I_N : 20 \text{ A} > 13,24 \text{ A}$ . uygundur.

c) İnverter güç devresinden :

$i_w$ :  $I_{4,86}$  A. Komütasyonda çekilecek akım değeridir.

$20 \text{ A} > I_{4,86}$  A. uygundur.

d) İnverter güç devresinden :

$(i_{T_1})_K$ :  $I_{60,86}$  A. Komütasyonda maximum tepe akımıdır.

$I_{100} > I_{60,86}$  A. uygundur.

D42 Silicum güç diyodu kullanılabilir.

Reaktif enerjinin geri dönüşü için kullanılan diyon tipi BYY 56 olmalıdır. Bunun hesabı ilerde yapılmıştır.

II. Tristörlerin kontrolu :

T35 N tristör tipi kullanılacaktır.

Bazı karakteristik değerleri şöyledir.

$U_{DRM}, U_{RRM}$ : 600 V.

$I_{TEF}$ : 80 A.

$I_{TAV}$ : 51 A. -  $t_c: 67^\circ\text{C}$

$I_{TAV}$ : 35 A. -  $t_c: 85^\circ\text{C}$

$I_{TRM}$ : 470 A - Tristör tepe akımı

$(di/dt)_{krt}$ :  $120 \text{ A}/\mu\text{sn}$ .

$(dU/dt)_{krt}$ :  $50 \text{ V}/\mu\text{sn}$

$U_{To}$ : 1 volt.  $U_{GT}$ :  $I,4$  V  $I_H$ : 200 mA

$r_T$ : 6,8 m $\Omega$   $I_{GT}$ : 120 mA

$t_{off}$ :  $60\mu\text{sn}$ .

$R_{thjc}$ :  $0,72^\circ\text{C}/\text{W}$

$R_{thca}$ :  $I,4^\circ\text{C}/\text{W}$  (KL 42 C soğutucusu ile birlikte)

$O_A: 45^\circ C$

İşletme Sıcaklığı :  $-55^\circ \div 150^\circ C$

a) (+) ve (-) kapama gerilimleri :

$$U_{DRM}, U_{RRM} \geq 2 \cdot U_d$$

$600 V > 2 \cdot 108 : 216$  volt. uygundur.

$U_{DRM}$ : Peryodik pozitif kapama gerilimi tepe değeri.

$U_{RRM}$ : Peryodik negatif kapama gerilimi tepe değeri.

b) Tristörün serbest kalma zamanı :

$$t_q : t_f > t_{off} \text{ olmalıdır.}$$

$80 \text{ sn} > 60 \text{ sn}$  uygundur.

c) Gerilim Yükselme Hızı :

(-) akımda komütasyon durumunda :

$$\left( \frac{dU}{dt} \right)_{KRT} \geq \left( \frac{dU_{92}}{dt} \right)_{t:t_f} : 2 \cdot W_r \cdot U_d \cdot \frac{\sin(W_r t) - i_w \cdot W_r^2 \cdot L_c}{\cos(W_r t)}$$
$$t:t_K$$

I-  $t:t_f: 80 \mu\text{sn}$  için :

$$\left( \frac{dU_{92}}{dt} \right)_{t:t_f} : 2.5955 \cdot 108 \cdot \frac{\sin(5955 \cdot 80 \cdot 10^{-6}) - (-14,86)}{5955^2 \cdot 470 \cdot 10^{-6}}$$

$: 589866,15 \cdot 220107 : 809973 \text{ V/Sn.}$

$$\left( \frac{dU_{92}}{dt} \right)_{t:t_f} : 0,8 \text{ V/} \mu\text{sn}$$

$50 \text{ V/} \mu\text{sn} > 0,8 \text{ V/} \mu\text{sn}$  uygundur.

2-  $t:t_K$ :  $232 \mu\text{sn}$  iken :

$$\left( \frac{dU_{92}}{dt} \right)_{t:t_K} : 2.5955.108.\sin(5955.232.10^{-6}) - (-14,86). \\ 5955^2 \cdot 470.10^{-6} \cdot \cos(5955.232.10^{-6})$$

$$\left( \frac{dU_{92}}{dt} \right)_{t:t_K} : 1309938 \text{ V/sn} : 1,3 \text{ V/} \mu\text{sn}.$$

$50 \text{ V/} \mu\text{sn} > 1,3 \text{ V/} \mu\text{sn}$  uygundur.

d) Akım Yükselme Hızı :

$$\left( \frac{di}{dt} \right)_{\text{krt}} \geq \left( \frac{di_A}{dt} \right)_{\text{max}} \text{ olmalıdır.}$$

(-) Akım komütasyonda :

$$\left( \frac{di_A}{dt} \right)_{\text{max}} : \frac{U_d}{2L_z}$$

$$\left( \frac{di_A}{dt} \right)_{\text{max}} : \frac{208}{2 \cdot 10} : 5,4 \text{ A/} \mu\text{sn}$$

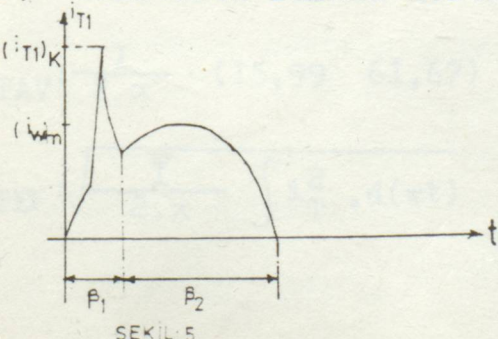
$120 \text{ A/} \mu\text{sn} > 5,4 \text{ A/} \mu\text{sn}$  uygundur.

e) Tepe Akımı Kontrolunda :

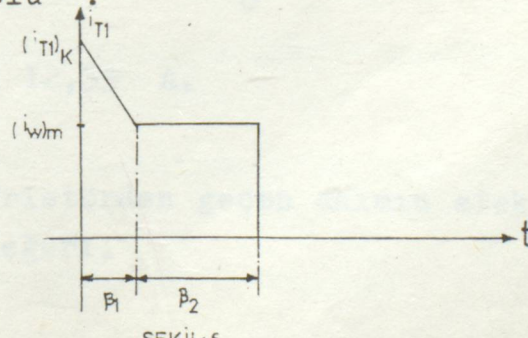
$$I_{\text{TRM}} \geq (i_{T_1})_K \text{ olmalıdır.}$$

$470 > 160.8 \text{ A}$  uygundur.

f) Tristörün ısınma kontrolü :



ŞEKİL 5



ŞEKİL 6

Benzer şekilde yaklaşımından giderek tristörün çalışma durumundaki sıcaklığını tayin edelim.

$\beta_1$  aralığında :

$$I_{T1} : (i_{T1})_K - \frac{(i_{T1})_K - (i_w)_{\max}}{\beta_1} \cdot wt$$

$\beta_2$  aralığında :

$$i_{T2} : (i_w)_{\max} \text{ olur.}$$

$$\beta_1 : t_E \cdot W$$

$$\beta_1 : 563,2 \cdot 50 : 0, I76 \text{ rd} : 10, I3^\circ$$

$$\beta_2 : \pi - \beta_1 : \pi - 0, I76$$

$$\beta_2 : 2,964 \text{ rd} : 169,86^\circ$$

$$i_{T1} : I60,86 - \frac{I60,86 - 2,14,71}{0, I76} \cdot wt$$

$$i_{T1} : I60,86 - 795,77 \cdot wt \quad A$$

$$i_{T2} : 20,80 \quad A.$$

$I_{TAV} : \frac{I}{2\pi} \cdot \int i_T \cdot d(wt)$  Tristörden geçen akımın aritmetiksel ortalaması.

$$I_{TAV} : \frac{I}{2\pi} \cdot \left[ \int_0^{\beta_1} (I60,86 - 795,77 \cdot wt) d(wt) + \int_{\beta_1}^{\pi} 20,80 \cdot d(wt) \right]$$

$$I_{TAV} : \frac{I}{2\pi} \cdot \left[ \frac{|I60,86 wt - 795,77 \cdot (wt)|^2}{2} \Big|_0^{0, I76} + \left[ 20,80 \cdot wt \right] \Big|_0^{\pi} \right]$$

$$I_{TAV} : \frac{I}{2\pi} \cdot (I5,99 - 61,67) : 12,35 \quad A.$$

$I_{TEF} : \sqrt{\frac{I}{2\pi} \cdot \int i_T^2 \cdot d(wt)}$  Tristörden geçen akımın efektif değeri.

$$I_{TEF}^2 : \frac{I}{2\pi} \cdot [ \int_0^{B_1} (160,86 - 795,77 \text{ wt})^2 \cdot d(\text{wt}) + \int_{B_1}^{\pi} (20,8 \cdot \text{wt})^2 d(\text{wt}) ]$$

$$I_{TEF}^2 : \frac{I}{2\pi} \cdot [ 25875,94 \text{ wt} - \frac{2560 I_2}{2} \cdot (\text{wt})^2 + \frac{633249,89}{3} \cdot (\text{wt})^3 ] \Big|_{0, I_2}$$
$$+ 432,64 \Big|_{0, I_2}$$

$$I_{TEF}^2 : \frac{I}{2\pi} (I_2 + I_3) : 48 I, I \text{ A}^2$$

Tristörün geçirme kayıp gücü :

$$P_T : U_{To} \cdot I_{TAV} + r_T I_{TEV}^2$$

P : P<sub>T</sub> alınarak :

$\theta_{vj} : \theta_A + P \cdot (R_{ThcA} + R_{Thjc})$  çalışma sıcaklığı . bulunur.

$\theta_{vj} \geqslant$  İşletme sıcaklığı olmalıdır.

$$P_T : P : I \cdot I_2,32 + 48 I \cdot 6,8 \cdot 10^{-3}$$

$$P : I 5,59 \text{ w.}$$

$$\theta_{vj} : 45^\circ + 15,59 \cdot (0,72 + I,4)$$

$$\theta_{vj} : 78^\circ C$$

$78^\circ C > 150^\circ C$  uygundur.

Sonuç olarak seçilen tristör ve diyonlar bu devre'de kullanılabilir.

I2- Reaktif enerjinin geri dönüşünü sağlayan selflerin seçimi :

Enerji düzenleyen devre transformatörlerinin sargılarının akım değerleri.

D<sub>11</sub>, D<sub>22</sub>, D<sub>33</sub>, D<sub>44</sub> diodlarından saptanabilir.

$$I_{DR} : \frac{n}{n+1} \cdot I_{QR}$$

(Bölüm.III.I-Denklem:98)

n: Enerji düzenleyen transformatörün dönüştürme oranı.

$$I_{QR} : I_1 : 14,7I \text{ A.}$$

n, dönüştürme oranını aslında deneme yoluyla bulunur.

n:0, I olduğunu farz edelim.

$$I_{DR} : \frac{0,1}{0,1+1} \cdot 14,7I : 1,33 \text{ A.}$$

Seçilecek bu akıma bağlı oralak selfin değeri mH mertebesinde olmalıdır. Diyot tipi ise BYY 57 tipi olacaktır.

$$L_{E7} : L_{E4} : L_{E11} : L_{E1} \text{ bağıntısı mevcuttur.}$$

Belirlenen tüm bu hesaplamaların neticeleri altında güç devresinin tüm elemanları bulunur. İnverter güç devresi bu elemanlarla teşkil edilebilir.

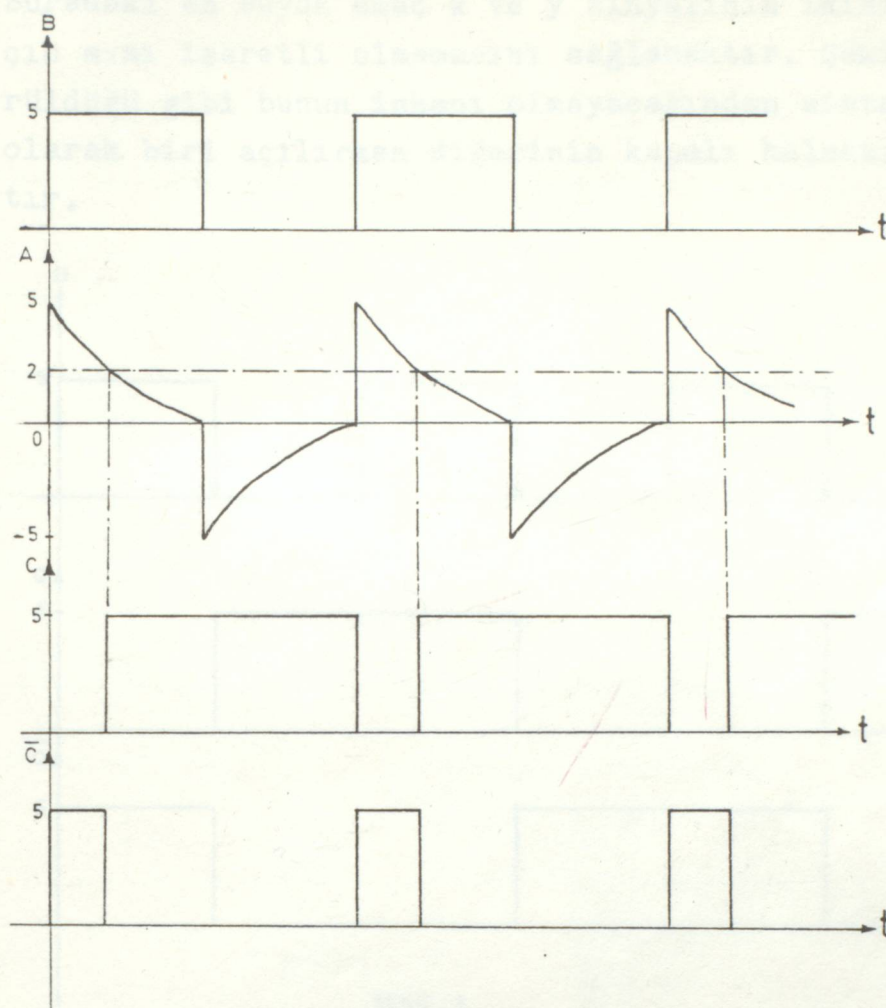
#### VIII-I-5- TETİKLEME DEVRESİNİN ANALİZİ :

Şekil:3'de görüldüğü gibi oluşturulan devre şemasının nasıl çalıştığını izah edelim,

I- Bu bölüm frekans osilatörü görevini gerçekleştirmektedir. 1k 'lik direncin değişimine bağlı olarak (B) çıkışının peryodu değiştirilebilmektedir.

2- 7413 schmitttrigger'in buradaki görevi iki sınır arasında çalışma aralığını belirlemesidir. (B) işaretinin sınırlı mevcut işaretinde (A) sinyalinin azalmış belirli sınırlardan sonra çıkış alınabilir. Yani (B) mevcut iken (A)'nın 2 Volt gibi bir değere düşmesinden sonra (schmitt trigger tarafından bu işaret sıfır gibi algılanır.) (c) çıkışından bir sinyal alınır.

(A) sinyalinin 2 voltu tekrar geçmesine dek bu devam eder. (C) ise (c) sinyalinin mevcut olmadığı durumlarda sinyal çıkışlı üretecektir.



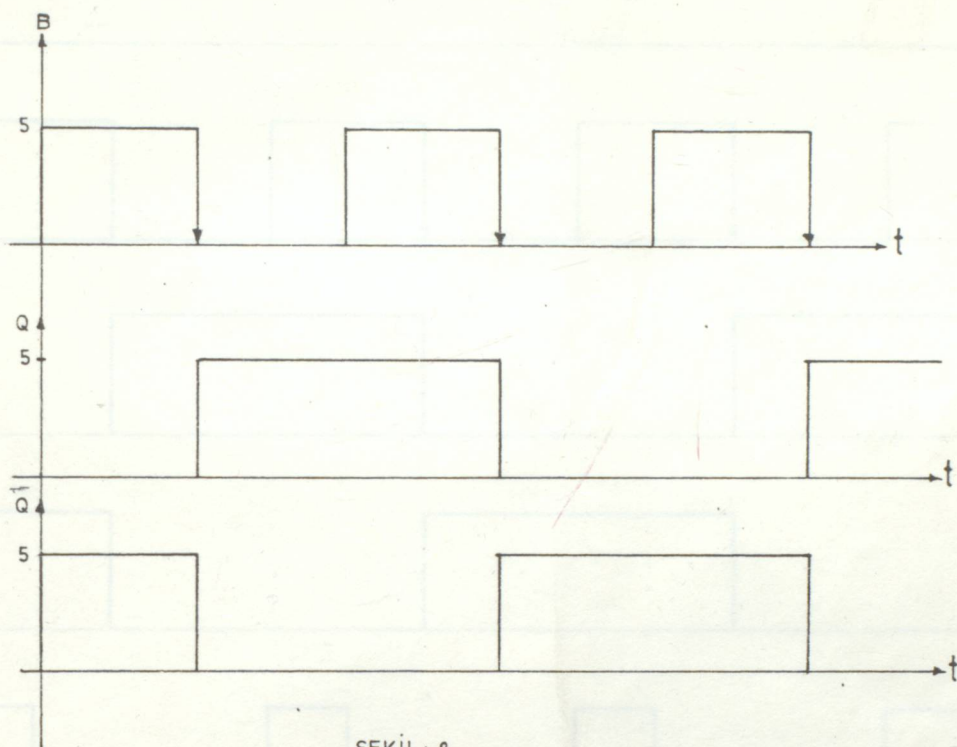
ŞEKİL: 7

3- JK Fliplop'un buradaki görevi clock girişi sıfıra düşerken ( $Q$ ) ve ( $\bar{Q}$ ) sinyalleri konum değiştirmektedir. Yani ( $B$ ) sinyali sıfıra düşerken ( $Q$ ) sinyali ( $I$ ) ise ( $o$ ) olacak, ( $\bar{Q}$ ) ise tam bunun zıt durumuna geçecektir.

Dikkat edilirse ( $B$ ) sinyalinin  $2 \times$  peryoduna karşılık ( $Q$ ) ve ( $\bar{Q}$ ) sinyalinde  $\times$  peryoduna tekabül etmektedir.

4- 7400 Nand kapıları burada tristörlerin tetiklenmesini sağlayan devreyi oluşturmaktadır. X ve y çıkışları şayet ( $I$ ) ise transistörler iletme geçemez. Fakat ( $o$ ) ise transistörler iletme geçeceğiinden tristörlerde iletme geçeceklerdir.

Buradaki en büyük amaç x ve y sinyalinin ikisindeki çıkışın aynı işaretli olmamasını sağlamaktır. Şekil:9'dan görüldüğü gibi bunun inkani olmayacağından sistem peryodik olarak biri açılırken diğerinin kapalı kalmasını sağlamak tır.



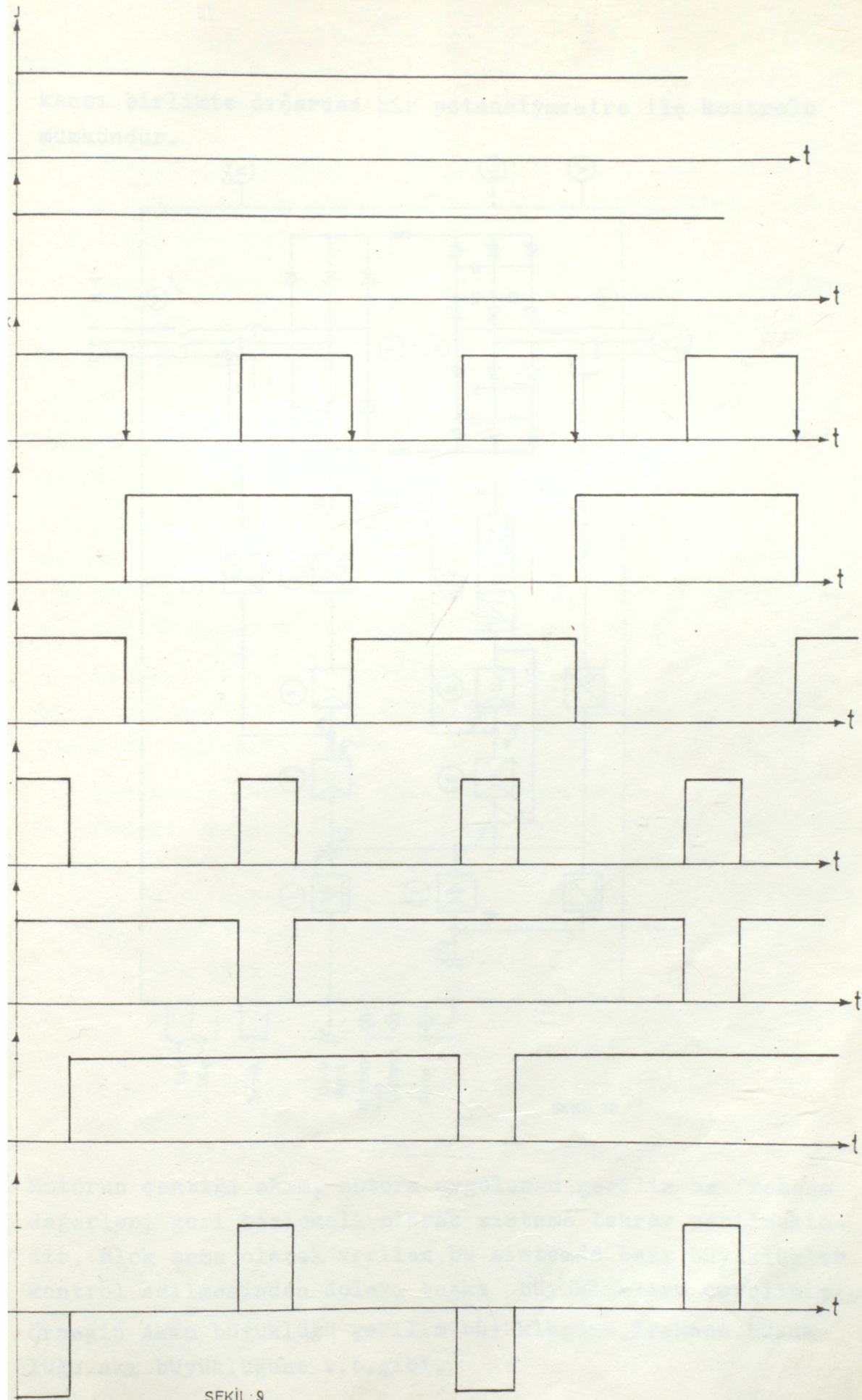
SEKİL: 8

Tetikleme trafosu veya bu sisteme paralel iki transistör bağlayarak iki çıkış elde etmek mümkündür. İkişer çıkışlar tristörlere verilerek ilk yarı peryotta  $v_1$  ve  $v_3$  ünitelerinin, yarım peryot sonra  $v_2$  ve  $v_4$  ünitelerinin iletme geçirilmesi sağlanır.

Sistemin hızı ayar edilmesi istendiğinde  $I$  k 'lık dirençin değişimine bağlı olarak variak'ın gerilimini'de değiştirmemiz gerekecektir. Böylelikle sistemin kontrolunu gerçekleştirmiş oluruz.

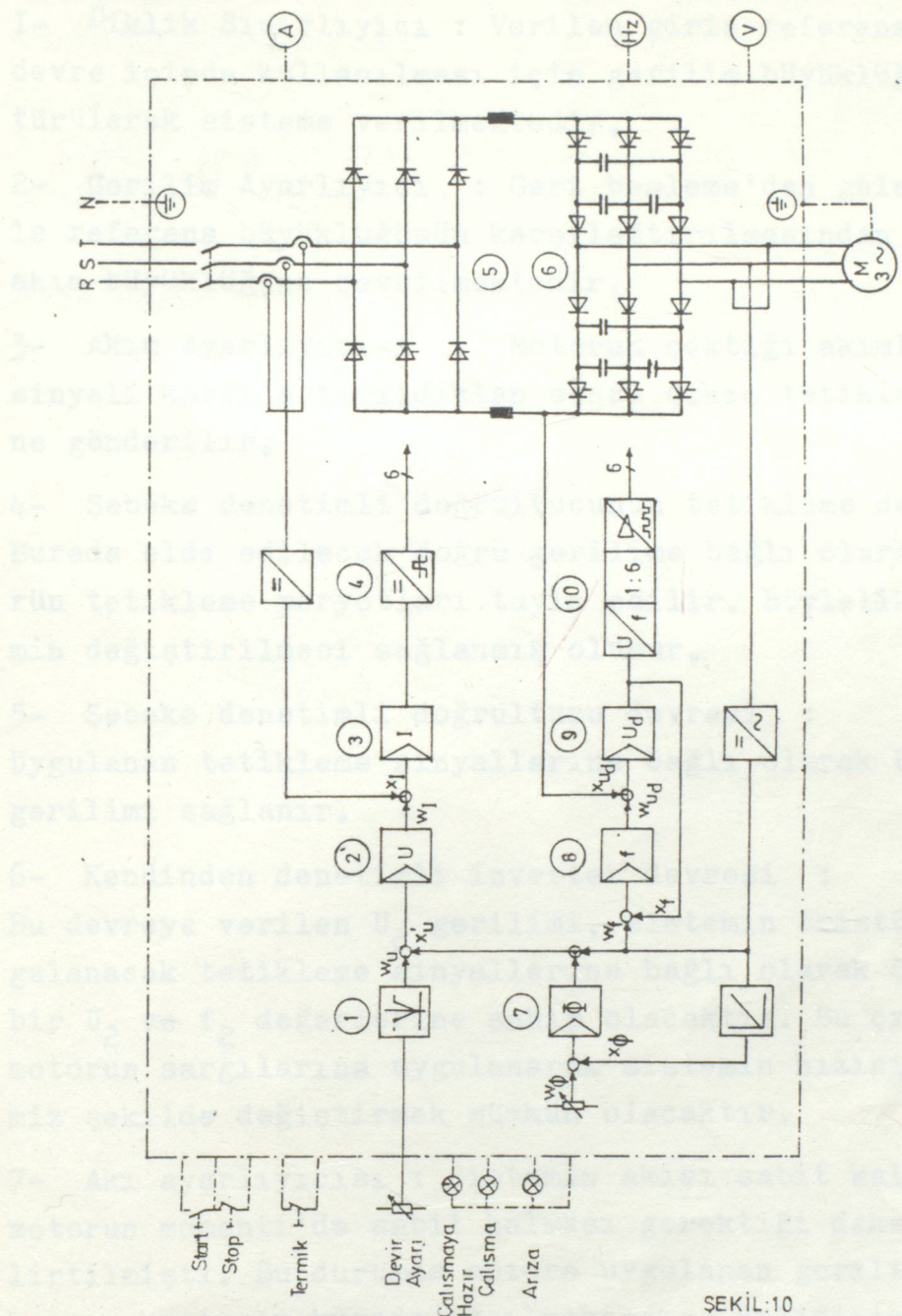
#### VIII-2- TAM KONTROLLÜ 3 FAZLI ASENKRON MOTORUN DEVİR SAYISI AYARI :

Şekil:10'da görülen sistem akım zorlamalı kendinden denetimli bir inverter devresinin gerilimi ve fre-



SEKİL: 9

kansı birlikte dışardan bir potansiyometre ile kontrolü mümkünündür.



SEKİL:10

Motorun çektiği akım, motora uygulanan gerilim ve frekans değerleri geri beslemeli olarak sisteme tekrar verilmektedir. Blok şema olarak verilen bu sistemde bazı büyüklükler kontrol edilmesinden dolayı başka büyüklüklerne çevrilmiştir. Örneğin Akım büyüğünü gerilim büyüğünə, frekans büyüğü akı büyüğünə v.b.gibi.

Blok şemadaki ünitelerin özetini kısaca yapmaya çalışalım.

1- Diklik Sınırlıycı : Verilen giriş referans sinyalinin devre içinde kullanılması için gerilim büyüklüğüne dönüştürüülerek sisteme verilmektedir.

2- Gerilim Ayarlıycı : Geri besleme'den gelen büyüklükle referans büyüklüğünün karşılaştırılmasından sonra çıkış akım büyüklüğüne çevrilmektedir.

3- Akım Ayarlıycısı : Motorun çektiği akımla bu çıkış sinyali karşılaştırıldıktan sonra çıkış tetikleme devresine gönderilir,

4- Şebeke denetimli doğrultucunun tetikleme devresi : Burada elde edilecek doğru gerilime bağlı olarak 6 tristörün tetikleme peryotları tayin edilir. Böylelikle gerilimin değiştirilmesi sağlanmış olunur.

5- Şebeke denetimli doğrultucu devresi : Uygulanan tetikleme sinyallerine bağlı olarak  $U_d$  çıkış gerilimi sağlanır.

6- Kendinden denetimli inverter devresi : Bu devreye verilen  $U_d$  gerilimi, sistemin tristörlerine uygulanacak tetikleme sinyallerine bağlı olarak çıkış farklı bir  $U_2$  ve  $f_2$  değerlerine sahip olacaktır. Bu çıkış 3 fazlı motorun sargılarına uygulanarak sistemin hızını istediğimiz şekilde değiştirmek mümkün olacaktır.

7- Akı ayarlıycısı : Sistemin akışı sabit kaldığı sürece motorun momenti'de sabit kalması gereği daha evlde belirtilmişti. Bu durumda motora uygulanan gerilim ve frekansın kontrolu burada yapılmaktadır. Belirlenen çıkış sinyalleri geriliminin ve frekansın olacağı değerleri vermektedir. Akı büyüklüğü gerilim büyüklüğüne dönüştürülerek I nolu üniteye gönderilmektedir.

8- Frekans ayarlıycısı : Aynı zamanda frekans büyüklüğünü gerilim büyüklüğüne dönüştürülerek  $U_d$  gerilimi ile karşılaştırılmaktadır.

9- Gerilim ayarlayıcısı : Gerilim büyüklüğü olarak çıkış yapacak bu sinyal artık inverter devresinin tetikleme devresine gönderilmektedir.

10- Kendinden denetimli doğrultucunun tetikleme devresi : 6 Tristörün gerektiği peryotta tetiklenmesini sağlayan sinyalleri üretmektedir.

Böylelikle sistemin tam kontrollü olduğu anlaşılmaktadır. Motorun gerek çekteceği akım ve gereksé istenilen devir sayısı rahat bir şekilde kontrolü mümkün olmaktadır.

S O N U Ç :

Asenkron motor devir sayısı ayarında gerilim ve frekansının değiştirilmesi olayının ne denli gerekliliği izah edilmeye çalışıldı. Bu motorlarda frekans ve gerilimin değiştirip, uygulanması mümkün olduğunca anlaşılmış olmaktadır.

İnverterler aracılığıyla yapılan devir ayarı diğer tüm yöntemlerden daha basit olduğu kadar daha ekonomiktir. Devir sayısı ayarında aranılan, motorun değişik hızlarda karakteristiklerinin mümkün olduğu kadar nominal değerlerini muhafaza etmesidir. Bunun sağlanması halinde makinanın verimi son derece yüksek olacaktır. Yapılan teorik incelemelerin ışığı altında aşağıdaki sonuçlar ortaya çıkmıştır.

1. İnverterler'de randıman, sinüsoidal gerilim üreten döner alanlı sistemlere mukayese ile daha yüksektir.
2. İnverterler daha az yer kopları, işletme ve ilk yatırımları açısından daha ucuzdur.
3. Bir doğrultucuya birden fazla eviriciyi paralel bağlamak mümkün olduğu için evirici sayısı kadar asenkron motorun sürekli devir sayısı ayarını yapmak mümkündür.
4. Asenkron motorların devir sayısı ayarının  $\% 0,1$  hassasiyetle yapılması mümkündür.
5. Evirici ile devir sayısının değiştirildikten sonra arzu edilen değere gelmesi için geçen süre yalnız motorun rotoru ve iş makinasının toplam ataletine bağlıdır. Halbuki döner alanlı makinalarda, frekans öreticisi ve tahrik makinasının ataletlerinin toplamı daha büyük olacağından, geçecek olan süre daha uzun olacaktır.
6. Frekans küçüldükçe dalganın ihtiva ettiği harmonikler büyüyecektir. Bu durumda basamak modülasyonu ile elde edilen dalgalarda, darbe konumlarının yer değiştirilmesi ile taşıyıcı dalga modülasyonu sonucu üretilen dalgaların, harmonik muhteviyatı seviyesinin altına inilerek daha iyi dalga üretebilecektir.

7. Doğrultucusunda gerilim kontrolu bulunmayan eviricilerde üretilen DGM dalgalarında verilen bir frekans için darbe süresi belirlenmiş ise, bu dalganın, yalnız bir temel bileşeni ve kendine has olan harmonik içeriği vardır.
8. DGM dalgalarında frekans küçüldükçe harmonikleri azaltabilmek için darbe sayısının arttırılması ve mümkün olduğu kadar tristörlerin müsade edilir çalışma frekansına yaklaşması gereklidir.
9. Asenkron motorun momentini sabit tutmak amacıyla statordan yapılan besleme'de V/f oranının değişik çalışma şartlarında sabit tutulması gereklidir.
10. Giriş gerilimi değişebilen eviricilerde devir sayısı kontrolunu geniş bir frekans bandında gerçekleştirmek için, darbelerin period içindeki yerlerini her frekansta sabit tutmak ve darbe genliğini değiştirmek suretiyle, V/f oranını arzu edilen değerde muhafaza etmek mümkündür.
- II. Giriş gerilimi değiştirilen eviricilerde yukarıda bahsi geçen avantajın kullanılması ile küçük frekanslarda harmonik içeriği küçük olacaktır.
- I2. Kayıpların büyük bir kısmı, harmonik akımların yıgılmasına neticesinde oluşturdukları bakır kayıplarıdır.
- I3. Evirici ile devir sayısı ayarında sistemin güç faktörü normal işletmeye mukayese ile yüksektir.
- I4. Devir sayısını sıfırdan senkron hızın iki katına kadar sürekli ayarlamak mümkündür.

## KAYNAKLAR

1. Prof. Remzi GÜLGÜN - Güç Elektronigine Giriş.
2. Prof. Remzi GÜLGUN - Lisansüstü Ders Notları.
3. R.RAYMOND - Power Elektronics.
4. J.DERWAL - Power Electronics.
5. By.G.MÜLTGEN - Line Commutated Triyristor Conveters.
6. K.HEUMAN - Grundlagen der Leistungselektronik.
7. Prof. Dr. T.BODUROĞLU - Asenkron Makinalar - Cilt-2
8. Prof. Dr. T.BODUROĞLU - Transformatörler - Cilt-1
9. T.KUTMAN - Güç Elektronigi Devreleri Notları.
10. Dr.Uğur ÇELTİKLİGİL - Güç Elektronigi Devreleri Ders Notları.
11. Dr.A.Faik.MERGEN - Asenkron Motorlarda Devir Ayarı-Doçentlik Tezi.
12. H.SARUL - Inverterler ve Tetikleme Devreleri-Lisans-üstü tez tez çalışması.
13. H.BODUR - Kesintisiz Güç Kaynağı-Lisansüstü tez Çalışması.
14. AEG-Telefunken Dergileri- Seniverter-Moneverter-Stromrichter Antriebstechnik vs..
15. Siemens Dergileri-Variable Speed Drives, Möglichkeiten der Drehzahlsteuerung TEIL-1-2, Simowert P.v.s...
16. EMO Dergisi - 1984/3 - 305 Sayısı.

ÖZGEÇMİŞ

22.05.1958 tarihinde İzmir'de doğdum. İlkokul, ortaokul ve lise'yi İzmir'de bitirdim. 1977 yılında İzmir Çınarlı Teknik Lisesi Elektrik bölümünden mezun olduktan bir yıl sonra İ.D.M.M. Akademisi Elektrik Mühendisliği bölümüne girmeye hak kazandım. Başarılı bir not ortalaması ile bu okuldan 07.07.1982 tarihinde mezun oldum.

İstanbul'da özel bir firma'da bir iş bulup, çalışmaya başladım. Bu firma'da kontrol Müh. görevini yerine getirirken aynı zamanda Yıldız Üniversitesi Fen Bilimleri Enstitüsüne başvurdum. Ve 1 KASIM 1982 tarihinde bu üniversite'de Elektrik Müh. Lisansüstü bölümüne başladım.

Verilen tez çalışmasını bir yıl içinde bazı eksikliklerle birlikte en iyi bir şekilde bitirmeye gayret ettim. Şu anda özel bir firmada çalışmaktayım.

# Thyristor T 35 N

Type/Type range	T 35 N	400*	600	800	1000	1100	1200	1300	1400	1500	1600	1700	1800*
Elektrische Eigenschaften	Electrical characteristics												
Höchstzulässige Werte	Limiting values												
$U_{\text{DRM}}$ , $U_{\text{RRM}}$	Positive u. negative periodische Spitzensperrspannung	repetitive peak forward off-state and reverse voltages											400...1800 V
$I_{\text{VSM}}$	Effektiver Durchlaßstrom	RMS on-state current											80 A
$I_{\text{VM}}$	Dauergrenzstrom	mean on-state current											51 A
$i_{\text{TM}}$	Periodischer Spitzstrom	repetitive peak on-state current											35 A
$i_{\text{SM}}$	Stoßstrom-Grenzwert	surge current											KL 21, nat. Kühlung/nat. cooling, $t_A = 45^\circ\text{C}$ 16 A
$\Delta I$	Grenzlastintegral												KL 42 C, nat. Kühlung/nat. cooling, $t_A = 45^\circ\text{C}$ 27 A
$dI/dt _{\text{krit}}$	Stromsteilheit	rate of rise of on-state current											KL 42 C, verst. Kühlung/forced. cool., $t_A = 35^\circ\text{C}$ 46 A
$dU/dt _{\text{krit}}$	Spannungssteilheit	rate of rise of off-state voltage											470 A
Charakteristische Werte	Characteristic values												
$i_T$	Obere Durchlaßspannung	max. on-state voltage											1100 A
$U_{\text{HOI}}$	Schleusenspannung	threshold voltage											900 A
$r_s$	Ersatzwiderstand	slope resistance											6000 A <sup>2</sup> s
$U_{\text{GT}}$	Obere Zündspannung	max. gate trigger voltage											4000 A <sup>2</sup> s
$I_{\text{GT}}$	Oberer Zündstrom	max. gate trigger current											IEC 600 A/μs
$I_{\text{UZ}}$	Unterer Zündstrom	min. gate trigger current											DIN, $i_{\text{TM}} = 200 \mu\text{s}$ 120 A/μs
$I_{\text{OH}}$	Oberer Haltestrom	max. holding current											Steuergenerator/pulse generator:
$I_{\text{OE}}$	Oberer Einraststrom	max. latching current											$u_D = 67\% U_{\text{DRM}}$
$i_{\text{GK}}$	Oberer positiver und negativer Sperrstrom	max. forward off-state and reverse currents											5 Kennbuchstabe/5th. letter B 50 V/μs
$t_{\text{d}}$	Obere Zündverzögerungszeit	max. gate controlled delay time											5 Kennbuchstabe/5th. letter C 400 V/μs
$t_{\text{tr}}$	Typische Freiwerdezeit	typical circuit commutated turn-off time											5 Kennbuchstabe/5th. letter F 1000 V/μs
Thermische Eigenschaften	Thermal characteristics												
$R_{\text{JC}}$	Innerer Wärmewiderstand	$\theta = 180^\circ\text{el. sinus}$											0.72 °C/W
$R_{\text{JCA}}$	Wärmewiderstand zwischen Gehäuse und Umgebung	junction to case DC											0.678 °C/W
	Betriebstemperatur	thermal resistance, case to cooling medium											KL 21, nat. Kühlung/nat. cooling 3.2 °C/W
	Lagertemperatur	operating temperature											KL 42 C, nat. Kühlung/nat. cooling 1.4 °C/W
		storage temperature											KL 42 C, verst. Kühl./forced. cool., $v_L = 6 \text{ m/s}$ 0.4 °C/W
Mechanische Eigenschaften	Mechanical characteristics												-55 °C...-125 °C
	Gewicht des Thyristors	weight of thyristor											-55 °C...+150 °C
	Gehäuseform	case design											etwa 60 g
	Anzugsdrehmoment	tightening torque											203 B 3 8 Nm
DIN 41892													

# Silicium-Leistungsdioden

D 42

Type range	D 42 / 400 *	700	1100	1400	1600
<b>Elektrische Eigenschaften</b>	<b>Electrical characteristics</b>				
<b>Höchstzulässige Werte</b>	<b>Limiting values</b>				
$U_{RRM}$	Period. Spitzensperrspannung	repetitive peak reverse voltage		400 ... 1600	V
$I_{AVM}$	Dauergrenzstrom	average forward current	$t_C = 100^\circ\text{C}$	42	A
$I_{RMSM}$	Effektiver Durchlaßstrom	RMS forward current	$t_C = 117^\circ\text{C}$	42	A
$I_{RM}$	Periodischer Spitzenstrom	repetitive peak forward current		65	A
$I_{SM}$	Stoßstrom-Grenzwert	surge current	$t = 10 \text{ ms}, t_{vi} \leq 45^\circ\text{C}$	200	A
$I_t$	Grenzlastintegral		$t = 10 \text{ ms}, t_{vi} = 150^\circ\text{C}$	1100	A
			$t = 10 \text{ ms}, t_{vi} \leq 45^\circ\text{C}$	800	A
			$t = 10 \text{ ms}, t_{vi} = 150^\circ\text{C}$	6000	A·s
				3200	A·s
<b>Charakteristische Werte</b>	<b>Characteristic values</b>				
$I_N$	Nennstrom, nat. Kühlg., KL 21 D	nominal average forward current, nat. cooling, $t_A = 45^\circ\text{C}$		20	A
	KL 42 D	heatsink KL 21 D		30	A
$U_F$	Obere Durchlaßspg.	max. forward voltage	$t_{vi} = 25^\circ\text{C}, i_F = 130 \text{ A}$	1,45	V
$i_R$	Oberer Sperrstrom	max. reverse current	$t_{vi} = 25^\circ\text{C}, u_R = U_{RRM}$	20	mA
$C_{null}$	Typ. Nullkapazität	typ. zero capacitance	$t_{vi} = 25^\circ\text{C}, f = 10 \text{ kHz}$	4	mA
$Q_{STG}$	Obere gespeicherte Ladungsträgermenge <sup>1)</sup>	max. lag charge <sup>1)</sup>	$t_{vi} = 150^\circ\text{C}; i_F = 50 \text{ A}, -di/dt = 5 \text{ A}/\mu\text{s}$	500	pF
				48	μAs
<b>Thermische Eigenschaften</b>	<b>Thermal characteristics</b>				
$R_{hJC}$	innerer Wärmewiderstand	thermal resistance, junction to case		$\leq 0.6^\circ\text{C/W}$	
$R_{hCA}$	äußerer Wärmewiderstand mit KL 21 D, nat. Kühlung	thermal resistance, case to cooling medium		$\sim 2,9^\circ\text{C/W}$	
	mit KL 42 D, nat. Kühlung	nat. cooling, heatsink KL 21 D,		$\sim 1,45^\circ\text{C/W}$	
		nat. cooling, heatsink KL 42 D,			
	Betriebstemperatur	operating temperature		$-40^\circ\text{C} \dots +150^\circ\text{C}$	
	Lagertemperatur	storage temperature		$-40^\circ\text{C} \dots +150^\circ\text{C}$	
<b>Mechanische Eigenschaften</b>	<b>Mechanical characteristics</b>				
Gewicht der Diode	weight of diode			~ 100 g	
Gewicht des Kühlkörpers KL 21 D	weight of heatsink KL 21 D	(DIN 41882 : K 3)		~ 250 g	
Gewicht des Kühlkörpers KL 42 D	weight of heatsink KL 42 D	(DIN 41882 : K 1,1)		~ 700 g	
Schüttelfestigkeit der Diode	vibration resistance of diode	$f = 50 \text{ Hz}$		5 · 9,81 m/s <sup>2</sup>	
Anzugsdrehmoment	mounting torque			32 cmkp	
Gehäuseform der Diode	case design, according	DIN 41886		103 A 2	

# Silicium-Leistungsdioden

D 42

Type range	D 42 / 400 *	700	1100	1400	1600
<b>Elektrische Eigenschaften</b>	<b>Electrical characteristics</b>				
<b>Höchstzulässige Werte</b>	<b>Limiting values</b>				
$U_{RRM}$	Period. Spitzensperrspannung	repetitive peak reverse voltage		400 ... 1600	V
$I_{AVM}$	Dauergrenzstrom	average forward current	$t_c = 100^\circ\text{C}$	42	A
$I_{FMSM}$	Effektiver Durchlaßstrom	RMS forward current	$t_c = 117^\circ\text{C}$	42	A
$I_{FRM}$	Periodischer Spitzenstrom	repetitive peak forward current		65	A
$I_{ISM}$	Stoßstrom-Grenzwert	surge current	$t = 10 \text{ ms}, t_{vi} \leq 45^\circ\text{C}$	200	A
$\dot{P}_t$	Grenzlastintegral		$t = 10 \text{ ms}, t_{vi} = 150^\circ\text{C}$	1100	A
			$t = 10 \text{ ms}, t_{vi} \leq 45^\circ\text{C}$	800	A
			$t = 10 \text{ ms}, t_{vi} = 150^\circ\text{C}$	6000	$\text{A}^2\text{s}$
				3200	$\text{A}^2\text{s}$
<b>Charakteristische Werte</b>	<b>Characteristic values</b>				
$I_N$	Nennstrom, nat. Kühlg., KL 21 D	nominal average forward current, nat. cooling, $t_A = 45^\circ\text{C}$		20	A
	KL 42 D	heatsink KL 21 D		30	A
$U_F$	Obere Durchlaßspg.	max. forward voltage	$t_{vi} = 25^\circ\text{C}, i_F = 130 \text{ A}$	1,45	V
$i_R$	Oberer Sperrstrom	max. reverse current	$t_{vi} = 25^\circ\text{C}, u_R = U_{RRM}$	20	$\mu\text{A}$
$C_{null}$	Typ. Nullkapazität	typ. zero capacitance	$t_{vi} = 150^\circ\text{C}, u_R = U_{RRM}$	4	mA
$Q_{STG}$	Obere gespeicherte Ladungsträgermenge <sup>1)</sup>	max. lag charge <sup>1)</sup>	$t_{vi} = 25^\circ\text{C}, i_F = 10 \text{ kHz}$	500	$\text{pF}$
			$t_{vi} = 150^\circ\text{C}; i_F = 50 \text{ A}, -di/dt = 5 \text{ A}/\text{ns}$	48	$\text{nAs}$
<b>Thermische Eigenschaften</b>	<b>Thermal characteristics</b>				
$R_{hJC}$	innerer Wärmewiderstand	thermal resistance, junction to case		$\leq 0,6^\circ\text{C/W}$	
$R_{hCA}$	äußerer Wärmewiderstand mit KL 21 D, nat. Kühlung	thermal resistance, case to cooling medium		$\sim 2,9^\circ\text{C/W}$	
	mit KL 42 D, nat. Kühlung	nat. cooling, heatsink KL 21 D,		$\sim 1,45^\circ\text{C/W}$	
		nat. cooling, heatsink KL 42 D,			
	Betriebstemperatur	operating temperature		$-40^\circ\text{C} \dots +150^\circ\text{C}$	
	Lagertemperatur	storage temperature		$-40^\circ\text{C} \dots +150^\circ\text{C}$	
<b>Mechanische Eigenschaften</b>	<b>Mechanical characteristics</b>				
Gewicht der Diode	weight of diode			- 100 g	
Gewicht des Kühlkörpers KL 21 D	weight of heatsink KL 21 D	(DIN 41882 : K 3)		$\sim 250 \text{ g}$	
Gewicht des Kühlkörpers KL 42 D	weight of heatsink KL 42 D	(DIN 41882 : K 1,1)		$\sim 700 \text{ g}$	
Schüttelfestigkeit der Diode	vibration resistance of diode	$f = 50 \text{ Hz}$		$5 \cdot 9,81 \text{ m/s}^2$	
Anzugsdrehmoment	mounting torque			32 cmkp	
Gehäuseform der Diode	case design, according	DIN 41886		103 A 2	

## **Elektrische Eigenschaften**

## Electrical characteristics

### Höchstzulässige Werte

### **Limiting values**

$U_{RRM}$	Period. Spitzensperrspannung	repetitive peak reverse voltage	1200	V
$U_{RSM}$	Stoßspitzenspannung	transient peak reverse voltage	1300	V
$I_{FRM}$	Periodischer Spitzenstrom	peak repetitive forward current	5	A
$I_{FSM}$	Stoßstrom-Grenzwert	surge current	35	A
$i_t$	Grenzlastintegral	$t = 10 \text{ ms}, t_{vi} \leq 45^\circ\text{C}$	30	A
		$t = 10 \text{ ms}, t_{vi} = 130^\circ\text{C}$	6.5	$\text{A}^2\text{s}$
	Mindestschutzwiderstand	$t = 10 \text{ ms}, t_{vi} \leq 45^\circ\text{C}$	4.5	$\text{A}^2\text{s}$
		$t = 10 \text{ ms}, t_{vi} = 130^\circ\text{C}$	4.7	$\Omega \pm 10\%$
	Max. Ladekondensator	min. series resistance	250	$\mu\text{F} \pm 50\%$
		max. charging capacitor		

### Charakteristische Werte

### Characteristic values

$U_{RN}$	Nennsperrspannung	nominal reverse voltage			800	V
$U_{NRMS}$	Nennanschlußspannung	R-Last	recommended RMS supply voltage	R-load	500	V
		C-Last		C-load	250	V
$I_N$	Nennstrom	R-Last	recommended average forward current			0.65 A
		C-Last		C-load	0.5	A
$U_F$	Obere Durchlaßspg.	max. forward voltage		$t_{vj} = 25^\circ\text{C}, i_F = 1 \text{ A}$	1.2	V
$i_R$	Oberer Sperrstrom	max. reverse current		$t_{vj} = 25^\circ\text{C}, u_R = U_{RRM}$	100	$\mu\text{A}$

## Thermische Eigenschaften

## Thermal characteristics

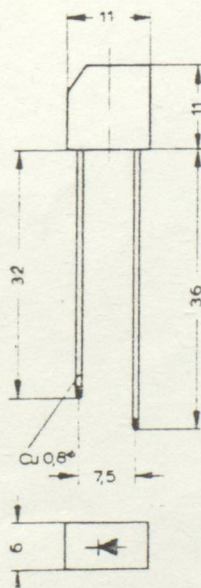
Betriebstemperatur	Operating temperature	-30 °C ... +130 °C
Lagertemperatur	Storage temperature	-50 °C ... +150 °C

## Mechanische Eigenschaften

## Mechanical characteristics

### Gewicht weight

$\approx 2.5$  g





\* 0 0 1 0 3 1 1 \*